

# Algorithmes de calcul formel et numérique

B. Parisse  
Institut Fourier  
UMR 5582 du CNRS  
Université de Grenoble I

## Résumé

Giac/Xcas est un logiciel libre de calcul formel dont une caractéristique est de nécessiter peu de ressources sans sacrifier les performances (en particulier sur les calculs polynomiaux). Ce document décrit une partie des algorithmes de calcul formel et numérique qui y sont implémentés, l'objectif à long terme est de couvrir l'essentiel des algorithmes implémentés. Ce n'est pas le manuel d'utilisation de Xcas, ni un manuel de programmation ou d'exercices illustrés avec Xcas (voir le menu Aide, Manuels : Référence calcul formel, Programmation, Exercices, Amusements...). Ce texte regroupe donc des résultats mathématiques qui ont été ou sont utilisés dans Giac (ou sont susceptibles de l'être), ils sont en général accompagnés de preuves et souvent d'illustrations avec Xcas.

Pour plus d'informations sur Giac/Xcas, cf. :

[www-fourier.ujf-grenoble.fr/~parisse/giac\\_fr.html](http://www-fourier.ujf-grenoble.fr/~parisse/giac_fr.html)

## Table des matières

<b>1</b>	<b>Index</b>	<b>6</b>
<b>2</b>	<b>Calculer sur ordinateur</b>	<b>10</b>
2.1	Représentation des entiers	10
2.2	Les réels	11
2.2.1	Virgule fixe et flottante.	11
2.2.2	Les flottants au format double	13
2.2.3	Opérations sur les flottants	14
2.2.4	Erreurs	14
2.2.5	Erreur absolue, relative, arrondi propagation des erreurs.	15
2.3	Calcul exact et approché, types, évaluation.	17
2.4	Forme normale et reconnaissance du 0.	18
2.5	Valeur générique des variables et hypothèses	20
2.6	Structures de données	20
2.6.1	Calculatrices formelles HP	21
2.6.2	Calculatrices formelles TI	23
2.6.3	Maple, Mathematica, ...	24
2.6.4	Giac/xcas	24
2.7	Algorithmes et complexité.	25
2.8	Quelques algorithmes d'arithmétique de base.	27

2.8.1	Exemple : l'algorithme de Karatsuba	28
2.8.2	Bezout sur les entiers et les fractions continues	29
2.8.3	La puissance rapide itérative	32
2.9	Pour en savoir plus.	32
2.10	Exercices sur types, calcul exact et approché, algorithmes de bases	34
<b>3</b>	<b>Le PGCD de polynômes.</b>	<b>37</b>
3.1	Le sous-résultant.	38
3.2	Le pgcd en une variable.	41
3.2.1	Le pgcd heuristique.	41
3.2.2	Le pgcd modulaire	43
3.3	Le pgcd à plusieurs variables.	47
3.3.1	Le pgcd heuristique.	47
3.3.2	Le pgcd modulaire multivariées.	48
3.3.3	EZGCD.	51
3.4	Quel algorithme choisir ?	54
3.5	Pour en savoir plus.	55
<b>4</b>	<b>Le résultant</b>	<b>55</b>
4.1	Définition	55
4.2	Applications	56
4.3	Résultant et degrés	58
4.4	Lien avec l'algorithme du sous-résultant (calcul de PGCD)	59
4.5	Calcul efficace du résultant	60
<b>5</b>	<b>Localisation des racines</b>	<b>61</b>
5.1	Majoration	61
5.2	Les suites de Sturm.	61
5.3	Autres algorithmes	62
<b>6</b>	<b>Exercices (PGCD, résultant, ...)</b>	<b>63</b>
6.1	Instructions	63
6.1.1	Entiers	63
6.1.2	Polynômes	63
6.1.3	Calculs modulo $n$	64
6.2	Exercices PGCD	64
6.3	Exercices (résultant)	65
6.4	Exercice (Bézout modulaire)	65
6.5	Exercice (Géométrie et résultants).	66
6.6	Décalage entier entre racines.	67
6.7	Exemple de correction de géométrie et résultant	68
<b>7</b>	<b>Bases de Gröbner.</b>	<b>68</b>
7.1	Ordre et réduction	68
7.2	Idéaux	69
7.3	Introduction	70
7.4	Checking a reconstructed Groebner basis	71
7.5	Speeding up by learning from previous primes	72
7.6	Giac/Xcas implementation and experimentation	72

7.7	Conclusion	76
<b>8</b>	<b>Représentations graphiques.</b>	<b>76</b>
<b>9</b>	<b>Corps finis.</b>	<b>77</b>
9.1	Rappels	77
9.2	Représentation des corps non premiers.	78
9.2.1	Cas général.	78
9.2.2	Corps de petit cardinal, cas de la caractéristique 2	78
9.3	Exercices	79
9.4	Codes linéaires et polynomiaux.	79
9.4.1	Le bit de parité.	80
9.4.2	Codes linéaires	80
9.4.3	Codes polynomiaux	80
9.4.4	Détection et correction d'erreur	81
9.4.5	Distances	81
9.4.6	Correction au mot le plus proche	82
9.4.7	Codes de Hamming	82
9.5	Les codes de Reed-Solomon	83
9.5.1	Théorie	83
9.5.2	Preuve du calcul de $l$	84
9.5.3	Avec Xcas	85
<b>10</b>	<b>Factorisation des entiers et primalité.</b>	<b>86</b>
10.1	Le test de primalité de Pocklington.	86
10.2	La méthode $\rho$ de Pollard	87
10.3	Le crible quadratique	88
10.3.1	Recherche de racine carrée modulo $p$	88
<b>11</b>	<b>Factorisation des polynômes.</b>	<b>89</b>
11.1	Les facteurs multiples	89
11.2	Factorisation en une variable	91
11.2.1	Factorisation dans $\mathbb{Z}/p\mathbb{Z}[X]$	91
11.2.2	Distinct degree factorization	92
11.2.3	La méthode de Cantor-Zassenhaus	93
11.2.4	La méthode de Berlekamp	95
11.2.5	Remontée (Hensel)	96
11.2.6	Combinaison de facteurs	99
11.3	Factorisation à plusieurs variables	101
11.4	Preuve de l'identité de Bézout généralisée	103
11.5	Algorithme de Bézout généralisé	104
11.6	Factorisation rationnelle et sur une extension	104
11.7	Factorisation absolue	105
11.8	Compléments	106
11.9	Exercices (factorisation des polynômes)	107

<b>12</b>	<b>Intégration formelle.</b>	<b>109</b>
12.1	Introduction . . . . .	109
12.2	Fonctions élémentaires . . . . .	109
12.2.1	Extensions transcendantes, tour de variables . . . . .	109
12.2.2	Théorème de structure de Risch . . . . .	110
12.2.3	Théorème de Liouville . . . . .	114
12.3	L'algorithme de Risch . . . . .	117
12.3.1	Intégration d'une fraction propre . . . . .	118
12.3.2	Réduction sans facteurs multiples . . . . .	118
12.3.3	La partie logarithmique . . . . .	118
12.3.4	La partie polynomiale (généralisée) . . . . .	120
12.3.5	Extension logarithmique . . . . .	120
12.3.6	Extension exponentielle . . . . .	121
12.4	Quelques références . . . . .	125
<b>13</b>	<b>Intégration numérique</b>	<b>126</b>
13.1	Les rectangles et les trapèzes . . . . .	126
13.2	Ordre d'une méthode . . . . .	128
13.3	Simpson . . . . .	130
13.4	Newton-Cotes . . . . .	131
13.5	En résumé . . . . .	131
13.6	Quadratures gaussiennes. . . . .	132
13.7	Méthode adaptative. . . . .	132
<b>14</b>	<b>Suites itératives et applications</b>	<b>132</b>
14.1	Le point fixe dans $\mathbb{R}$ . . . . .	132
14.2	Le point fixe dans $\mathbb{R}^n$ . . . . .	136
14.3	La méthode de Newton dans $\mathbb{R}$ . . . . .	136
14.4	La méthode de Newton dans $\mathbb{R}^n$ . . . . .	140
14.5	Calcul approché des racines complexes simples . . . . .	141
<b>15</b>	<b>Algèbre linéaire</b>	<b>141</b>
15.1	Résolution de systèmes, calcul de déterminant. . . . .	141
15.1.1	La méthode du pivot de Gauß. . . . .	141
15.1.2	Le déterminant. . . . .	143
15.1.3	Systèmes linéaires . . . . .	144
15.1.4	Bézout et les $p$ -adiques. . . . .	145
15.1.5	Base du noyau . . . . .	146
15.2	Algèbre linéaire sur $\mathbb{Z}$ . . . . .	147
15.2.1	Calcul du déterminant d'une matrice à coefficient entiers . . . . .	147
15.2.2	Réduction de Hermite et Smith . . . . .	148
15.2.3	L'algorithme LLL. . . . .	149
15.3	Le pivot de Gauss numérique. . . . .	150
15.3.1	Efficacité de l'algorithme . . . . .	150
15.3.2	Erreurs d'arrondis du pivot de Gauss . . . . .	150
15.4	La méthode de factorisation $LU$ . . . . .	151
15.4.1	Interprétation matricielle du pivot de Gauss . . . . .	151
15.4.2	Factorisation $PA = LU$ . . . . .	152

15.4.3 Applications de la décomposition $LU$	152
15.5 La factorisation de Cholesky	153
15.6 Conditionnement	155
15.7 Réduction des endomorphismes	156
15.7.1 Le polynôme minimal	156
15.7.2 Le polynôme caractéristique	156
15.7.3 La méthode de Hessenberg	157
15.7.4 La méthode de Leverrier-Faddeev-Souriau	158
15.7.5 Les vecteurs propres simples.	160
15.7.6 La forme normale de Jordan	160
15.7.7 Exemple 1	161
15.7.8 Exemple 2	162
15.7.9 Le polynôme minimal par Faddeev	163
15.7.10 Formes normales rationnelles	163
15.7.11 Fonctions analytiques	167
15.8 Quelques autres algorithmes utiles	167
15.8.1 Complexité asymptotique	167
15.9 Méthodes itératives alternatives au pivot	167
15.9.1 Jacobi, Gauss-Seidel, relaxation	167
15.9.2 Gradient conjugué	168
15.10 Réduction approchée des endomorphismes	169
15.10.1 Méthode de la puissance	169
15.10.2 Itérations inverses	170
15.10.3 Elimination des valeurs propres trouvées	171
15.10.4 Décomposition de Schur	171
15.11 Quelques références	175
15.12 Exercices (algèbre linéaire)	175
15.12.1 Instructions	175
15.12.2 Exercices	176
<b>16 Approximation polynomiale</b>	<b>178</b>
16.1 Polynôme de Lagrange	178
16.1.1 Existence et unicité	178
16.1.2 Majoration de l'erreur d'interpolation.	179
16.1.3 Calcul efficace du polynôme de Lagrange.	179
16.1.4 Sensibilité aux erreurs sur les données.	181
16.2 Interpolation aux points de Tchebyshev	182
16.3 Interpolation de Hermite	182
16.4 Polynômes de Bernstein et courbes de Bézier	183
16.5 Polynômes orthogonaux.	184
16.6 Les splines	184
<b>17 Développement de Taylor, asymptotiques, séries entières, fonctions usuelles</b>	<b>185</b>
17.1 La fonction exponentielle	185
17.2 Séries entières.	187
17.3 Série alternée	189
17.4 La fonction logarithme	189
17.5 Approximants de Padé.	191

17.6	Autres applications . . . . .	192
17.6.1	Exemple : la fonction d'erreur (error fonction, <code>erf</code> ) . . . . .	192
17.6.2	Recherche de solutions d'équations différentielles . . . . .	193
17.6.3	Exemple : fonctions de Bessel d'ordre entier . . . . .	194
17.7	Développements asymptotiques et séries divergentes . . . . .	195
<b>18</b>	<b>La transformée de Fourier discrète.</b>	<b>199</b>
18.1	Définition et propriétés . . . . .	199
18.2	La transformée de Fourier rapide . . . . .	201
18.3	Applications. . . . .	202
<b>19</b>	<b>Le rayonnement solaire.</b>	<b>202</b>
19.1	L'insolation au cours de l'année. . . . .	202
19.2	Les saisons . . . . .	204
19.3	L'orbite de la Terre. . . . .	205
19.3.1	Calcul en utilisant le vecteur excentricité. . . . .	205
19.3.2	Calcul par l'équation différentielle. . . . .	206
19.3.3	Lois de Képler. . . . .	207
19.4	Quelques propriétés de l'ellipse . . . . .	207
19.5	Influence de l'ellipse sur les saisons . . . . .	209
19.6	L'équation du temps, la durée des saisons. . . . .	209
19.7	Les variations des paramètres orbitaux . . . . .	211
<b>20</b>	<b>La moyenne arithmético-géométrique.</b>	<b>211</b>
20.1	Définition et convergence . . . . .	212
20.2	Lien avec les intégrales elliptiques . . . . .	214
20.3	Application : calcul efficace du logarithme. . . . .	216
<b>21</b>	<b>Les générateurs de nombres pseudo-aléatoires.</b>	<b>221</b>
21.1	Selon la loi uniforme . . . . .	221
21.1.1	Les générateurs congruentiels. . . . .	221
21.1.2	Mersenne twister. . . . .	222
21.2	Selon plusieurs lois classiques . . . . .	223

## 1 Index

L'index commence page suivante dans la version PDF.

## Index

- Akritas, 62
- aléatoire, 221
- arrondi, 12
- assume, 20
- atan, 188
  
- Bézier, courbes de, 183
- Bézout généralisé, 104
- Bézout, identité de, 28
- Bézout, théorème, 58
- Bareiss, 142
- base, 10
- base de Gröbner, 68
- BCD, 13
- Berlekamp, 95
- Bernstein, polynômes de, 183
- Bessel, 194
- bit, 13
  
- Cantor-Zassenhaus, 93
- caractéristique, polynôme, 156
- chinois, 28
- Cholesky, 153
- code correcteur, 79
- code linéaire, 79
- code polynomial, 79
- conditionnement, 155
- congruentiel, générateur, 221
- conique, 77
- constante de Lebesgue, 181
- contenu, 37
- continue, fraction, 31
- contractante, 133
- convexe, 138
- corps fini, 77
- correction d'erreur, 81
- cos, 187
- courbe implicite, 77
- crible, 86
- crible quadratique, 88
- cyclique, élément, 78
  
- dénormalisé, 12
- déterminant, 143
- développement asymptotique, 195
- déterminant, modulaire, 143
  
- ddf (distinct degree factorization), 92
- DFT, 199
- différences divisées, 179
- discriminant, 56
- distance d'un code, 81
- distance de Hamming, 81
- divisées, différences, 179
- division euclidienne, 10
- double, 13
  
- Ei, 195
- ellipse, 207
- elliptique, intégrale, 214
- erf, 192
- erreur, 14, 15, 150
- erreur absolue, 15
- erreur relative, 16
- erreur, fonction, 192
- Euler, constante, 196
- évaluation, 17
- excentricité, 205
- exp, 185
- exponentielle, 185
- exponentielle intégrale, 195
- exposant, 13
  
- factorisation, 86, 141
- factorisation absolue, 105
- factorisation algébrique, 104
- factorisation de Cholesky, 153
- factorisation de Schur, 171
- factorisation LU, 151
- Fadeev, 158
- FFT, 201
- fixe, point, 132
- flottant, 13
- Fourier, transformée discrète, 199
- fraction continue, 31
  
- générateur congruentiel, 221
- Gauß, 141
- Gauss-Seidel, 167
- GF, 77
- Givens, 158
- Gröbner, base de, 68
- gradient conjugué, 168

Hörner, 36  
 Hadamard, borne, 143  
 Hamming, 81  
 Hensel, 53, 96  
 Hermite (forme de), 148  
 Hermite, interpolation de, 182  
 Hermite, réduction de, 118  
 Hessenberg, 157  
 heuristique, PGCD, 41, 47  
 Householder, 158  
 hypothèse, 20  
  
 idéal, 69  
 implicite, courbe, 77  
 insolation, 202  
 intégration, 109  
 integration, 126  
 interpolation, 178  
 intersection de courbes, 58  
 irréductible, 78  
 isolation de racines, 62  
 itérations inverses, 170  
  
 Jacobi, 167  
 Jordan, 160  
 Jordan rationnel, 163  
  
 Képler, 207  
 Karatsuba, 28  
 knapsack, 100  
  
 Lagrange, 178  
 lagrange, 178, 179  
 Landau, 46  
 Laplace (déterminant), 144  
 Lebesgue, constante de, 181  
 Legendre, 132  
 Leverrier, 158  
 lexicographique, 68  
 Liouville, 114  
 LLL, 149  
 ln, 189  
 logarithme, 189, 216  
 LU, 151  
  
 mantisse, 11, 13  
 Mignotte, 46  
 Miller, 28, 86  
 minimal, polynôme, 156  
 modulaire symétrique, 27  
 modulaire, déterminant, 143  
 modulaire, méthode, 25  
 modulaire, PGCD, 43, 48  
 moyenne arithmético-géométrique, 211  
 multiplicité, 89  
  
 Newton, 137, 139, 140  
 Newton, méthode de, 26  
 Newton-Cotes, 131  
 nombre de condition, 155  
 normale, loi, 223  
 normalisé, 12  
 noyau, 146  
  
 orbite de la Terre, 205  
 ordre, 128  
 ordre de monômes, 68  
 orthogonaux, polynômes, 184  
  
 p-adique (système linéaire), 144  
 p-adique, méthode, 26  
 Padé, 191  
 parité (bit de), 80  
 PGCD (polynômes), 37  
 pi, calcul de, 220  
 pivot, 141  
 pivot partiel, 150  
 Pocklington, 86  
 point fixe, 133  
 point milieu, 127  
 point singulier, 76  
 point singulier régulier, 77  
 Pollard, 87  
 polynômes orthogonaux, 184  
 primalité, 86  
 primitif, 78  
 primitive, partie, 37  
 pseudo-division, 27  
 puissance, 169  
 puissance rapide, 32  
  
 QR, 171  
 quadratique, crible, 88  
 quadrature, 126  
 quadratures gaussiennes, 132  
  
 réduction, 68  
 Rabin, 28, 86



racine, 141  
 racine carrée modulaire, 88  
 racine rationnelle, 26  
 rapide, puissance, 32  
 rapide, transformée de Fourier, 201  
 rectangle, 127  
 Reed-Solomon (codes), 83  
 restes chinois, 28  
 resultant, 55  
 revlex, 69  
 Risch, 109  
 Rothstein, 124  
  
 s-polynôme, 69  
 série alternée, 189  
 série entière, 187  
 saisons, 204  
 saisons, durée, 209  
 Schur (factorisation), 171  
 Si, 197  
 Simpson, 130  
 sin, 187  
 singulière, valeur, 155  
 sinus intégral, 197  
 Smith (forme de), 148  
 Souriau, 158  
 sous-résultant, 38  
 splines, 184  
 squarefree, 89  
 Strassen, 167  
 Strzebonski, 62  
 Sturm, suites de, 61  
 Sylvester, 56  
  
 Taylor, 185  
 Taylor, développement, 185  
 Tchebyshev, 182  
 temps, équation du, 209  
 transformée de Fourier discrète, 199  
 transformée de Fourier rapide, 201  
 trapèze, 127  
  
 valeur singulière, 155  
 Vincent, 62  
  
 Winograd, 167  
  
 Yun, 89

## 2 Calculer sur ordinateur

### 2.1 Représentation des entiers

**Proposition 1 Division euclidienne de deux entiers :** si  $a$  et  $b$  sont deux entiers,  $a \geq 0, b > 0$ , il existe un unique couple  $(q, r)$  tel que

$$a = bq + r, \quad r \in [0, b[$$

Preuve : On prend pour  $q$  le plus grand entier tel que  $a - bq \geq 0$ .

La division euclidienne permet d'écrire un nombre entier, en utilisant une base  $b$  et des caractères pour représenter les entiers entre 0 et  $b - 1$ . Nous écrivons les nombres entiers en base  $b = 10$  avec comme caractères les chiffres de 0 à 9. Les ordinateurs utilisent des circuits binaires pour stocker les informations, il est donc naturel d'y travailler en base 2 en utilisant comme caractères 0 et 1 ou en base 16 en utilisant comme caractères les chiffres de 0 à 9 et les lettres de A à F. En général, pour trouver l'écriture d'un nombre en base  $b$  (par exemple  $b = 2$ ), on effectue des divisions euclidiennes successives par  $b$  du nombre puis de ses quotients successifs jusqu'à ce que le quotient soit 0 et on accole les restes obtenus (premier reste à droite, dernier reste à gauche). Inversement, pour retrouver un entier  $d$  à partir de son écriture  $d_n \dots d_0$ , on traduit les divisions euclidiennes successives en

$$\begin{aligned} d &= (\dots((d_n b + d_{n-1})b + d_{n-2})\dots + d_1)b + d_0 \\ &= d_n b^n + d_{n-1} b^{n-1} + \dots + d_0 \end{aligned}$$

Par exemple, vingt-cinq s'écrit en base 16  $0 \times 19$  car 25 divisé par 16 donne quotient 1, reste 9. En base 2, on trouverait  $0b11001$  car  $25 = 2^4 + 2^3 + 1$ . On peut effectuer les opérations arithmétiques de base (+, -, \*, division) directement en base 2 (ou 16). Par exemple la table de l'addition est  $0+0=0$ ,  $0+1=1+0=1$  et  $1+1=0$  je retiens 1, donc :

$$\begin{array}{r} 01001111 \\ + 01101011 \\ \hline 10111010 \end{array}$$

**Exercice :** comment passe-t-on simplement de la représentation d'un nombre en base 2 à un nombre en base 16 et réciproquement ?

Les microprocesseurs peuvent effectuer directement les opérations arithmétiques de base sur les entiers "machine" (déclinés en plusieurs variantes selon la taille et la possibilité d'avoir un signe). Noter que la division de deux entiers  $a$  et  $b$  n'a pas la même signification que la division de deux réels, comme elle ne tomberait pas forcément juste, on calcule le quotient et le reste de la division euclidienne.

Ces entiers machines permettent de représenter de manière exacte des petits entiers relatifs par exemple un entier machine signé sur 4 octets est compris entre  $[-2^{31}, 2^{31} - 1]$ .

Ces entiers machines permettent de faire très rapidement du calcul exact sur les entiers, mais à condition qu'il n'y ait pas de dépassement de capacité, par exemple pour des entiers 32 bits,  $2^{30} + 2^{30} + 2^{30} + 2^{30}$  renverra 0. Ils sont utilisables avec tous les langages de programmation traditionnels.

Les logiciels de calcul formel et certains logiciels de programmation permettent de travailler avec des entiers de taille beaucoup plus grande, ainsi qu'avec des rationnels, permettant de faire du calcul exact, mais on paie cette exactitude par un temps de calcul plus long, de plus pas mal de méthodes numériques ne gagnent rien à faire des calculs intermédiaires exacts. Néanmoins, l'utilisation d'un logiciel de calcul formel permettra dans certains cas d'illustrer certains phénomènes dus au calcul approché.

## 2.2 Les réels

On se ramène d'abord au cas des réels positifs, en machine on garde traditionnellement un bit pour stocker le signe du réel à représenter.

### 2.2.1 Virgule fixe et flottante.

La première idée qui vient naturellement serait d'utiliser un entier et de déplacer la virgule d'un nombre fixe de position, ce qui revient à multiplier par une puissance (négative) de la base. Par exemple en base 10 avec un décalage de 4,  $1234.5678$  serait représenté par  $12345678$  et  $1.2345678$  par  $12345$  (on passe de l'entier au réel par multiplication par  $10^{-4}$ ). L'inconvénient d'une telle représentation est qu'on ne peut pas représenter des réels grands ou petits, comme par exemple le nombre d'Avogadro, la constante de Planck, etc.

D'où l'idée de ne pas fixer la position de la virgule, on parle alors de représentation à virgule flottante ou de nombre flottant : on représente un nombre par deux entiers, l'un appelé mantisse reprend les chiffres significatifs du réel sans virgule, l'autre l'exposant, donne la position de la virgule. Attention, le séparateur est un point et non une virgule dans la grande majorité des logiciels scientifiques. On sépare traditionnellement la mantisse de l'exposant par la lettre  $e$ . Par exemple  $1234.5678$  peut être représenté par  $12345678e-8$  (mantisse  $12345678$ , exposant  $-8$ ) mais aussi par  $1234567800e-10$ .

Naturellement, sur un ordinateur, il y a des limites pour les entiers représentant la mantisse  $m$  et l'exposant  $e$ . Si on écrit les nombres en base  $b$ , la mantisse  $m$  s'écrit avec un nombre  $n$  fixé de chiffres (ou de bits en base 2), donc  $m \in [0, b^n[$ . Soit un réel  $x$  représenté par

$$x = mb^e, \quad m \in [0, b^n[$$

Si  $m \in [0, b^{n-1}[$ , alors on peut aussi écrire  $x = m'b^{e-1}$  avec  $m' = mb \in [0, b^n[$ , quelle écriture faut-il choisir ? Intuitivement, on sent qu'il vaut mieux prendre  $m'$  le plus grand possible, car cela augmente le nombre de chiffres significatifs (alors que des 0 au début de  $m$  ne sont pas significatifs). Ceci est confirmé par le calcul de l'erreur d'arrondi pour représenter un réel. En effet, si  $x$  est un réel non nul, il ne s'écrit pas forcément sous la forme  $mb^e$ , on doit l'arrondir, par exemple au plus proche réel de la forme  $mb^e$ . La distance de  $x$  à ce réel est inférieure ou égale à la moitié de la distance entre deux flottants consécutifs,  $mb^e$  et  $(m+1)b^e$ , donc l'erreur d'arrondi est inférieure ou égale à  $b^e/2$ . Si on divise par  $x \geq mb^e$ , on obtient une erreur relative d'arrondi majorée par  $1/(2m)$ . On a donc intérêt à prendre  $m$  le plus grand possible pour minimiser cette erreur. Quitte à multiplier par

$b$ , on peut toujours se ramener (sauf exceptions, cf. ci-dessous), à  $m \in [b^{n-1}, b^n[$ , on a alors une erreur d'arrondi relative majorée par

$$\frac{1}{2b^{n-1}}$$

On appelle **flottant normalisé** un flottant tel que  $m \in [b^{n-1}, b^n[$ . Pour écrire un réel sous forme de flottant normalisé, on écrit le réel en base  $b$ , et on déplace la virgule pour avoir exactement  $n$  chiffres non nuls avant la virgule et on arrondit (par exemple au plus proche). L'exposant est égal au décalage effectué. Notez qu'en base 2, un flottant normalisé commence forcément par 1, ce qui permet d'économiser un bit dans le stockage.

Ainsi, l'erreur d'arrondi commise lorsqu'on représente un réel (connu exactement) par un double normalisé est une erreur relative inférieure à  $2^{-53}$  ( $b = 2$  et  $n = 52 + 1$  pour les doubles).

Exemples :

- en base 10 avec  $n = 6$ , pour représenter  $\pi = 3,14159265\dots$ , on doit décaler la virgule de 5 positions, on obtient  $314159.265\dots$  on arrondit à 314159 donc on obtient  $314159e-5$ .
- en base 2 avec  $n = 10$ , pour représenter trois cinquièmes ( $3/5$  en base 10, noté  $11/101$  en base 2), on pose la division en base 2 de 11 par 101, ce qui donne

$$\begin{array}{r|l} 11 & 101 \\ \hline 110 & \\ -101 & 0.1001 \\ \hline & | \\ 010 & | \\ 100 & | \\ 1000 & | \\ -101 & | \\ \hline & | \\ 011 & | \end{array}$$

on retrouve le nombre de départ donc le développement est périodique et vaut  $0.1001\ 1001\ 1001\ \dots$ . On décale le point de 10 positions, on arrondit, donc trois cinquièmes est représenté par la mantisse  $1001100110$  et l'exposant  $-10$ . On observe aussi sur cet exemple que  $3/5$  dont l'écriture en base 10  $0.6$  est exacte, n'a pas d'écriture exacte en base 2 (de même que  $1/3$  n'a pas d'écriture exacte en base 10).

Il existe une exception à la possibilité de normaliser les flottants, lorsqu'on atteint la limite inférieure de l'exposant  $e$ . Soit en effet  $e_m$  le plus petit exposant des flottants normalisés et considérons les flottants  $x = b^{e_m}(1 + 1/b)$  et  $y = b^{e_m}$ . Ces flottants sont distincts, mais leur différence n'est plus représentable par un flottant normalisé. Comme on ne souhaite pas représenter  $x - y$  par 0, (puisque le test  $x == y$  renvoie faux), on introduit les flottants dénormalisés, il s'agit de flottants dont l'exposant est l'exposant minimal représentable sur machine et dont la mantisse appartient à  $[0, b^{n-1}[$ . Par exemple 0 est représenté par un flottant dénormalisé de mantisse 0 (en fait 0 a deux représentations, une de signe positif et une de signe négatif).

Enfin, on utilise traditionnellement une valeur de l'exposant pour représenter

les nombres plus grands que le plus grand réel représentable sur machine (traditionnellement appelé plus ou moins infini) et les erreurs (par exemple 0./0. ou racine carrée d'un nombre réel négatif, traditionnellement appelé NaN, Not a Number).

**Exercice :** quels sont les nombres réels représentables exactement en base 10 mais pas en base 2 ? Si on écrit  $1/10$  en base 2 avec 53 bits de précision, puis que l'on arrondit avec 64 bits de précision, ou si on écrit  $1/10$  en base 2 avec 64 bits de précision, obtient-on la même chose ?

Les ordinateurs représentent généralement les flottants en base 2 (cf. la section suivante pour plus de précisions), mais cette représentation n'est pas utilisée habituellement par les humains, qui préfèrent compter en base 10. Les ordinateurs effectuent donc la conversion dans les routines d'entrée-sortie. Le format standard utilisé pour saisir ou afficher un nombre flottant dans un logiciel scientifique est composé d'un nombre à virgule flottante utilisant le point comme séparateur décimal (et non la virgule) suivi si nécessaire de la lettre *e* puis de l'exposant, par exemple  $1.23e-5$  ou  $0.0000123$ . Dans les logiciels de calcul formel, pour distinguer un entier représentés par un entier d'un entier représenté par un flottant on écrit l'entier suivi de  $.0$  par exemple  $23.0$ .

**Remarque :**

Les microprocesseurs ayant un mode BCD peuvent avoir un format de représentation des flottants en base 10, les nombres décimaux comme par exemple 0.3 peuvent être représentés exactement. Certains logiciels, notamment maple, utilisent par défaut des flottants logiciels en base 10 sur des microprocesseurs sans mode BCD, ce qui entraîne une baisse de rapidité importante pour les calculs numériques (on peut partiellement améliorer les performances en utilisant `evalhf` en maple).

## 2.2.2 Les flottants au format double

Cette section développe les notions de la section précédente pour les flottants machine selon la norme IEEE-754, utilisables dans les langage de programmation usuels, elle peut être omise en première lecture. La représentation d'un double en mémoire se compose de 3 parties : le bit de signe  $s = \pm 1$  sur 1 bit, la mantisse  $M \in [0, 2^{52}[$  sur 52 bits, et l'exposant  $e \in [0, 2^{11}[$  sur 11 bits. Pour les nombres "normaux", l'exposant est en fait compris entre 1 et  $2^{11} - 2$ , le nombre représenté est le rationnel

$$(1 + \frac{M}{2^{52}})2^{e+1-2^{10}}$$

Pour écrire un nombre sous cette forme, il faut d'abord chercher par quel multiple de 2 il faut le diviser pour obtenir un réel  $r$  dans  $[1, 2[$ , ce qui permet de déterminer l'exposant  $e$ . Ensuite on écrit la représentation en base 2 de  $r - 1 \in [0, 1[$ . Exemples :

– -2

Signe négatif. Il faut diviser sa valeur absolue 2 par  $2^1$  pour être entre 1 et 2 dont  $e + 1 - 2^{10} = 1$ , l'exposant est  $e = 2^{10}$ . On a alors  $r = 1$ ,  $r - 1 = 0$ .

Représentation

1 10000000000 00000000...0000

–  $1.5=3/2$

Signe positif, compris entre 1 et 2 dont l'exposant vérifie  $e + 1 - 2^{10} = 0$

soit  $e = 2^{10} - 1 = 2^9 + 2^8 + 2^7 + 2^6 + 2^5 + 2^4 + 2^3 + 2^2 + 2^1 + 2^0$ . On a  $r - 1 = 1/2 = 2^{-1}$ . D'où la représentation

```
0 0111111111 10000000...0000
```

– 6.4=32/5

Positif. Il faut le diviser par  $2^2$  pour avoir  $8/5 \in [1, 2[$  donc  $e + 1 - 2^{10} = 2$  soit  $e = 2^{10} + 1$ . Ensuite  $r = 3/5$  qu'il faut écrire en base 2 (cf. section précédente), on écrit donc les 52 premiers éléments du développement avec une règle d'arrondi du dernier bit au nombre le plus proche. Ici le bit suivant le dernier 1001 est un 1, on arrondit donc à 1010. D'où la représentation

```
0 1000000001 100110011001...10011010
```

On observe que la représentation en base 2 de 6.4 a du être arrondie (car elle est infinie en base 2) bien qu'elle soit exacte (finie) en base 10. Seuls les entiers et les rationnels dont le dénominateur est une puissance de 2 peuvent être représentés exactement. Ceci entraîne des résultats qui peuvent surprendre comme par exemple le fait que  $0.5 - 5 \times 0.1$  n'est pas nul.

Des représentations spéciales (avec  $e = 0$  ou  $e = 2^{11} - 1$ ) ont été introduites pour représenter  $\pm\infty$  (pour les flottants plus grands en valeur absolue que le plus grand flottant représentable), et pour représenter les nombres non nuls plus petits que le plus petit flottant représentable de la manière exposée ci-dessus (on parle de flottants dénormalisés), ainsi que le nombre NaN (Not a Number) lorsqu'une opération a un résultat indéfini (par exemple 0/0).

Remarque : Sur les processeurs compatibles avec les i386, le coprocesseur arithmétique i387 gère en interne des flottants avec 80 bits dont 64 bits de mantisse. Sur les architectures 64 bits (x86 ou AMD), le jeu d'instruction SSE permet de travailler avec des flottants de 128 bits. Le compilateur gcc permet d'utiliser ces flottants longs avec le type `long double` ou les types `__float80` et `__float128` en utilisant un drapeau de compilation du type `-msse`

### 2.2.3 Opérations sur les flottants

Les opérations arithmétiques de base sur les flottants se font de la manière suivante :

- addition et soustraction : on détecte s'il faut additionner ou soustraire en valeur absolue en analysant les signes, on détermine l'exposant le plus grand et on décale la partie mantisse du flottant dont l'exposant est le plus petit pour se ramener à additionner deux entiers (partie mantisses correspondant au même exposant), on décale à nouveau la partie mantisse en modifiant l'exposant après l'opération pour normaliser le flottant
- multiplication : on additionne les exposants et on multiplie les parties mantisses (vus comme des entiers), on arrondit et on ajuste l'exposant si nécessaire
- division : on soustrait les exposants et on divise les parties mantisses (division "à virgule"), on tronque et on ajuste l'exposant si nécessaire

### 2.2.4 Erreurs

La représentation des nombres réels par des doubles présente des avantages, les opérations arithmétiques sont faites au plus vite par le microprocesseur. Les

coprocesseurs arithmétiques (intégrés sur les microprocesseurs de PC) proposent même le calcul des fonctions usuelles (trigonométriques, racine carrée, log et exp) sur le type double et utilisent des formats de représentation interne ayant plus de 64 bits pour les doubles, ce qui permet de limiter les erreurs d'arrondi. Par contre, des erreurs vont être introduites, on parle de calcul approché par opposition au calcul exact sur les rationnels. En effet, la représentation doit d'abord arrondir tout réel qui n'est pas un rationnel dont le dénominateur est une puissance de 2. Ensuite chaque opération va entraîner une propagation de ces erreurs et va y ajouter une erreur d'arrondi sur le résultat. Enfin, l'utilisation du type double peut provoquer un dépassement de capacité (par exemple  $100! * 100!$ ).

Pour diminuer ces erreurs et les risques de dépassement de capacité, il existe des types flottants multiple précision, qui permettent de travailler avec un nombre fixé à l'avance de décimales et une plage d'exposants plus grande. Les calculs sont plus longs mais les erreurs plus faibles. Attention, il s'agit toujours de calcul approché ! De plus, pour des quantités dont la valeur est déterminée de manière expérimentale, la source principale de propagation d'erreurs est la précision des quantités initiales, il ne sert souvent à rien d'utiliser des types flottants multiprécision car les erreurs dus à la représentation (double) sont négligeables devant les erreurs de mesure. Dans ce cas, il est pertinent lorsqu'on évalue  $f(x)$  avec  $x$  mal connu de calculer aussi  $f'(x)$ , en effet :

$$f(x(1+h)) = f(x) + xhf'(x) + O(h^2)$$

L'erreur relative sur  $f(x)$  est donc au premier ordre multipliée par

$$\left| \frac{xf'(x)}{f(x)} \right|$$

Par exemple, l'erreur relative sur  $e^x$  est au premier ordre l'erreur relative sur  $x$  multipliée par  $|x|$ .

### 2.2.5 Erreur absolue, relative, arrondi propagation des erreurs.

On a vu précédemment que pour représenter un réel, on devait l'arrondir, ce qui introduit une erreur même si le réel est connu exactement (par exemple  $1/10$ ). Voyons comment se propagent les **erreurs** dans les opérations arithmétiques de base : on distingue l'addition, la multiplication et l'inversion. La soustraction se ramène à l'addition car le calcul de l'opposé n'introduit aucune erreur nouvelle. Pour l'addition, si  $|x - x_0| \leq \varepsilon_0$  et si  $|y - y_0| \leq \varepsilon_1$  alors par l'inégalité triangulaire ( $|a + b| \leq |a| + |b|$ ), on a :

$$|(x + y) - (x_0 + y_0)| \leq |x - x_0| + |y - y_0| \leq \varepsilon_0 + \varepsilon_1$$

on dit que les erreurs *absolues* s'additionnent.

**Définition 2** L'erreur absolue est définie comme un majorant de la valeur absolue de la différence entre le nombre réel et son représentant double :

$$|x - x_0| \leq \varepsilon$$

Mais comme il faut représenter  $x_0 + y_0$  en machine, on doit ajouter une erreur d'arrondi, qui est proportionnelle à la valeur absolue de  $x_0 + y_0$  d'où la notion d'erreur *relative* :

**Définition 3** *L'erreur relative est égale à l'erreur absolue divisée par la valeur absolue du nombre*

$$|x - x_0| \leq \varepsilon |x_0|$$

Remarquons au passage que les erreurs de mesure expérimentales sont pratiquement toujours des erreurs relatives.

Donc lorsqu'on effectue une addition (ou une soustraction) de deux réels sur machine, on doit additionner les deux erreurs absolues sur les opérandes et ajouter une erreur d'arrondi (relative de  $2^{-53}$ , à titre d'exercice, on pourra vérifier que cette erreur d'arrondi est majorée par l'erreur absolue de la somme  $x + y$  dès l'instant où  $x$  et  $y$  ont eux-même une erreur d'arrondi).

Lorsqu'on effectue une multiplication de deux nombres  $x, y$  dont les représentants  $x_0, y_0$  sont non nuls, on a

$$\left| \frac{xy - x_0y_0}{x_0y_0} \right| = \left| \frac{x}{x_0} \frac{y}{y_0} - 1 \right| = \left| \left( \frac{x}{x_0} - 1 \right) \left( \frac{y}{y_0} - 1 \right) + \left( \frac{x}{x_0} - 1 \right) + \left( \frac{y}{y_0} - 1 \right) \right|$$

l'erreur relative est donc la somme des erreurs relatives et du produit des erreurs relatives (on peut souvent négliger le produit devant la somme). Il faut aussi y ajouter une erreur relative d'arrondi de  $2^{-53}$  sur  $x_0y_0$ .

On observe que la multiplication est une opération posant moins de problèmes que l'addition, car on manipule toujours des erreurs relatives, par exemple si l'erreur relative sur deux doubles  $x$  et  $y$  non nuls est de  $2^{-53}$ , alors l'erreur relative sur  $xy$  sera de

$$2^{-53} + 2^{-53} + 2^{-106} + 2^{-53} \approx 3 \times 2^{-53}$$

Lorsque l'erreur relative sur les données est grande devant  $2^{-53}$ , l'erreur relative d'arrondi final est négligeable, on peut alors dire que les erreurs relatives s'additionnent pour un produit (c'est aussi vrai pour un quotient : exercice !). Par contre, si on additionne deux nombres dont le représentant de la somme est proche de 0, la somme des erreurs absolues peut devenir non négligeable par rapport à la somme des représentants, entraînant une erreur relative très grande. Par exemple si  $x$  est représenté par  $x_0 = 1 + 2^{-52}$  avec une erreur d'arrondi de  $2^{-53}$  et  $y$  par  $y_0 = -1$  avec la même erreur d'arrondi, l'addition de  $x$  et  $y$  renvoie  $2^{-52}$  avec une erreur absolue de  $2 * 2^{-53}$  (ici il n'y a pas d'arrondi lorsqu'on fait la somme). C'est une erreur relative de 1 (qui domine largement l'erreur d'arrondi) ce qui signifie que dans la mantisse, seul le premier bit sur les 52 a un sens, la perte de précision est très grande.

Une autre conséquence importante est que l'addition de réels sur machine n'est pas une opération associative, par exemple

$$(2.0^{-53} + 2.0^{-53}) + 1.0 \rightarrow 1 + 2^{-52}$$

alors que

$$(2.0^{-53} + 1.0) + 2.0^{-53} \rightarrow 1$$



Si on a plusieurs termes à additionner, il faut commencer par additionner entre eux les termes les plus petits, pour que les petits termes ne soient pas absorbés un à un dans les erreurs d'arrondi (les petits ruisseaux font les grands fleuves).

Exercice : pour calculer la valeur numérique d'une dérivée de fonction, il vaut mieux calculer  $(f(x+h) - f(x-h))/(2h)$  que  $(f(x+h) - f(x))/h$ . Attention toutefois à ne pas prendre  $h$  trop petit, sinon  $x+h = x$  ! Par exemple  $h = 10^{-8}$  donne un  $h^2$  de l'ordre des erreurs d'arrondi.

Remarquons néanmoins que les erreurs calculées ici sont des majorations des erreurs réelles (ou si on préfère l'erreur obtenue dans le pire des cas), statistiquement les erreurs sur les résultats sont moindres, par exemple si on effectue  $n$  calculs susceptibles de provoquer des erreurs indépendantes suivant une même loi d'espérance nulle, la moyenne des erreurs divisée par l'écart-type de la loi tend vers une loi normale centrée réduite. De manière plus déterministe, on a l'inégalité de Bienaymé-Tchebyshev

$$P(|X| > \alpha) \leq \frac{n\sigma^2}{\alpha^2}$$

où  $X$  est la variable aléatoire somme des  $n$  erreurs,  $\alpha$  l'erreur et  $n\sigma^2$  la variance de la somme  $n$  erreurs supposées indépendantes, cette probabilité tend vers 0 pour  $n$  grand si  $\alpha$  est d'ordre  $n$ , et ne tend pas vers 0 si  $\alpha$  est de l'ordre de  $\sqrt{n}$ .

Il est d'ailleurs souvent trop difficile de calculer une majoration rigoureuse de l'erreur pour des calculs sauf les plus simples. Lorsqu'on doute de la précision d'un calcul, un test peu coûteux consiste à refaire ce calcul en utilisant des flottants en précision plus grande et tester si le résultat varie en fonction du nombre de chiffres significatifs utilisés, ou faire varier légèrement les données et observer la sensibilité du résultat. Si on veut travailler en toute rigueur sans pour autant calculer les erreurs à priori, il faut utiliser un logiciel utilisant des intervalles pour représenter les réels (par exemple la bibliothèque C MPFI).

## 2.3 Calcul exact et approché, types, évaluation.

Dans les langages de programmation traditionnel (C, Pascal,...), il existe déjà des types permettant une représentation exacte des données (type entier) ou une représentation approchée (type flottant). Mais ces types de donnée de base occupent une taille fixe en mémoire, le type entier est donc limité à un intervalle d'entiers (par exemple  $[0, 2^{32} - 1]$  pour un entier non signé sur une machine utilisant un processeur 32 bits) alors que le type flottant peut représenter des nombres réels, mais est limité à une précision en nombre de digits de la mantisse et de l'exposant (par exemple 12 chiffres significatifs et un exposant compris entre -499 et 499).

En calcul formel, on souhaite pouvoir calculer rigoureusement d'une part, et avec des paramètres dont la valeur n'est pas connue d'autre part ; il faut donc s'affranchir de ces limites :

- pour les entiers relatifs, on utilise des entiers de *précision arbitraire* dont la taille en mémoire est dynamique (déterminée pendant l'exécution et non à la compilation),
- pour les nombres complexes, on utilise un couple de nombres réels,
- pour les rationnels, on utilise un couple d'entiers relatifs,
- pour les irrationnels algébriques (par exemple  $\sqrt{2}$ ), on utilise un polynôme irréductible dont ils sont racines,

- pour les paramètres  $(x, y, z, t \dots)$ , on utilise un type structuré contenant un champ de type chaîne de caractères pour représenter le nom du paramètre et un champ pour attribuer une valeur à (ou une hypothèse sur) ce paramètre,
- pour les nombres transcendants (par exemple  $\pi$ ), on est obligé d'introduire un paramètre auquel on attribue une valeur numérique, qui ne sera utilisée qu'au moment où on veut une approximation numérique d'une expression contenant ce nombre transcendant, on parle de constante,
- lorsqu'on a besoin d'une approximation numérique d'un nombre, on peut utiliser des conversions de ces types en un type flottant. On peut aussi pour lutter contre les erreurs d'arrondi utiliser des nombres flottants étendus dont la précision est dynamique ou même des intervalles de flottants étendus,
- il faut aussi un nouveau type, appelé expression ou symbolique, permettant d'appliquer une fonction qu'on ne peut évaluer directement sur les objets précédents, par exemple  $\sin(x)$ . Il doit s'agir d'une opération de clôture, au sens où appliquer une fonction à un objet symbolique ne nécessite pas la création d'un nouveau type (en général on renvoie un objet symbolique).

Enfin, il faut pouvoir évaluer un objet (en particulier symbolique) : par exemple évaluer  $\sin(x)$  lorsqu'on assigne une valeur à  $x$ . Dans cet exemple, on voit qu'il faut d'abord remplacer  $x$  par sa valeur avant de lui appliquer la fonction sinus. C'est le mécanisme général de l'évaluation, mais il y a quelques exceptions où on souhaite empêcher l'évaluation d'un ou plusieurs arguments d'une fonction avant l'évaluation de la fonction. Par exemple si on veut calculer la valeur numérique d'une intégrale par des méthodes de quadrature, on ne souhaitera pas rechercher une primitive de la fonction à intégrer. Dans le jargon, on parle alors de "quoter" un argument (l'origine du terme vient probablement de la notation ' du langage Lisp). Certaines fonctions doivent toujours quoter leurs arguments (par exemple la fonction qui permet de purger le contenu d'un paramètre), on parle parfois d'auto-quotation.

## 2.4 Forme normale et reconnaissance du 0.

Une fois défini ces types de base représentant les nombres d'un système de calcul formel, il faut pouvoir comparer ces nombres, en particulier décider si deux représentations distinctes correspondent au même nombre ou, ce qui revient au même, par soustraction décider quand un nombre est nul. Par exemple  $4/2$  et  $2$  représentent le même nombre. Lorsqu'on dispose d'un algorithme permettant de représenter un nombre d'une manière unique, on parle de forme normale. C'est par exemple le cas pour les nombres rationnels, la forme normale usuelle est la fraction irréductible de dénominateur positif. C'est aussi le cas pour les fractions rationnelles de polynômes à coefficients entiers représentées par une fraction irréductible, avec au dénominateur un coefficient de plus haut degré positif. Malheureusement, il n'est pas toujours possible de trouver une forme normale pour diverses raisons théoriques ou pratiques :

- on ne connaît pas toujours le statut de certaines constantes (par exemple la constante d'Euler),
- il n'existe pas d'algorithmes permettant de déterminer s'il existe des relations algébriques entre constantes,

- il n'existe pas forcément une seule forme plus simple, par exemple :

$$\frac{(\sqrt{2}+1)x+1}{x+\sqrt{2}+1} = \frac{x+\sqrt{2}-1}{(\sqrt{2}-1)x+1}$$

Ce cas se présente fréquemment avec les extensions algébriques.

- en pratique il peut être trop coûteux d'utiliser une forme normale, par exemple le polynôme  $\frac{x^{1000}-1}{x-1}$  possède 1000 monômes

En résumé, au mieux on a une forme normale, au pire on risque de ne pas reconnaître un zéro, entre les deux on peut ne pas avoir de forme normale mais être capable de reconnaître à coup sûr une expression nulle (par contre, si le système de calcul formel détermine qu'une expression est nulle, alors elle l'est).

Il n'existe pas d'algorithme solution pour le problème de la reconnaissance du zéro pour une classe d'expressions "assez générale". Heureusement, dans la plupart des cas pratiques on sait résoudre ce problème, en se ramenant le plus souvent au cas des polynômes et fractions rationnelles. Par exemple, pour simplifier une expression trigonométrique, on remplace les fonctions trigonométriques  $\sin(x)$ ,  $\cos(x)$ ,  $\tan(x)$  par leur expression en fonction de  $t = \tan(x/2)$ , on est ainsi ramené à une fraction rationnelle en  $t$  que l'on écrit sous forme normale.

Les polynômes ont un rôle central dans tout système de calcul formel puisque sauf dans les cas les plus simples (fractions d'entiers par exemple), la simplification d'expressions fait appel à un moment ou à un autre à des calculs de PGCD de polynômes. Le PGCD de polynômes est un algorithme très sollicité auquel nous consacrerons une section. En effet, l'application brutale de l'algorithme d'Euclide pose des problèmes d'efficacité ce qui a obligé à inventer des méthodes plus efficaces. Anticipons rapidement sur un exemple qui montre l'un des problèmes majeurs des algorithmes de calcul formel, l'explosion en taille (ici des coefficients des restes successifs). Voici donc les restes successifs lorsqu'on applique l'algorithme d'Euclide pour calculer le PGCD de  $P(x) = (x+1)^7 - (x-1)^6$  avec sa dérivée (les deux polynômes sont premiers entre eux) :

$$\begin{array}{l} 7(x+1)^6 - 6(x-1)^5 \\ \frac{162}{49}x^5 + \frac{-390}{49}x^4 + \frac{1060}{49}x^3 + \frac{-780}{49}x^2 + \frac{474}{49}x + \frac{-78}{49} \\ \frac{157780}{729}x^4 + \frac{-507640}{2187}x^3 + \frac{290864}{729}x^2 + \frac{-101528}{729}x + \frac{28028}{729} \\ \frac{1}{49}\left(\frac{1400328}{2645}x^3 + \frac{-732888}{2645}x^2 + \frac{1133352}{3703}x + \frac{-732888}{18515}\right) \\ \frac{1}{2187}\left(\frac{2161816376832}{4669921}x^2 + \frac{-555436846944}{4669921}x + \frac{301917024864}{4669921}\right) \\ \frac{1}{907235}\left(\frac{469345063045455}{129411872}x + \frac{-47641670106615}{129411872}\right) \\ \frac{5497465490623352995840}{209648836272383412129} \end{array}$$

Le lecteur voulant tester d'autres exemples pourra utiliser le programme Xcas (cf. l'appendice) suivant :

```
pgcd(a):={
  local b,r,res;
```

```

b:=diff(a,x);
res:=NULL;
for (;b!=0;){
    res:=res,b;
    r:=rem(a,b);
    a:=b;
    b:=r;
}
return(res);
}

```

## 2.5 Valeur générique des variables et hypothèses

Lorsqu'on utilise un symbole sans lui affecter de valeurs en mathématiques on s'attend à une discussion en fonction du paramètre représenté par ce symbole. Ce qui nécessiterait de créer un arborescence de calculs (on retrouve ici les problèmes d'explosion évoqués dans la section précédente). La plupart des systèmes de calcul formel contournent la difficulté en supposant que le paramètre possède une valeur générique (par exemple la solution de  $(t^2 - 1)x = t - 1$  sera  $x = 1/(t + 1)$ ) ou choisissent une branche pour les fonctions possédant un point de branchement (par exemple pour résoudre  $x^2 = t$  en fonction de  $t$ ). Certains systèmes demandent de manière interactive à l'utilisateur si la variable est par exemple positive ou différente de 1 mais cela s'oppose à un traitement automatique. On peut aussi anticiper ce type de décision en faisant des hypothèses sur une paramètre, la plupart des systèmes de calcul formel actuel proposent cette possibilité.

## 2.6 Structures de données

On a vu plus haut qu'on souhaitait manipuler des entiers de taille non fixe, des réels de précision fixe ou non, des fractions, des nombres complexes, des extensions algébriques, des paramètres, des expressions symboliques. La plupart des systèmes proposent un type générique qui recouvre ces divers types de scalaire. On peut par exemple utiliser un type structuré comportant un champ type et la donnée ou un pointeur sur la donnée (avec dans ce cas un pointeur sur un compteur de références de la donnée pour pouvoir la détruire dès qu'elle n'est plus référencée<sup>1</sup>). En programmation orientée objet, on utiliserait plutôt un type abstrait dont dérivent ces différents scalaires et le polymorphisme.

Il faut aussi un type pour les vecteurs, les matrices et les listes. Il faut prendre garde à la méthode utilisée par le système lorsqu'on modifie un élément d'un vecteur, matrice ou liste : soit on effectue une copie de tout l'objet en modifiant l'élément, soit on modifie l'élément de l'objet original. La première méthode (par valeur) est plus aisée à comprendre pour un débutant mais la seconde méthode (par référence) est bien plus efficace.

On peut se poser la question de savoir s'il faut inclure ces types dans le type générique ; en général la réponse est affirmative, une des raisons étant que les in-

---

1. Certains systèmes de calcul formel (calculatrices par exemple) utilisent d'ailleurs des méthodes spécifiques pour gérer le problème de la fragmentation de la mémoire, appelés "garbage collector". Ce type de méthode est intégré dans des langages comme Lisp ou Java, en C/C++ on trouve des libraries pour cela, par exemple GC de Boehm, incluse dans la distribution de GCC.

terpréteurs qui permettront de lire des données dans un fichier texte sont en général basé sur le couple de logiciels `lex(flex)/yacc(bison)` qui ne peut compiler qu'à destination d'un seul type. Ceci permet également d'unifier en un seul type symbolique les fonctions ayant un ou plusieurs arguments en voyant plusieurs arguments comme un vecteur d'arguments. Les fonctions sont le plus souvent elle-même incluses dans le type générique permettant ainsi à l'utilisateur de saisir des commandes ou programmes fonctionnels (on peut utiliser une fonction comme argument d'une commande).

Pour des raisons d'efficacité, les systèmes de calcul formel utilisent souvent des représentations particulières pour les polynômes dont on a dit qu'ils jouaient un rôle central. Pour les polynômes à une variable, on peut utiliser la liste des coefficients du polynôme, on parle alors de représentation dense. On peut aussi décider de ne stocker que les coefficients non nuls, on parle alors de représentation creuse (on stocke alors un couple formé par le coefficient et le degré du monôme correspondant). Pour les polynômes à plusieurs variables, on peut les considérer comme des polynômes à une variable à coefficients polynomiaux, on parle alors de représentation récursive. On peut aussi décider de ne pas briser la symétrie entre les variables (pas de variable principale), on parle alors de représentation distribuée, le plus souvent les représentation distribuées sont creuses car les représentations denses nécessitent très vite beaucoup de coefficients. Les méthodes de représentation creuses sont parfois aussi utilisées pour les matrices ayant beaucoup de coefficients nuls.

Voyons maintenant plus précisément sur quelques exemples de logiciels de calcul formel répandus quelles structures de données sont utilisées. Plusieurs éléments entrent en compte dans les choix faits :

- le(s) profil(s) d'utilisation (enseignement, ingénierie, calcul intensif, recherche)
- les ressources disponibles (mémoire, puissance du processeur...)
- la facilité d'implémentation (choix du langage, outils disponibles en particulier débogueurs, ...)
- l'histoire du système (un système conçu avec les outils disponibles aujourd'hui est forcément différent d'un système conçu il y a 20 ans)

Nous allons d'abord parler des calculatrices formelles HP et TI des années 2000<sup>2</sup>. Ce sont des systèmes plutôt destinés à l'enseignement, soumis à de fortes contraintes en termes de taille mémoire, et destinés à traiter des petits problèmes. Puis nous présenterons des systèmes pour ordinateur où les ressources (par exemple mémoire) sont moins limitées ce qui permet d'utiliser des langages de programmation de plus haut niveau.

### 2.6.1 Calculatrices formelles HP

Les langages utilisés pour programmer ces calculateurs sont l'assembleur et le RPL (Reverse Polish Lisp) adapté à l'écriture de code en mémoire morte très compact.

Le type générique est implémenté avec un champ type appelé prologue (qui est en fait un pointeur sur la fonction chargée d'évaluer ce type d'objet) suivi de la

---

2. Les HP Prime utilisent Giac comme noyau de calcul formel, les TI Nspire CAS utilisent sans doute une version actualisée du système utilisé sur les TI 89, 92, Voyage 200.

donnée elle-même (et non d'un pointeur sur la donnée, on économise ainsi la place mémoire du compteur de référence).

Le type entier en précision arbitraire est codé par le nombre de digits (sur 5 quartets<sup>3</sup>) suivi du signe sur un quartet et de la représentation BCD (en base 10) de la valeur absolue de l'entier. Le choix de la représentation BCD a été fait pour optimiser les temps de conversion en chaîne de caractères pour l'affichage. La mémoire vive disponible est de 256K, c'est elle qui limite la taille des entiers et non le champ longueur de l'entier. Il n'y a pas de type spécifique pour les rationnels (on utilise un objet symbolique normal).

Les fonctions internes des HP49/50/40 utilisent le type programme pour représenter les entiers de Gauß (complexes dont la partie réelle et imaginaire est entière). Les nombres algébriques ne sont pas implémentés, sauf les racines carrées (représentée de manière interne par le type programme). Il y a un type spécifique prévu pour les flottants en précision arbitraire, mais l'implémentation des opérations sur ces types n'a pas été intégrée en ROM à ce jour.

Les types listes, programmes et objet symbolique sont composés du prologue (champ type) suivi par la succession d'objets situés en mémoire vive ou de pointeurs sur des objets situés en mémoire en lecture seule (ROM) et se terminent par un pointeur sur une adresse fixe (appelée SEMI). Ces types sont eux-mêmes des objets et peuvent donc être utilisés de manière récursive. La longueur des types listes, programmes, symboliques n'est stockée nulle part, c'est le délimiteur final qui permet de la connaître, ce qui est parfois source d'inefficacité. On utilise de manière interne les listes pour représenter les polynômes denses (avec représentation récursive pour les polynômes à plusieurs variables).

Les calculatrices HP4xG utilisent une pile<sup>4</sup>, c'est-à-dire une liste de taille non fixée d'objets. On place les objets sur la pile, l'exécution d'une fonction prend ces arguments sur la pile et renvoie un ou plusieurs résultats sur la pile (ce qui est une souplesse du RPN comparé aux langages où on ne peut renvoyer qu'une valeur de retour). Il faut donc donner les arguments avant d'appeler la fonction correspondante. Par exemple pour calculer  $a + b$  on tapera  $a \ b \ +$ . C'est la syntaxe dite polonaise inversée (RPN). Un avantage de cette syntaxe est que le codage d'un objet symbolique par cette syntaxe est évidente, il suffit de stocker la liste précédente  $\{a \ b \ +\}$ . Les objets symboliques sont donc représentés par une suite d'objets écrits en syntaxe polonaise inversée. L'évaluation d'un objet symbolique se fait dans l'ordre polonaise inversé : les arguments sont évalués puis les fonctions leur sont appliqués. Pour des raisons d'efficacité, on représente souvent les objets composites (listes, symboliques) par leurs composants placés sur la pile (appelé meta-objets).

Une rigidité de la syntaxe polonaise est que les fonctions ont toujours un nombre fixe d'arguments<sup>5</sup>, par exemple l'addition a toujours 2 arguments, ainsi  $a + b + c$  est obtenu par  $(a + b) + c$  ou par  $a + (b + c)$  c'est-à-dire respectivement  $a \ b \ + \ c \ +$  ou  $a \ b \ c \ + \ +$  ce qui brise parfois artificiellement la symétrie de certaines opérations. En polonaise inversée, le système doit de plus jongler avec l'autoquote

---

3. un quartet=un demi octet

4. Plus précisément deux piles, la pile de donnée et la pile gérant le flux d'exécution. Cette dernière n'est pas visible par l'utilisateur

5. Sauf si on utilise comme dernier argument le nombre d'arguments de la fonction ou si on utilise (cf. infra) un tag de début de liste d'arguments

puisque les arguments sont évalués avant l'opérateur qui éventuellement demanderait à ne pas évaluer ses arguments. À noter l'existence d'une commande `QUOTE` permettant à l'utilisateur de citer une sous-expression.

Les hypothèses sur des variables réelles sont regroupées dans une liste stockée dans la variable globale `REALASSUME`, on peut supposer qu'une variable est dans un intervalle. Il n'y a pas à ce jour de possibilité de supposer qu'une variable est entière (ni à fortiori qu'une variable à une valeur modulo un entier fixé), bien qu'il ait été décidé de réserver la variable globale `INTEGERASSUME` à cet effet. Il n'y a pas de possibilité de faire des hypothèses ayant une portée locale.

### 2.6.2 Calculatrices formelles TI

Le langage utilisé pour programmer ces calculatrices est le langage C (on peut aussi écrire du code en assembleur pour ces calculatrices). On retrouve ici les différents types de données regroupé en un type générique qui est un tableau d'octets (aussi appelé quantum). Le champ type est appelé tag dans la documentation TI. Contrairement à ce qui précède, ce champ type est placé en mémoire à la fin de l'objet, ce qui est possible car la longueur d'un objet est toujours indiquée au début de l'objet. Ceci est fait afin de faciliter l'évaluation (cf. infra).

Les entiers en précision arbitraire sont codés par un tag parmi deux (pour différencier le signe), un octet pour la longueur, puis la valeur absolue de l'entier (en base 256). Ils sont donc limités par le champ longueur à 255 octets, le plus grand entier représentable est <sup>6</sup>  $(256^{255} - 1)$ . Il existe un tag spécifique pour les rationnels, pour les constantes réelles et entières qui apparaissent par exemple en résolvant une équation. Il existe des tags utilisés de manière interne, par exemple pour les nombres complexes. Il n'y a pas de tag prévu pour les flottants en précision arbitraire, ni pour les nombres algébriques (racines carrées par exemple).

Les listes sont codées par la succession de leurs éléments. En principe elles ne peuvent pas contenir des listes (sauf pour représenter une matrice). Quelques fonctions utilisent les listes pour représenter des polynômes denses à une variable, mais probablement pas pour représenter de manière récursive des polynômes à plusieurs variables (puisque le type liste n'est en principe pas récursif).

Comme les HP, les TI utilisent une pile (non visible par l'utilisateur) appelée expression stack afin de traduire une expression mathématique sous forme d'un texte en un objet symbolique codé exactement comme ci-dessus en syntaxe polonaise. Toutefois, la présence du champ longueur permet d'évaluer un objet symbolique sans perdre en efficacité en partant de l'opérateur final et en redescendant ensuite sur ces arguments, c'est la stratégie adoptée. C'est pour cela que le tag d'identification se trouve à la fin de l'objet. L'utilisation de cette méthode facilite grandement l'autoquotation (on peut toutefois regretter que le système n'ait pas prévu d'instruction permettant à l'utilisateur d'empêcher l'évaluation d'une sous-expression).

On ne peut pas faire d'hypothèse globale sur un paramètre par contre on peut faire des hypothèses de type appartenance à un intervalle ayant une portée locale.

---

6. Toutefois une adaptation du logiciel utilisant comme quantum de base par exemple 32 bits porterait cette limite à  $65536^{65535} - 1$

### 2.6.3 Maple, Mathematica, ...

Ces systèmes ont un noyau fermé, au sens où l'utilisateur n'a pas accès du tout, ou en tout cas pas facilement, aux structures de données de base. Je ne dispose donc pas d'information sur les structures de données utilisées par le noyau.

L'interaction système-utilisateur se fait quasiment toujours en utilisant le langage de programmation propre au système, langage interprété par le noyau du système (ce qui ralentit l'exécution). Ces langages utilisateurs sont essentiellement non typés : on travaille avec des variables du type générique sans pouvoir accéder aux types sous-jacents. On ne bénéficie en général pas des vérifications faites lors de la compilation avec un langage typé, de plus ces systèmes ne sont pas toujours fournis avec de bons outils de mise au point. Enfin ces langages ne sont pas standardisés d'un système à l'autre et il est en général impossible d'utiliser ces systèmes comme des bibliothèques depuis un langage de programmation traditionnel. Leur intérêt principal réside donc dans une utilisation interactive en profitant de la bibliothèque de fonctions accessibles.

### 2.6.4 Giac/xcas

Il s'agit du système de calcul formel que j'implémente actuellement sous forme d'une bibliothèque C++ (ce qui permettra aux programmes tiers d'utiliser beaucoup plus facilement du calcul formel qu'avec les systèmes précédents). L'objectif est d'avoir un système facile à programmer directement en C++, proche du langage utilisateur, lui-même compatible avec Maple ou MuPAD, tout cela sans trop perdre en performances comparativement aux bibliothèques spécialisées écrites en C/C++. Ce qui explique un choix de type générique (`gen`) non orienté objet, avec un champ type et soit une donnée immédiate (pour les nombres flottants par exemple), soit un pointeur vers un objet du type correspondant au champ type pour les données de taille non fixe (on pourrait donc se contenter du langage C, mais le langage C++ permet de redéfinir les opérateurs sur des types utilisateurs ce qui améliore considérablement la lisibilité du code source). Les données dynamiques ne sont pas dupliquées, Giac utilise un pointeur sur un compteur de référence pour détruire ces données lorsqu'elles ne sont plus référencées.

Les entiers en précision arbitraire sont hérités de la bibliothèque GMP (écrite en C) du projet GNU. Les flottants en précision arbitraire utiliseront aussi GMP (plus précisément MPFR). Il y a un type fraction, structure C composé d'un champ numérateur et d'un champ dénominateur, et un type nombre complexe.

Les listes, vecteurs, matrices utilisent le type paramétré `vector<>` de la bibliothèque standard C++ (Standard Template Library). Les objets symboliques sont des structures composées d'un champ sommet qui est une fonction prenant un argument de type `gen` et renvoyant un résultat de type `gen`, et d'un champ feuille qui est de type `gen`. Lorsqu'une fonction possède plusieurs arguments, ils sont rassemblés en une liste formant le champ feuille de l'objet symbolique. Les programmes sont aussi des objets symboliques, dont le champ sommet est la fonction évaluation d'un programme. Les listes sont aussi utilisées pour représenter vecteurs, matrices et polynômes en une variable en représentation dense, on peut y accéder par valeur (`:=`) ou par référence (`=<`). Ces polynômes servent eux-mêmes à représenter des éléments d'une extension algébrique de  $\mathbb{Q}$  (vus comme un couple de polynômes  $P, Q$ , où  $Q$  est un polynôme minimal irréductible à coefficients en-



tiers, autrement dit  $P, Q$  vaut  $P(\alpha)$  où  $Q(\alpha) = 0$ ), ou des éléments d'un corps fini (comme ci-dessus, mais ici  $Q$  est à coefficients dans  $\mathbb{Z}/p\mathbb{Z}$  avec  $p$  premier, cf. la commande `GF`). Giac possède aussi un type pour les polynômes en représentation creuse distribuée en plusieurs indéterminées (cf. les commandes `symb2poly` et `poly2symb`).

L'évaluation d'un objet symbolique se fait en regardant d'abord si la fonction au sommet doit évaluer ou non ses arguments (autoquote), on évalue les arguments si nécessaire puis on applique la fonction.

Une hypothèse sur un paramètre est une valeur spéciale affectée au paramètre, valeur ignorée par la routine d'évaluation.

## 2.7 Algorithmes et complexité.

On va présenter dans la suite quelques algorithmes que l'on peut considérer comme classiques dans le domaine du calcul formel. Avant d'implémenter ce type d'algorithmes, on a besoin des algorithmes de base en arithmétique. Le lecteur trouvera en appendice une brève présentation de certains de ces algorithmes, mes références en la matière sont le livre de Henri Cohen, et les livres de Donald Knuth (cf. appendice).

La plupart des problèmes posés en calcul formel nécessitent des calculs dont la taille croît de manière exponentielle voire doublement exponentielle en fonction de la taille des données et ce même si le résultat est lui aussi de taille petite. Un exemple est la réduction des systèmes de plusieurs équations polynomiales (bases de Groebner). Dans certains cas, l'application de théories mathématiques parfois sophistiquées permet de réduire la complexité (par exemple, M. Van Hoeij a découvert récemment qu'un algorithme très utilisé en théorie des nombres, l'algorithme LLL, permettait d'améliorer la complexité d'une des étapes de la factorisation des polynômes à coefficients entiers sur les entiers). Heureusement, dans de nombreux cas, on peut réduire la complexité (donc le temps de calcul) par des adaptations au problème d'une même idée à condition de faire des hypothèses sur les données (autrement dit en abandonnant la volonté d'implémenter un algorithme très générique, ou tout au moins en spécialisant des algorithmes génériques).

Par exemple lorsqu'on travaille avec des entiers (ou des polynômes à coefficients entiers, ou des matrices à coefficients entiers...) on utilise souvent des algorithmes modulaires et  $p$ -adiques. Comme le calcul exact nécessite presque toujours de calculer avec des entiers, ces méthodes ont un rôle central en calcul formel, nous les présentons donc maintenant brièvement. Dans les prochaines sections, nous utiliserons ce type de méthode, par exemple pour le calcul de PGCD ou la factorisation de polynômes à coefficients entiers.

Les méthodes modulaires consistent à réduire un problème dans  $\mathbb{Z}$  à son équivalent dans  $\mathbb{Z}/n\mathbb{Z}$  pour une ou plusieurs valeurs de  $n$ , nombre premier. Le calcul dans  $\mathbb{Z}/n\mathbb{Z}$  a l'avantage de se faire avec des entiers dont la taille est bornée. Ensuite à l'aide d'estimations a priori sur la taille des solutions éventuelles du problème initial, on reconstruit la solution au problème initial avec le théorème des restes chinois.

Par exemple, on peut calculer un déterminant d'une matrice à coefficients entiers en cherchant ce déterminant dans  $\mathbb{Z}/n\mathbb{Z}$  pour plusieurs nombres premiers  $n$ , dont le produit est deux fois plus grand qu'une estimation a priori de la taille du

déterminant (donnée par exemple par l'inégalité d'Hadamard, cf. Cohen, p. 50).

Les méthodes  $p$ -adiques commencent de manière identique par un calcul dans  $\mathbb{Z}/n\mathbb{Z}$ , on augmente ensuite la précision de la solution en la « liftant » de  $\mathbb{Z}/n^k\mathbb{Z}$  vers  $\mathbb{Z}/n^{k+1}\mathbb{Z}$  ou vers  $\mathbb{Z}/n^{2k}\mathbb{Z}$  (lift linéaire ou lift quadratique), on s'arrête lorsque  $k$  est assez grand (à l'aide d'estimations a priori) et on reconstruit alors la solution initiale. L'étape de « lift » est en général un lemme de Hensel dont on verra quelques exemples dans les prochains articles. L'algorithme commun au lemme de Hensel et au théorème des restes chinois est l'identité de Bézout, que l'on retrouve d'ailleurs un peu partout (par exemple pour le calcul de primitives).

Illustrons cette méthode sur un exemple simple, la recherche de racines rationnelles d'un polynôme  $P(X) = a_d X^d + \dots + a_0$  à coefficients entiers ou polynomiaux, avec  $a_d$  et  $a_0$  non nuls. L'algorithme générique (assez connu) consiste à chercher les diviseurs de  $a_0$  et de  $a_d$  et à tester toutes les fractions de ces diviseurs, on montre en effet aisément que si  $X = p/q$  fraction irréductible est racine de  $P$  alors  $q$  divise  $a_d$  et  $p$  divise  $a_0$ . Cet algorithme est très inefficace si  $a_d$  ou  $a_0$  est un grand entier (car on ne sait pas forcément le factoriser) ou s'il a beaucoup de facteurs premiers (la liste des diviseurs à tester est alors très grande).

Lorsque les coefficients de  $P$  sont entiers, la recherche précédente revient à trouver un facteur à coefficients entiers  $qX - p$  de  $P$ , on peut donc réduire le problème modulo un entier premier  $n$  qui ne divise pas  $a_d$  : si un tel facteur existe dans  $\mathbb{Z}$  alors ce facteur (réduit modulo  $n$ ) est un facteur de  $P$  dans  $\mathbb{Z}/n\mathbb{Z}$  donc  $P$  admet une racine dans  $\mathbb{Z}/n\mathbb{Z}$  (puisque  $q$  est inversible modulo  $n$  car on a choisi  $n$  premier ne divisant pas  $a_d$ ). On évalue maintenant  $P$  en les  $n$  éléments de  $\mathbb{Z}/n\mathbb{Z}$ . S'il n'y a pas de 0, alors  $P$  n'a pas de racine rationnelle. S'il y a des racines, on va les lifter de  $\mathbb{Z}/n^k\mathbb{Z}$  dans  $\mathbb{Z}/n^{2k}\mathbb{Z}$ .

On suppose donc que pour  $k \geq 1$ , il existe un entier  $p_k$  tel que

$$P(p_k) \equiv 0 \pmod{n^k}$$

Il s'agit de trouver un entier  $x$  tel que  $p_{k+1} = p_k + n^k x$  vérifie

$$P(p_{k+1}) \equiv 0 \pmod{n^{2k}}$$

On applique la formule de Taylor à l'ordre 1 pour  $P$  en  $p_k$ , le reste est nul modulo  $n^{2k}$ , donc :

$$P(p_k) + n^k x P'(p_k) \equiv 0 \pmod{n^{2k}}$$

soit finalement :

$$x \equiv -\frac{P(p_k)}{n^k} (P'(p_k) \pmod{n^k})^{-1}$$

On reconnaît au passage la méthode de Newton, pour qu'elle fonctionne il suffit que  $P'(p_k) \not\equiv 0 \pmod{n}$  ce qui permet de l'inverser modulo  $n^k$  (et c'est ici qu'intervient l'identité de Bézout). En pratique quand on factorise un polynôme, on commence par retirer les multiplicités, on peut donc supposer que  $P$  est sans facteur multiple dans  $\mathbb{Z}$ . Ceci n'entraîne pas forcément qu'il le reste dans  $\mathbb{Z}/n\mathbb{Z}$  ce qui crée une contrainte supplémentaire sur le choix de  $n$ , à savoir que  $P$  et  $P'$  restent premiers entre eux dans  $\mathbb{Z}/n\mathbb{Z}$  (il existe forcément de tels  $n$ , par exemple  $n$  premier plus grand que le plus grand entier intervenant dans le calcul du PGCD de  $P$  et  $P'$  dans  $\mathbb{Z}$ ).

Reste donc à revenir dans  $\mathbb{Z}$  à partir d'une racine  $p_k$  dans  $\mathbb{Z}/(n^k\mathbb{Z})$  (où on peut choisir  $k$ ). On va maintenant utiliser la représentation modulaire symétrique : on prend comme représentant modulaire d'un entier  $z$  dans  $\mathbb{Z}/n^k\mathbb{Z}$  l'unique entier congru à  $z$  modulo  $n$  qui est strictement compris entre  $-n^k/2$  et  $n^k/2$  (si  $n$  est pair, la deuxième inégalité est choisie large).

Si  $qX - p$  est un facteur de  $P$ , alors  $a_dX - \frac{a_d}{q}p$  est encore un facteur de  $P$  (le quotient de  $P$  par  $a_dX - \frac{a_d}{q}p$  est à coefficients rationnels mais le facteur est à coefficients entiers). Si on a choisi  $k$  tel que  $n^k > 2|a_d a_0|$ , l'écriture en représentation modulaire symétrique de  $a_dX - \frac{a_d}{q}p$  est inchangée, en effet on a des estimations à priori sur les entiers  $p$  et  $q$  :  $|q| \leq |a_d|$  et  $|p| \leq |a_0|$  puisque  $q$  divise  $a_d$  et  $p$  divise  $a_0$ . Comme  $a_dX - \frac{a_d}{q}p$  est égal à  $a_d(X - p_k)$  dans  $\mathbb{Z}/(n^k\mathbb{Z})$ , il nous suffit d'écrire en représentation modulaire symétrique  $a_d(X - p_k) = a_dX - p'$ . Pour conclure, on sait que  $a_dX - p'$  est un multiple entier de  $qX - p$ . On divise donc le facteur  $a_dX - p'$  par le pgcd de  $a_d$  et  $p'$  et on teste la divisibilité de  $P$  par ce facteur réduit.

### Exemple

Considérons le polynôme  $2X^3 - X^2 - X - 3$  qui est sans facteur carré. On ne peut pas choisir  $n = 2$  car on réduirait le degré, pour  $n = 3$ , on a  $P' = X - 1$  qui est facteur de  $P$ , pour  $n = 5$ ,  $P' = 6X^2 - 2X - 1$ , on vérifie que  $P$  et  $P'$  sont premiers entre eux (par exemple avec GCDMOD sur une HP49 où on aura fixé la variable MODULO à 5).

On teste ensuite les entiers de -2 à 2 sur  $P$ . Seul -1 est racine modulo 5 ( $P(-1) = -5$ ), on va maintenant lifter  $p_1 = -1$ .

L'estimation à priori est  $2|a_d||a_0| = 12$  donc  $k = 2$  ( $5^2 = 25 > 12$ ), une itération suffira. On a  $P'(-1) = 7$ , l'inverse de  $P'(-1) \pmod{5}$  est -2 donc :

$$x = -\frac{P(-1)}{5}(-2) = -(-1)(-2) = -2$$

et  $p_2 = -1 + 5 \times (-2) = -11$  est racine de  $P$  dans  $\mathbb{Z}/25\mathbb{Z}$ . On calcule ensuite  $a_d(X - p_k) = 2(X + 11) = 2X + 22 = 2X - 3$  en représentation symétrique, le PGCD de 2 et -3 est 1 donc on teste le facteur  $2X - 3$ , ici il divise  $P$  donc  $P$  admet un unique facteur entier de degré 1 qui est  $2X - 3$ .

## 2.8 Quelques algorithmes d'arithmétique de base.

- Les algorithmes de multiplication et division dit rapides des entiers et polynômes (Karatsuba, FFT, ...). Cf. par exemple Knuth. ou pour les entiers la documentation de GMP, ou infra pour Karatsuba.
- Au lieu de la division euclidienne, on utilise très souvent la pseudo-division pour les polynômes : étant donné deux polynômes  $A$  et  $B$  de degrés  $a$  et  $b$  à coefficients dans un anneau contenu dans un corps (par exemple  $\mathbb{Z}$ ), on multiplie  $A$  par une puissance du coefficient dominant  $B_b$  de  $B$ , plus précisément par  $B_b^{a-b+1}$ , ce qui permet d'effectuer la division par  $B$  sans que les coefficients sortent de l'anneau.

$$B_b^{a-b+1}A = BQ + R$$

On utilise cette méthode lorsqu'on peut multiplier les polynômes par des constantes sans changer le problème (par exemple pour l'algorithme d'Euclide).

- L’algorithme d’Euclide est un algorithme « générique » de calcul de PGCD. Il n’est en général pas utilisé tel quel. Pour les entiers on utilise une variation adaptée à la représentation binaire des entiers (cf. Cohen ou le manuel de GMP version 4 pour plus de détails). Nous décrivons des algorithmes de PGCD plus efficaces pour les polynômes dans le prochain article.
- l’identité de Bézout, aussi appelée PGCD étendu. Étant donné deux entiers ou deux polynômes  $a$  et  $b$  on calcule  $u, v$  et  $d$  tels que  $au + bv = d$ . On écrit la matrice :

$$\begin{pmatrix} a & 1 & 0 \\ b & 0 & 1 \end{pmatrix}$$

où on remarque que pour chaque ligne le coefficient de la 1ère colonne est égal à  $a$  multiplié par le coefficient de la 2ème colonne additionné à  $b$  multiplié par le coefficient de la 3ème colonne. Ce qui reste vrai si on effectue des combinaisons linéaires de lignes (type réduction de Gauß). Comme on travaille dans les entiers ou les polynômes, on remplace la réduction de Gauß des matrices à coefficients réels par une combinaison linéaire utilisant le quotient *euclidien* (entier ou polynomial selon le cas)  $q$  de  $a$  par  $b$ . On obtient alors le reste  $r$  en 1ère colonne :

$$\begin{pmatrix} L_1 & a & 1 & 0 \\ L_2 & b & 0 & 1 \\ L_3 = L_1 - qL_2 & r & 1 & -q \end{pmatrix}$$

et on recommence jusqu’à obtenir 0 en 1ère colonne. L’avant-dernière ligne obtenue est l’identité de Bézout (la dernière ligne donne les cofacteurs du PPCM de  $a$  et  $b$ ). Si l’on veut l’inverse de  $a$  modulo  $b$  on remarque qu’il n’est pas utile de calculer les coefficients appartenant à la 3ème colonne. Enfin, les lignes intermédiaires peuvent servir à reconstruire une fraction d’entier représentée par un entier de  $\mathbb{Z}/n\mathbb{Z}$  lorsque le numérateur et le dénominateur sont de valeur absolue inférieure à  $\sqrt{n/2}$ .

- Le théorème des restes chinois. Si on connaît  $x = a \pmod{m}$  et  $x = b \pmod{n}$  avec  $m$  et  $n$  premiers entre eux, on détermine  $c$  tel que  $x = c \pmod{m \times n}$ . On a donc  $c = a + mu = b + nv$  et on applique Bézout pour trouver  $u$  ou  $v$ , on en déduit  $c$ . En pratique, on cherche un des coefficients de Bézout, par exemple on cherche  $U$  tel que  $mU + nV = 1$ , on a alors :

$$c = a + m(b - a)U$$

Si  $n$  est petit devant  $m$  (par exemple 32 bits),  $U$  est aussi petit, on commence par réduire  $b - a$  modulo  $n$ , puis on multiplie par  $U$ , on réduit à nouveau modulo  $n$  et on multiplie enfin par  $m$ .

- Les tests de pseudo-primalité. Il est essentiel d’avoir une méthode rapide permettant de générer des nombres premiers pour appliquer des méthodes modulaires et  $p$ -adiques. On utilise souvent le test de Miller-Rabin, qui prolonge le petit théorème de Fermat (si  $p$  est premier, alors  $a^p = a \pmod{p}$ ). Voir le manuel de programmation de Xcas.

### 2.8.1 Exemple : l’algorithme de Karatsuba

Soient  $P, Q$  deux polynômes de degrés strictement inférieur à  $2n$ . On suppose que le cout d’une opération arithmétique dans le corps des coefficients vaut 1 et on

néglige les autres opérations (on suppose par exemple que le corps des coefficients est un corps fini). On écrit

$$P = A + x^n B, \quad Q = C + x^n D$$

avec  $A, B, C, D$  de degrés strictement inférieur à  $n$ , on a alors :

$$PQ = AC + x^n(AD + BC) + x^{2n}BD$$

Il y a 4 produits de polynômes de degrés  $< n$ , mais au prix d'additions intermédiaires, on peut se ramener à 3 produits, en effet

$$(A + B)(C + D) - AC - BD = AD + BC$$

donc pour calculer le cofacteur de  $x^n$  il suffit de soustraire à  $(A + B)(C + D)$  les produits  $AC$  et  $BD$  que l'on calcule par ailleurs. Soit  $M(n)$  le temps nécessaire pour calculer le produit de 2 polynômes par cette méthode, on a alors

$$M(2n) = 3M(n) + 8n$$

où  $8n$  représente le nombre d'additions ou de soustractions pour former  $A + B$ ,  $C + D$ , soustraire  $AC$  et  $BD$ , et tenir compte des "retenues" (les termes de degré  $\geq n$  de  $AC$  se combinent avec ceux de degré  $< 2n$  de  $AD + BC$  et les termes de degré  $< 3n$  de  $x^{2n}BD$  avec ceux de degré  $\geq 2n$  de  $AD + BC$ ). On en déduit

$$u_n = M(2^n), \quad u_{n+1} = 3u_n + 8 \times 2^n$$

cette récurrence se résoud facilement par la commande

`rsolve(u(n+1)=3*u(n)+8*2^n, u(n), u(0)=1)`

qui donne  $M(2^n) = u_n = -8 \cdot 2^n + 9 \cdot 3^n$ .

Asymptotiquement,  $M(2^n) \approx 9 \cdot 3^n$  ce qui est bien meilleur que la multiplication naïve en  $2 \cdot 4^n$ , mais pour de petites valeurs de  $n$ , la multiplication naïve est plus rapide, on utilise Karatsuba (récursivement) uniquement pour des valeurs de  $n$  suffisamment grandes (théoriquement lorsque  $8n$ , le surcout dû aux additions est plus petit que la multiplication éconômisée, soit  $8n < 2n^2$  soit  $n > 4$ , en pratique plutôt pour  $n$  de l'ordre de quelques dizaines selon les implémentations, car nous n'avons tenu compte que des opérations arithmétiques).

## 2.8.2 Bezout sur les entiers et les fractions continues

Il existe une variante de l'identité de Bézout présentée ci-dessus pour les entiers. Soient  $a \geq b > 0$  deux entiers, on pose

$$(L_n) \quad au_n - bv_n = (-1)^n r_n$$

où  $r_0 = a, r_1 = b$  et  $r_{n+2}$  est le reste de la division euclidienne de  $r_n$  par  $r_{n+1}$  ( $q_{n+2}$  le quotient),  $u_0 = 1, u_1 = 0, v_0 = 0, v_1 = 1$ . Comme précédemment, chaque ligne s'obtient par combinaison linéaire des deux précédentes, mais cette fois avec une addition

$$L_{n+2} = L_n + q_{n+2}L_{n+1}$$

ce qui se traduit par :

$$u_{n+2} = u_n + q_{n+2}u_{n+1}, \quad v_{n+2} = v_n + q_{n+2}v_{n+1}$$

Les suites  $u_n$  et  $v_n$  sont alors strictement croissantes (à partir du rang 1 pour  $u_n$ ).  
Au rang  $k$  du dernier reste non nul on a :

$$au_k - bv_k = (-1)^k r_k, \quad r_k = d = \gcd(a, b)$$

et au rang suivant :

$$au_{k+1} - bv_{k+1} = 0$$

On montre par récurrence que

$$v_n r_{n+1} + v_{n+1} r_n = a$$

et une relation analogue pour  $u_n$ , on en déduit alors que  $v_{k+1} = a/d$  et  $u_{k+1} = b/d$  (ce sont les cofacteurs du PPCM de  $a$  et  $b$ ), en particulier les coefficients de Bézout vérifient  $u_k < b$  et  $v_k < a$ .

On va aussi voir que  $u_{n+2}/v_{n+2}$  est la  $n$ -ième réduite du développement en fractions continues de  $a/b$  (donc les coefficients de Bézout se lisent sur l'avant-dernière réduite). On introduit la notation

$$[a_0, a_1, \dots, a_n] = a_0 + \frac{1}{a_1 + \frac{1}{a_2 + \frac{\dots}{a_n}}}$$

pour  $a_0 \geq 0, a_1 > 0, \dots, a_n > 0$ . On a alors :

$$\frac{a}{b} = [q_2, q_3, \dots, q_k]$$

En effet :

$$\frac{a}{b} = \frac{r_0}{r_1} = q_2 + \frac{r_2}{r_1} = q_2 + \frac{1}{\frac{r_1}{r_2}} = \dots$$

D'autre part, on montre par récurrence sur  $n \geq 1$  que si  $x > 0$

$$[q_2, \dots, q_n, x] = \frac{v_n x + v_{n-1}}{u_n x + u_{n-1}}$$

en effet au rang  $n = 1$

$$[x] = x = \frac{v_1 x + v_0}{u_1 x + u_0}$$

et pour l'induction :

$$\begin{aligned} [q_2, \dots, q_n, x] &= [q_2, \dots, q_{n-1}, q_n + \frac{1}{x}] \\ &= \frac{v_{n-1}(q_n + 1/x) + v_{n-2}}{u_{n-1}(q_n + 1/x) + u_{n-2}} \\ &= \frac{x(v_{n-1}q_n + v_{n-2}) + v_{n-1}}{x(u_{n-1}q_n + u_{n-2}) + u_{n-1}} \\ &= \frac{v_n x + v_{n-1}}{u_n x + u_{n-1}} \end{aligned}$$

Donc au rang  $n - 1$  et pour  $x = q_n$ , on obtient

$$[q_2, \dots, q_n] = \frac{v_{n+1}}{u_{n+1}}$$

Les fractions continues servent bien entendu aussi et d'abord à approcher les réels par des rationnels. L'algorithme de calcul des termes du développement est le suivant : Soit  $x \geq 0$ . On initialise  $y = x$  et la liste des  $a_p$  à vide. Puis on fait une boucle : on ajoute la partie entière de  $y$  à la liste, on calcule la partie fractionnaire de  $y$ , si elle est nulle on s'arrête (dans ce cas  $x \in \mathbb{Q}$ ), sinon on stocke dans  $y$  l'inverse de cette partie fractionnaire et on recommence. On note classiquement :

$$h_{-2} = 0, \quad h_{-1} = 1, \quad h_p = a_p h_{p-1} + h_{p-2} \quad (1)$$

$$k_{-2} = 1, \quad k_{-1} = 0, \quad k_p = a_p k_{p-1} + k_{p-2} \quad (2)$$

On a  $h_0 = a_0, h_1 = a_1 a_0 + 1, k_0 = 1, k_1 = a_1$ . Les suites  $h_p$  et  $k_p$  sont donc positives et strictement croissantes pour  $p \geq 1$ , puisque pour  $p \geq 1, a_p \geq 1$ , elles tendent vers l'infini au moins aussi vite que des suites de Fibonacci (à vitesse au moins géométrique donc). On a aussi aisément par récurrence :

$$h_p k_{p-1} - h_{p-1} k_p = (-1)^{p+1} \quad (3)$$

On montre aussi comme ci-dessus :

$$[a_0, \dots, a_{p-1}, y] = \frac{y h_{p-1} + h_{p-2}}{y k_{p-1} + k_{p-2}}$$

On définit  $x_p$  par  $x = [a_0, \dots, a_{p-1}, x_p]$ , en faisant  $y = x_p$  on a alors  $x = \frac{x_p h_{p-1} + h_{p-2}}{x_p k_{p-1} + k_{p-2}}$  ce qui donne  $x_p$  en fonction de  $x$  et

$$a_p = \text{floor} \left( -\frac{x k_{p-2} - h_{p-2}}{x k_{p-1} - h_{p-1}} \right)$$

En faisant  $y = a_p$  on obtient  $[a_0, \dots, a_p] = \frac{h_p}{k_p}$ . On montre ensuite que les suites  $(h_p/k_p)$  pour les indices pairs et impairs sont deux suites adjacentes qui convergent vers  $x$ , et on a

$$\frac{h_p}{k_p} - \frac{h_{p-1}}{k_{p-1}} = \frac{(-1)^{p-1}}{k_p k_{p-1}} \quad (4)$$

En effet, la dernière égalité est une conséquence immédiate de (3), la croissance ou décroissance des suites d'indice pair ou impair s'en déduit en ajoutant (4) au cran suivant. La convergence vient de la limite infinie de  $k_p$  en l'infini. On a donc

$$x = a_0 + \sum_{p=0}^{\infty} \frac{(-1)^{p-1}}{k_p k_{p+1}}, \quad \frac{1}{k_p(k_p + k_{p+1})} \leq |x - \frac{h_p}{k_p}| \leq \frac{1}{k_p k_{p+1}}$$

La convergence est d'autant plus rapide que les  $k_p$  tendent rapidement vers l'infini, donc si les  $a_p$  sont plus grands que 1. La convergence la plus lente correspond au cas où tous les  $a_p = 1$  cas du nombre d'or, ou à partir d'un certain rang (nombre de  $Q[\sqrt{5}]$ ).

### 2.8.3 La puissance rapide itérative

Pour calculer  $a^k \pmod n$ , on décompose  $k$  en base 2

$$k = \sum_{j=0}^J k_j 2^j, \quad a^k = \prod_{j=0}^J a^{k_j 2^j} = \prod_{j/k_j \neq 0} a^{2^j}$$

On initialise une variable  $B$  à 1,  $B$  vaudra  $a^k \pmod n$  en fin de calcul, on initialise une variable  $k$  à  $k$ . On calcule dans une boucle les carrés successifs de  $a \pmod n$  que l'on stocke dans une variable  $A$  ( $A$  vaudra donc successivement  $a \pmod n$ ,  $a^2 \pmod n$ ,  $a^4 \pmod n$ , ...) et simultanément on teste si  $k_j$  vaut 1 en prenant le reste de la division par 2 de  $k$  (dans ce cas on multiplie  $B$  par  $A$  modulo  $n$ ), on divise ensuite  $k$  par 2 au sens du quotient euclidien.

```
rapide(a, k, n) := {
  local A, B;
  A:=a; B:=1;
  tantque k!=0 faire
    si irem(k,2)==1 alors B:=irem(A*B,n); fsi;
    k:=iquo(k,2);
    A:=irem(A*A,n);
  ftantque;
  return B;
}
```

## 2.9 Pour en savoir plus.

Sur des aspects plus théoriques :

- Knuth : TAOCP (The Art of Computer Programming), volumes 1 et suivants
- Henri Cohen : A Course in Computational Algebraic Number Theory
- Davenport, Siret, Tournier : Calcul formel : Systèmes et algorithmes de manipulations algébriques

Sur des aspects plus pratiques, quelques références en ligne, la plupart sont accessibles gratuitement :

- le code source de Giac disponible à l'URL :  
<http://www-fourier.ujf-grenoble.fr/~parisse/giac.html>
- le code source de GiNaC, cf. : <http://www.ginac.de>
- le site <http://www.hpcalc.org> pour les calculatrices HP, on y trouve tout, de la documentation, des émulateurs de calculatrices HP, des outils de développement pour Windows et Unix/Linux, ... Pour ce qui concerne cet article, je conseille de lire  
<http://www.hpcalc.org/hp48/docs/programming/rplman.zip>
- le site <http://www.ticalc.org>, on y trouve le portage tigg du compilateur C de GNU, des émulateurs, etc. Des informations de cet article ont leur source dans le guide du développeur TI89/92  
<http://education.ti.com/>
- la librairie du système MuPAD (archivée dans le fichier `lib.tar` des distributions Unix, pour une installation par défaut, ce fichier se trouve dans le répertoire `/usr/local/MuPAD/share/lib`), cf. [www.sciface.com](http://www.sciface.com) pour obtenir une licence d'utilisation.



- en Maple, il est possible de décompiler une instruction Maple avec la commande  
`eval(instruction);`  
 après avoir tapé  
`interface(verboseproc=2);`
- le source du plus ancien système de calcul formel maxima (devenu logiciel libre) pour les personnes familières du langage Lisp  
<http://sourceforge.net/projects/maxima>  
 de même pour le système Axiom
- le source de bibliothèques plus spécialisées (GMP, GP-PARI, Singular, NTL, Zen, ALP, GAP, CoCoA, ...), rechercher ces mots sur google.

## 2.10 Exercices sur types, calcul exact et approché, algorithmes de bases

Pour télécharger et installer Xcas sur votre ordinateur, suivre les instructions données sur

[http://www-fourier.ujf-grenoble.fr/~parisse/giac\\_fr.html](http://www-fourier.ujf-grenoble.fr/~parisse/giac_fr.html)

Pour lancer xcas sous linux, cherchez Xcas dans le menu Education ou ouvrir un fenêtre terminal et taper la commande

```
xcas &
```

Lors de la première exécution, vous devrez choisir entre différents types de syntaxe (compatible C, maple ou TI89). Vous pouvez changer ce choix à tout moment en utilisant le menu Configuration->mode (syntaxe).

L'aide en ligne est accessible en tapant ?nom\_de\_commande. Dans Xcas, vous pouvez aussi taper le début d'un nom de commande puis la touche de tabulation (à gauche du A sur un clavier français), sélectionner la commande dans la boîte de dialogues puis cliquer sur Détails pour avoir une aide plus complète dans votre navigateur. Pour plus de détails sur l'interface de Xcas, consultez le manuel (Aide->Interface). Si vous n'avez jamais utilisé de logiciel de calcul formel, vous pouvez commencer par lire le tutoriel (menu Aide->Debuter en calcul formel->tutoriel) et faire certains des exercices proposés (des corrigés sous forme de sessions Xcas sont dans Aide->Debuter en calcul formel->solutions)

Il peut être intéressant de tester ces exercices en parallèle avec Xcas et des calculatrices formelles....

1. À quelle vitesse votre logiciel multiplie-t-il des grands entiers (en fonction du nombre de chiffres) ? On pourra tester le temps de calcul du produit de  $a(a+1)$  où  $a = 10000!$ ,  $a = 15000!$ , etc. . Même question pour des polynômes en une variable (à générer par exemple avec `symb2poly(randpoly(n))` ou avec `poly1[op(ranm(.))]`).
2. Comparer le temps de calcul de  $a^n \pmod m$  par la fonction `powmod` et la méthode prendre le reste modulo  $m$  après avoir calculé  $a^n$ .  
Programmez la méthode rapide et la méthode lente. Refaites la comparaison. Pour la méthode rapide, programmer aussi la version itérative utilisant la décomposition en base 2 de l'exposant : on stocke dans une variable locale  $b$  les puissances successives  $a^{2^0} \pmod m, a^{2^1} \pmod m, \dots, a^{2^k} \pmod m, \dots$ , on forme  $a^n \pmod m$  en prenant le produit modulo  $m$  de ces puissances successives lorsque le bit correspondant est à 1 (ce qui se détecte par le reste de divisions euclidiennes successives par 2, le calcul de  $b$  et du bit correspondant se font dans une même boucle).
3. Déterminer un entier  $c$  tel que  $c = 1 \pmod 3$ ,  $c = 3 \pmod 5$ ,  $c = 5 \pmod 7$  et  $c = 2 \pmod{11}$ .
4. Calculez dans  $\mathbb{Z}/11\mathbb{Z}$

$$\prod_{a=0}^{10} (x - a)$$

5. Algorithmes fondamentaux : écrire des programmes implémentant
  - (a) le pgcd de 2 entiers
  - (b) l'algorithme de Bézout

- (c) l'inverse modulaire en ne calculant que ce qui est nécessaire dans l'algorithme de Bézout
  - (d) les restes chinois
6. Construire un corps fini de cardinal 128 (GF), puis factoriser le polynôme  $x^2 - y$  où  $y$  est un élément quelconque du corps fini. Comparer avec la valeur de  $\sqrt{y}$ .
  7. Utiliser la commande `type` ou `whattype` ou équivalent pour déterminer la représentation utilisée par le logiciel pour représenter une fraction, un nombre complexe, un flottant en précision machine, un flottant avec 100 décimales, la variable  $x$ , l'expression  $\sin(x) + 2$ , la fonction  $x \rightarrow \sin(x)$ , une liste, une séquence, un vecteur, une matrice. Essayez d'accéder aux parties de l'objet pour les objets composites (en utilisant `op` par exemple).
  8. Comparer le type de l'objet  $t$  si on effectue la commande `t[2]:=0`; après avoir purgé  $t$  ou après avoir affecté `t:=[1, 2, 3]` ?
  9. Comparer l'effet de l'affectation dans une liste et dans un vecteur ou une matrice sur votre logiciel (en Xcas, on peut utiliser `=<` au lieu de `:=` pour stocker par référence).
  10. Voici un programme qui calcule la base utilisée pour représenter les flottants.

```
Base() := {
  local A, B;
  A:=1.0; B:=1.0;
  while (evalf(evalf(A+1.0)-A)-1.0=0.0) { A:=2*A; };
  while (evalf(evalf(A+B)-A)-B<>0) { B:=B+1; }
  return B;
} ;;
```

Testez-le et expliquez.

11. Déterminer le plus grand réel positif  $x$  de la forme  $2^{-n}$  ( $n$  entier) tel que  $(1.0 + x) - 1.0$  renvoie 0 sur PC avec la précision par défaut puis avec `Digits:=30`.
12. Calculer la valeur de  $a := \exp(\pi\sqrt{163})$  avec 30 chiffres significatifs, puis sa partie fractionnaire. Proposez une commande permettant de décider si  $a$  est un entier.
13. Déterminer la valeur et le signe de la fraction rationnelle

$$F(x, y) = \frac{1335}{4}y^6 + x^2(11x^2y^2 - y^6 - 121y^4 - 2) + \frac{11}{2}y^8 + \frac{x}{2y}$$

en  $x = 77617$  et  $y = 33096$  en faisant deux calculs, l'un en mode approché et l'autre en mode exact. Que pensez-vous de ces résultats ? Combien de chiffres significatifs faut-il pour obtenir un résultat raisonnable en mode approché ?

14. Que se passe-t-il si on essaie d'appliquer l'algorithme de la puissance rapide pour calculer  $(x + y + z + 1)^k$  par exemple pour  $k = 64$  ? Calculer le nombre de termes dans le développement de  $(x + y + z + 1)^n$  et expliquez.

15. Programmation de la méthode de Horner  
Il s'agit d'évaluer efficacement un polynôme

$$P(X) = a_n X^n + \dots + a_0$$

en un point. On pose  $b_0 = P(\alpha)$  et on écrit :

$$P(X) - b_0 = (X - \alpha)Q(X)$$

où :

$$Q(X) = b_n X^{n-1} + \dots + b_2 X + b_1$$

On calcule alors par ordre décroissant  $b_n, b_{n-1}, \dots, b_0$ .

- (a) Donner  $b_n$  en fonction de  $a_n$  puis pour  $i \leq n-1$ ,  $b_i$  en fonction de  $a_i$  et  $b_{i+1}$ . Indiquez le détail des calculs pour  $P(X) = X^3 - 2X + 5$  et une valeur de  $\alpha$  non nulle.
- (b) Écrire une fonction `horn` effectuant ce calcul : on donnera en arguments le polynôme sous forme de la liste de ces coefficients (dans l'exemple `[1, 0, -2, 5]`) et la valeur de  $\alpha$  et le programme renverra  $P(\alpha)$ . (On pourra aussi renvoyer les coefficients de  $Q$ ).
- (c) En utilisant cette fonction, écrire une fonction qui calcule le développement de Taylor complet d'un polynôme en un point.

### 3 Le PGCD de polynômes.

Comme on l'a remarqué dans le premier article, l'algorithme d'Euclide est inefficace pour calculer le pgcd de deux polynômes à coefficients entiers. On va présenter ici les algorithmes utilisés habituellement par les systèmes de calcul formel : sous-résultant (PRS), modulaire (GCDMOD),  $p$ -adique (EEZGD) et heuristique (GCDHEU). Le premier est une adaptation de l'algorithme d'Euclide et s'adapte à des coefficients assez génériques. Les trois autres ont en commun d'évaluer une ou plusieurs variables du polynôme (dans ce dernier cas il est nécessaire de bien distinguer le cas de polynômes à plusieurs variables) et de reconstruire le pgcd par des techniques distinctes, la plupart du temps ces algorithmes fonctionnent seulement si les coefficients sont entiers.

Soit donc  $P$  et  $Q$  deux polynômes à coefficients dans un corps. Le pgcd de  $P$  et  $Q$  n'est défini qu'à une constante près. Mais lorsque les coefficients de  $P$  et  $Q$  sont dans un anneau euclidien comme par exemple  $\mathbb{Z}$  ou  $\mathbb{Z}[i]$ , on appellera pgcd de  $P$  et  $Q$  un polynôme  $D$  tel que  $P/D$  et  $Q/D$  soient encore à coefficients dans l'anneau, et que  $D$  soit optimal, c'est-à-dire que si un multiple  $\mu D$  de  $D$  vérifie  $P/\mu D$  et  $Q/\mu D$  sont à coefficients dans l'anneau, alors  $\mu$  est inversible.

La première étape d'un algorithme de calcul de pgcd consiste donc à diviser par son contenu (pgcd des coefficients entiers) chaque polynôme.

**Exemple :**  $P = 4X^2 - 4$  et  $Q = 6X^2 + 12X + 6$ . Le polynôme  $X + 1$  est un pgcd de  $P$  et  $Q$  puisqu'il est de degré maximal divisant  $P$  et  $Q$  mais le pgcd de  $P$  et  $Q$  est  $2(X + 1)$ . Remarquons qu'avec notre définition  $-2(X + 1)$  convient aussi. Par convention on appellera pgcd dans  $\mathbb{Z}[X]$  le polynôme ayant un coefficient dominant positif.

**Définition :** On appelle contenu  $c(P)$  d'un polynôme  $P$  le pgcd des coefficients de  $P$ . On définit alors la partie primitive de  $P$  :  $pp(P) = P/c(P)$ . Si  $c(P) = 1$ , on dit que  $P$  est primitif.

**Proposition :** Si  $A$  et  $B$  sont primitifs et si  $B$  divise  $A$  dans  $\mathbb{Q}[X]$  alors  $A/B \in \mathbb{Z}[X]$ .

**Preuve :** Soit  $Q = A/B \in \mathbb{Q}[X]$ . Soit  $q \in \mathbb{N}$  le PPCM des dénominateurs des coefficients de  $Q$  et notons  $P = qQ \in \mathbb{Z}[X]$ . On a

$$PB = qQB = qA$$

Si  $q = 1$  la proposition est démontrée. Sinon, considérons un facteur premier  $p$  de  $q$ , dans  $\mathbb{Z}/p\mathbb{Z}[X]$  on a

$$PB = 0 \pmod{p}$$

Comme  $B$  est primitif,  $B \not\equiv 0 \pmod{p}$  donc  $P \equiv 0 \pmod{p}$ , donc  $P/p = q/pQ \in \mathbb{Z}[X]$  ce qui est absurde car  $q$  est le PPCM des dénominateurs de  $Q$ .

Donc le PGCD de  $A$  et  $B$ , polynômes primitifs de  $\mathbb{Z}[X]$  est obtenu en prenant un PGCD de  $A$  et  $B$  dans  $\mathbb{Q}[X]$ , en multipliant par le PPCM des dénominateurs et en rendant le polynôme obtenu primitif (on change le signe du résultat si nécessaire pour avoir un coefficient dominant positif).

On en déduit que :

$$D = \text{pgcd}(P, Q) = \text{pgcd}(c(P), c(Q)) \text{pgcd}(pp(P), pp(Q))$$

### 3.1 Le sous-résultant.

La première idée qui vient à l'esprit pour améliorer l'efficacité de l'algorithme d'Euclide consiste à éviter les fractions qui sont créées par les divisions euclidiennes. On utilise à cet effet la pseudo-division : au lieu de prendre le reste  $R$  de la division euclidienne du polynôme  $P$  par  $Q$ , on prend le reste de la division de  $Pq^{\delta+1}$  par  $Q$ , où  $q$  désigne le coefficient dominant de  $Q$  et  $\delta$  la différence entre le degré de  $P$  et de  $Q$ .

**Exercice :** En utilisant votre système de calcul formel préféré, calculez les restes intermédiaires générés dans l'algorithme d'Euclide lorsqu'on utilise la pseudo-division par exemple pour les polynômes  $P(x) = (x+1)^7 - (x-1)^6$  et sa dérivée.

**Une solution avec giac/xcas :**

```
// -*- mode:C++ -*- a,b 2 polynomes -> pgcd de a et b
pgcd(a,b) := {
  local P,p,Q,q,R,g,h,d;
  // convertit a et b en polynomes listes
  // et extrait la partie primitive
  P:=symb2poly1(a);
  p:=lgcd(P); // pgcd des elements de la liste
  P:=P/p;
  Q:=symb2poly1(b);
  q:=lgcd(Q);
  Q:=Q/q;
  if (size(P)<size(Q)){ // echange P et Q
    R:=P; P:=Q; Q:=R;
  }
  // calcul du contenu du pgcd
  p:=gcd(p,q);
  g:=1;
  h:=1;
  while (size(Q)!=1){
    q:=Q[0]; // coefficient dominant
    d:=size(P)-size(Q);
    R:=rem(q^(d+1)*P,Q);
    if (size(R)==0) return(p*poly12symb(Q/lgcd(Q),x));
    P:=Q;
    Q:=R;
    // ligne suivante a decommenter pour prs
    // Q:=R/(g*h^d);
    print(Q);
    // ligne suivante a decommenter pour prs
    // g:=q; h:=q^d/h^(d-1);
  }
  return(p);
}
```

On s'aperçoit que les coefficients croissent de manière exponentielle. La deuxième idée qui vient naturellement est alors à chaque étape de rendre le reste primitif,

donc de diviser  $R$  par le pgcd de ces coefficients. Cela donne un algorithme plus efficace, mais encore assez peu efficace car à chaque étape on doit calculer le pgcd de tous les coefficients, on peut imaginer le temps que cela prendra en dimension 1 et à fortiori en dimension supérieure. L'idéal serait de connaître à l'avance une quantité suffisamment grande qui divise tous les coefficients du reste.

C'est ici qu'intervient l'algorithme du sous-résultant : après chaque pseudo-division euclidienne, on exhibe un coefficient "magique" qui divise les coefficients du reste. Ce coefficient n'est pas le pgcd mais il est suffisamment grand pour qu'on évite la croissance exponentielle des coefficients.

#### Algorithme du sous-résultant

Arguments : 2 polynômes  $P$  et  $Q$  primitifs. Valeur de retour : le pgcd de  $P$  et  $Q$ .

Pour calculer le coefficient "magique" on utilise 2 variables auxiliaires  $g$  et  $h$  initialisées à 1.

Boucle à effectuer tant que  $Q$  est non nul :

- on note  $\delta = \text{degre}(P) - \text{degre}(Q)$  et  $q$  le coefficient dominant de  $Q$
- on effectue la division euclidienne (sans fraction) de  $q^{\delta+1}P$  par  $Q$ , soit  $R$  le reste
- Si  $R$  est constant, on sort de l'algorithme en renvoyant 1 comme pgcd
- on recopie  $Q$  dans  $P$  puis  $R/(qh^\delta)$  dans  $Q$
- on recopie  $q$  dans  $g$  et  $h^{1-\delta}q^\delta$  dans  $h$ .

Si on sort normalement de la boucle,  $Q$  est nul, on renvoie donc la partie primitive de  $P$  qui est le pgcd cherché.

Pour tester l'algorithme avec `xcas`, il suffit de décommenter les deux lignes `Q:=R/(g*h^d)` ; et `g:=q` ; `h:=q^d/h^(d-1)` ; ci-dessus.

La preuve de l'algorithme est un peu longue et par ailleurs bien expliquée dans le 2ème tome de Knuth (The Art of Computer Programming, Semi-numerical Algorithms), on y renvoie donc le lecteur intéressé. L'idée générale (et l'origine du nom de l'algorithme) est de considérer la matrice de Sylvester des polynômes de départ  $P$  et  $Q$  (celle dont le déterminant est appelé résultant de  $P$  et  $Q$ ) et de traduire les pseudo-divisions qui permettent de calculer les restes successifs du sous-résultant en opération de ligne sur ces matrices. On démontre alors que les coefficients de  $R$  divisés par  $gh^\delta$  peuvent être interprétés comme des déterminants de sous-matrices de la matrice de Sylvester après réduction et c'est cela qui permet de conclure qu'ils sont entiers.

Par exemple, supposons que  $P = R_0$ ,  $Q = R_1, R_2...$  diminuent de 1 en degré à chaque division (c'est le cas générique dans le déroulement de l'algorithme d'Euclide). Dans ce cas,  $\delta = 1$ , il s'agit par exemple de montrer que le reste  $R_3$  de  $Q = R_1$  par  $R_2$  est divisible par le carré du coefficient dominant de  $Q = R_1$ . Voyons comment on obtient les coefficients de  $R_3$  à partir de la matrice de Sylvester de  $P$  et  $Q$ . Prenons la sous-matrice constituée des 2 premières lignes de  $P$  et des 3 premières lignes de  $Q$  et réduisons-la sous forme échelonnée sans introduire de dénominateur.

$$\begin{pmatrix} p_n & p_{n-1} & p_{n-2} & p_{n-3} & \dots \\ 0 & p_n & p_{n-1} & p_{n-2} & \dots \\ q_{n-1} & q_{n-2} & q_{n-3} & q_{n-4} & \dots \\ 0 & q_{n-1} & q_{n-2} & q_{n-3} & \dots \\ 0 & 0 & q_{n-1} & q_{n-2} & \dots \end{pmatrix}$$

On effectue  $L_1 \leftarrow q_{n-1}L_1 - p_nL_3$  et  $L_2 \leftarrow q_{n-1}L_2 - p_nL_4$ , ce qui correspond à l'élimination du terme en  $x$  du quotient de  $P$  par  $Q$

$$\begin{pmatrix} 0 & q_{n-1}p_{n-1} - p_nq_{n-2} & \dots & \dots & \dots \\ 0 & 0 & q_{n-1}p_{n-1} - p_nq_{n-2} & \dots & \dots \\ q_{n-1} & q_{n-2} & q_{n-3} & q_{n-4} & \dots \\ 0 & q_{n-1} & q_{n-2} & q_{n-3} & \dots \\ 0 & 0 & q_{n-1} & q_{n-2} & \dots \end{pmatrix}$$

on effectue ensuite

$$\begin{aligned} L_1 &\leftarrow q_{n-1}L_1 - (q_{n-1}p_{n-1} - p_nq_{n-2})L_4 \\ L_2 &\leftarrow q_{n-1}L_2 - (q_{n-1}p_{n-1} - p_nq_{n-2})L_5 \end{aligned}$$

ce qui correspond à l'élimination du terme constant du quotient de  $P$  par  $Q$ , on obtient

$$\begin{pmatrix} 0 & 0 & r_{2,n-2} & \dots & \dots \\ 0 & 0 & 0 & r_{2,n-2} & \dots \\ q_{n-1} & q_{n-2} & q_{n-3} & q_{n-4} & \dots \\ 0 & q_{n-1} & q_{n-2} & q_{n-3} & \dots \\ 0 & 0 & q_{n-1} & q_{n-2} & \dots \end{pmatrix}$$

si on enlève les lignes 3 et 4, et les colonnes 1 et 2, on obtient (après échanges de lignes) une sous-matrice de la matrice de Sylvester de  $Q$  et  $R_2$

$$\begin{pmatrix} q_{n-1} & q_{n-2} & \dots \\ r_{2,n-2} & \dots & \dots \\ 0 & r_{2,n-2} & \dots \end{pmatrix}$$

On recommence les opérations de réduction de cette sous-matrice correspondant à la division euclidienne de  $Q$  par  $R_2$ , on obtient

$$\begin{pmatrix} 0 & 0 & r_{3,n-3} \\ r_{2,n-2} & \dots & \dots \\ 0 & r_{2,n-2} & \dots \end{pmatrix}$$

puis après suppression des colonnes 1 et 2 et des lignes 2 et 3 la ligne des coefficients de  $R_3$ .

Supposons qu'on se limite dès le début de la réduction à ne garder que les colonnes 1 à 4 et une 5-ième colonne parmi les suivantes, on obtient à la fin de la réduction une matrice 1,1 qui contient un des coefficients de  $R_3$  (selon le choix de la 5-ième colonne). Donc ce coefficient est égal au déterminant de la matrice 1,1 qui est égal, au signe près, au déterminant de la matrice 3,3 dont il est issu par notre réduction (en effet, dans la 2ième partie de la réduction, on a multiplié deux fois  $L_1$  par  $r_{2,n-2}$ , mais on doit ensuite diviser le déterminant par  $r_{2,n-2}^2$  pour éliminer les colonnes 1 et 2). Quant au déterminant de la matrice 3,3, il se déduit du déterminant de la matrice 5,5 par multiplication par  $q_{n-1}^4$  (2 lignes ont été multipliées 2 fois par  $q_{n-1}$ ) et division par  $q_{n-1}^2$  (élimination des colonnes 1 et 2). Au final, tout coefficient de  $R_3$  est égal au produit d'un déterminant 5,5 extrait de la matrice de Sylvester de  $P$  et  $Q$  par  $q_{n-1}^2$ , qui est justement le coefficient "magique" par lequel on divise le reste de  $R_1 = Q$  par  $R_2$  lors de l'algorithme du sous-résultant.



## 3.2 Le pgcd en une variable.

### 3.2.1 Le pgcd heuristique.

On suppose ici que les coefficients sont entiers ou entiers de Gauss. **On peut donc se ramener au cas où les polynômes sont primitifs.**

L'idée consiste à évaluer  $P$  et  $Q$  en un entier  $z$  et à extraire des informations du pgcd  $g$  des entiers  $P(z)$  et  $Q(z)$ . Il faut donc un moyen de remonter de l'entier  $g$  à un polynôme  $G$  tel que  $G(z) = g$ . La méthode consiste à écrire en base  $z$  l'entier  $g$ , avec une particularité dans les divisions euclidiennes successives on utilise le reste symétrique (compris entre  $-z/2$  et  $z/2$ ). Cette écriture donne les coefficients d'un polynôme  $G$  unique. On extrait ensuite la partie primitive de ce polynôme  $G$ . Lorsque  $z$  est assez grand par rapport aux coefficients des polynômes  $P$  et  $Q$ , si  $\text{pp}(G)$  divise  $P$  et  $Q$ , on va montrer que le pgcd de  $P$  et de  $Q$  est  $D = \text{pp}(G)$ .

On remarque tout d'abord que  $d := D(z)$  divise  $g$ . En effet  $D$  divise  $P$  et  $Q$  donc pour tout entier (ou entier de Gauss)  $z$ ,  $D(z)$  divise  $P(z)$  et  $Q(z)$ . Il existe donc une constante  $a$  telle que

$$g = ad$$

On a aussi  $\text{pp}(G)$  divise  $D$ . Il existe donc un polynôme  $C$  tel que :

$$D = \text{pp}(G)C$$

Nous devons prouver que  $C$  est un polynôme constant. On suppose dans la suite que ce n'est pas le cas. Evaluons l'égalité précédente au point  $z$ , on obtient

$$d = \frac{g}{c(G)}C(z)$$

Finalement

$$1 = \frac{a}{c(G)}C(z)$$

La procédure de construction de  $G$  nous donne une majoration de ces coefficients par  $|z|/2$ , donc de  $c(G)$  par  $|z|/2$ , donc  $C(z)$  divise un entier de module plus petit que  $|z|/2$ , donc

$$|C(z)| \leq \frac{|z|}{2}$$

On considère maintenant les racines complexes  $z_1, \dots, z_n$  du polynôme  $C$  (il en existe au moins une puisqu'on a supposé  $C$  non constant). On a :

$$C(X) = c_n(X - z_1) \dots (X - z_n)$$

Donc, comme  $c_n$  est un entier (ou entier de Gauss) non nul, sa norme est supérieure ou égale à 1 et :

$$|C(z)| \geq \prod_{j=1}^n (|z| - |z_j|)$$

Il nous reste à majorer les racines de  $C$  pour minorer  $|C(z)|$ . Comme  $C$  divise  $D$  il divise  $P$  et  $Q$  donc les racines de  $C$  sont des racines communes à  $P$  et  $Q$ . On va appliquer le :

**Lemme 4** Soit  $x$  une racine complexe d'un polynôme  $P = a_n X^n + \dots + a_0$ .

Alors

$$|x| < \frac{|P|}{|a_n|} + 1, |P| = \max_{0 \leq i \leq n} (|a_i|)$$

Application du lemme à  $C(X)$  : on a  $1/|c_n| \leq 1$  donc si on a choisi  $z$  tel que  $|z| \geq 2 \min(|P|, |Q|) + 2$ , alors pour tout  $j$ ,  $|z_j| < |z|/2$  donc

$$|C(z)| > \left(\frac{|z|}{2}\right)^n$$

qui contredit notre majoration de  $|C(z)|$ .

**Théorème 5** Soit  $P$  et  $Q$  deux polynômes à coefficients entiers. On choisit un entier  $z$  tel que  $|z| \geq 2 \min(|P|, |Q|) + 2$ , si la partie primitive du polynôme  $G$  reconstruit à partir du pgcd de  $P(z)$  et  $Q(z)$  par écriture en base  $z$  (avec comme reste euclidien le reste symétrique) divise  $P$  et  $Q$  alors c'est le pgcd de  $P$  et  $Q$ .

Pour finir la démonstration du théorème, il nous faut encore montrer le lemme.

On a

$$-a_n x^n = a_{n-1} x^{n-1} + \dots + a_0$$

Donc

$$|a_n| |x|^n \leq |P| (1 + \dots + |x|^{n-1}) = |P| \frac{|x|^n - 1}{|x| - 1}$$

Ici on peut supposer que  $|x| \geq 1$ , sinon le lemme est démontré, donc  $|x| - 1$  est positif et

$$|a_n| (|x| - 1) \leq |P| \frac{|x|^n - 1}{|x|^n} \Rightarrow |x| - 1 < \frac{|P|}{|a_n|}$$

Remarques

- Le théorème publié par Char, Geddes et Gonnet porte sur des coefficients entiers et c'est comme cela qu'il est utilisé par les systèmes de calcul formel (en commençant historiquement par Maple). Peu de systèmes l'utilisent pour les polynômes à coefficients entiers de Gauss. On peut d'ailleurs généraliser le théorème à d'autres types de coefficients, à condition d'avoir un anneau euclidien plongé dans  $\mathbb{C}$  avec une minoration sur la valeur absolue des éléments non nuls de l'anneau.
- Nous n'avons jusqu'à présent aucune certitude qu'il existe des entiers  $z$  tels que la partie primitive de  $G$  divise  $P$  et  $Q$ . Nous allons montrer en utilisant l'identité de Bézout que pour  $z$  assez grand c'est toujours le cas. Plus précisément, on sait qu'il existe deux polynômes  $U$  et  $V$  tels que

$$PU + QV = D$$

Attention toutefois,  $U$  et  $V$  sont à coefficients rationnels, pour avoir des coefficients entiers, on doit multiplier par une constante entière  $\alpha$ , donc en évaluant en  $z$  on obtient l'existence d'une égalité à coefficients entiers

$$P(z)u + Q(z)v = \alpha D(z)$$

Donc le pgcd  $g$  de  $P(z)$  et  $Q(z)$  divise  $\alpha D(z) = \alpha d$ . Comme  $g$  est un multiple de  $d$ , on en déduit que  $g = \beta d$ , où  $\beta$  est un diviseur de  $\alpha$ . Si on a choisi  $z$  tel que

$$|z| > 2|D||\alpha|$$

alors  $|z| > 2|D||\beta|$  donc l'écriture symétrique en base  $z$  de  $g$  est  $G = \beta D$ . Donc la partie primitive de  $G$  est  $D$ , le pgcd de  $P$  et  $Q$ .

**Exemple 6** Si  $P_0 = 6(X^2 - 1)$  et  $Q_0 = 4(X^3 - 1)$ .

Le contenu de  $P_0$  est 6, celui de  $Q_0$  est 4.

On a donc  $\text{pgcd des contenus} = 2$ ,  $P = X^2 - 1$ ,  $Q = X^3 - 1$ . La valeur initiale de  $z$  est donc  $2 * 1 + 2 = 4$ . On trouve  $P(4) = 15$ ,  $Q(4) = 63$ . Le pgcd entier de 15 et 63 est 3 que nous écrivons symétriquement en base 4 sous la forme  $3 = 1 * 4 - 1$ , donc  $G = X - 1$ , sa partie primitive est  $X - 1$ . On teste si  $X - 1$  divise  $P$  et  $Q$ , c'est le cas, donc c'est le pgcd de  $P$  et  $Q$  et le pgcd de  $P_0$  et  $Q_0$  est  $2(X - 1)$ .

### Algorithme gcdheu

En arguments deux polynômes  $P_0$  et  $Q_0$  à coefficients entiers ou entiers de Gauss. Retourne le pgcd de  $P_0$  et  $Q_0$  ou faux en cas d'échec.

1. Calculer le contenu de  $P_0$  et  $Q_0$ . Vérifier que les coefficients sont entiers de Gauss sinon retourner faux.
2. Extraire la partie primitive  $P$  de  $P_0$  et  $Q$  de  $Q_0$ , calculer le pgcd  $c$  des contenus de  $P_0$  et  $Q_0$
3. Déterminer  $z = 2 \min(|P|, |Q|) + 2$ .
4. Début de boucle : initialisation du nombre d'essais à 1, test d'arrêt sur un nombre maximal d'essais, avec changement de  $z$  entre deux itérations (par exemple  $z \leftarrow 2z$ ).
5. Calculer le pgcd  $g$  de  $P(z)$  et  $Q(z)$  puis son écriture symétrique en base  $z$  dont on extrait la partie primitive  $G$ .
6. Si  $G$  ne divise pas  $P$  passer à l'itération suivante. De même pour  $Q$ .
7. Retourner  $cG$
8. Fin de la boucle
9. Retourner faux.

On remarque au passage qu'on a calculé le quotient de  $P$  par  $G$  et le quotient de  $Q$  par  $G$  lorsque la procédure réussit. On peut donc passer à la procédure gcdheu deux paramètres supplémentaires par référence, les deux polynômes que l'on affectera en cas de succès, ce qui optimise la simplification d'une fraction de 2 polynômes.

### 3.2.2 Le pgcd modulaire

On part du fait que si  $D$  est le pgcd de  $P$  et  $Q$  dans  $\mathbb{Z}$  (ou  $\mathbb{Z}[i]$ ) alors après réduction modulo un nombre premier  $n$  qui ne divise pas les coefficients dominants de  $P$  et  $Q$ ,  $D$  divise le pgcd  $G$  de  $P$  et  $Q$  dans  $\mathbb{Z}/n\mathbb{Z}$  (par convention, le pgcd dans  $\mathbb{Z}/n\mathbb{Z}$  est normalisé pour que son coefficient dominant vaille 1). Comme on calcule  $G$  dans  $\mathbb{Z}/n\mathbb{Z}$ , les coefficients des restes intermédiaires de l'algorithme d'Euclide sont bornés, on évite ainsi la croissance exponentielle des coefficients. Il faudra ensuite reconstruire  $D$  à partir de  $G$ .

On remarque d'abord que si on trouve  $G = 1$ , alors  $P$  et  $Q$  sont premiers entre eux. En général, on peut seulement dire que le degré de  $G$  est supérieur ou égal au degré de  $D$ . En fait, le degré de  $G$  est égal au degré de  $D$  lorsque les restes de l'algorithme d'Euclide (calculé en effectuant des pseudo-divisions, cf. l'exercice 1) ont leur coefficient dominant non divisible par  $n$ . Donc plus  $n$  est grand, plus la probabilité est grande de trouver  $G$  du bon degré.

Dans la suite, nous allons déterminer une borne  $b$  à priori majorant les coefficients de  $D$ . On utilisera ensuite la même méthode que dans l'algorithme modulaire de recherche de racines évidentes : on multiplie  $G$  dans  $\mathbb{Z}/n\mathbb{Z}$  par le pgcd dans  $\mathbb{Z}$  des coefficients dominants  $p$  et  $q$  de  $P$  et  $Q$ . Soit  $\tilde{D} = \text{pgcd}(p, q)G$  le résultat écrit en représentation symétrique. Si  $n \geq b \text{pgcd}(p, q)$  et si  $G$  est du bon degré, on montre de la même manière que  $D = \tilde{D}$ . Comme on ne connaît pas le degré de  $D$ , on est obligé de tester si  $\tilde{D}$  divise  $P$  et  $Q$ . Si c'est le cas, alors  $\tilde{D}$  divise  $D$  donc  $\tilde{D} = D$  puisque  $\text{deg}(\tilde{D}) = \text{deg}(G) \geq \text{deg}(D)$ . Sinon,  $n$  est un nombre premier malchanceux pour ce calcul de pgcd ( $\text{deg}(G) \geq \text{deg}(D)$ ), il faut essayer un autre premier.

**Remarque :** On serait tenté de dire que les coefficients de  $D$  sont bornés par le plus grand coefficient de  $P$ . C'est malheureusement faux, par exemple  $(X + 1)^2$  dont le plus grand coefficient est 2 divise  $(X + 1)^2(X - 1)$  dont le plus grand coefficient (en valeur absolue) est 1.

Soit  $P = \sum p_i X^i$  un polynôme à coefficients entiers. On utilise la norme euclidienne

$$|P|^2 = \sum |p_i|^2 \quad (5)$$

On établit d'abord une majoration du produit des racines de norme supérieure à 1 de  $P$  à l'aide de  $|P|$ . Ensuite si  $D$  est un diviseur de  $P$ , le coefficient dominant  $d$  de  $D$  divise le coefficient dominant  $p$  de  $P$  et les racines de  $D$  sont aussi des racines de  $P$ . On pourra donc déterminer une majoration des polynômes symétriques des racines de  $D$  et donc des coefficients de  $D$ .

**Lemme 7** Soit  $A = \sum_{j=0}^a a_j X^j$  un polynôme et  $\alpha \in \mathbb{C}$ . Alors

$$|(X - \alpha)A| = |(\bar{\alpha}X - 1)A|$$

Pour prouver le lemme 7, on développe les produits de polynômes. On pose  $a_{-1} = a_{a+1} = 0$  et on note  $\Re$  la partie réelle.

$$|(X - \alpha)A|^2 = \sum_{j=0}^{a+1} |a_{j-1} - \alpha a_j|^2 = \sum_{j=0}^{a+1} |a_{j-1}|^2 + |\alpha|^2 |a_j|^2 - 2\Re(a_{j-1} \bar{\alpha} a_j)$$

$$|(\bar{\alpha}X - 1)A|^2 = \sum_{j=0}^{a+1} |\bar{\alpha} a_{j-1} - a_j|^2 = \sum_{j=0}^{a+1} |\alpha|^2 |a_{j-1}|^2 + |a_j|^2 - 2\Re(\bar{\alpha} a_{j-1} \bar{a}_j)$$

Les deux donnent bien le même résultat.

Soit  $P(X) = p \prod (X - \alpha_j)$  la factorisation de  $P$  sur  $\mathbb{C}$ . On introduit le polynôme

$$\tilde{P} = p \prod_{j/|\alpha_j| \geq 1} (X - \alpha_j) \prod_{j/|\alpha_j| < 1} (\bar{\alpha}_j X - 1)$$

qui d'après le lemme a la même norme que  $P$ . La norme de  $P$  majore donc le coefficient constant de  $\tilde{P}$  d'où :

$$\prod_{j/|\alpha_j| \geq 1} |\alpha_j| \leq \frac{|P|}{|p|} \quad (6)$$

On remarque que (6) reste vraie si on considère les racines  $\delta_j$  de norme plus grande que 1 d'un diviseur  $D$  de  $P$  puisque le produit porte alors sur un sous-ensemble. On écrit maintenant l'expression des coefficients  $d_j$  de  $D$  à l'aide des racines  $\delta_j$  de  $D$  :

$$|d_{m-j}| = |d| \left| \sum_{\text{choix de } j \text{ racines parmi les } m \text{ racines de } D} \prod_{\delta_k \in \text{racines choisies}} \delta_k \right|$$

Pour majorer  $|d_{m-j}|$ , on commence par majorer  $|\delta_k|$  par  $\beta_k = \max(1, |\delta_k|)$ . On est donc ramené à majorer

$$\sigma_{j,m}(\beta) = \sum_{\text{choix de } j \text{ parmi } m \text{ valeurs } \beta_k} \prod_{\beta_k \in \text{choix}} \beta_k$$

avec pour hypothèse une majoration de  $M = \prod_{k=1}^m \beta_k$  donnée par la relation (6). Pour cela, on cherche le maximum de  $\sigma_{j,m}(\beta)$  sous les contraintes  $M$  fixé et  $\beta_k \geq 1$ .

On va montrer que le maximum ne peut être atteint que si l'un des  $\beta_k = M$  (et tous les autres  $\beta_k = 1$ ). Sinon, quitte à réordonner supposons que les  $\beta_k$  sont classés par ordre croissant. On a donc  $\beta_{m-1} \neq 1$ , on pose  $\tilde{\beta}_k = \beta_k$  pour  $k \leq m-2$ ,  $\tilde{\beta}_{m-1} = 1$  et  $\tilde{\beta}_m = \beta_{m-1}\beta_m$ . Comparons  $\sigma_{j,m}(\beta)$  et  $\sigma_{j,nm}(\tilde{\beta})$ . Si le choix de  $j$  parmi  $m$  comporte  $k = m-1$  et  $k = m$ , le produit est inchangé. Sinon on a la somme de deux produits, l'un contenant  $k = m-1$  et l'autre  $k = m$ . On compare donc  $B(\beta_{m-1} + \beta_m)$  et  $B(1 + \beta_{m-1}\beta_m)$  avec  $B = \prod_{\beta_k \in \text{reste du choix}} \beta_k$ . Comme

$$1 + \beta_{m-1}\beta_m \geq \beta_{m-1} + \beta_m$$

puisque la différence est le produit  $(1 - \beta_m)(1 - \beta_{m-1})$  de deux nombres positifs, on arrive à la contradiction souhaitée.

Ensuite on décompose les choix de  $\sigma_{m,j}$  en ceux contenant  $M$  et des 1 et ceux ne contenant que des 1, d'où la majoration

$$\sigma_{j,m}(\beta) \leq \binom{m-1}{j-1} M + \binom{m-1}{j}$$

et finalement

$$|d_{m-j}| \leq |d| \left( \binom{m-1}{j-1} \frac{|P|}{|p|} + \binom{m-1}{j} \right) \quad (7)$$

On peut en déduire une majoration indépendante de  $j$  sur les coefficients de  $D$ , en majorant  $|d|$  par  $|p|$  (puisque  $d$  divise  $p$ ) et les coefficients binomiaux par  $2^{m-1}$  (obtenue en développant  $(1+1)^{m-1}$ ). D'où le

**Théorème 8 (Landau-Mignotte)** Soit  $P$  un polynôme à coefficients entiers (ou entiers de Gauss) et  $D$  un diviseur de  $P$  de degré  $m$ . Si  $|P|$  désigne la norme euclidienne du vecteur des coefficients de  $P$  et  $p$  le coefficient dominant de  $P$  alors les coefficients  $d_j$  de  $D$  satisfont l'inégalité

$$|d_j| \leq 2^{m-1}(|P| + |p|) \quad (8)$$

Avec cette estimation, on en déduit que si  $n$  est un premier plus grand que

$$\min \left( 2^{\deg(P)-1}(|P| + |p|), 2^{\deg(Q)-1}(|Q| + |q|) \right), \quad (9)$$

alors le pgcd trouvé dans  $\mathbb{Z}/n\mathbb{Z}$  va se reconstruire en un pgcd dans  $\mathbb{Z}$  si son degré est le bon.

Malheureusement la borne précédente est souvent très grande par rapport aux coefficients du pgcd et calculer dans  $\mathbb{Z}/n\mathbb{Z}$  s'avèrera encore inefficace (surtout si le pgcd est 1). Cela reste vrai même si on optimise un peu la majoration (9) en repartant de (7).

L'idée est donc de travailler modulo plusieurs nombres premiers plus petits et reconstruire le pgcd des 2 polynômes à coefficients entiers à partir des pgcd des polynômes dans  $\mathbb{Z}/n\mathbb{Z}$  et du théorème des restes chinois. En pratique on prend des nombres premiers inférieurs à la racine carrée du plus grand entier hardware de la machine (donc plus petits que  $2^{16}$  sur une machine 32 bits) ce qui permet d'utiliser l'arithmétique hardware du processeur sans risque de débordement.

**Algorithme du PGCD modulaire en 1 variable :**

En argument : 2 polynômes primitifs  $P$  et  $Q$  à coefficients entiers. Le résultat renvoyé sera le polynôme pgcd.

Variable auxiliaire : un entier  $N$  initialisé à 1 qui représente le produit des nombres premiers utilisés jusqu'ici et un polynôme  $H$  initialisé à 0 qui représente le pgcd dans  $\mathbb{Z}/N\mathbb{Z}$ .

Boucle infinie :

1. Chercher un nouveau nombre premier  $n$  qui ne divise pas les coefficients dominants  $p$  et  $q$  de  $P$  et  $Q$
2. Calculer le pgcd  $G$  de  $P$  et  $Q$  dans  $\mathbb{Z}/n\mathbb{Z}$ . Si  $G=1$ , renvoyer 1.
3. Si  $H = 0$  ou si le degré de  $G$  est plus petit que le degré de  $H$ , recopier  $G$  dans  $H$  et  $n$  dans  $N$ , passer à la 6ème étape
4. Si le degré de  $G$  est plus grand que celui de  $H$  passer à l'itération suivante
5. Si le degré de  $G$  est égal au degré de  $H$ , en utilisant le théorème des restes chinois, calculer un polynôme  $\tilde{H}$  tel que  $\tilde{H} = H$  modulo  $N$  et  $\tilde{H} = G$  modulo  $n$ . Recopier  $\tilde{H}$  dans  $H$  et  $nN$  dans  $N$ .
6. Ecrire  $\text{pgcd}(p, q)H$  en représentation symétrique. Soit  $\tilde{H}$  le résultat rendu primitif. Tester si  $\tilde{H}$  divise  $P$  et  $Q$ . Si c'est le cas, renvoyer  $\tilde{H}$ , sinon passer à l'itération suivante.

Finalement on n'a pas utilisé  $b$ , la borne de Landau-Mignotte. On peut penser que l'étape 6 ne devrait être effectuée que lorsque  $N$  est plus grand que  $\text{pgcd}(p, q)b$ . En pratique, on effectue le test de l'étape 6 plus tôt parce que les coefficients du pgcd sont rarement aussi grand que  $b$ . Mais pour éviter de faire le test trop tôt, on introduit une variable auxiliaire  $H'$  qui contient la valeur de  $H$  de l'itération

précédente et on ne fait le test que si  $H' = H$  (ou bien sûr si on a dépassé la borne).

**Remarque :**

L'algorithme ci-dessus fonctionne également pour des polynômes à plusieurs variables.

**Exemple 1 :**

Calcul du pgcd de  $(X + 1)^3(X - 1)^4$  et  $(X^4 - 1)$ . Prenons pour commencer  $n = 2$ . On trouve comme pgcd  $X^4 + 1$  (en effet  $-1 = 1$  donc on cherchait le pgcd de  $(X + 1)^7$  et de  $X^4 + 1 = (X + 1)^4$ ). On teste si  $X^4 + 1$  divise  $P$  et  $Q$ , ce n'est pas le cas donc on passe au nombre premier suivant. Pour  $n = 3$ , on trouve  $X^2 - 1$ . Donc  $n = 2$  n'était pas un bon nombre premier pour ce calcul de pgcd puisqu'on a trouvé un pgcd de degré plus petit. On teste si  $X^2 - 1$  divise  $P$  et  $Q$ , c'est le cas ici donc on peut arrêter, le pgcd cherché est  $X^2 - 1$ .

**Exemple 2 :**

Calcul du pgcd de  $(X + 1)^3(X - 1)^4$  et  $(X^4 - 1)^3$ . Pour  $n = 2$ , on trouve un polynôme de degré 7. Pour  $n = 3$ , on trouve  $X^6 - 1$  donc  $n = 2$  était une mauvaise réduction. Comme  $X^6 - 1$  ne divise pas  $P$  et  $Q$ , on passe à  $n = 5$ . On trouve  $X^6 + 2X^4 - 2X^2 - 1$ . On applique le théorème des restes chinois qui va nous donner un polynôme dans  $\mathbb{Z}/15\mathbb{Z}$ . On cherche donc un entier congru à 2 modulo 5 et à 0 modulo 3, -3 est la solution (écrite en représentation symétrique), donc le polynôme modulo 15 est  $X^6 - 3X^4 + 3X^2 - 1 = (X^2 - 1)^3$ . Ce polynôme divise  $P$  et  $Q$ , c'est donc le pgcd de  $P$  et de  $Q$ .

### 3.3 Le pgcd à plusieurs variables.

#### 3.3.1 Le pgcd heuristique.

On suppose comme dans le cas à une variable que les polynômes sont primitifs, donc qu'on a simplifié les polynômes par le pgcd entier de leurs coefficients entiers.

Le principe est identique à celui du PGCD à 1 variable, on évalue les deux polynômes  $P$  et  $Q$  de  $k$  variables  $X_1, \dots, X_k$  en un  $X_k = z$  et on calcule le pgcd  $g$  des 2 polynômes  $P(z)$  et  $Q(z)$  de  $k - 1$  variables. On remonte ensuite à un polynôme  $G$  par écriture symétrique en base  $z$  de  $g$  et on teste si  $\text{pp}(G)$  divise  $P$  et  $Q$ . Il s'agit à nouveau de montrer que si  $z$  est assez grand, alors  $\text{pp}(G)$  est le pgcd cherché. On sait que  $d = D(z)$  divise  $g$ . Il existe donc un polynôme  $a$  de  $k - 1$  variables tel que  $g = ad$ . On sait aussi que  $\text{pp}(G)$  divise  $D$ , donc il existe un polynôme  $C$  de  $k$  variables tel que  $D = C * \text{pp}(G)$ . On évalue en  $z$  et on obtient  $d = C(z)g/c(G)$ , où  $c(G)$  est un entier, donc

$$c(G) = a * C(z)$$

Comme  $c(G)$  est un entier,  $a$  et  $C(z)$  sont des polynômes constants. Comme précédemment, on a aussi  $|C(z)| \leq |z|/2$  puisque  $|c(G)| \leq |z|/2$ .

- Premier cas : si  $C$  ne dépend que de la variable  $X_k$ . On continue le raisonnement comme dans le cas unidimensionnel.
- Deuxième cas : si  $C$  dépend d'une autre variable, par exemple  $X_1$ . On regarde le coefficient de plus haut degré de  $C$  par rapport à  $X_1$ . Ce coefficient divise le coefficient de plus haut degré de  $P$  et de  $Q$  par rapport à  $X_1$ . Comme  $C(z)$  est constant, on en déduit que le coefficient de plus haut degré

de  $P$  et  $Q$  par rapport à  $X_1$  est divisible par  $X_k - z$  donc le coefficient de plus bas degré en  $X_k$  de ces coefficients de plus haut degré est divisible par  $z$ , ce qui contredit la majoration de ce coefficient.

En pratique, cet algorithme nécessite le calcul récursif de pgcd sans garantie de réussite. On l'évite donc s'il y a beaucoup de variables (la limite est par exemple de 5 pour MuPAD).

### 3.3.2 Le pgcd modulaire multivariables.

Ici, on travaille modulo  $X_n - \alpha$ , où  $X_1, \dots, X_n$  désignent les variables des polynômes. On considère donc deux polynômes  $P$  et  $Q$  comme polynômes de la variables  $X_n$  avec des coefficients dans  $\mathbb{Z}[X_1, \dots, X_{n-1}]$ . On évalue en  $X_n = \alpha$ , on obtient deux polynômes en  $n - 1$  variables dont on calcule le pgcd (récursivement).

Il s'agit de reconstruire le pgcd par interpolation. Tout d'abord, on a une borne évidente sur le degré du pgcd par rapport à la variable  $X_n$ , c'est le minimum  $\delta$  des degrés par rapport à  $X_n$  des polynômes  $P$  et  $Q$ . A première vue, il suffit donc d'évaluer les polynômes en  $\delta + 1$  points  $\alpha$ .

Il faut toutefois prendre garde aux mauvaises évaluations et à la normalisation des pgcd avant d'interpoler. En effet, si  $D(X_1, \dots, X_n)$  désigne le pgcd de  $P$  et  $Q$  et  $G(X_1, \dots, X_{n-1})$  le pgcd de  $P(X_1, \dots, X_{n-1}, \alpha)$  et de  $Q(X_1, \dots, X_{n-1}, \alpha)$ , on peut seulement dire  $D(X_1, \dots, X_{n-1}, \alpha)$  divise  $G$ . Plusieurs cas sont donc possibles lorsqu'on évalue en un nouveau point  $\alpha$  :

- l'un des degrés de  $G$  est plus petit que le degré du polynôme  $D'$  reconstruit par interpolation jusque là. Dans ce cas, toutes les évaluations qui ont conduit à reconstruire  $D'$  étaient mauvaises. Il faut recommencer l'interpolation à zéro ou à partir de  $G$  (si tous les degrés de  $G$  sont inférieurs ou égaux aux degrés du  $D'$  reconstruit).
- l'un des degrés de  $G$  est plus grand que le degré du  $D'$  reconstruit jusque là. Il faut alors ignorer  $\alpha$ .
- Tous les degrés de  $G$  sont égaux aux degrés du  $D'$  reconstruit jusque là. Dans ce cas,  $G$  est un multiple entier du polynôme  $D'$  reconstruit jusque là et évalué en  $X_n = \alpha$ . Si on suppose qu'on a pu s'arranger pour que ce multiple soit 1, on ajoute le point  $\alpha$  aux points d'évaluation précédents  $\alpha_j$  en posant :

$$D' = D' + (G - D') \frac{\prod_{\alpha_j} (X_n - \alpha_j)}{\prod_{\alpha_j} (\alpha - \alpha_j)}$$

On voit que les mauvaises évaluations se détectent simplement par les degrés. Pour la normalisation, on utilise une petite astuce : au lieu de reconstruire le pgcd  $D$ , on va reconstruire un multiple du pgcd  $D$  (ce multiple appartiendra à  $\mathbb{Z}[X_n]$ ). On voit maintenant  $P$  et  $Q$  comme des polynômes en  $n - 1$  variables  $X_1, \dots, X_{n-1}$  à coefficients dans  $\mathbb{Z}[X_n]$ . Alors  $\text{lcoeff}(D)$ , le coefficient dominant de  $D$  (relativement à l'ordre lexicographique sur les variables  $X_1, \dots, X_{n-1}$ ), est un polynôme en  $X_n$  qui divise le coefficient dominant de  $P$  et de  $Q$  donc divise le coefficient dominant du pgcd des coefficients dominants de  $P$  et de  $Q$ . On va donc reconstruire le polynôme :

$$D' = D \frac{\Delta(X_n)}{\text{lcoeff}(D)(X_n)}, \Delta(X_n) = \text{pgcd}(\text{lcoeff}(P)(X_n), \text{lcoeff}(Q)(X_n))$$



c'est-à-dire  $D$  multiplié par un polynôme qui ne dépend que de  $X_n$ .

Revenons à  $G$  en un point  $\alpha$  de bonne évaluation. C'est un multiple entier de  $D(X_1, \dots, X_{n-1}, \alpha)$  :

$$G = \beta D(X_1, \dots, X_{n-1}, \alpha)$$

Donc, comme polynômes de  $X_1, \dots, X_{n-1}$  à coefficients dans  $\mathbb{Z}[X_n]$  ou dans  $\mathbb{Z}$ ,  $\text{lcoeff}(G) = \beta \text{lcoeff}(D)|_{X_n=\alpha}$ . Comme  $\text{lcoeff}(D)$  divise  $\Delta(X_n)$ , il en est de même en  $X_n = \alpha$  donc  $\text{lcoeff}(G)$  divise  $\beta \Delta(\alpha)$ . On en déduit que  $\Delta(\alpha)G$  qui est divisible par  $\Delta(\alpha)\beta$  est divisible par  $\text{lcoeff}(G)$ . On va donc considérer le polynôme  $\Delta(\alpha)G/\text{lcoeff}(G)$  : ses coefficients sont entiers et son coefficient dominant est

$$\Delta(\alpha) = \text{lcoeff}(D'(X_1, \dots, X_{n-1}, \alpha))$$

donc

$$\Delta(\alpha)G/\text{lcoeff}(G) = D'(X_1, \dots, X_{n-1}, \alpha)$$

**Algorithme du pgcd modulaire à plusieurs variables (interpolation dense) :**

Arguments : 2 polynômes primitifs  $P$  et  $Q$  de  $n$  variables  $X_1, \dots, X_n$  à coefficients entiers. Renvoie le pgcd de  $P$  et  $Q$ .

1. Si  $n = 1$ , renvoyer le pgcd de  $P$  et  $Q$  en une variable.
2. Test rapide de pgcd trivial par rapport à  $X_n$ . On cherche des  $n - 1$ -uplets  $\alpha$  tels que  $P(\alpha, X_n)$  et  $Q(\alpha, X_n)$  soient de même degré que  $P$  et  $Q$  par rapport à la variable  $X_n$ . On calcule le pgcd  $G$  de ces 2 polynômes en une variable. Si le pgcd est constant, alors on retourne le pgcd des coefficients de  $P$  et  $Q$ .
3. On divise  $P$  et  $Q$  par leur contenu respectifs vu comme polynômes en  $X_1, \dots, X_{n-1}$  à coefficients dans  $\mathbb{Z}[X_n]$ , on note  $C(X_n)$  le pgcd des contenus. On calcule aussi le pgcd  $\Delta(X_n)$  des coefficients dominants de  $P$  et de  $Q$ .
4. On initialise  $D'$  le pgcd reconstruit à 0,  $I(X_n)$  le polynôme d'interpolation à 1,  $\delta = (\delta_1, \dots, \delta_{n-1})$  la liste des degrés partiels du pgcd par rapport à  $X_1, \dots, X_{n-1}$  au minimum des degrés partiels de  $P$  et  $Q$  par rapport à  $X_1, \dots, X_{n-1}$ ,  $e$  le nombre d'évaluation à 0 et  $E$  l'ensemble des points d'interpolation à la liste vide.
5. Boucle infinie :
  - Faire  $\alpha$ =entier aléatoire n'appartenant pas à  $E$  jusqu'à ce que

$$\text{degre}(P(X_1, \dots, X_{n-1}, \alpha)) = \text{degre}_{X_n}(P(X_1, \dots, X_n))$$

$$\text{degre}(Q(X_1, \dots, X_{n-1}, \alpha)) = \text{degre}_{X_n}(Q(X_1, \dots, X_n))$$

- Calculer le pgcd  $G(X_1, \dots, X_{n-1})$  en  $n-1$  variables de  $P(X_1, \dots, X_{n-1}, \alpha)$  et  $Q(X_1, \dots, X_{n-1}, \alpha)$ .
- Si  $\text{degre}(G)_i < \delta_i$  pour un indice au moins. Si  $\text{degre}(G) \leq \delta$ , on pose  $\delta = \text{degre}(G)$ ,  $D' = G \frac{\Delta(\alpha)}{\text{lcoeff}(G)}$ ,  $I = X_n - \alpha$ ,  $e = 1$  et  $E = [\alpha]$ , sinon on pose  $\delta = \min(\delta, \text{degre}(G))$ ,  $D' = 0$ ,  $I = 1$ ,  $e = 0$ ,  $E = []$ . On passe à l'itération suivante.
- Si  $\text{degre}(G) > \delta$ , on passe à l'itération suivante.
- Si  $\text{degre}(G) = \delta$ , on interpole :
  - $G := G \frac{\Delta(\alpha)}{\text{lcoeff}(G)}$

- $D' := D' + \frac{I(X_n)}{\prod_{\alpha_j \in E} (\alpha - \alpha_j)} (G - D'(X_1, \dots, X_{n-1}, \alpha))$
- $I := I * (X_n - \alpha)$
- $e := e + 1$  et ajouter  $\alpha$  à  $E$
- Si  $e$  est strictement plus grand que le minimum des degrés partiels de  $P$  et  $Q$  par rapport à  $X_n$ , on pose  $\tilde{D}$  la partie primitive de  $D'$  (vu comme polynôme à coefficients dans  $\mathbb{Z}[X_n]$ ), on teste si  $P$  et  $Q$  sont divisibles par  $\tilde{D}$ , si c'est le cas, on renvoie  $D = C(X_n)\tilde{D}$

On observe que dans cet algorithme, on fait le test de divisibilité de  $\tilde{D}$  par  $P$  et  $Q$ . En effet, même après avoir évalué en suffisamment de points, rien n'indique que tous ces points sont des points de bonne évaluation. En pratique cela reste extrêmement improbable. En pratique, on teste la divisibilité plus tôt, dès que  $D'$  n'est pas modifié par l'ajout d'un nouveau point à la liste des  $\alpha_j$ .

Il existe une variation de cet algorithme, appelé SPMOD (sparse modular), qui suppose que seuls les coefficients non nuls du pgcd en  $n - 1$  variables sont encore non nuls en  $n$  variables (ce qui a de fortes chances d'être le cas). L'étape d'interpolation est alors remplacée par la résolution d'un sous-système d'un système de Vandermonde. Cette variation est intéressante si le nombre de coefficients non nuls en  $n - 1$  variables est petit devant le degré. Si elle échoue, on revient à l'interpolation dense.

Notons enfin qu'on peut appliquer cette méthode lorsque les coefficients de  $P$  et  $Q$  sont dans  $\mathbb{Z}/n\mathbb{Z}$  mais il faut alors vérifier qu'on dispose de suffisamment de points d'interpolation. Ce qui en combinant avec l'algorithme modulaire à une variable donne un algorithme doublement modulaire pour calculer le pgcd de 2 polynômes à coefficients entiers. C'est cette méthode qu'utilise par exemple MuPAD (en essayant d'abord SPMOD puis l'interpolation dense).

#### Exemple :

Dans cet exemple, on donne  $F$  et  $G$  sous forme factorisée, le but étant de faire comprendre l'algorithme. En utilisation normale, on n'exécuterait cet algorithme que si  $F$  et  $G$  étaient développés.

$$P = ((x+1)y + x^2 + 1)(y^2 + xy + 1), Q = ((x+1)y + x^2 + 1)(y^2 - xy - 1).$$

Prenons  $x$  comme variable  $X_1$  et  $y$  comme variable  $X_2$ . Les coefficients dominants de  $P$  et  $Q$  sont respectivement  $y$  et  $-y$  donc  $\Delta = y$ .

En  $y = 0$ ,  $P(x, 0) = x^2 + 1$  n'est pas du bon degré.

En  $y = 1$ ,  $P(x, 1) = (x + x^2 + 2)(x + 2)$  et  $Q(x, 1) = (x + x^2 + 2)(-x)$  sont du bon degré. Leur pgcd est  $G = x^2 + x + 2$ ,  $\Delta(1) = 1$ , donc  $D' = x^2 + x + 1$ . On teste la divisibilité de  $P$  par  $D'$ , le test échoue.

En  $y = 2$ ,  $P(x, 2) = (x^2 + 2x + 3)(2x + 5)$  et  $Q(x, 2) = (x^2 + 2x + 3)(-2x + 3)$  donc  $G = x^2 + 2x + 3$ ,  $\Delta(2) = 2$ . On interpole :

$$D' = x^2 + x + 2 + \frac{y-1}{2-1} (2(x^2 + 2x + 3) - (x^2 + x + 2)) = y(x^2 + 3x + 4) - (2x + 2)$$

On teste la divisibilité de  $P$  par  $D'$ , le test échoue.

En  $y = 3$ ,  $P(x, 3) = (x^2 + 3x + 4)(3x + 10)$  et  $Q(x, 3) = (x^2 + 3x + 4)(-3x + 8)$  donc  $G = x^2 + 3x + 4$ ,  $\Delta(3) = 3$ . On interpole :

$$\begin{aligned} D' &= y(x^2 + 3x + 4) - (2x + 2) + \\ &\quad \frac{(y-2)(y-1)}{(3-2)(3-1)} (3(x^2 + 3x + 4) - (3(x^2 + 3x + 4) - (2x + 2))) \end{aligned}$$

donc

$$D' = y(x^2 + 3x + 4) - (2x + 2) + \frac{(y-2)(y-1)}{2}(-2x-2) = x^2y + xy^2 + y^2 + y$$

On divise  $D'$  par son contenu et on trouve  $x^2 + xy + y + 1$  qui est bien le pgcd de  $P$  et  $Q$ .

### 3.3.3 EZGCD.

Il s'agit d'une méthode  $p$ -adique. On évalue toutes les variables sauf une, on calcule le pgcd en une variable et on remonte au pgcd variable par variable (EEZGCD) ou toutes les variables simultanément (EZGCD) par un lemme de Hensel. Il semble qu'il est plus efficace de remonter les variables séparément.

Soit donc  $F$  et  $G$  deux polynômes primitifs dépendant des variables  $X_1, \dots, X_n$  de pgcd  $D$ , on fixe une des variables qu'on appellera  $X_1$  dans la suite. Soient  $\text{lcoeff}(F)$  et  $\text{lcoeff}(G)$  les coefficients dominants de  $F$  et  $G$  par rapport à  $X_1$ . On évalue  $F$  et  $G$  en un  $n-1$  uplet  $b$  tel que le degré de  $F$  et  $G$  par rapport à  $X_1$  soit conservé après évaluation en  $b$ . On suppose que  $D_b(X_1) = \text{pgcd}(F(b), G(b))$  a le même degré que  $D(b)$ . On a donc l'égalité :

$$(F * \text{lcoeff}(F))(b) = \left( D_b \frac{\text{lcoeff}(F(b))}{\text{lcoeff}(D_b)} \right) * \left( \frac{F(b)}{D_b} \frac{\text{lcoeff}(F)(b)}{\text{lcoeff}(\frac{F(b)}{D_b})} \right)$$

et de même en remplaçant  $F$  par  $G$ .

Pour pouvoir lifter cette égalité (c'est-à-dire généraliser à plusieurs variables), il faut que  $D_b$  et  $\frac{F(b)}{D_b}$  soient premiers entre eux. Sinon, on peut essayer de lifter l'égalité analogue avec  $G$ . En général, on montre qu'il existe un entier  $j$  tel que  $D_b$  et  $\frac{F(b)+jG(b)}{D_b}$  soient premiers entre eux. En effet, sinon au moins un des facteurs irréductibles de  $D_b$  va diviser  $\frac{F(b)+jG(b)}{D_b}$  pour deux valeurs distinctes de  $j$  et va donc diviser à la fois  $\frac{F(b)}{D_b}$  et  $\frac{G(b)}{D_b}$  en contradiction avec la définition de  $D_b = \text{pgcd}(F(b), G(b))$ . On lifte alors l'égalité obtenue en remplaçant  $F$  par  $(F + kG)$  ci-dessus. Dans la suite, on suppose qu'on peut prendre  $j = 0$  pour alléger les notations.

On va aussi supposer que  $b = 0$ . Sinon, on fait un changement d'origine sur les polynômes  $F$  et  $G$  pour que  $b = 0$  convienne, on calcule le pgcd et on lui applique la translation d'origine opposée.

On adopte ensuite la notation suivante : si  $k$  est un entier, on dit qu'un polynôme  $P$  est un  $O(k)$  si la valuation de  $P$  vu comme polynôme en  $X_2, \dots, X_n$  à coefficients dans  $\mathbb{Z}[X_1]$  est supérieure ou égale à  $k$ , ou de manière équivalente si

$$P(X_1, hX_2, \dots, hX_n) = O_{h \rightarrow 0}(h^k)$$

L'égalité à lifter se réécrit donc :

$$F \text{lcoeff}(F) = P_0 Q_0 + O(1)$$

où  $P_0 = D_b \frac{\text{lcoeff}(F(b))}{\text{lcoeff}(D_b)}$  et  $Q_0 = \frac{F(b)}{D_b} \frac{\text{lcoeff}(F)(b)}{\text{lcoeff}(\frac{F(b)}{D_b})}$  sont premiers entre eux et de degré 0 par rapport aux variables  $X_2, \dots, X_n$ . Cherchons  $P_1 = O(1)$  et  $Q_1 = O(1)$  de degré 1 par rapport aux variables  $X_2, \dots, X_n$  tels que

$$F \text{lcoeff}(F) = (P_0 + P_1)(Q_0 + Q_1) + O(2)$$

Il faut donc résoudre

$$Flcoeff(F) - P_0Q_0 = P_0Q_1 + Q_0P_1 + O(2)$$

On peut alors appliquer l'identité de Bézout qui permet de déterminer des polynômes  $P_1$  et  $Q_1$  satisfaisant l'égalité ci-dessus (avec comme reste  $O(2)$  nul) puisque  $P_0$  et  $Q_0$  sont premiers entre eux. De plus, on choisit  $P_1$  et  $Q_1$  tels que  $\deg_{X_1} P_1 \leq \deg_{X_1}(F) - \deg(Q_0) = \deg(P_0)$  et  $\deg_{X_1}(Q_1) \leq \deg(Q_0)$  et  $lcoeff_{X_1}(P_0 + P_1) + O(2) = lcoeff_{X_1}(Q_0 + Q_1) + O(2) = lcoeff_{X_1}(F)$ . On tronque ensuite  $P_1$  et  $Q_1$  en ne conservant que les termes de degré 1 par rapport à  $X_2, \dots, X_n$ .

On trouve de la même manière par récurrence  $P_k$  et  $Q_k$  homogènes de degré  $k$  par rapport à  $X_2, \dots, X_n$ , de degré par rapport à  $X_1$  respectivement inférieur aux degrés de  $Q_0$  et de  $P_0$  et tels que

$$Flcoeff(F) = (P_0 + \dots + P_k)(Q_0 + \dots + Q_k) + O(k+1) \quad (10)$$

et  $lcoeff(F) = lcoeff_{X_1}(P_0 + \dots + P_k) + O(k+1) = lcoeff_{X_1}(Q_0 + \dots + Q_k) + O(k+1)$ .

Si on est bien en un point de bonne évaluation et si  $k$  est plus grand que le degré total (par rapport aux variables  $X_2, \dots, X_n$ ) du polynôme  $Flcoeff(F)$  on va vérifier que  $P_0 + \dots + P_k = D \frac{lcoeff(F)}{lcoeff(D)}$ . En effet, si on a deux suites de polynômes  $P$  et  $P'$  et  $Q$  et  $Q'$  satisfaisant (10) avec les mêmes termes de degré zéro  $P_0$  et  $Q_0$ , alors en prenant la différence, on obtient :

$$(P_0 + P_1 \dots + P_k)(Q_0 + Q_1 \dots + Q_k) = (P_0 + P'_1 \dots + P'_k)(Q_0 + Q'_1 \dots + Q'_k) + O(k+1)$$

On égale alors les termes homogènes de degré  $j$ , pour  $j = 1$ , on obtient  $P_0(Q_1 - Q'_1) = Q_0(P_1 - P'_1)$ , donc  $Q_0$  divise  $Q_1 - Q'_1$  qui est de degré strictement inférieur au degré de  $Q_0$  par rapport à  $X_1$  (car on a l'inégalité large et les termes de plus haut degré sont égaux), donc  $Q_1 = Q'_1$  et  $P_1 = P'_1$ . On montre de la même manière que  $Q_j = Q'_j$  et  $P_j = P'_j$ . L'écriture est donc unique, c'est donc l'écriture en polynôme homogène de degré croissant de  $D \frac{lcoeff(F)}{lcoeff(D)}$  que l'on reconstruit.

Cet algorithme permet donc de reconstruire  $D$ , il suffit de tester à chaque étape si  $P_0 + \dots + P_k$  divise  $Flcoeff(F)$ . On appelle cette méthode de remontée lemme de Hensel linéaire. Il existe une variante dite lemme de Hensel quadratique qui consiste à passer de  $O(k)$  à  $O(2k)$ . Elle nécessite toutefois un calcul supplémentaire, celui de l'identité de Bézout à  $O(2k)$  près pour les polynômes  $P_0 + \dots + P_{k-1}$  et  $Q_0 + \dots + Q_{k-1}$ . Ce calcul se fait également par lifting.

#### Algorithme EZGCD (Hensel linéaire)

Arguments : 2 polynômes  $F$  et  $G$  à coefficients entiers et primitifs. Renvoie le pgcd de  $F$  et  $G$  ou false.

1. Evaluer  $F$  et  $G$  en  $(X_2, \dots, X_n) = (0, \dots, 0)$ , vérifier que les coefficients dominants de  $F$  et de  $G$  ne s'annulent pas. Calculer le pgcd  $D_b$  de  $F(0)$  et de  $G(0)$ . Prendre un autre point d'évaluation au hasard qui n'annule pas les coefficients dominants de  $F$  et de  $G$  et vérifier que le pgcd a le même degré que  $D_b$ . Sinon, renvoyer false (on peut aussi faire une translation d'origine de  $F$  et de  $G$  en un autre point mais cela diminue l'efficacité de l'algorithme).

2. On note  $\text{lc}F$  et  $\text{lc}G$  les coefficients dominants de  $F$  et de  $G$  par rapport à  $X_1$ .
3. Si  $\text{deg}(F) \leq \text{deg}(G)$  et  $\text{deg}(D_b) = \text{deg}(G)$  et  $F$  divise  $G$  renvoyer  $F$
4. Si  $\text{deg}(G) < \text{deg}(F)$  et  $\text{deg}(D_b) = \text{deg}(F)$  et  $G$  divise  $F$  renvoyer  $G$
5. Si  $\text{deg}(F) = \text{deg}(D_b)$  ou si  $\text{deg}(G) = \text{deg}(D_b)$  renvoyer false
6. Boucle infinie sur  $j$  entier initialisé à 0, incrémenté de 1 à chaque itération :  
si  $\text{pgcd}(D_b, \frac{F(0)+jG(0)}{D_b}) = C$  constant, alors arrêter la boucle
7. Lifter l'égalité  $(F + jG)(\text{lc}F + j\text{lc}G)(0) = \left( D_b \frac{(\text{lc}F + j\text{lc}G)(0)}{\text{lcoeff}(D_b)} \right) * \dots$  par remontée de Hensel linéaire ou quadratique. Si le résultat est false, renvoyer false. Sinon renvoyer le premier polynôme du résultat divisé par son contenu vu comme polynôme en  $X_1$  à coefficients dans  $\mathbb{Z}[X_2, \dots, X_n]$ .

#### Remontée de Hensel linéaire :

Arguments :  $F$  un polynôme,  $\text{lc}F = \text{lcoeff}(F)$  son coefficient dominant,  $P_0$  un facteur de  $F(0)$  ayant comme coefficient dominant  $\text{lc}F(0)$  et dont le cofacteur  $Q_0$  est premier avec  $P_0$ .

Renvoie deux polynômes  $P$  et  $Q$  tels que  $F\text{lc}F = PQ$  et  $P(0) = P_0$  et  $\text{lcoeff}(P) = \text{lcoeff}(Q) = \text{lc}F$ .

1. Soit  $G = F\text{lc}F$ ,  $Q_0 = G(0)/P_0$ ,  $P = P_0$ ,  $Q = Q_0$ .
2. Déterminer les deux polynômes  $U$  et  $V$  de l'identité de Bézout (tels que  $P_0U + Q_0V = d$  où  $d$  est un entier).
3. Boucle infinie avec un compteur  $k$  initialisé à 1, incrémenté de 1 à chaque itération
  - Si  $k > \text{deg}_{X_2, \dots, X_n}(G)$ , renvoyer false.
  - Si  $P$  divise  $G$ , renvoyer  $P$  et  $G/P$ .
  - Soit  $H = G - PQ = O(k)$ . Soit  $u = U \frac{H}{d}$  et  $v = V \frac{H}{d}$ , on a  $P_0u + Q_0v = H$
  - Remplacer  $v$  par le reste de la division euclidienne de  $v$  par  $P_0$  et  $u$  par le reste de la division euclidienne de  $u$  par  $Q_0$ . La somme des deux quotients est égale au quotient euclidien de  $H$  par  $P_0Q_0$ , c'est-à-dire au coefficient dominant de  $H$  divisé par le produit des coefficients dominants de  $P_0$  et  $Q_0$  (qui sont égaux) donc on a l'égalité :

$$P_0u + Q_0v = H - \frac{\text{lcoeff}(H)}{\text{lcoeff}(P_0)^2} P_0Q_0$$

- Soit  $\alpha = (\text{lcoeff}(F) - \text{lcoeff}(P))/\text{lcoeff}(P_0)$  et  $\beta = (\text{lcoeff}(F) - \text{lcoeff}(Q))/\text{lcoeff}(P_0)$ .  
On ajoute  $\alpha P_0$  à  $v$ , ainsi  $\text{lcoeff}(P + v) = \text{lcoeff}(F) + O(k + 1)$  et  $\beta Q_0$  à  $u$ , ainsi  $\text{lcoeff}(Q + u) = \text{lcoeff}(F) + O(k + 1)$   
Remarque : on montre alors que  $\alpha + \beta = \frac{\text{lcoeff}(H)}{\text{lcoeff}(P_0Q_0)} + O(k + 1)$  donc  $P_0u + Q_0v = H + O(k + 1)$  en utilisant les propriétés :

$$\text{lcoeff}(F) = \text{lcoeff}(P) + O(k) = \text{lcoeff}(Q) + O(k) = \text{lcoeff}(P_0) + O(1)$$

- Réduire  $u$  et  $v$  en éliminant les termes de degré strictement supérieur à  $k$  par rapport à  $X_2, \dots, X_n$ . S'il reste un coefficient non entier, renvoyer false

- Remplacer  $P$  par  $P + v$  et  $Q$  par  $Q + u$ , passer à l'itération suivante.

**Exemple :**

$$F = ((x+1)y + x^2 + 1)(y^2 + xy + 1), G = ((x+1)y + x^2 + 1)(y^2 - xy - 1)$$

On a  $F(0, y) = (y+1)(y^2+1)$  et  $G(0, y) = (y+1)(y^2-1)$ , le pgcd est donc  $D_b = (y+1)$ . On remarque que  $D_b$  est premier avec le cofacteur de  $F$  mais pas avec le cofacteur de  $G$ . Si on évalue en un autre point, par exemple  $x = 1$ , on trouve un pgcd  $D_1$  de même degré, donc 0 est vraisemblablement un bon point d'évaluation (ici on en est sûr puisque le pgcd de  $F$  et  $G$  se calcule à vue...). On a  $\text{lcoeff}(F) = x+1$ , on va donc lifter  $G = ((x+1)y + x^2 + 1)(y^2 + xy + 1)(x+1) = PQ$  où  $P_0 = (y+1)$  et  $Q_0 = (y^2+1)$ .

On calcule les polynômes de l'identité de Bézout  $U = (1-y)$  et  $V = 1$  avec  $d = 2$ , puis à l'ordre  $k = 1$  :

$$H = G - P_0Q_0 = (2y^3 + 2y^2 + 3y + 1)x + O(2)$$

donc  $u = \text{reste}(UH/d, Q_0) = xy$  et  $v = \text{reste}(VH/d, P_0) = -x$ .

Donc  $Q_1 = xy + \alpha Q_0$  avec  $\alpha = (x+1-1)/\text{lcoeff}(P_0) = x$  et  $Q_0 + Q_1 = (y^2 + 1)(x+1) + xy$ . De même,  $P_1 = -x + \beta P_0$ , avec  $\beta = (x+1-1)/\text{lcoeff}(P_0) = x$  donc  $P_0 + P_1 = (y+1)(x+1) - x$ . On remarque que  $P_0 + P_1$  et  $Q_0 + Q_1$  sont bien à  $O(2)$  près les facteurs de  $F/\text{lcoeff}(F)$  :

$$P = (x+1)y + x^2 + 1 = P_0 + P_1 + O(2), Q = (x+1)(y^2 + xy + 1) = Q_0 + Q_1 + O(2)$$

Une deuxième itération est nécessaire. On calcule

$$H = G - (P_0 + P_1)(Q_0 + Q_1) = (2y^2 + y + 1)x^2 + O(3)$$

puis  $\text{reste}(UH/d, Q_0) = yx^2$  et  $\text{reste}(VH/d, P_0) = x^2$ . Ici les coefficients  $\alpha$  et  $\beta$  sont nuls car  $\text{lcoeff}(F)$  n'a pas de partie homogène de degré 2. On trouve alors  $P = P_0 + P_1 + P_2$  et  $Q = Q_0 + Q_1 + Q_2$ . Pour calculer le pgcd, il suffit de calculer la partie primitive de  $P$  vu comme polynôme en  $y$ , ici c'est encore  $P$  car le contenu de  $P$  est 1 (remarque : pour  $Q$  le contenu est  $x+1$ ).

On trouve donc  $P$  comme pgcd.

### 3.4 Quel algorithme choisir ?

Il est toujours judicieux de faire une évaluation en quelques  $n - 1$  uplets pour traquer les pgcd triviaux. (E)EZGCD sera efficace si  $(0, \dots, 0)$  est un point de bonne évaluation et si le nombre de remontées nécessaires pour le lemme de Hensel est petit donc pour les pgcd de petit degré, GCDMOD est aussi efficace si le degré du pgcd est petit. Le sous-résultant est efficace pour les pgcd de grand degré car il y a alors peu de divisions euclidiennes à effectuer et les coefficients n'ont pas trop le temps de croître. SPMOD est intéressant pour les polynômes creux de pgcd non trivial creux. GCDHEU est intéressant pour les problèmes relativement petits.

Avec des machines multiprocesseurs, on a probablement intérêt à lancer en parallèle plusieurs algorithmes et à s'arrêter dès que l'un d'eux rencontre le succès.

### 3.5 Pour en savoir plus.

Parmi les références citées dans le premier article, ce sont les livres de Knuth, H. Cohen, et Davenport-Siret-Tournier qui traitent des algorithmes de pgcd. On peut bien sûr consulter la source de son système de calcul formel lorsqu'il est disponible :

- pour MuPAD sur un système Unix, depuis le répertoire d'installation de MuPAD (en général `/usr/local/MuPAD`) après avoir désarchivé le fichier `lib.tar` du répertoire `share/lib` par la commande  

```
cd share/lib && tar xvf lib.tar
```

on trouve les algorithmes de calcul de PGCD dans le répertoire `share/lib/lib/POLYLIB/GCD`
- Pour l'algorithme EZGCD, je me suis inspiré de l'implémentation de Singular (logiciel libre disponible à `www.singular.uni-kl.de`)

Sur le web on trouve quelques articles en lignes sur le sujet en cherchant les mots clefs GCDHEU, EZGCD, SPMOD sur un moteur de recherche, il y a par exemple une description un peu différente du pgcd heuristique sur :

[www.inf.ethz.ch/personal/gonnet/CAII/HeuristicAlgorithms/node1.html](http://www.inf.ethz.ch/personal/gonnet/CAII/HeuristicAlgorithms/node1.html)

et un article de comparaison de ces algorithmes par Fateman et Liao (dont la référence bibliographique est Evaluation of the heuristic polynomial GCD. in : ISSAC pages 240–247, 1995). Quelques autres références :

- K.O.Geddes et al "Alg. for Computer Algebra", Kluwer 1992.
- pour GCDHEU Char, Geddes, Gonnet, Gcdheu : Heuristic polynomial gcd algorithm based on integer gcd computation, in : Journal of Symbolic Computation, 7 :31–48, 1989.
- pour SPMOD "Probabilistic Algorithms for Sparse Polynomials", in : Symbolic & Algebraic Comp. (Ed E.W.Ng), Springer 1979, pp216,

## 4 Le résultant

### 4.1 Définition

Il s'agit d'un point de vue d'algèbre linéaire sur le PGCD. Considérons deux polynômes  $A$  et  $B$  à coefficients dans un corps, de degrés  $p$  et  $q$  et de pgcd  $D$  et l'identité de Bézout correspondante :

$$AU + BV = D \tag{11}$$

avec  $\text{degré}(U) < q$  et  $\text{degré}(V) < p$ . Imaginons qu'on cherche  $U$  et  $V$  en oubliant qu'il s'agit d'une identité de Bézout, en considérant simplement qu'il s'agit d'un problème d'algèbre linéaire de  $p + q$  équations (obtenues en développant et en identifiant chaque puissance de  $X$  de 0 à  $p + q - 1$ ) à  $p + q$  inconnues (les  $p$  coefficients de  $V$  et les  $q$  coefficients de  $U$ ) On sait que  $A$  et  $B$  sont premiers entre eux si et seulement si ce problème d'algèbre linéaire a une solution pour  $D = 1$ . Donc si le déterminant du système est non nul, alors  $A$  et  $B$  sont premiers entre eux. Réciproquement si  $A$  et  $B$  sont premiers entre eux, le système a une solution unique non seulement avec comme second membre 1 mais avec n'importe quel polynôme de degré inférieur  $p + q$ , donc le déterminant du système est non nul.

**Définition :**

On appelle résultant de  $A$  et  $B$  le déterminant de ce système (11). Il s'annule si et seulement si  $A$  et  $B$  ne sont pas premiers entre eux (ont au moins une racine commune). On appelle matrice de Sylvester la transposée de la matrice du système (les inconnues étant par ordre décroissant les coefficients de  $U$  et  $V$ )

$$M(A, B) = \begin{pmatrix} A_a & A_{a-1} & \dots & \dots & A_0 & 0 & \dots & 0 \\ 0 & A_a & \dots & \dots & A_1 & A_0 & \dots & 0 \\ \vdots & & & & & & & \vdots \\ 0 & 0 & \dots & & & & & A_0 \\ B_b & B_{b-1} & \dots & B_0 & 0 & 0 & \dots & 0 \\ \vdots & & & & & & & \vdots \\ 0 & 0 & \dots & & & & & B_0 \end{pmatrix}$$

(cette matrice contient  $b = \text{degré}(B)$  lignes de coefficients du polynôme  $A$  et  $a = \text{degré}(A)$  lignes de coefficients du polynôme  $B$ , les coefficients diagonaux sont les  $A_a$  et  $B_0$ )

**Remarques**

Le résultant s'exprime polynomialement en fonction des coefficients des polynômes  $A$  et  $B$  donc aussi en fonction des coefficients dominants de  $A$  et  $B$  et des racines  $\alpha_1, \dots, \alpha_a$  de  $A$  et  $\beta_1, \dots, \beta_b$  de  $B$ , or si on fait varier les racines de  $B$  on annulera le résultant si l'une d'elle coïncide avec une racine de  $A$ , ceci montre que le résultant est divisible par le produit des différences des racines  $\beta_j - \alpha_i$  de  $A$  et  $B$ . On montre que le quotient est  $A_a^b B_b^a$  en regardant le coefficient dominant du résultant en degré total par rapport aux  $\beta_j$  : dans le déterminant il faut prendre le produit des termes diagonaux pour avoir le degré maximal en les  $\beta_j$ . On peut aussi l'écrire sous la forme

$$\text{resultant}(A, B) = A_a^b \prod_{i=1}^a B(\alpha_i)$$

Soit  $P$  un polynôme de degré  $n$  et coefficient dominant  $p_n$ . Le coefficient dominant de  $P'$  est  $np_n$ , un multiple de  $p_n$ , le résultant de  $P$  et  $P'$  est donc divisible par  $p_n$ , on appelle le quotient discriminant. En terme des racines  $r_i$  de  $P$ , on a

$$\text{disc}(P) = \frac{\text{resultant}(P, P')}{p_n} = p_n^{n-2} \prod_{i=1}^n P'(r_i) = p_n^{2n-2} \prod_{1 \leq i < j \leq n} (r_i - r_j)^2$$

Ce résultat a un intérêt pour par exemple minorer à priori l'écart entre 2 racines d'un polynôme à coefficients entiers.

**4.2 Applications**

Revenons au cas où nos polynômes sont à coefficients dans un anneau contenu dans un corps, par exemple  $\mathbb{Z} \in \mathbb{Q}$  ou un anneau de polynômes  $\mathbb{Z}[X_2, \dots, X_n]$  dans son corps de fractions. On remarque alors que l'équation :

$$AU + BV = C$$

a une solution dans l'anneau si  $C$  est le résultant  $r$  de  $A$  et  $B$  (ou un multiple). En effet, on écrit les solutions comme celles d'un système de Cramer, le dénominateur



de chaque inconnue est  $r$ , le numérateur est un déterminant ayant les coefficients de  $C$  dans une des colonnes, on peut donc y factoriser  $r$  et simplifier. On peut le voir directement à partir de la définition du résultant en effectuant sur le déterminant une manipulation de colonnes sur la dernière colonne, on ajoute à cette dernière colonne  $x$  fois l'avant-dernière,  $x^2$  fois l'avant-avant-dernière etc... La dernière colonne devient

$$\begin{pmatrix} x^{b-1}A \\ \dots \\ A \\ x^{a-1}B \\ \dots \\ B \end{pmatrix}$$

et en développant le déterminant par rapport à cette dernière colonne, on obtient l'identité de Bézout.

**Exemple :** le résultant de  $x + 1$  et  $x - 1$  est 2, donc l'équation

$$(x + 1)U + (x - 1)V = 2$$

a une solution  $U = 1$  et  $V = -1$  dans  $\mathbb{Z}[X]$ , par contre

$$(x + 1)U + (x - 1)V = 1$$

n'a pas de solution dans  $\mathbb{Z}[X]$ .

Ceci peut servir à éliminer des inconnues lorsqu'on résoud un système d'équations polynomiales :

$$P_1(X_1, \dots, X_n) = 0, \dots, P_n(X_1, \dots, X_n) = 0$$

On pose

$$P_1^1(X_1, \dots, X_{n-1}) = \text{resultant}(P_1, P_n, X_n), \dots, P_{n-1}^1(X_1, \dots, X_{n-1}) = \text{resultant}(P_{n-1}, P_n, X_n)$$

Comme  $P_1^1, P_{n-1}^1, \dots$  sont des combinaisons linéaires des polynômes de départ à coefficients dans l'anneau, si  $(X_1, \dots, X_n)$  est solution du système de départ, alors  $X_1, \dots, X_{n-1}$  est solution du deuxième système. On élimine ainsi les variables les unes après les autres, pour se ramener à une seule équation polynomiale  $P_1^{n-1}(X_1) = 0$ , dont on cherche les racines, puis si  $r_1$  est une racine de  $P_1^{n-1}$ , on remonte au système précédent  $P_1^{n-2}(r_1, X_2) = 0, P_2^{n-2}(r_1, X_2) = 0$ , que l'on résoud en cherchant les racines de  $\text{gcd}(P_1^{n-2}(r_1, X_2), P_2^{n-2}(r_1, X_2))$ , et ainsi de suite jusqu'au système de départ.

Lors des calculs de résultant, il peut arriver que le résultat soit nul si les arguments ne sont pas premiers entre eux, dans ce cas il faut diviser par le PGCD de ces 2 polynômes et traiter le cas du PGCD à part.

Malheureusement, les calculs de résultant deviennent vite impraticables (cf. infra), on ne peut guère traiter par cette méthode que des systèmes 3x3 (ou 4x4 si on est patient). Pour des systèmes plus ambitieux, on utilisera plutôt un calcul de bases de Groebner. Mais le résultant est très bien adapté par exemple à la recherche d'équations cartésiennes d'une courbe ou surface paramétrée par des fractions rationnelles.

### 4.3 Résultant et degrés

Si  $A$  et  $B$  sont des polynômes en  $d$  variables de degré total  $m$  et  $n$  alors le résultant de  $A$  et  $B$  par rapport à une des variables, disons la première notée  $x$ , est un polynôme en  $d - 1$  variables, on va voir qu'on peut majorer son degré total par  $mn$ .

Quitte à ajouter une variable d'homogénéisation (appelons-la  $t$ ), on peut supposer que  $A$  et  $B$  sont homogènes, par exemple si  $A = x^3 + xy + 1$  on considère  $A_t = x^3 + xyt + t^3$ . Le degré total par rapport aux  $d - 1$  variables d'un coefficient  $A_j$  de  $A$  est alors  $m - j$ , et pour  $B_k$  c'est  $n - k$ . On développe le déterminant comme somme sur toutes les permutations de  $a + b$  éléments, et on regarde le degré total d'un terme par rapport aux  $d - 1$  variables, on a donc un produit de  $r_{i\sigma(i)}$  pour  $i$  entre 1 et  $a + b$ . Pour  $i$  entre 1 et  $b$ , on est dans les  $b$  premières lignes, donc avec des coefficients de  $A$ , le degré total de  $r_{i\sigma(i)}$  se déduit de la distance à la diagonale, il vaut  $m - a + \sigma_i - i$  puisque sur la diagonale c'est  $m - a$ . Pour  $i$  entre  $b + 1$  et  $b + a$  on est dans les  $a$  dernières lignes, donc avec des coefficients de  $B$ , le degré total est  $n + \sigma_i - i$ . Le degré total du produit vaut donc

$$b(m - a) + an + \sum_{i=1}^{a+b} \sigma_i - i = b(m - a) + an = mn - (m - a)(n - b)$$

il est donc au plus  $mn$  avec égalité si  $m = a$  ou  $n = b$  (c'est-à-dire si le degré total est identique au degré partiel en  $x$  pour au moins un des deux polynômes).

Lorsqu'on enlève la variable d'homogénéisation (en posant  $t = 1$ ), on peut également perdre un ou plusieurs degrés. Dans le cas de polynômes en 2 variables  $A(x, y), B(x, y)$ , cela correspond à un point d'intersection à l'infini entre les 2 courbes  $A(x, y) = B(x, y) = 0$ , en coordonnées homogènes on a  $t = 0$  qui est solution, et on remplace  $t$  par 0 dans  $A_t(x, y, t) = B_t(x, y, t) = 0$  pour trouver la direction.

Exemple (tiré d'un TP de Frédéric Han) intersection des 2 courbes  $x * y = 4$  et  $y^2 = (x - 3) * (x^2 - 16)$ . On a donc  $A = xy - 4, B = y^2 - (x - 3)(x^2 - 16)$ ,  $m = 2, n = 3$  on définit alors :

$A := x*y - 4*t^2; B := y^2*t - (x-3*t)*(x^2-16*t^2);$

On observe que  $\text{resultant}(A, B, x)$  est bien de degré 6 (car  $n = b = 3$ ), alors que  $\text{resultant}(A, B, y)$  est de degré 5 ( $m \neq a, n \neq b$ ). On a donc 5 points d'intersection complexes et un point d'intersection à l'infini correspondant à la racine  $t = 0$  du résultant en  $x$  de coordonnées homogènes  $(x, y, t) = (0, 1, 0)$ .

Illustration

`solve(subst(resultant(A,B,y),t=1))`

`implicitplot(subst(A,t=1)); implicitplot(subst(B,t=1))`

Plus généralement, soit deux courbes algébriques d'équations respectives  $A(x, y) = 0$  et  $B(x, y) = 0$  de degré totaux  $m$  et  $n$  et premiers entre eux, alors  $A$  et  $B$  ont au plus  $mn$  points d'intersection (théorème de Bézout). En effet, le résultant en  $x$  par exemple est non nul puisque les 2 polynômes sont premiers entre eux, donc est un polynôme en  $y$  qui a un nombre fini de racines, puis on cherche les racines en  $x$  de  $\text{gcd}(A(., y), B(., y))$  pour chaque valeur de  $y$  racine, il y a donc un nombre fini d'intersections. On peut donc changer de repère et choisir un repère tel que deux points d'intersections distincts aient leurs abscisses distinctes. On refait le même raisonnement, et on utilise la majoration du degré du résultant par rapport

à  $y$  par  $mn$ , on a donc au plus  $mn$  valeurs de  $y$ , donc au plus  $mn$  points d'intersections, puisqu'une valeur de  $y$  ne correspond qu'à une valeur de  $x$  par choix du repère. Lorsqu'on travaille dans  $\mathbb{C}^2$ , le défaut de nombre de points d'intersection par rapport au majorant  $mn$  provient des points à l'infini, à condition de prendre en compte la multiplicité des intersections. Dans  $\mathbb{R}^2$ , on perd aussi les points non réels. Exemple : intersection de  $(x-2)^2 + y^2 = 4$  et  $y^2 = (x-3) * (x^2 - 16)$ .

Le degré du résultant explique pourquoi on ne peut pas résoudre en pratique de grands systèmes polynomiaux avec cet outil d'élimination. Par exemple pour un système de 5 équations en 5 inconnues de degré 5, en éliminant une variable, on passe à 4 équation en 4 inconnues de degré 25, puis à 3 équations en 3 inconnues de degré  $25^2 = 625$ , puis 2 équations en 2 inconnues de degré  $625^2 = 390625$  et enfin un polynôme de degré ... 152587890625. Pour  $n$  équations de degré  $n$ , on a une majoration par  $n^{(2^{n-1})}$ , ainsi pour  $n = 4$  on trouve 65536 qui est déjà discutable...

#### 4.4 Lien avec l'algorithme du sous-résultant (calcul de PGCD)

On peut calculer le déterminant avec la suite des restes de divisions euclidiennes de la manière suivante, on part de la pseudo-division de  $A$  par  $B$  :

$$B_b^{a-b+1}A = BQ + R$$

on effectue alors sur chaque ligne contenant les coefficients de  $A$  la manipulation de ligne correspondante, c'est-à-dire multiplier la ligne par  $B_b^{a-b+1}$  et soustraire ( $q_0$  fois la ligne de  $B$  terminant dans la même colonne +  $q_1$  fois la ligne de  $B$  terminant une colonne avant...). Toutes les lignes contenant les coefficients de  $A$  ont été remplacées par des lignes contenant les coefficients de  $R$ . Ces lignes contiennent  $k$  zéros initiaux avec  $k \geq 1$ , ce qui permet de réduire le déterminant à celui de la matrice de Sylvester de  $R$  et  $B$  (à un coefficient multiplicatif près qui vaut  $B_b^k$  par rapport au précédent donc  $B_b^{k-b(a-b+1)}$  par rapport au déterminant de départ). On échange ensuite  $R$  et  $B$  ce qui change éventuellement le signe et on continue en faisant les divisions euclidiennes de l'algorithme du sous-résultant (cf. Knuth où on utilise la matrice de Sylvester pour prouver que l'algorithme du sous-résultant est correct). Rappelons que le sous-résultant définit les suites  $A_k$  ( $A_0 = A$ ,  $A_1 = B$ ),  $d_k$  le degré de  $A_k$ ,  $\delta_k = d_k - d_{k+1}$ ,  $g_k$  ( $g_0 = 1$ , si  $k \neq 0$ ,  $g_k$  coefficient dominant de  $A_k$ )  $h_k$  ( $h_0 = 1$ ,  $h_{k+1} = h_k^{1-\delta_k} g_{k+1}^{\delta_k}$ ) et

$$g_k^{\delta_{k-1}+1} A_{k-1} = A_k Q_{k+1} + g_{k-1} h_{k-1}^{\delta_{k-1}} A_{k+1}$$

**Théorème 9** *Le résultant est égal au signe près au coefficient  $h_k$  où  $k$  correspond au reste  $A_k$  constant (en supposant que le résultant soit non nul).*

##### Preuve

La transcription de l'égalité précédente sur les résultants donne par la méthode ci-dessus :

$$\begin{aligned} g_k^{(\delta_{k-1}+1)d_k} \text{Res}(A_{k-1}, A_k) &= g_k^{d_{k-1}-d_{k+1}} \text{Res}(g_{k-1} h_{k-1}^{\delta_{k-1}} A_{k+1}, A_k) \\ &= g_k^{d_{k-1}-d_{k+1}} (g_{k-1} h_{k-1}^{\delta_{k-1}})^{d_k} \text{Res}(A_{k+1}, A_k) \end{aligned}$$

On en déduit que :

$$\frac{\text{Res}(A_{k-1}, A_k)}{g_{k-1}^{d_k} h_{k-1}^{d_{k-1}-1}} = g_k^{d_{k-1}-d_{k+1}-(\delta_{k-1}+1)d_k} h_{k-1}^{\delta_{k-1}d_k+1-d_{k-1}} \text{Res}(A_{k+1}, A_k)$$

On observe que :

$$h_{k-1}^{\delta_{k-1}d_k+1-d_{k-1}} = h_{k-1}^{(\delta_{k-1}-1)(d_k-1)} = \left(h_{k-1}^{\delta_{k-1}-1}\right)^{d_k-1} = \left(\frac{g_k^{\delta_{k-1}}}{h_k}\right)^{d_k-1}$$

donc :

$$\begin{aligned} \frac{\text{Res}(A_{k-1}, A_k)}{g_{k-1}^{d_k} h_{k-1}^{d_{k-1}-1}} &= g_k^{d_{k-1}-d_{k+1}-(\delta_{k-1}+1)d_k} \left(\frac{g_k^{\delta_{k-1}}}{h_k}\right)^{d_k-1} \text{Res}(A_{k+1}, A_k) \\ &= g_k^{d_{k-1}-d_{k+1}-d_k-\delta_{k-1}} \left(\frac{1}{h_k}\right)^{d_k-1} \text{Res}(A_{k+1}, A_k) \\ &= \frac{\text{Res}(A_{k+1}, A_k)}{g_k^{d_{k+1}} h_k^{d_k-1}} \end{aligned}$$

Donc en valeur absolue

$$\left| \frac{\text{Res}(A_0, A_1)}{g_0^{d_1} h_0^{d_0-1}} \right| = \left| \frac{\text{Res}(A_{k-1}, A_k)}{g_{k-1}^{d_k} h_{k-1}^{d_{k-1}-1}} \right|$$

En prenant le rang  $k$  tel que  $A_k$  est constant, on a  $d_k = 0$  et le résultant est égal à  $g_k^{d_{k-1}}$ , on obtient donc :

$$|\text{Res}(A_0, A_1)| = \left| \frac{g_k^{d_{k-1}}}{h_{k-1}^{d_{k-1}-1}} \right|$$

Comme ici  $\delta_{k-1} = d_{k-1}$ , le terme de droite est  $|h_k|$ .

#### Remarque

On peut calculer au fur et à mesure le signe du résultant en tenant compte des degrés de  $A_k$  pour inverser l'ordre de  $A_{k-1}$  et  $A_k$  dans le résultant.

#### Utilisation

La valeur du résultant est très utile pour savoir si 2 polynômes dépendant de paramètres sont premiers entre eux en fonction de la valeur des paramètres. En effet, la fonction `gcd` d'un logiciel de calcul formel calculera le PGCD par rapport à toutes les variables en incluant les paramètres. En cherchant quand le résultant s'annule en fonction des paramètres on obtient un autre type d'information.

#### Exemple :

Chercher quand le polynôme  $P = x^3 + px + q$  possède une racine multiple en fonction de  $p$  et  $q$ . On calcule le résultant de  $P$  et  $P'$  et on trouve  $4p^3 + 27q^2$ , donc  $P$  a une racine multiple si et seulement si  $4p^3 + 27q^2 = 0$ .

## 4.5 Calcul efficace du résultant

On dispose essentiellement de deux stratégies avec des sous-stratégies :

- Calcul comme un déterminant. On peut utiliser des méthodes modulaires ou  $p$ -adiques (par exemple si  $A$  et  $B$  sont à coefficients entiers), ou/et de l'interpolation (si  $A$  et  $B$  sont à coefficients polynomiaux), ou la méthode de Gauss-Bareiss, ou le développement de Laplace. Il suffit de forcer une stratégie dans l'appel à `det` sur `sylvester(A,B)`
- Algorithme du sous-résultant  
C'est cet algorithme qui est utilisé par Xcas. Il peut aussi se décliner en méthode modulaire ou avec interpolation.

Exemple de comparaison :

```
n:=100; A:=randpoly(n); B:=randpoly(n);
time(resultant(A,B)); time(det(sylvester(A,B)))
```

## 5 Localisation des racines

### 5.1 Majoration

On a vu au lemme 4, que si  $z$  est une racine complexe d'un polynôme  $P$  de coefficient dominant  $p_n$  alors

$$|z| \leq 1 + \frac{|P|_\infty}{|p_n|}$$

### 5.2 Les suites de Sturm.

L'algorithme du sous-résultant appliqué à un polynôme sans racine multiple  $P$  et à sa dérivée permet, à condition de changer les signes dans la suite des restes, de connaître le nombre de racines réelles d'un polynôme à coefficients réels dans un intervalle. Ceci est très utile pour par exemple simplifier des valeurs absolues de polynômes dans un intervalle.

On définit donc la suite de polynômes  $A_0 = P, A_1 = P', \dots, A_k, 0$  par :

$$A_i = A_{i+1}Q_{i+2} - A_{i+2} \quad (12)$$

avec  $A_k$ , le dernier reste non nul, un polynôme constant puisque  $P$  n'a pas de racine multiple. On utilise plutôt l'algorithme du sous-résultant que l'algorithme d'Euclide, il faut alors s'assurer que les signes de  $A_i$  et  $A_{i+2}$  sont opposés lorsque  $A_{i+1}$  s'annule quitte à changer le signe de  $A_{i+2}$  en fonction du signe du coefficient dominant de  $A_{i+1}$ , de la parité de la différence des degrés et du signe du coefficient  $gh^{1-\delta}$ .

On définit  $s(a)$  comme étant le nombre de changements de signes de la suite  $A_i(a)$  en ignorant les 0. On a alors le

**Théorème 10** *Le nombre de racines réelles de  $A_0 = P$  sur l'intervalle  $]a, b]$  est égal à  $s(a) - s(b)$ .*

#### Preuve

Par continuité de la suite des polynômes,  $s$  ne peut varier que si l'un des polynômes s'annule. On considère la suite des signes en un point : elle ne peut contenir deux 0 successifs (sinon toute la suite vaudrait 0 en ce point en appliquant (12), or  $A_k$  est constant non nul). Elle ne peut pas non plus contenir  $+,0,+$  ni  $-,0,-$  à cause de la

convention de signe sur les restes de (12). Donc une racine  $b$  de  $A_i$  pour  $0 < i < k$ , n'influe pas sur la valeur de  $s$  au voisinage de  $b$  (il y a toujours un changement de signe entre les positions  $i-1$  et  $i+1$ ). Comme  $A_k$  est constant, seules les racines de  $A_0 = P$  sont susceptibles de faire varier  $s$ . Comme  $A_1 = P'$ , le sens de variations de  $A_0$  au voisinage d'une racine de  $A_0$  est déterminé par le signe de  $A_1$ , donc les possibilités sont  $-, +$  vers  $+, +$  ou  $+, -$  vers  $-, -$ , ce qui diminue  $s$  d'une unité.

### 5.3 Autres algorithmes

- On peut localiser les racines réelles par dichotomie : on sait que toutes les racines sont situées dans l'intervalle  $[-C, C]$  avec  $C = |P|_\infty / |\text{lcoeff}(P)|$ . On coupe l'intervalle en deux, on calcule le nombre de racines dans chaque partie, et on continue en conservant uniquement les intervalles contenant au moins une racine. Lorsqu'un intervalle contient une seule racine, on passe à la dichotomie classique (changement de signe), ou à la méthode de Newton (avec évaluation exacte du polymôme et arrondi du dénominateur à une puissance de 2). C'est ce qui est utilisé par l'instruction `realroot` de Giac.
- Il existe un autre algorithme de localisation de racines réelles dû à Vincent, Akritas et Strzebonski, cf. la commande `VAS` de Xcas. Cet algorithme est très efficace pour donner des intervalles d'isolation des racines (sur lesquels on peut faire de la dichotomie).
- Ces suites se généralisent dans le plan complexe, on peut déterminer le nombre de racines contenues dans un rectangle du plan complexe (cf. par exemple l'article de Mickael Eiserman sur [www-fourier.ujf-grenoble.fr/~eiserm](http://www-fourier.ujf-grenoble.fr/~eiserm)). Malheureusement, il faut calculer une nouvelle suite de Sturm pour chaque rectangle (alors que dans  $\mathbb{R}$  on peut réutiliser la même suite de Sturm). Ce qui est donc beaucoup plus coûteux, en pratique on ne peut guère aller au-delà du degré 10 avec l'instruction `complexroot` de Giac, analogue de `realroot`.
- Une autre méthode dans le cas complexe, peut-être plus prometteuse, consisterait à utiliser un hybride numérique-exact. Les racines d'un polynôme sont aussi les valeurs propres complexes de sa matrice companion  $M$ . On peut alors par une méthode itérative (on pose  $A_0 = M$ , puis on factorise  $A_n = QR$  par la méthode de Hessenberg et on définit  $A_{n+1} = RQ$ ), factoriser cette matrice sous forme de Schur :  $M = P^{-1}SP$  où  $P$  est unitaire et  $S$  diagonale supérieure aux erreurs d'arrondis près. En approchant  $P$  par une matrice exacte  $P'$ , on peut essayer de contrôler la localisation des valeurs propres de  $M$  à partir des coefficients diagonaux de  $S$  et de la taille des coefficients sous-diagonaux de  $P'MP'^{-1}$ . On peut aussi utiliser l'arithmétique d'intervalles pour essayer de trouver un petit rectangle autour d'une racine approchée qui est conservé par la méthode de Newton  $g(x) = x - f(x)/f'(x)$ , le théorème du point fixe de Brouwer assure alors qu'il admet un point fixe qui n'est autre qu'une racine de  $g$ .

## 6 Exercices (PGCD, résultant, ...)

### 6.1 Instructions

Elles sont dans les menus Cmds->Integer et Cmds->Polynomes de Xcas.

#### 6.1.1 Entiers

- `chrem` : restes chinois (entier)
- `divisors` (en `maple numtheory : : divisors` : liste des diviseurs d'un entier
- `gcd, lcm` : PGCD et PPCM
- `igcdex` : Bézout pour des entiers
- `iquo` et `irem` quotient et reste de la division euclidienne de deux entiers
- `isprime` test de primalité. Utiliser `is_pseudoprime` pour effectuer un test plus rapide de pseudo-primalité.
- `mods` : reste euclidien symétrique
- `nextprime` et `prevprime` nombre premier suivant ou précédent
- `powmod(a, b, n)` calcul de  $a^b \pmod{n}$  par l'algorithme de la puissance rapide

#### 6.1.2 Polynômes

On peut représenter les polynômes par leur écriture symbolique (par exemple  $x^2+1$ ), ou par des listes (représentation dense ou creuse, récursive ou distribuée). Xcas propose deux types de représentation, dense à une variable (`poly1[ ]`), ou distribuée (`%%%{ }%%%`) et des instructions de conversion (`poly2symb` et `symb2poly`) entre représentations. L'intérêt d'une représentation non symbolique est l'efficacité des opérations polynomiales, (et la possibilité de chronométrer des opérations comme le produit de 2 polynômes).

Les instructions qui suivent utilisent la représentation symbolique, certaines acceptent les autres représentations.

- `coeff` coefficient(s) d'un polynôme,
- `coeffs` liste des coefficients d'un polynôme (à développer auparavant, en `mupad` on utilise `coeff`)
- `content` contenu (pgcd des coefficients)
- `degree` degré
- `divide` division euclidienne,
- `gcd, lcm` PGCD et PPCM
- `gcdex` Bézout,
- `genpoly` : crée un polynôme à partir de la représentation  $z$ -adique d'un entier (utile pour le PGCD heuristique)
- `icontent` : contenu entier pour un polynôme à plusieurs variables
- `indets` : liste des noms de variables d'une expression
- `lcoeff` : coefficient dominant d'un polynôme
- `ldegree` : valuation
- `primpart` : partie primitive d'un polynôme
- `quo, rem` quotient et reste euclidien
- `tcoeff` : coefficient de plus bas degré d'un polynôme

- `interp` interpolation de Lagrange
- `convert(.,sqrfree)` décomposition en facteurs n'ayant pas de racine multiples
- `convert(.,parfrac)` décomposition en éléments simples
- `resultant` : calcule le résultant de 2 polynômes par rapport à une variable.
- `sturm~` : suites de Sturm, `sturmab` : nombre de racines dans un intervalle réel ou un rectangle du plan complexe.

Notez aussi que le menu `Exemples->poly->pgcd.xws` de Xcas contient des exemples de programmes de calcul de pgcd de type Euclide.

### 6.1.3 Calculs modulo $n$

Pour travailler dans  $\mathbb{Z}/n\mathbb{Z}[X]$  :

- avec Xcas on utilise la notation `%` comme en C, par exemple `gcd(P % 3, Q % 3)`. On peut aussi utiliser la notation Maple en mode “syntaxe Maple” (cf. ci-dessous)
- avec Maple, on utilise les formes inertes des instructions (qui renvoient l’instruction non évaluée), dont le nom est le même que le nom de commande habituel mais précédé par une majuscule, puis on indique `mod n`, par exemple `Gcd(P, Q) mod 11`.

## 6.2 Exercices PGCD

1. Calculez le pgcd de  $x^{202} + x^{101} + 1$  et sa dérivée modulo 3 et modulo 5. Conclusion ?
2.  $P = 51x^3 - 35x^2 + 39x - 115$  et  $Q = 17x^4 - 23x^3 + 34x^2 + 39x - 115$ . Calculez le pgcd de  $P$  et  $Q$  modulo 5, 7 et 11. En déduire le pgcd de  $P$  et  $Q$  par le théorème des restes chinois. Pourquoi ne doit-on pas essayer modulo 17 ?
3. Écrire un programme qui détermine le degré probable du pgcd de 2 polynômes en une variable en utilisant le pgcd modulaire (on considère le degré probable déterminé lorsqu’on trouve deux nombres premiers réalisant le minimum des degrés trouvés)
4. Détaillez l’algorithme du PGCD heuristique pour les polynômes  $P = (x + 1)^7 - (x - 1)^6$  et sa dérivée. Comparez avec l’algorithme d’Euclide naïf.
5. Écrire un programme mettant en oeuvre le pgcd heuristique pour des polynômes à une variable.
6. On veut comprendre comment un logiciel de calcul formel calcule

$$\int \frac{x^6 + 2}{(x^3 + 1)^2} dx$$

On se ramène d’abord à une fraction propre (numérateur  $N$  de degré inférieur au dénominateur), Soit  $P = X^3 + 1$ , calculez le PGCD de  $P$  et  $P'$ , puis deux polynômes  $U$  et  $V$  tels que :

$$N = UP + VP'$$



On décompose alors l'intégrale en deux morceaux :

$$\int \frac{N}{P^2} = \int \frac{U}{P} + \int V \frac{P'}{P^2}$$

Faites une intégration par parties sur le deuxième terme et en déduire la valeur de l'intégrale du départ.

7. Écrire un programme mettant en oeuvre l'algorithme modulaire de calcul du PGCD.
8. Écrire un programme qui détermine le degré probable du PGCD par rapport à toutes les variables de 2 polynôme à plusieurs variables en utilisant l'évaluation en toutes les variables sauf une.
9. Calculer le pgcd par une méthode modulaire de  $(xy - x + 1)(xy + x^2 + 1)$  et  $(xy - x - y)(xy - x + 1)$

### 6.3 Exercices (résultant)

1. Pour quelles valeurs de  $p$  le polynôme  $X^5 + X^3 - pX + 1$  admet-il une racine multiple ?
2. Résoudre le système en éliminant successivement les variables grâce au résultant :

$$\begin{cases} a^3 + b^3 + c^3 = 8 \\ a^2 + b^2 + c^2 = 6 \\ a + b + 2c = 4 \end{cases}$$

3. Donner le détail des calculs avec Bézout de la décomposition en éléments simples de :

$$\frac{1}{(x^2 - 1)^2(x + 2)}$$

puis calculer le coefficient de  $x^n$  du développement en séries entières de cette fraction en 0.

4. Calculer

$$\int \frac{1 - x^2}{1 + x^4} dx$$

en utilisant le résultant pour calculer les logarithmes.

5. En utilisant uniquement l'instruction de calcul de PGCD déterminer la multiplicité maximale d'un facteur irréductible de  $x^{14} - x^{13} - 14x^{12} + 12x^{11} + 78x^{10} - 54x^9 - 224x^8 + 116x^7 + 361x^6 - 129x^5 - 330x^4 + 72x^3 + 160x^2 - 16x - 32$

### 6.4 Exercice (Bézout modulaire)

Soit  $A$  et  $B$  deux polynômes à coefficients entiers et premiers entre eux. Soit  $c \in \mathbb{Z}^*$  le résultant de  $A$  et  $B$ , on va calculer les polynômes  $U$  et  $V$  de l'identité de Bézout

$$AU + BV = c, \quad \deg(U) < \deg(B), \deg(V) < \deg(A) \quad (13)$$

par une méthode modulaire.

1. Montrer, en utilisant les formules de Cramer, que les coefficients de  $U$  et  $V$  sont des entiers de valeur absolue inférieure ou égale à la borne de Hadamard  $h$  de la matrice de Sylvester de  $A$  et  $B$  (dont le déterminant est  $c$ , le résultant de  $A$  et  $B$ ). Calculer  $h$  en fonction de la norme euclidienne de  $A$ ,  $B$  et de leurs degrés.
2. On calcule  $c \in \mathbb{Z}^*$  puis on résoud (13) dans  $\mathbb{Z}/p_i\mathbb{Z}[X]$  pour plusieurs nombres premiers  $p_i$  (choisis si possible inférieurs à  $\sqrt{2^{31}}$  pour des raisons d'efficacité), puis on calcule par le théorème des restes chinois (13) dans  $\mathbb{Z}/\prod p_i\mathbb{Z}[X]$ . Donner une minoration de  $\prod p_i$  faisant intervenir  $h$  qui permette de garantir que l'écriture en représentation symétrique de (13) dans  $\mathbb{Z}/\prod p_i\mathbb{Z}[X]$  est identique à (13) dans  $\mathbb{Z}[X]$ .
3. Application : résoudre de cette manière l'équation de Bézout pour

$$A = (X + 1)^4(X - 3), \quad B = (X - 1)^4(X + 2)$$

(vous pouvez utiliser sans justifications l'instruction de calcul de résultant, des coefficients de Bézout dans  $\mathbb{Z}/p_i\mathbb{Z}[X]$  et de reste chinois de votre logiciel).

4. Écrire une fonction mettant en oeuvre cet algorithme.
5. Que pensez-vous de l'intérêt de cet algorithme par rapport à l'algorithme d'Euclide étendu dans  $\mathbb{Z}[X]$  ?

## 6.5 Exercice (Géométrie et résultants).

On cherche une relation algébrique entre les coordonnées de 4 points  $A, B, C, D$  qui traduise le fait que ces 4 points sont cocycliques. Cette condition étant invariante par translation, on cherche une relation entre les 6 coordonnées des 3 vecteurs  $v_1 = (x_1, y_1)$ ,  $v_2 = (x_2, y_2)$  et  $v_3 = (x_3, y_3)$  d'origine  $A$  et d'extrémité  $B, C$  et  $D$ . On peut supposer quitte à translater que le centre du cercle est l'origine, on a donc 5 paramètres : le rayon du cercle  $R$  et les 4 angles des points sur le cercle  $\theta_0, \theta_1, \theta_2$  et  $\theta_3$ . La relation cherchée va s'obtenir en éliminant les 5 paramètres des expressions des 6 coordonnées en fonction de ces paramètres.

1. Exprimer les 6 coordonnées en fonction de  $R$  et  $a = \tan(\theta_0/2)$ ,  $b = \tan(\theta_1/2)$ ,  $c = \tan(\theta_2/2)$  et  $d = \tan(\theta_3/2)$ . On obtient ainsi 6 équations, par exemple les deux premières sont de la forme

$$x_1 - F(R, a, b) = 0, \quad y_1 - G(R, a, b) = 0$$

où  $F$  et  $G$  sont deux fractions rationnelles.

2. En réduisant au même dénominateur, calculer 6 polynômes, fonction de  $x_1, y_1, x_2, y_2, x_3, y_3, R, a, b, c, d$ , qui doivent s'annuler pour que les points soient cocycliques (Vous pouvez utiliser l'instruction `numer` pour obtenir le numérateur d'une fraction rationnelle).
3. Éliminer  $b$  des polynômes contenant  $x_1$  et  $y_1$  et factoriser le polynôme obtenu, faire de même avec  $c, x_2$  et  $y_2$  et  $d, x_3$  et  $y_3$ , en déduire (en supposant que les points sont tous distincts) 3 polynômes en  $x_1, y_1, x_2, y_2, x_3, y_3, R, a$  qui s'annulent.

4. Éliminer  $R$  et  $a$ , en déduire la relation cherchée.
5. Vérifier que cette relation est équivalente à la nullité de la partie imaginaire du birapport des affixes  $\alpha, \beta, \gamma, \delta$  des 4 points :

$$\Im \left( \frac{\alpha - \beta}{\alpha - \gamma} \frac{\delta - \gamma}{\delta - \beta} \right) = 0$$

## 6.6 Décalage entier entre racines.

Soit  $P$  un polynôme à coefficients entiers sans racines multiples. On dira que  $P$  a la propriété  $\mathcal{I}$  si deux des racines de  $P$  sont décalées d'un entier. En d'autres termes, si  $r_1, \dots, r_n$  désignent les racines complexes distinctes de  $P$ ,  $P$  possède la propriété  $\mathcal{I}$  s'il existe au moins un entier parmi les différences  $r_i - r_j$  pour  $i \neq j$ .

1. Soit

$$R(t) = \text{resultant}_x(P(x), P(x+t))$$

Montrer que  $R$  est à coefficients entiers. Montrer que la propriété  $\mathcal{I}$  est équivalente à la propriété “ $R$  possède une racine entière non nulle”. On va maintenant construire un algorithme déterminant les racines entières du polynôme  $R$ .

2. Après division de  $R$  par une puissance de  $t$ , on peut supposer que  $R$  a un coefficient constant non nul. Après division de  $R$  par son contenu, on peut aussi supposer que le contenu de  $R$  est 1. En effectuant ensuite une factorisation square-free de  $R$ , on peut se ramener au cas où  $R$  et  $R'$  sont premiers entre eux. Soit  $a$  une racine de  $R$ .
  - (a) Donner une majoration de  $|a|$  en fonction du coefficient constant de  $R$ .
  - (b) Soit  $p$  un nombre premier ne divisant pas le coefficient dominant de  $R$  et tel que  $R$  et  $R'$  soient premiers entre eux modulo  $p$ . On peut calculer  $a$  à partir d'une racine de  $R$  modulo  $p$  en la “remontant” modulo  $p^k$  pour  $k$  assez grand (algorithme  $p$ -adique). Pour quelle valeur de  $k$  peut-on reconstruire toutes les racines entières de  $R$  ?
  - (c) Comparer l'algorithme ci-dessus avec les algorithmes suivants : la factorisation de  $R$  sur  $\mathbb{Z}$ , la recherche numérique des racines complexes de  $R$ , la recherche des racines entières de  $R$  parmi les diviseurs entiers du coefficient constant de  $R$  et leurs opposés.
3. Une fois les racines entières de  $R$  connues, comment peut-on en déduire les facteurs de  $P$  dont les racines diffèrent de cet(ces) entier(s) ?
4. Soit

$$P(x) = x^6 + 9x^5 + 29x^4 + 41x^3 + 37x^2 + 59x + 31$$

Montrer que  $P$  a la propriété  $\mathcal{I}$ . Calculer la ou les racines entières de  $R$  et donner la factorisation correspondante de  $P$ .

5. Écrire un programme qui effectue cet algorithme sur un polynôme quelconque. On pourra utiliser la fonction `rationalroot` de Xcas pour déterminer les racines entières de  $R$ .

6. Application : on cherche à calculer

$$\sum_{k=1}^n \frac{-9x^2 - 27x - 30}{P(x)} \quad (14)$$

Décomposer cette fraction en éléments simples (donner le détail des calculs en utilisant la factorisation précédente et l'identité de Bezout abcu en Xcas).

7. Calculer la somme précédente (14). On pourra remarquer que pour  $k$  entier strictement positif,  $\frac{1}{f(x+k)} - \frac{1}{f(x)}$  s'exprime comme une somme de différences  $\frac{1}{f(x+j+1)} - \frac{1}{f(x+j)}$ .
8. Écrire un programme effectuant ce calcul avec une fraction quelconque, lorsque cela est possible.

## 6.7 Exemple de correction de géométrie et résultant

```
e1:=x1-R*((1-b^2)/(1+b^2)-(1-a^2)/(1+a^2));
e2:=y1-R*(2b/(1+b^2)-2*a/(1+a^2));
e3:=x2-R*((1-c^2)/(1+c^2)-(1-a^2)/(1+a^2));
e4:=y2-R*(2c/(1+c^2)-2*a/(1+a^2));
e5:=x3-R*((1-d^2)/(1+d^2)-(1-a^2)/(1+a^2));
e6:=y3-R*(2d/(1+d^2)-2*a/(1+a^2));
f1:=factor(resultant(numer(e1),numer(e2),b)/
(-4)/(a^2+1)^3/R^2);
f2:=factor(resultant(numer(e3),numer(e4),c)/
(-4)/(a^2+1)^3/R^2);
f3:=factor(resultant(numer(e5),numer(e6),d)/
(-4)/(a^2+1)^3/R^2);
g1:=factor(resultant(f1,f2,R));
g2:=resultant(f1,f3,R);
r:=factor(resultant(g1/(a^2+1),g2/(a^2+1),a));
eq1:=r[1,3,1];
eq2:=numer(im((-x1-i*y1)/(-x2-i*y2)*
(x3-x2+i*(y3-y2))/(x3-x1+i*(y3-y1))));
normal(eq1-eq2);
```

## 7 Bases de Gröbner.

### 7.1 Ordre et réduction

L'anneau des polynômes à plusieurs variables n'a pas de division euclidienne. On est donc obligé d'utiliser des outils moins performants. La première chose à faire est de choisir un ordre total sur les monômes, compatible avec la multiplication des monômes ( $a < b$  doit entraîner  $ac < bc$ ) et tel que si un monôme  $a$  divise un autre monôme  $b$  alors  $a < b$ . Exemples d'ordres utilisés fréquemment (ce sont les 3 ordres proposés par les fonctions de Xcas) :

- l'ordre lexicographique  $\text{plex}(a_1, a_2, \dots, a_n) > (b_1, \dots, b_n)$  si  $a_1 > b_1$  ou si  $a_1 = b_1$  et  $a_2 > b_2$  ou si  $a_1 = b_1, a_2 = b_2$  et  $a_3 > b_3$ , etc.

- le degré total  $tdeg$  : on commence par comparer le degré total, et en cas d'égalité on utilise l'ordre lexicographique
- $revlex$  : on commence par comparer le degré total, et en cas d'égalité on renvoie le contraire de l'ordre lexicographique (attention, cela ne veut pas dire inverser l'ordre des variables !)

On remarque sur ces 3 exemples qu'il ne peut exister de suite strictement décroissante infinie pour l'ordre  $>$ . Lorsque le degré total est le premier critère, c'est évident, puisque le nombre de monômes  $<$  à un monôme donné est fini. Pour l'ordre lexicographique, on raisonne par l'absurde. On regarde d'abord le premier indice, comme la suite est décroissante, tous les monômes ont un indice inférieur ou égal au premier indice du premier monôme. On peut donc extraire une sous-suite strictement décroissante et infinie de monômes dont le 1er indice est constant. On passe alors au 2ème indice, et ainsi de suite jusqu'au dernier indice qui donne une contradiction. On fait donc dans la suite l'hypothèse qu'il n'existe pas de suite strictement décroissante infinie pour l'ordre  $>$ .

On peut alors effectuer une sorte de remplacement de la division euclidienne de  $A$  par  $B$ , appelée réduction qui consiste à comparer le terme dominant de  $B$  au sens de l'ordre (noté  $LT(B)$ ) aux monômes de  $A$  par ordre décroissant, si l'un des monômes de  $A$  a **toutes** ses puissances plus grandes que  $LT(B)$ , alors on élimine ce terme, disons  $A_k$ , en retranchant à  $A$  le polynôme  $A_k/LT(B)B$ . Ceci ne modifie pas le début de  $A$  jusqu'au monôme  $A_k$ . Les termes retranchés peuvent eux-même donner lieu à une réduction par  $B$ , par exemple  $A_k/LT(B)B_2$  peut être divisible par  $LT(B)$ . Le procédé de réduction doit toutefois s'arrêter, sinon on pourrait construire une suite décroissante infinie pour l'ordre  $>$  avec les  $A_k$ . On peut même diviser  $A$  par plusieurs polynômes  $B, C, ..$  en utilisant cet algorithme.

## 7.2 Idéaux

En dimension 1, les idéaux sont engendrés par un polynôme  $P$  et c'est la division euclidienne par  $P$  qui permet de savoir si on est dans l'idéal. En dimension plus grande, l'analogue est la base de Gröbner de l'idéal (relativement à un ordre monomial  $<$ ) et on utilise la réduction par rapport aux polynômes de l'idéal pour savoir si on est dans l'idéal. On commence par montrer que les idéaux de monômes sont engendrés par les monômes minimaux, qui ne sont divisibles par aucun autre monôme de l'idéal. Supposons qu'ils soient en nombre infini. Considérons le premier indice des monômes, s'il est borné, on aura une infinité de monômes ayant le même indice, sinon on aura une suite infinie de monômes d'indice croissant, dans les deux cas on peut extraire une suite infinie dont la première composante est croissante au sens large. On fait le même raisonnement sur la suite extraite pour la 2ème composante, etc. et on aboutit à une suite infinie de monômes qui se divisent les uns les autres ce qui est absurde. Donc les monômes minimaux sont en nombre fini.

Une base de Gröbner s'obtient en prenant des polynômes correspondant aux monômes minimaux de l'idéal de monômes  $LT(I)$  des coefficients dominants de  $I$ . La réduction par rapport aux éléments de cette base donne alors 0 pour tous les éléments de  $I$ , ce qui montre que  $I$  est engendré par cette base.

On appelle "s-polynôme" d'une paire de polynômes  $A$  et  $B$  le polynôme obtenu en calculant le monôme PPCM  $L$  de  $LT(A)$  et  $LT(B)$  et en créant la diffé-

rence qui annule ce monôme PPCM  $L/LT(A)A - L/LT(B)B$ .

On peut montrer que la base de Gröbner peut se calculer à partir d’une famille génératrice en effectuant la boucle suivante : on calcule tous les s-polynômes de la famille génératrice courante, on les réduit par rapport à la famille génératrice courante, si tous les s-polynômes sont nuls la famille courante est la base cherchée, sinon on garde les s-polynômes réduits non nuls, on réduit la famille génératrice courante par rapport à ces s-polynômes réduits non nuls et on fusionne les polynômes non nuls en la famille génératrice courante pour l’itération suivante de la boucle.

Le problème est que cela devient très vite très long. Il existe des méthodes permettant d’accélérer l’algorithme, par exemple on peut savoir à l’avance qu’un s-polynôme se réduit à 0 (règles de Gebauer-Möller) il est donc inutile de le calculer. On peut aussi précalculer tous les multiples des polynômes par rapport auxquels on réduit et réduire simultanément tous les polynômes à réduire en ramenant la réduction à un algorithme de pivot de Gauß (c’est la partie algèbre linéaire de l’algorithme F4). L’ordre choisi est aussi très important pour l’efficacité. Enfin, pour le cas des coefficients entiers, des méthodes modulaires permettent d’accélérer les calculs. Xcas implémente un algorithme modulaire très compétitif pour l’ordre `revlex`, présenté dans l’article en anglais qui suit.

Les instructions Xcas correspondantes sont `gbasis`, `greduce`.

### 7.3 Introduction

During the last decades, considerable improvements have been made in CAS like Maple or specialized systems like Magma, Singular, Cocoa, Macaulay... to compute Groebner basis. They were driven by implementations of new algorithms speeding up the original Buchberger ([?]) algorithm : Gebauer and Möller criterion ([?]), F4 and F5 algorithms from J.-C. Faugère ([?], [?]), and are widely described in the literature if the base field is a finite field. Much less was said about computing over  $\mathbb{Q}$ . It seems that implementers are using the same algorithm as for finite fields, this time working with coefficients in  $\mathbb{Q}$  or in  $\mathbb{Z}$  (sometimes with fast integer linear algebra), despite the fact that an efficient p-adic or Chinese remaindering algorithm were described as soon as in year 2000 by E. Arnold ([?]). The reason might well be that these modular algorithms suffer from a time-consuming step at the end : checking that the reconstructed Groebner basis is indeed the correct Groebner basis.

Section 7.4 will show that if one accepts a small error probability, this check may be fast, so we can let the user choose between a fast conjectural Groebner basis to make his own conjectures and a slower certified Groebner basis once he needs a mathematical proof.

Section 7.5 will explain learning, a process that can accelerate the computation of a Groebner basis modulo a prime  $p_k$  once the same computation but modulo another prime  $p$  has already been done ; learning is an alternative to the F5 algorithm in order to avoid computing useless critical pairs that reduce to 0. The idea is similar to `F4remake` by Joux-Vitse ([?]) used in the context of computing Groebner basis in large finite fields.

Section 7.6 will show in more details how the `gbasis` algorithm is implemented in Giac/Xcas ([?]) and show that - at least for the classical academic benchmarks

Cyclic and Katsura - the deterministic modular algorithm is competitive or faster than the best open-source implementations and the modular probabilistic algorithm is comparable to Maple and slower than Magma on one processor (at least for moderate integer coefficient size) and may be faster than Magma on multi-processors, while computation modulo  $p$  are faster for characteristics in the 24-31 bits range. Moreover the modular algorithm memory usage is essentially twice the memory required to store the basis on  $\mathbb{Q}$ , sometimes much less than the memory required by other algorithms.

## 7.4 Checking a reconstructed Groebner basis

Let  $f_1, \dots, f_m$  be polynomials in  $\mathbb{Q}[x_1, \dots, x_n]$ ,  $I = \langle f_1, \dots, f_m \rangle$  be the ideal generated by  $f_1, \dots, f_m$ . Without loss of generality, we may assume that the  $f_i$  have coefficients in  $\mathbb{Z}$  by multiplying by the least common multiple of the denominators of the coefficients of  $f_i$ . We may also assume that the  $f_i$  are primitive by dividing by their content.

Let  $<$  be a total monomial ordering (for example `revlex` the total degree reverse lexicographic ordering). We want to compute the Groebner basis  $G$  of  $I$  over  $\mathbb{Q}$  (and more precisely the inter-reduced Groebner basis, sorted with respect to  $<$ ). Now consider the ideal  $I_p$  generated by the same  $f_i$  but with coefficients in  $\mathbb{Z}/p\mathbb{Z}$  for a prime  $p$ . Let  $G_p$  be the Groebner basis of  $I_p$  (also assumed to be inter-reduced, sorted with respect to  $<$ , and with all leading coefficients equal to 1).

Assume we compute  $G$  by the Buchberger algorithm with Gebauer and Möller criterion, and we reduce in  $\mathbb{Z}$  (by multiplying the s-poly to be reduced by appropriate leading coefficients), if no leading coefficient in the polynomials are divisible by  $p$ , we will get by the same process but computing modulo  $p$  the  $G_p$  Groebner basis. Therefore the computation can be done in parallel in  $\mathbb{Z}$  and in  $\mathbb{Z}/p\mathbb{Z}$  except for a finite set of *unlucky* primes (since the number of intermediate polynomials generated in the algorithm is finite). If we are choosing our primes sufficiently large (e.g. about  $2^{31}$ ), the probability to fall on an unlucky prime is very small (less than the number of generated polynomials divided by about  $2^{31}$ , even for really large examples like Cyclic9 where there are a few  $10^4$  polynomials involved, it would be about  $1e-5$ ).

The Chinese remaindering algorithm is as follow : compute  $G_p$  for several primes, for all primes that have the same leading monomials in  $G_p$  (i.e. if coefficient values are ignored), reconstruct  $G_{\prod p_j}$  by Chinese remaindering, then reconstruct a candidate Groebner basis  $G_c$  in  $\mathbb{Q}$  by Farey reconstruction. Once it stabilizes, do the checking step described below, and return  $G_c$  on success.

**Checking step** : check that the original  $f_i$  polynomials reduce to 0 with respect to  $G_c$  and check that  $G_c$  is a Groebner basis.

**Théorème 11 (Arnold)** *If the checking step succeeds, then  $G_c$  is the Groebner basis of  $I$ .*

This is a consequence of ideal inclusions (first check) and dimensions (second check), for a complete proof, see [?].

**Probabilistic checking algorithm** : instead of checking that s-polys of critical pairs of  $G_c$  reduce to 0, check that the s-polys reduce to 0 modulo several primes

that do not divide the leading coefficients of  $G_c$  and stop as soon as the inverse of the product of these primes is less than a fixed  $\varepsilon > 0$ .

**Deterministic checking algorithm** : check that all s-polys reduce to 0 over  $\mathbb{Q}$ . This can be done either by integer computations (or even by rational computations, I have not tried that), or by reconstruction of the quotients using modular reduction to 0 over  $\mathbb{Z}/p\mathbb{Z}$  for sufficiently many primes. Once the reconstructed quotients stabilize, we can check the 0-reduction identity, and this can be done without computing the products quotients by elements of  $G_c$  if we have enough primes (with appropriate bounds on the coefficients of  $G_c$  and the lcm of the denominators of the reconstructed quotients).

## 7.5 Speeding up by learning from previous primes

Once we have computed a Groebner basis modulo an initial prime  $p$ , if  $p$  is not an unlucky prime, then we can speedup computing Groebner basis modulo other lucky primes. Indeed, if one s-poly reduce to 0 modulo  $p$ , then it reduces most certainly to 0 on  $\mathbb{Q}$  (non zero s-poly have in general several terms, cancellation of one term mod  $p$  has probability  $1/p$ , simultaneous cancellation of several terms of a non-zero s-poly modulo  $p$  is highly improbable), and we discard this s-poly in the next primes computations. We name this speedup process *learning*. It can also be applied on other parts of the Groebner basis computation, like the symbolic preprocessing of the F4 algorithm, where we can reuse the same collection of monomials that were used for the first prime  $p$  to build matrices for next primes (see Buchberger Algorithm with F4 linear algebra in the next section).

If we use learning, we have no certification that the computation ends up with a Groebner basis modulo the new primes. But this is not a problem, since it is not required by the checking correctness proof, the only requirement is that the new generated ideal is contained in the initial ideal modulo all primes (which is still true) and that the reconstructed  $G_c$  is a Groebner basis.

## 7.6 Giac/Xcas implementation and experimentation

We describe here briefly some details of the Giac/Xcas gbasis implementation and give a few benchmarks.

The optimized algorithm runs with revlex as  $<$  ordering if the polynomials have at most 15 variables (it's easy to modify for more variables, adding multiples of 4, but this will increase a little memory required and slow down a little). Partial and total degrees are coded as 16 bits integers (hence the 15 variables limit, since 1 slot of 16 bits is kept for total degree). Modular coefficients are coded as 31 bit integers (or 24).

The Buchberger algorithm with linear algebra from the F4 algorithm is implemented modulo primes smaller than  $2^{31}$  using total degree as selection criterion for critical pairs.

### **Buchberger algorithm with F4 linear algebra modulo a prime**

1. Initialize the basis to the empty list, and a list of critical pairs to empty
2. Add one by one all the  $f_i$  to the basis and update the list of critical pairs with Gebauer and Möller criterion, by calling the gbasis update procedure (described below step 9)



3. Begin of a new iteration :  
All pairs of minimal total degree are collected to be reduced simultaneously, they are removed from the list of critical pairs.
4. The symbolic preprocessing step begins by creating a list of monomials, gluing together all monomials of the corresponding s-polys (this is done with a heap data structure).
5. The list of monomials is “reduced” by division with respect to the current basis, using heap division (like Monagan-Pearce [?]) without taking care of the real value of coefficients. This gives a list of all possible remainder monomials and a list of all possible quotient monomials and a list of all quotient times corresponding basis element monomial products. This last list together with the remainder monomial list is the list of all possible monomials that may be generated reducing the list of critical pairs of maximal total degree, it is ordered with respect to  $<$ . We record these lists for further primes during the first prime computation.
6. The list of quotient monomials is multiplied by the corresponding elements of the current basis, this time doing the coefficient arithmetic. The result is recorded in a sparse matrix, each row has a pointer to a list of coefficients (the list of coefficients is in general shared by many rows, the rows have the same reductor with a different monomial shift), and a list of monomial indices (where the index is relative to the ordered list of possible monomials). We sort the matrix by decreasing order of leading monomial.
7. Each s-polynomial is written as a dense vector with respect to the list of all possible monomials, and reduced with respect to the sparse matrix, by decreasing order with respect to  $<$ . (To avoid reducing modulo  $p$  each time, we are using a dense vector of 128 bits integers on 64 bits architectures, and we reduce mod  $p$  only at the end of the reduction. If we work on 24 bit signed integers, we can use a dense vector of 63 bits signed integer and reduce the vector if the number of rows is greater than  $2^{15}$ ).
8. Then inter-reduction happens on all the dense vectors representing the reduced s-polynomials, this is dense row reduction to echelon form (0 columns are removed first). Care must be taken at this step to keep row ordering when learning is active.
9. gbasis update procedure  
Each non zero row will bring a new entry in the current basis (we record zero reducing pairs during the first prime iteration, this information will be used during later iterations with other primes to avoid computing and reducing useless critical pairs). New critical pairs are created with this new entry (discarding useless pairs by applying Gebauer-Möller criterion). An old entry in the basis may be removed if it's leading monomial has all partial degrees greater or equal to the leading monomial corresponding degree of the new entry. Old entries may also be reduced with respect to the new entries at this step or at the end of the main loop.
10. If there are new critical pairs remaining start a new iteration (step 3). Otherwise the current basis is the Groebner basis.

### **Modular algorithm**

1. Set a list of reconstructed basis to empty.
2. Learning prime : Take a prime number of 31 bits or 29 bits for pseudo division, run the Buchberger algorithm modulo this prime recording symbolic preprocessing data and the list of critical pairs reducing to 0.
3. Loop begin : Take a prime of 29 bits size or a list of  $n$  primes if  $n$  processors are available. Run the Buchberger algorithm. Check if the output has the same leading terms than one of the chinese remainder reconstructed outputs from previous primes, if so combine them by Chinese remaindering and go to step 4, otherwise add a new entry in the list of reconstructed basis and continue with next prime at step 3 (clearing all learning data is probably a good idea here).
4. If the Farey  $\mathbb{Q}$ -reconstructed basis is not identical to the previous one, go to the loop iteration step 3 (a fast way to check that is to reconstruct with all primes but the last one, and check the value modulo the last prime). If they are identical, run the final check : the initial polynomials  $f_i$  must reduce to 0 modulo the reconstructed basis and the reconstructed basis s-polys must reduce to 0 (this is done on  $\mathbb{Q}$  either directly or by modular reconstruction for the deterministic algorithm, or checked modulo several primes for the probabilistic algorithm). On success output the  $\mathbb{Q}$  Groebner basis, otherwise continue with next prime at step 3.

### Benchmarks

Comparison of giac (1.1.0-26) with Singular 3.1 (from sage 5.10) on Mac OS X.6, Dual Core i5 2.3Ghz, RAM 2\*2Go :

- Mod timings were computed modulo `nextprime(2^24)` and modulo `1073741827 (nextprime(2^30))`.
- Probabilistic check on  $\mathbb{Q}$  depends linearly on log of precision, two timings are reported, one with error probability less than  $1e-7$ , and the second one for  $1e-16$ .
- Check on  $\mathbb{Q}$  in giac can be done with integer or modular computations hence two times are reported.
- `>>` means timeout (3/4h or more) or memory exhausted (Katsura12 modular  $1e-16$  check with giac) or test not done because it would obviously timeout (e.g. Cyclic8 or 9 on  $\mathbb{Q}$  with Singular)

	giac mod $p$ 24, 31 bits	giac run2	singular mod $p$	giac $\mathbb{Q}$ prob. $1e-7, 1e-16$	giac $\mathbb{Q}$ certified	singular $\mathbb{Q}$
Cyclic7	0.5, 0.58	0.1	2.0	3.5, 4.2	21, 29.3	>2700
Cyclic8	7.2, 8.9	1.8	52.5	103, 106	258, 679	»
Cyclic9	633, 1340	200	?	1 day	»	»
Kat8	0.063, 0.074	0.009	0.2	0.33, 0.53	6.55, 4.35	4.9
Kat9	0.29, 0.39	0.05	1.37	2.1, 3.2	54, 36	41
Kat10	1.53, 2.27	0.3	11.65	14, 20.7	441, 335	480
Kat11	10.4, 13.8	2.8	86.8	170, 210	4610	?
Kat12	76, 103	27	885	1950, RAM	RAM	»
alea6	0.83, 1.08	.26	4.18	202, 204	738, »	>1h

This leads to the following observations :

- Computation modulo  $p$  for 24 to 31 bits is faster than Singular, but seems also faster than magma (and maple). For smaller primes, magma is 2 to 3

times faster.

- The probabilistic algorithm on  $\mathbb{Q}$  is much faster than Singular on these examples. Compared to maple16, it is reported to be faster for Katsura10, and as fast for Cyclic8. Compared to magma, it is about 3 to 4 times slower.
- If [?] is up to date (except about giac), giac is the third software and first open-source software to solve Cyclic9 on  $\mathbb{Q}$ . It requires 378 primes of size 29 bits, takes a little more than 1 day, requires 5Gb of memory on 1 processor, while with 6 processors it takes 8h30 (requires 16Gb). The answer has integer coefficients of about 1600 digits (and not 800 unlike in J.-C. Faugère F4 article), for a little more than 1 million monomials, that's about 1.4Gb of RAM.
- The deterministic modular algorithm is much faster than Singular for Cyclic examples, and as fast for Katsura examples.
- For the random last example, the speed is comparable between magma and giac. This is where there are less pairs reducing to 0 (learning is not as efficient as for Cyclic or Katsura) and larger coefficients. This would suggest that advanced algorithms like f4/f5/etc. are probably not much more efficient than Buchberger algorithm for these kind of inputs without symmetries.
- Certification is the most time-consuming part of the process (except for Cyclic8). Integer certification is significantly faster than modular certification for Cyclic examples, and almost as fast for Katsura.

Example of Giac/Xcas code :

```
alea6 := [5*x^2*t+37*y*t*u+32*y*t*v+21*t*v+55*u*v,
39*x*y*v+23*y^2*u+57*y*z*u+56*y*u^2+10*z^2+52*t*u*v,
33*x^2*t+51*x^2+42*x*t*v+51*y^2*u+32*y*t^2+v^3,
44*x*t^2+42*y*t+47*y*u^2+12*z*t+2*z*u*v+43*t*u^2,
49*x^2*z+11*x*y*z+39*x*t*u+44*x*t*u+54*x*t+45*y^2*u,
48*x*z*t+2*z^2*t+59*z^2*v+17*z+36*t^3+45*u];
l:=[x,y,z,t,u,v];
p1:=prevprime(2^24); p2:=prevprime(2^29);
time(G1:=gbasis(alea6 % p1,l,revlex));
time(G2:=gbasis(alea6 % p2,l,revlex));
threads:=2; // set the number of threads you want to use
// debug_infolevel(1); // uncomment to show intermediate steps
proba_epsilon:=1e-7; // probabilistic algorithm.
time(H0:=gbasis(alea6,indets(cyclic5),revlex));
proba_epsilon:=0; // deterministic
time(H1:=gbasis(alea6,indets(cyclic5),revlex));
time(H2:=gbasis(alea6,indets(cyclic5),revlex,modular_check));
size(G1),size(G2),size(H0),size(H1),size(H2);
write("Halea6",H0);
```

Note that for small examples (like Cyclic5), the system performs always the deterministic check (this is the case if the number of elements of the reconstructed basis to 50).

## 7.7 Conclusion

I have described some enhancements to a modular algorithm to compute Groebner basis over  $\mathbb{Q}$  which, combined to linear algebra from F4, gives a sometimes much faster open-source implementation than state-of-the-art open-source implementations for the deterministic algorithm. The probabilistic algorithm is also not ridiculous compared to the best publicly available closed-source implementations, while being much easier to implement (about 10K lines of code, while Fgb is said to be 200K lines of code, no need to have highly optimized sparse linear algebra).

This should speed up conjectures with the probabilistic algorithm and automated proofs using the deterministic algorithm (e.g. for the Geogebra theorem prover [?]), either using Giac/Xcas (or one of its interfaces to java and python) or adapting its implementation to other open-source systems. With fast closed-source implementations (like maple or magma), there is no certification that the result is a Groebner basis : there might be some hidden probabilistic step somewhere, in integer linear system reduction for example. I have no indication that it's the case but one can never know if the code is not public, and at least for my implementation, certification might take a lot more time than computation.

There is still room for additions and improvements

- the checking step can certainly be improved using knowledge on how the basis element modulo  $p$  where built.
- checking could also benefit from parallelization.
- As an alternative to the modular algorithm, a first learning run could be done modulo a 24 bits prime, and the collected info used for f4 on  $\mathbb{Q}$  as a probabilistic alternative to F5.
- FGLM conversion is still not optimized and therefore slow in Giac/Xcas,

### Acknowledgements

Thanks to Frédéric Han for interfacing giac with Python. Thanks to Vanessa Vitse for insightful discussions.

## 8 Représentations graphiques.

Certaines représentations graphiques nécessitent peu d'outillage mathématique, ainsi les fonctions, les courbes paramétrique et polaires peuvent être représentées en échantillonnant une ou plusieurs expressions selon une discrétisation donnée explicitement par l'utilisateur ou par des paramètres par défaut, les points obtenus étant ensuite reliés par des segments. On pourrait bien sûr automatiser avec le calcul formel l'étude de la courbe (tableaux de variations, asymptotes, points singuliers, etc.).

Par contre les courbes données par une équation implicite font intervenir des algorithmes et des mathématiques plus intéressantes. En dimension 2, on se donne donc une équation  $f(x, y) = 0$  et on suppose  $f$  suffisamment régulière. Supposons la courbe non vide, soit  $(x_0, y_0)$  un point de cette courbe, si  $(\partial_x f, \partial_y f)(x_0, y_0) \neq 0$  on peut appliquer le théorème des fonctions implicites et la courbe est localement comme une courbe de fonction (en  $x$  ou en  $y$ ). On en calcule la tangente et on peut suivre cette tangente un pas de discrétisation puis utiliser une méthode numérique de recherche de solution près de la tangente.

Les points où  $(\partial_x f, \partial_y f) = 0$  sont les points singuliers. Génériquement, il n'y

en a pas puisque cela donne 3 équations à 2 inconnues, par contre si on s'intéresse à une famille de courbes dépendant d'un paramètre, il en apparait. En ces points, on calcule le développement de Taylor et on recherche le premier terme homogène non nul (homogène après translation bien sur), par exemple  $P_2 = x^2 - y^2$  pour  $x^3 + x^2 - y^2$  en  $(0, 0)$ . Si le polynôme correspondant  $P_m$  est sans racines multiples, alors on peut montrer qu'on peut appliquer le théorème des fonctions implicites dans des petits secteurs angulaire autour des droites dont les équations sont les facteurs ( $x - y = 0$  et  $x + y = 0$  dans l'exemple, en général le polynôme homogène se factorise au moins numériquement en mettant une des variables à 1, on est ramené en dimension 1), et on en déduit qu'il y a au plus  $m$  arcs de courbes tangents aux droites d'équations ces  $m$  facteurs (on ne garde que les racines réelles). Le point est dit singulier-régulier. C'est ce que fait la commande `implicitplot` de Xcas (affichage des informations intermédiaires). Sinon, l'étude est plus complexe, et fait intervenir des ordres plus grands du développement de Taylor (par exemple  $x^2 - y^3$  en 0).

Certains cas particuliers peuvent être traités en transformant la courbe implicite en courbe paramétrique, c'est le cas des courbes algébriques de degré 2, qui sont des coniques. On peut les paramétrer rationnellement si on en connaît un point (en prenant la droite passant par ce point de pente  $m$  et en cherchant l'autre point d'intersection avec la conique (il y en a forcément un et un seul autre, parce que l'équation correspondant aux points d'intersection est de degré 2 et on connaît déjà une solution), cette paramétrisation est intéressante pour faire du calcul formel, mais moins pour des représentations graphiques, on lui préférera une paramétrisation trigonométrique pour une conique ou exponentielle pour une hyperbole, par exemple  $(\cos(t), \sin(t))$  plutôt que  $\frac{1+it}{1-it}$  pour le cercle unité, paramétrisation obtenue en calculant les éléments propres de la conique (`conique_reduite`). Pour les courbes algébriques de degré plus grand, on commence par factoriser le polynôme, c'est une factorisation absolue qui est nécessaire (ou au moins numérique dans  $\mathbb{C}[x, y]$ ). Pour le moment, Xcas fait simplement une factorisation sur le corps des coefficients, et repère les équations de coniques.

## 9 Corps finis.

### 9.1 Rappels

Soit  $K$  un corps fini. Le plus petit entier  $p$  tel que  $p.1 = 0$  est la caractéristique du corps, c'est un nombre premier (car  $xy = 0 \Rightarrow x = 0$  ou  $y = 0$ ), et  $K$  est un  $\mathbb{Z}/p\mathbb{Z}$  espace vectoriel de dimension finie  $n$ , donc son cardinal est  $p^n$ .

Les inversibles pour la multiplication forment un groupe de cardinal  $p^n - 1$  et ce groupe est cyclique (sinon on construit un élément d'ordre  $d$  le PPCM des ordres des éléments de  $K^*$ , cet ordre est donc un diviseur strict de  $p^n - 1$ , mais c'est impossible car le polynôme  $x^d - x$  a alors  $p^n - 1 > d$  racines).

L'application  $\phi : x \rightarrow x^p$  est une application linéaire et le noyau de  $\phi$ -id est  $\mathbb{Z}/p\mathbb{Z}$ . Si  $P$  est un polynôme irréductible à coefficients dans  $\mathbb{Z}/p\mathbb{Z}$  de degré divisant  $n$ , alors  $P$  se décompose en produit de facteurs de degré 1 et on passe d'une racine de  $P$  dans  $K$  à une autre en appliquant  $\phi$  (en effet  $P$  divise  $x^{p^n} - x$  modulo  $p$  et  $x^{p^n} - x = \prod_{\alpha \in K} (x - \alpha)$ ). Exemple : faire `GF(3, 5)` pour créer le corps  $K$  de cardinal  $3^5$ , puis `P:=randpoly(5) % 3; factor(P)` et exécuter à

niveau la commande jusqu'à ce que  $P$  soit irréductible, puis tester `factor(P, g)`. Evidemment, ce résultat n'est plus vrai si  $P$  a des coefficients dans  $K$  au lieu de  $\mathbb{Z}/p\mathbb{Z}$  (essayer avec `P:=randpoly(5, g)`).

## 9.2 Représentation des corps non premiers.

### 9.2.1 Cas général.

Pour représenter  $K$ , on utilise généralement la représentation dite additive, c'est-à-dire que  $K$  est isomorphe à  $\mathbb{Z}/p\mathbb{Z}[X]/P(X)$  avec  $P$  un polynôme irréductible de  $\mathbb{Z}/p\mathbb{Z}[X]$  de degré  $n$ . Si la classe de  $X$  est d'ordre  $p^n - 1$  dans  $K^*$  on dit que  $P$  est primitif. Dans Xcas, c'est cette représentation qui est utilisée, l'instruction `GF(p, n)` génère aléatoirement un polynôme irréductible de degré  $n$  sur  $\mathbb{Z}/p\mathbb{Z}$ , puis cherche un élément cyclique, calcule son polynôme minimal (qui est donc primitif), et affiche le nom d'un générateur (par défaut  $g$ ), il suffit alors d'écrire n'importe quelle expression symbolique polynomiale en ce générateur pour créer un élément de  $K$ . En interne, Xcas stocke les éléments de  $K$  comme des polynômes-listes à coefficients dans  $\mathbb{Z}/p\mathbb{Z}$ , et les affiche comme polynôme symbolique en fonction du générateur. On peut aussi utiliser un entier entre 0 et  $p^n - 1$  dont l'écriture en base  $p$  représente les coefficients du polynôme.

Pour générer un polynôme irréductible, on utilise un générateur aléatoire d'entiers dans  $[0, p]$ , on crée un polynôme unitaire de degré  $n$ , et on teste son irréductibilité en calculant le PGCD de  $P$  avec les  $x^{p^k} - x$  pour  $k$  de 1 jusque  $n/2$ . En pratique, on calcule les `powmod(x, p^k, p, P)` (en prenant la puissance modulaire  $p$ -ième du précédent), on retire  $x$  et on calcule le pgcd avec  $P$ , si on trouve un résultat différent de 1, on passe au polynôme suivant (généré aléatoirement). On peut calculer la probabilité de réussir en dénombrant les polynômes irréductibles de degré  $n$  à l'aide de la formule  $x^{p^n} - x = \prod_{P/\deg(P) \text{ divise } n} P$ .

Trouver un élément cyclique se fait aussi au hasard (`rand(g)` en Xcas si  $g$  est le générateur d'un corps fini), la probabilité se calcule à l'aide de l'indicatrice d'Euler de  $p^n - 1$ . Déterminer le polynôme minimal d'un élément est alors un problème d'algèbre linéaire, il se résout en calculant le noyau de la matrice dont les colonnes sont les coefficients des puissances de l'élément (instruction `pmin` en Xcas).

La représentation additive est pratique pour additionner ou soustraire des éléments de  $K$ , multiplier nécessite de faire une division euclidienne par  $P$  et prendre le reste, inverser nécessite de faire une identité de Bézout avec  $P$ . Il existe une représentation alternative, dite multiplicative, on représente alors un élément  $g^k$  de  $K^*$  par la puissance  $k \in [0, p^n - 2]$  du générateur  $g$ , et on représente  $0_K$  par -1 ou par  $p^n - 1$ . Mais l'addition est alors difficile sauf si on dispose d'une table passant de la représentation additive à la représentation multiplicative.

### 9.2.2 Corps de petit cardinal, cas de la caractéristique 2

Si le cardinal du corps n'est pas trop grand (par exemple moins que quelques milliers), il est intéressant de construire une table de passage entre représentation additive et multiplicative, c'est-à-dire une permutation de  $[0, p^n - 1]$  si on utilise des entiers pour la représentation additive. On calcule donc une fois pour toutes la

représentation additive de toutes les puissances de  $g$  ce qui fournit la table de passage multiplicatif vers additif, puis la permutation inverse, on peut alors effectuer toutes les opérations sur le corps  $K$  très rapidement : la multiplication devient un test si l'un des éléments vaut  $p^n - 1$  suivi d'une addition modulo  $p^n - 1$  si ce n'est pas le cas, l'addition une écriture en base  $p$  et  $n$  additions dans  $\mathbb{Z}/p\mathbb{Z}$ .

En caractéristique 2, l'addition est encore plus simple, il s'agit d'un ou exclusif bit à bit (sur un type entier court 8 ou 16 ou 32 bits). De plus le calcul de la permutation de passage est très rapide, pour trouver  $g^{k+1}$  en fonction de  $g^k$  il faut multiplier par  $g$  ce qui est un décalage de bit vers la gauche, tester si l'entier est supérieur à  $2^n$  et si oui faire un ou exclusif avec l'entier représentant le polynôme minimal de  $g$ . Si le cardinal du corps est assez petit (par exemple  $2^8$ , ou disons moins que  $2^{13}$ ), la permutation et son inverse tiennent dans le cache du microprocesseur et les opérations sur le corps  $K$  se font en une dizaine de cycles du microprocesseur.

### 9.3 Exercices

1. Trouver un polynôme irréductible  $P$  de degré 5 sur  $\mathbb{Z}/7\mathbb{Z}$ . En déduire une représentation de  $\text{GF}(7, 5)$ . Factoriser le polynôme  $P$  sur votre représentation de  $\text{GF}(7, 5)$  (on pourra utiliser l'application  $x \rightarrow x^7$ ).
2. Déterminer le polynôme minimal de quelques éléments de  $\text{GF}(7, 5)$  en utilisant votre représentation ou celle de Xcas. Même question mais en degré 4 avec la représentation de Xcas.
3. Factoriser avec Xcas  $x^{16} - x$  modulo 2 (on pourra utiliser `factors()`, `% 2` et `% 0`). En déduire les polynômes irréductibles de degré 4 sur  $\mathbb{Z}/2\mathbb{Z}$ , déterminez les polynômes irréductibles primitif de degré 4, pour l'un d'entre eux construire une table entre représentation multiplicative et additive de  $\text{GF}(2, 4)$ .
4. Écrire une fonction permettant de déterminer si un polynôme  $A$  est irréductible modulo  $p$ , en utilisant le PGCD avec les  $x^{p^k} - x$  modulo  $p$ . Quelle est sa complexité si  $A$  est irréductible de degré  $d$  ?

### 9.4 Codes linéaires et polynomiaux.

Les corps finis premiers servent dans tous les algorithmes modulaires, on en a vu par exemple l'intérêt pour le PGCD, la factorisation...

Les corps finis premiers et non premiers servent aussi dans le domaine de la cryptographie et des codes correcteurs d'erreurs, on présente ici ce dernier point.

Références : Demazure, G. Zémor, wikipedia (pour les codes de Hamming binaires).

On appellera symbole d'information l'unité de base transmise, qu'on supposera appartenir à un corps fini  $K$ , par exemple pour un bit un élément de  $K = \mathbb{Z}/2\mathbb{Z}$ , ou pour un octet un élément du corps à 256 éléments  $K = F_{256} = F_d$ .

On veut coder un message de longueur  $k$  avec des possibilités de détection et de correction d'erreurs, pour cela on rajoute des symboles calculés à partir des précédents, on envoie un élément d'un code ayant  $n$  symboles.

### 9.4.1 Le bit de parité.

On prend  $k = 7$  bits et  $n = 8$  bits. On compte le nombre de 1 parmi les 7 bits envoyés, si ce nombre est pair, on envoie 0 comme 8ième bit, sinon 1. Au final le nombre de bits à 1 de l'octet (1 octet=8 bits) est pair. On peut ainsi détecter une erreur de transmission si à la réception le nombre de bits d'un octet est impair, mais on ne peut pas corriger d'erreurs. On peut aussi dire que l'octet représente un polynôme à coefficients dans  $\mathbb{Z}/2\mathbb{Z}$  divisible par  $X + 1$ .

**Exercice :** Écrire un programme Xcas permettant de rajouter un bit de parité à une liste composée de 7 bits. Puis un programme de vérification qui accepte ou non un octet selon sa parité. Vous représenterez l'octet par une liste de bits, avec le délimiteur `poly1[` pour pouvoir effectuer des opérations arithmétiques polynomiales, et vous effectuerez la vérification de deux manières, en comptant le nombre de 1 ou avec l'instruction `rem`.

### 9.4.2 Codes linéaires

**Définition :** On multiplie le vecteur des  $k$  symboles par une matrice  $M$  à coefficients dans  $K$  de taille  $n \times k$  et on transmet l'image. Pour assurer qu'on peut identifier un antécédent unique à partir d'une image, il faut que  $M$  corresponde à une application linéaire injective, ce qui entraîne  $n \geq k$ . On dit qu'un vecteur de  $n$  symboles est un mot du code s'il est dans l'image de l'application linéaire.

Pour assurer l'injectivité tout en facilitant le décodage, on utilise souvent une matrice identité  $k, k$  comme sous-bloc de la matrice  $n, k$ , par exemple on prend l'identité pour les  $k$  premières lignes de  $M$ , on ajoute ensuite  $n - k$  lignes.

Pour savoir si un vecteur est un mot de code, il faut vérifier qu'il est dans l'image de  $M$ . On peut par exemple vérifier qu'en ajoutant la colonne de ses coordonnées à  $M$ , on ne change pas le rang de  $M$  (qui doit être  $k$ ) mais c'est assez coûteux. On préfère utiliser une matrice de contrôle  $H$

$$x \in \text{Im}(M) \Leftrightarrow Hx = 0$$

Si la matrice  $M$  est composée de l'identité  $I_k$  et d'une matrice  $C$  sur ses  $n - k$  dernières lignes, alors  $H = (-C, I_{n-k})$ .

**Exercice :** créez une matrice  $M$  de taille 7,4 injective. Puis un programme qui teste si un vecteur est un mot de code et en extrait alors la partie avant codage. Vérifiez votre programme avec un vecteur  $Mv$ , on doit obtenir un mot de code. Instructions utiles : `idn` (matrice identité) `ker` (noyau d'une application linéaire), `rank` (rang), `tran` (transposée), ... Pour créer une matrice, on peut coller les lignes de 2 matrices  $A$  et  $B$  par `[op(A), op(B)]` ou avec `blockmatrix`.

### 9.4.3 Codes polynomiaux

**Définition :** Il s'agit d'un cas particulier de codes linéaires. On se donne un polynôme  $g(x)$  de degré  $n - k$ , On représente le message de longueur  $k$  à coder par un polynôme  $P$  de degré  $k - 1$ . On multiplie  $P$  par  $x^{n-k}$ , on calcule le reste  $R$  de la division de  $Px^{n-k}$  par  $g$ . On émet alors  $Px^{n-k} - R$  qui est divisible par  $g$ . Les mots de code sont les polynômes divisibles par  $g$ .

**Exercice :** écrire de cette façon le codage du bit de parité. Puis une procédure Xcas de codage utilisant  $g = X^7 + X^3 + 1$  (ce polynôme était utilisé par le Minitel).



N.B. on obtient le polynôme  $X^{n-k}$  sous forme de polynome-liste dans Xcas par `poly1[1, 0$(n-k)]`.

#### 9.4.4 Détection et correction d'erreur

Si le mot reçu n'est pas dans l'image de l'application linéaire il y a eu erreur de transmission. Sinon, il n'y a pas eu d'erreur *délectable* (il pourrait y avoir eu plusieurs erreurs qui se "compensent").

Plutôt que de demander la réémission du mot mal transmis (ce qui serait par exemple impossible en temps réel depuis un robot en orbite autour de Mars), on essaie d'ajouter suffisamment d'information pour pouvoir corriger des erreurs en supposant que leur nombre est majoré par  $N$ . Si les erreurs de transmissions sont indépendantes, la probabilité d'avoir au moins  $N + 1$  erreurs dans un message de longueur  $L$  est  $\sum_{k=N+1}^L \binom{L}{k} \epsilon^k (1 - \epsilon)^{L-k}$ , où  $\epsilon$  est la probabilité d'une erreur de transmission, c'est aussi `1-binomial_cdf(L, epsilon, N)`. Par exemple, pour un message de  $10^3$  caractères, chacun ayant une probabilité d'erreur de transmission de  $10^{-3}$ , si on prend  $N = 3$ , alors la probabilité d'avoir au moins 4 erreurs est de 0.019 (arrondi par excès) :

```
P(N, eps, L) := sum(comb(L, k) * eps^k * (1-eps)^(L-k), k, N+1, L) ;
P(3, 1e-3, 10^3)
```

ou directement `1-binomial_cdf(1000, 1e-3, 3)`.

**Exemple :** On ne peut pas corriger d'erreur avec le bit de parité.

#### 9.4.5 Distances

La distance de Hamming de 2 mots est le nombre de symboles qui diffèrent. (il s'agit bien d'une distance au sens mathématique, elle vérifie l'inégalité triangulaire).

Exercice : écrire une procédure de calcul de la distance de Hamming de 2 mots. En Xcas, la fonction s'appelle `hamdist`.

La distance d'un code est la distance de Hamming minimale de 2 mots différents du code. Pour un code linéaire, la distance est aussi le nombre minimal de coefficients non nuls d'un vecteur non nul de l'image. Pour un code polynomial, la distance du code est le nombre minimal de coefficients non nuls d'un multiple de  $g$  de degré inférieur à  $n$ .

Exercice : quelle est la distance du code linéaire que vous avez créé plus haut ?

**Majoration de la distance du code :**

La distance minimale d'un code linéaire est inférieure ou égale à  $n - k + 1$  : en effet on écrit en ligne les coordonnées des images de la base canonique (ce qui revient à transposer la matrice) et on réduit par le pivot de Gauss, comme l'application linéaire est injective, le rang de la matrice est  $k$ , donc la réduction de Gauss crée  $k - 1$  zéros dans chaque ligne, donc le nombre de coefficients non nuls de ces  $k$  lignes (qui sont toujours des mots de code) est au plus de  $n - k + 1$ .

Exercice : si votre code linéaire n'est pas de distance 3, modifiez les 3 dernières lignes pour réaliser un code de distance 3. On ne peut pas obtenir une distance  $n - k + 1 = 4$  avec  $n = 7$  et  $k = 4$  dans  $\mathbb{Z}/2\mathbb{Z}$ , essayez ! Essayez sur  $\mathbb{Z}/3\mathbb{Z}$  et  $\mathbb{Z}/5\mathbb{Z}$ .

N.B. : Pour les codes non polynomiaux, par exemple convolutifs, la distance n'est pas forcément le paramètre le mieux adapté à la correction d'erreurs.

### 9.4.6 Correction au mot le plus proche

Une stratégie de correction basée sur la distance consiste à trouver le mot de code le plus proche d'un mot donné. Si la distance d'un code est supérieure ou égale à  $2t + 1$ , et s'il existe un mot de code de distance inférieure à  $t$  au mot donné, alors ce mot de code est unique. On corrige alors le mot transmis en le remplaçant par le mot de code le plus proche.

Exercice : écrivez un programme permettant de corriger une erreur dans un mot dans votre code linéaire.

On dit qu'un code  $t$ -correcteur est parfait si la réunion des boules de centre un mot de code et de rayon  $t$  (pour la distance de Hamming) est disjointe et recouvre l'ensemble des mots ( $K^n$ ).

Exercice : votre code linéaire sur  $\mathbb{Z}/2\mathbb{Z}$  (celui de distance 3) est-il un code 1-correcteur parfait ?

### 9.4.7 Codes de Hamming

Soit un code de longueur  $n$ , de dimension  $k$ , le nombre d'informations supplémentaires est noté  $m = n - k$ . Un code de Hamming permet une correction, donc la distance du code  $\delta$  est (au moins) 3. Si le code est parfait sur  $K = F_d$ , on a

$$(1 + n(d - 1))d^k = d^n \Rightarrow n = \frac{d^m - 1}{d - 1}$$

Par exemple si  $d = 2$  et  $m = 4$  alors  $n = 15$ . Il n'y a qu'une matrice de contrôle possible de taille  $(15, 4)$  telle que  $Hx$  donne la position de l'erreur (en base 2), elle est obtenue en écrivant les entiers de 1 à 15 en base 2

$$H = \begin{pmatrix} 0 & 0 & 0 & 0 & 0 & 0 & 0 & 0 & 1 & 1 & 1 & 1 & 1 & 1 & 1 \\ 0 & 0 & 0 & 1 & 1 & 1 & 1 & 0 & 0 & 0 & 0 & 1 & 1 & 1 & 1 \\ 0 & 1 & 1 & 0 & 0 & 1 & 1 & 0 & 0 & 1 & 1 & 0 & 0 & 1 & 1 \\ 1 & 0 & 1 & 0 & 1 & 0 & 1 & 0 & 1 & 0 & 1 & 0 & 1 & 0 & 1 \end{pmatrix}$$

on déplace les colonnes de la matrice identité (colonnes 1, 2, 4, 8) en fin pour écrire  $H = (-C, I_4)$ , le code correspondant est  $\begin{pmatrix} I_{11} \\ C \end{pmatrix}$ , il permet de corriger une erreur, on calcule  $Hx$  et si le résultat est non nul, on change le bit d'indice  $Hx$  en tenant compte du déplacement des colonnes 1, 2, 4 et 8. En fait, il est plus simple de ne pas faire ce déplacement de colonnes.

Code systématique :

1. On repère les indices de bit en commençant à 1
2. On écrit les indices de bit en base 2
3. Les bits dont les indices sont des puissance de 2 sont des bits de parité
4. Les autres bits sont des bits de donnée
5. Les bits de parité sont calculés pour avoir parité paire selon les bits d'indice respectifs 1 mod 2 pour le bit de parité p1, selon les bits d'indice divisé par 2 valant 1 mod 2 pour le bit de parité p2, etc.
6. Pour corriger une erreur, on corrige le bit dont la position écrite en base 2 a des 1 là où la parité est fausse.

Indice	1	2	3	4	5	6	7	8	9	10	11	12	13	14	15
p1	x		x		x		x		x		x		x		x
p2		x	x			x	x			x	x			x	x
p4				x	x	x	x					x	x	x	x
p8								x	x	x	x	x	x	x	x
	p1	p2	d1	p4	d2	d3	d4	p8	d5	d6	d7	d8	d9	d10	d11

Autre exemple : le minitel utilisait  $d = 2, m = 7, n = 2^m - 1$ .

## 9.5 Les codes de Reed-Solomon

Il s'agit de codes polynomiaux qui réalisent la distance maximale possible  $n - k + 1$ . De plus la recherche du mot de code le plus proche peut se faire par un algorithme de Bézout avec arrêt prématuré.

### 9.5.1 Théorie

On se donne un générateur  $a$  de  $F_q^*$  et le polynôme  $g(x) = (x - a) \dots (x - a^{2t})$  (donc  $n - k = 2t$ ). Typiquement  $q = 2^m$  avec  $m = 8$ ,  $a$  est une racine d'un polynôme irréductible de degré  $m$  à coefficients dans  $\mathbb{Z}/2$  qui ne divise pas  $x^l - 1$  pour  $l$  diviseur strict de  $2^m - 1$ , en pratique, on factorise le quotient de  $x^{2^m-1} - 1$  par le ppcm des  $x^{(2^m-1)/p} - 1$  où  $p$  parcourt les diviseurs premiers de  $2^m - 1$  et on en extrait un facteur de degré  $m$ .

#### Distance du code

Si la longueur  $n$  d'un mot vérifie  $n \leq 2^m - 1$ , alors la distance entre 2 mots du code est au moins de  $2t + 1$ . En effet, si un polynôme  $P$  de degré  $< n$  est un multiple de  $g$  ayant moins de  $2t + 1$  coefficients non nuls,

$$P(x) = \sum_{k=1}^{2t} p_{i_k} x^{i_k}, \quad i_k < n$$

en écrivant  $P(a) = \dots = P(a^{2t}) = 0$ , on obtient un déterminant de Van der Monde, on prouve qu'il est non nul en utilisant la condition  $i_k < n$  et le fait que la première puissance de  $a$  telle que  $a^x = 1$  est  $x = 2^m - 1$ .

#### Correction des erreurs

Soit  $c(x)$  le polynôme envoyé,  $d(x)$  le polynôme reçu, on suppose qu'il y a moins de  $t$  erreurs

$$d(x) - c(x) = e(x) = \sum_{k=1}^{\nu} \alpha_k x^{i_k}, \quad \nu \leq t$$

On calcule le polynôme syndrome :

$$s(x) = \sum_{i=0}^{2t-1} d(a^{i+1}) x^i = \sum_{i=0}^{2t-1} e(a^{i+1}) x^i$$

on a donc :

$$\begin{aligned}
s(x) &= \sum_{i=0}^{2t-1} \sum_{k=1}^{\nu} \alpha_k (a^{i+1})^{i_k} x^i \\
&= \sum_{k=1}^{\nu} \alpha_k \sum_{i=0}^{2t-1} (a^{i+1})^{i_k} x^i \\
&= \sum_{k=1}^{\nu} \alpha_k a^{i_k} \frac{(a^{i_k} x)^{2t} - 1}{a^{i_k} x - 1}
\end{aligned}$$

On pose  $l(x)$  le produit des dénominateurs (que l'on appelle polynôme localisateur, car ses racines permettent de trouver la position des symboles à corriger), on a alors

$$l(x)s(x) = \sum_{k=1}^{\nu} \alpha_k a^{i_k} ((a^{i_k} x)^{2t} - 1) \prod_{j \neq k, j \in [1, \nu]} (a^{i_j} x - 1) \quad (15)$$

Modulo  $x^{2t}$ ,  $l(x)s(x)$  est donc un polynôme  $w$  de degré inférieur ou égal à  $\nu - 1$ , donc strictement inférieur à  $t$ . Pour le calculer, on applique l'algorithme de Bézout à  $s(x)$  et  $x^{2t}$  (dans  $F_q$ ), en s'arrêtant au premier reste  $w(x)$  dont le degré est strictement inférieur à  $t$  (au lieu d'aller jusqu'au calcul du PGCD de  $s(x)$  et  $x^{2t}$ ). Les relations sur les degrés (cf. approximants de Padé et la preuve ci-dessous) donnent alors en coefficient de  $s(x)$  le polynôme  $l(x)$  de degré inférieur ou égal à  $t$ . On en calcule les racines (en testant tous les éléments du corps avec Horner), donc la place des symboles erronés.

Pour calculer les valeurs  $\alpha_k$ , on reprend la définition de  $w$ , c'est le terme de droite de l'équation (15) modulo  $x^{2t}$ , donc :

$$w(x) = \sum_{k=1}^{\nu} \alpha_k a^{i_k} (-1) \prod_{j \neq k, j \in [1, \nu]} (a^{i_j} x - 1)$$

Donc :

$$w(a^{-i_k}) = -\alpha_k a^{i_k} \prod_{j \neq k, j \in [1, \nu]} (a^{i_j} a^{-i_k} - 1)$$

Comme :

$$l(x) = (a^{i_k} x - 1) \prod_{j \neq k, j \in [1, \nu]} (a^{i_j} x - 1)$$

on a :

$$l'(a^{-i_k}) = a^{i_k} \prod_{j \neq k, j \in [1, \nu]} (a^{i_j} a^{-i_k} - 1)$$

Finalement :

$$\alpha_k = -\frac{w(a^{-i_k})}{l'(a^{-i_k})}$$

### 9.5.2 Preuve du calcul de $l$

On avait  $s(x)$  avec  $\deg(s) \leq 2t - 1$ , il s'agissait de voir comment la solution  $u, v, r$  calculée par Bezout

$$u(x)x^{2t} + v(x)s(x) = r(x) \quad (16)$$

avec arrêt prématuré au 1er reste  $r(x)$  de degré  $\leq t-1$  correspondait à l'équation

$$l(x)s(x) = w(x) \bmod x^{2t}$$

avec  $\deg(l) \leq t$  et  $\deg(w) \leq t-1$

On a vu que  $\deg(v) \leq t$ . On commence par factoriser la puissance de  $x$  de degré maximal  $p$  dans  $v(x)$ , et on simplifie (16) par  $x^p$ . Quitte à changer  $v$  et  $r$ , on se ramène donc à :

$$u(x)x^{2t-p} + v(x)s(x) = r(x)$$

avec  $v(x)$  premier avec  $x$ ,  $\deg(v) \leq t-p$  et  $\deg(r) \leq t-1-p$ . On simplifie ensuite par le pgcd de  $v(x)$  et de  $r(x)$  (qui divise  $u(x)$  car premier avec  $x$  puisqu'on a déjà traité les puissances de  $x$ ). On a donc, quitte à changer de notation  $u, v, r$  tels que

$$u(x)x^{2t-p} + v(x)s(x) = r(x)$$

avec  $v$  et  $r$  premiers entre eux,  $v$  premier avec  $x$ ,  $\deg(v) \leq t-p$  et  $\deg(r) \leq t-1-p$  (N.B. :  $p=0$  en général)

On observe que  $l(x)$  est premier avec  $x$  (0 n'est pas racine de  $l$ ). On raisonne modulo  $x^{2t-p}$ ,  $l$  et  $v$  sont inversibles modulo  $x^{2t-p}$ , donc

$$s(x) = w(x) * \text{inv}(l) \pmod{x^{2t-p}}, \quad s(x) = r(x) * \text{inv}(v) \pmod{x^{2t-p}}$$

donc

$$w(x) * \text{inv}(l) = r(x) * \text{inv}(v) \pmod{x^{2t-p}} \Rightarrow w(x) * v(x) = r(x) * l(x) \pmod{x^{2t-p}}$$

donc  $w(x) * v(x) = r(x) * l(x)$  à cause des majorations de degrés

D'autre part par construction  $w(x)$  est premier avec  $l(x)$  (car chacun des facteurs de  $l(x)$  divise tous les éléments de la somme définissant  $w(x)$  sauf un), donc  $l(x)$  divise  $v(x)$ , et comme  $v(x)$  est premier avec  $r(x)$ , on en déduit que  $v(x) = Cl(x)$  où  $C$  est une constante non nulle, puis  $r(x) = Cw(x)$ .

Bezout donne donc (après simplifications du couple  $v(x), r(x)$  par son pgcd) le polynôme localisateur à une constante près (donc les racines et les positions des erreurs), et on peut calculer les valeurs des erreurs avec  $v$  et  $r$  car la constante  $C$  se simplifie.

### 9.5.3 Avec Xcas

Ouvrir la session Aide->Exemples->crypto->reed\_s

## 10 Factorisation des entiers et primalité.

Les principaux algorithmes utilisés dans Xcas sont les suivants :

- la division : pour les nombres premiers plus petits que 10000, stockés dans une table. Cela permet de factoriser les entiers plus petits que  $10^{10}$  et de détecter les premiers, on teste si  $k$  divise  $N$  pour  $k$  dans la table tel que  $k^2 \leq N$ . Cela permet la factorisation partielle des entiers plus grands. Le temps d'exécution est proportionnel au nombre de premiers dans la table plus petits que  $\sqrt{N}$ , multiplié par un facteur  $\ln(N)$  pour la factorisation partielle.  
Le crible d'Erathosthène permet de trouver la liste des premiers plus petits qu'une valeur donnée. Voir le manuel de programmation de Xcas.
- le test de pseudo-primalité de Miller-Rabin (voir le manuel de programmation de Xcas) : effectué pour 20 bases  $a$ , il donne en cas de réussite la primalité pour les entiers plus petits que  $10^{14}$ , au-delà le nombre est très probablement premier (moins de  $1/4^{20}$  malchance d'avoir un non premier au sens où le nombre de bases  $a < p$  qui passent le test alors que le nombre  $p$  n'est pas premier est plus petit que  $p/4$ ). Si on veut certifier qu'un nombre est premier, on peut utiliser le test de Pocklington (voir la section dédiée) ou le test APRCL via PARI.
- la méthode  $\rho$  de Pollard qui permet de trouver les "petits" facteurs d'un entier  $N$  (plus petits que  $10^{10}$  environ). Cette méthode est détaillée plus bas. La commande `ifactor` de PARI permet de détecter des "petits" facteurs de plus grande taille par la méthode des courbes elliptiques (ECM, cf. Cohen par exemple). Pollard- $\rho$  et ECM sont des méthodes de factorisation de type I, dont le temps d'exécution est fonction de la taille du plus petit facteur de l'entier à factoriser (supposé non premier).
- le crible quadratique qui permet de factoriser en un temps raisonnable les entiers jusqu'à  $10^{70}$  environ. Une esquisse de cette méthode est présentée plus bas. Cette méthode est dite de type II, son temps d'exécution est fonction de la taille de l'entier.

### 10.1 Le test de primalité de Pocklington.

**Théorème 12** Soit  $N > 1$  entier. S'il existe deux entiers  $a$  et  $q$  tels que

- $q$  est un facteur premier de  $N - 1$  plus grand que  $\sqrt{N} - 1$ ,
- $a^{N-1} \equiv 1 \pmod{N}$
- $a^{(N-1)/q} - 1$  est premier avec  $N$

alors  $N$  est premier.

Preuve : Si  $N$  n'est pas premier, alors il a un facteur premier  $p \leq \sqrt{N}$ . Donc  $q$  et  $p - 1$  sont premiers entre eux (car  $q$  est premier et  $q > p - 1$ ). Soit  $u$  l'inverse de  $q$  modulo  $p - 1$ . Alors  $1 \equiv a^{N-1} \pmod{p}$  car  $p$  divise  $N$ . Donc

$$1 \equiv a^{u(N-1)} \pmod{p} = (a^{uq})^{(N-1)/q} \pmod{p} = a^{(N-1)/q} \pmod{p}$$

d'après le petit théorème de Fermat. Ceci contredit le fait que  $a^{(N-1)/q} - 1$  soit premier avec  $N$ .

Le couple  $(a, q)$  est alors un certificat de primalité pour  $N$ . Le problème c'est que trouver  $a, q$  peut être très difficile voire impossible. Mais il existe une généralisation de ce théorème qui est plus facile à réaliser

**Théorème 13** *Supposons que l'on sache factoriser  $N - 1 = AB$  comme produit de deux entiers premiers entre eux avec  $A > \sqrt{N}$  dont la factorisation en produit de facteurs premiers est connue. Si pour tout facteur  $p$  de  $A$  il existe un entier  $a_p$  tel que  $a_p^{N-1} \equiv 1 \pmod{N}$  et  $a_p^{(N-1)/p} \not\equiv 1 \pmod{N}$  et  $N$  sont premiers entre eux, alors  $N$  est premier.*

Preuve : soit  $v$  un facteur premier de  $N$ . Soit  $p$  premier divisant  $A$  et  $p^e$  la plus grande puissance de  $p$  divisant  $A$ . On va montrer que  $v \equiv 1 \pmod{p^e}$ . Par le lemme chinois on en déduira  $v \equiv 1 \pmod{A}$  puis  $v > \sqrt{N}$  ce qui est impossible pour au moins un facteur premier de  $N$ .

Montrons donc que  $v \equiv 1 \pmod{p^e}$ . Soit  $b = a_p^{(N-1)/p^e} \pmod{v}$ . Alors  $b^{p^e} \equiv 1 \pmod{v}$  puisque  $v$  divise  $N$  et  $b^{p^{e-1}} = a_p^{(N-1)/p} \pmod{v} \not\equiv 1 \pmod{v}$  puisque  $a_p^{(N-1)/p} \not\equiv 1 \pmod{N}$  et  $N$  sont premiers entre eux. Donc l'ordre de  $b$  modulo  $v$  est  $p^e$ , et  $p^e$  divise  $v - 1$  CQFD.

Ce test nécessite de savoir factoriser  $N - 1$ , au moins partiellement. Pour des  $N$  grands, cela peut nécessiter de certifier que les facteurs obtenus sont eux-même premiers, ce qui peut nécessiter une sorte d'appel récursif du test. C'est l'étape difficile, la recherche des  $a_p$  n'est pas un blocage en pratique.

## 10.2 La méthode $\rho$ de Pollard

**Théorème des anniversaires** : la probabilité que  $n$  éléments pris au hasard parmi  $N$  soient distincts 2 à 2 pour  $n \ll N$  et  $N \rightarrow \infty$  est au premier ordre  $1 - n^2/2N$ . Donc si  $n = O(\sqrt{N})$  cette proba peut être rendue petite.

En effet, cette probabilité vaut

$$P = 1(1 - \frac{1}{N})(1 - \frac{2}{N}) \dots (1 - \frac{n-1}{N})$$

donc

$$-\ln(P) = \sum_{k=0}^{n-1} -\ln(1 - \frac{k}{N})$$

on reconnaît une méthode de rectangles pour approcher  $\int -\ln(1 - t)$ , fonction croissante positive sur  $[0, 1[$  d'où l'encadrement

$$N \int_0^{\frac{n-1}{N}} -\ln(1 - t) dt \leq -\ln(P) \leq N \int_{\frac{1}{N}}^{\frac{n}{N}} -\ln(1 - t) dt$$

On peut faire un développement des  $\ln$  si  $n/N$  tend vers 0, on obtient si  $n = O(\sqrt{N})$  par les commandes `series(N*int(ln(1-t), t, 0, (n-1)/N), N, inf)` et `series(N*int(ln(1-t), t, 1/N, n/N), N, inf)`

$$-\frac{\frac{n^2}{2} - n + \frac{1}{2}}{N} + O(\sqrt{N}^{-1}) \leq -\ln(P) \leq -\frac{\frac{n^2}{2} - \frac{1}{2}}{N} + O(\sqrt{N}^{-1})$$

d'où le résultat annoncé.

**Application** : si  $N$  est composé, on prend des entiers modulo  $N$  générés par une suite récurrente  $x_{n+1} = f(x_n) \pmod{N}$ , on espère qu'ils ont de bonnes propriétés de répartition, et on regarde s'ils sont distincts modulo  $p$  où  $p$  est le plus petit facteur de  $N$ . Il suffira d'en générer  $O(\sqrt{p})$  pour avoir une bonne proba d'en trouver deux égaux modulo  $p$ . Comme on ne connaît pas  $p$ , le test d'égalité modulo  $p$  se fait en calculant le pgcd des différences des 2 entiers modulo  $N$  et de  $N$  qui doit être non trivial. La fonction  $f$  peut par exemple être  $x \rightarrow x^2 + 1$  (ou  $x^2 - 1$  ou  $x^2 + 3$ )<sup>7</sup>. On ne teste pas toutes les différences de paires d'entiers générés, car ce serait trop long, mais les  $x_{2k} - x_k$  pour  $k = 1, 2, \dots$  ce qui suffit car la suite  $x_k$  est ultimement périodique (le dessin d'une suite ultimement périodique est un  $\rho$  d'où la méthode tire son nom). Le calcul nécessite donc  $O(\sqrt{p} * \ln(N)^2)$  opérations (ce qui est toujours mieux que la division triviale car  $p \leq \sqrt{N}$ ).

### 10.3 Le crible quadratique

On cherche des relations  $x^2 = y^2 \pmod{N}$ , en espérant trouver un facteur de  $N$  en calculant  $\text{pgcd}(x - y, N)$ . Problème trop difficile, à la place on va essayer de factoriser sur une base de "petits" nombre premiers des  $x_i^2 - N$  pour  $x$  proche de  $\sqrt{N}$  (nombre friable). La taille de la base dépend de la taille de  $N$ . La recherche de  $x^2$  se fait par produit de  $x_i$  tel qu'il n'apparaisse que des carrés de la base des petits nombres premiers, ce qui s'obtient en résolvant un gros système linéaire à coefficient dans  $\mathbb{Z}/2\mathbb{Z}$ . Pour trouver les  $x_i$  on utilise un crible : sachant que si on a une solution de  $x^2 - N = 0 \pmod{p}$ , alors  $x + p, x + 2p$ , etc. le seront aussi, on a facilement les  $x$  tels que  $x^2 - N$  est divisible par  $p$  à partir des 2 racines carrées de  $N$  modulo  $p$  si elles existent (sinon on ne met pas ces racines dans la base de petits premiers !). Le crible consiste à incrémenter de  $\log(p)$  tous les éléments d'un tableau dont l'indice correspond à un  $x$  tel que  $x^2 - N$  est divisible par  $p$ . Lorsqu'on a parcouru tous les premiers de la base de nombres premiers, on regarde dans le tableau les valeurs assez grandes vont correspondre à des possibilités d'entiers friables, on factorise alors les  $x_i$  correspondants pour avoir des relations. Dès qu'on a  $k$ +une marge de sécurité (par exemple 20 ou 50) relations où  $k$  est le nombre de premiers de la base on est sûr qu'on trouvera une vingtaine ou une cinquantaine de relations  $x^2 = y^2 \pmod{N}$ . Comme chaque relation a une chance sur 2 de donner un facteur de  $N$ , on pourra factoriser  $N$ , sauf malchance vraiment exceptionnelle !

#### 10.3.1 Recherche de racine carrée modulo $p$

Pour trouver les solutions  $x$  de  $x^2 - N$  divisible par  $p$ , il faut calculer les racines carrées de  $N$  modulo  $p$ . On procède comme suit :

- si  $p = 2$ , alors  $\sqrt{N} = N$
  - si  $p + 1 = 0 \pmod{4}$ , si  $N$  est un carré alors  $N^{(p-1)/2} = 1 \pmod{p}$  donc  $\pm N^{(p+1)/4} \pmod{p}$  est la racine cherchée (calcul effectué par l'algorithme de la puissance rapide).
  - sinon on cherche le pgcd de  $x^2 - N$  avec  $\text{powmod}(x+r, (p-1)/2, p, x^2 - N)$  où  $r$  est aléatoire, il y a une chance sur 2 que le pgcd soit de degré 1.
- Si  $p$  est assez petit (disons  $p < \sqrt{2^{31}}$ ), il est plus rapide de tester les carrés

7. Il n'existe à ma connaissance pas de résultat sur pourquoi ces choix de  $f$  donnent des entiers bien répartis par rapport au hasard



mod  $p$  de  $k = 1, 2, 3, \dots, (p-1)/2$ . Comme  $(k+1)^2 = k^2 + 2 * k + 1 \pmod{p}$ , cela se résume à faire un shift (\*2) une addition, un test si  $\geq p$  et dans ce cas une soustraction, puis un test d'égalité avec  $N$ , le tout avec des entiers courts (32 bits) ce qui est très rapide.

## 11 Factorisation des polynômes.

On présente ici quelques algorithmes utilisés pour factoriser un polynôme à coefficients entiers. Pour un polynôme en une variable, cela se fait en plusieurs étapes : on commence par se ramener à un polynôme  $P$  dont tous les facteurs sont de multiplicité un, ensuite on factorise  $P$  dans  $\mathbb{Z}/p\mathbb{Z}$  (par la méthode de Berlekamp ou Cantor-Zassenhaus), puis on remonte à  $\mathbb{Z}/p^k\mathbb{Z}$  pour  $k$  suffisamment grand (en fonction de la borne de Landau sur les facteurs de  $P$ ), et on recombine enfin les facteurs modulaires pour trouver les facteurs de  $P$ . Lorsque  $P$  à plusieurs variables, on utilise une méthode analogue à celle permettant de trouver le pgcd de polynômes à plusieurs variables.

### Rappel

Le pgcd des coefficients d'un polynôme est appelé contenu de ce polynôme. Un polynôme est dit primitif si son contenu est égal à 1.

### 11.1 Les facteurs multiples

Étant donné un polynôme  $P$  à coefficients entiers, on cherche à écrire :

$$P = \prod_{k=1}^n P_k^k$$

où les  $P_k$  n'ont pas de facteurs multiples et sont premiers entre eux deux à deux. Comme on est en caractéristique 0, cela revient à dire que  $\text{pgcd}(P_k, P'_k) = 1$  et  $\text{pgcd}(P_k, P_j) = 1$ . Bien entendu on va utiliser la dérivée de  $P$  dans l'algorithme de recherche des  $P_k$  :

$$P' = \sum_{k=1}^n k P_k' P_k^{k-1} \prod_{j \neq k} P_j^j$$

Soit  $G$  le pgcd de  $P$  et de  $P'$ . On a :

$$G = \prod_{k=1}^n P_k^{k-1},$$

en effet  $G$  divise  $P$  et  $P'$  :

$$W_1 = \frac{P}{G} = \prod_{k=1}^n P_k, \quad Z_1 = \frac{P'}{G} = \sum_{k=1}^n k P_k' \prod_{j \neq k} P_j^j$$

il s'agit de vérifier que  $W_1$  et  $Z_1$  sont premiers entre eux. Soit  $F$  un facteur irréductible du pgcd de  $W_1$  et  $Z_1$ , alors  $F$  divise l'un des  $P_k$ , appelons  $P_l$  ce facteur. Comme  $F$  divise  $\prod_{j \neq k} P_j^j$  si  $k \neq l$ , on en déduit que  $F$  divise le dernier terme de la somme de  $Z_1$ , c'est-à-dire que  $F$  divise  $l P_l' \prod_{j \neq l} P_j^j$  donc  $F$  divise  $P_l'$  puisque les  $P_k$  sont premiers entre eux. Donc  $P_l$  et  $P_l'$  ont un facteur en commun, ce qui est contraire aux hypothèses.

On pose alors :

$$Y_1 = Z_1 - W'_1 = \sum_{k>1} (k-1)P'_k \Pi_{j \neq k} P_j$$

On définit alors par récurrence des suites de polynômes  $W_n$ ,  $Y_n$  et  $G_m$  par :

- $G_m = \text{pgcd}(W_m, Y_m)$
- $W_{m+1} = W_m/G_m$  et  $Y_{m+1} = Y_m/G_m - W'_{m+1}$

On va montrer que  $P_m = G_m$ . Commençons au rang  $n = 1$ , on voit que  $P_1$  divise  $Y_1$  (puisque'il est commun à tous les  $\Pi_{j \neq k} P_j$  car  $k > 1$ ) et divise  $W_1$ . Et c'est le seul facteur commun, car tout autre facteur irréductible serait un diviseur d'un  $P_l$  pour  $l > 1$ , donc diviserait  $(l-1)P'_l \Pi_{j \neq l, j>1} P_j$ , donc diviserait  $P'_l$ . Le raisonnement en un rang quelconque est identique, les polynômes sont donnés par :

$$G_m = P_m, W_m = \Pi_{k>m} P_k, Y_m = \sum_{k>m} (k-m)P'_k \Pi_{j \geq m, j \neq k} P_j$$

Lorsqu'on programme cet algorithme, le test d'arrêt est  $G_m = 1$ .

#### **Square-free factorisation (Algorithme de Yun)**

Argument : un polynôme primitif  $P$  à coefficients entiers (ou dans  $\mathbb{Z}[i]$  ou dans un corps de caractéristique nulle).

Valeur renvoyée : une liste de polynômes  $P_m$  telle que  $P = \Pi_{k=1}^n P_k^k$ .

1. Initialiser la liste résultat à liste vide.
2. Initialiser  $W$  à  $P$  et  $Y$  à  $P'$ . Calculer le pgcd  $G$  de  $W$  et  $Y$  et simplifier  $W$  et  $Y$  par leur pgcd puis poser  $Y = Y - W'$ .
3. Boucle tant que  $Y \neq 0$ .
4. Calculer le pgcd  $G$  de  $W$  et  $Y$ . Ajouter  $G$  à la liste résultat.
5. Simplifier  $W$  et  $Y$  par  $G$ , puis poser  $Y = Y - W'$  et passer à l'itération suivante.

Remarque : lorsqu'on veut factoriser un polynôme à coefficients modulaires, il faut aussi se ramener à un polynôme sans facteurs multiples mais on ne peut pas utiliser cet algorithme tel quel car la caractéristique du corps n'est pas nulle.

#### **Exemple :**

Factorisation sans facteurs multiples de  $P(X) = (X^3 - 1)(X + 2)^2(X^2 + 3)^3$ . En mode interactif avec un logiciel de calcul formel, effectuons l'étape d'initialisation :

```
W:=normal ((x^3-1)*(x+2)^2*(x^2+3)^3);
Y:=diff(W,x);
G:=gcd(W,Y);
x^5+2*x^4+6*x^3+12*x^2+9*x+18
W:=normal(W/G);
x^6+2*x^5+3*x^4+5*x^3+-2*x^2+-3*x-6
Y:=normal(Y/G);
Y:=normal(Y-diff(W,x));
5*x^5+8*x^4+3*x^3+-5*x^2+-8*x-3
```

On vérifie bien que  $W = (x + 2) * (x^3 - 1) * (x^2 + 3)$  est le produit des facteurs  $P_i$ . On entame maintenant la boucle :

```
G:=gcd(W, Y) ;
      x^3-1      -> P1
Y:=normal(Y/G) ;
W:=normal(W/G) ;
Y:=normal(Y-diff(W, x)) ;
      2*x^2+4*x
G:=gcd(W, Y) ;
      x+2      -> P2
Y:=normal(Y/G) ;
W:=normal(W/G) ;
Y:=normal(Y-diff(W, x)) ;
      0
G:=gcd(W, Y) ;
      x^2+3      -> P3
```

puis  $W = 1$  et  $Y = 0$  et le prochain  $G$  vaut 1, on a bien trouvé tous les facteurs  $P_i$ .

## 11.2 Factorisation en une variable

On suppose maintenant qu'on veut factoriser un polynôme  $P$  sans facteur multiple (et primitif). En général on commence par simplifier  $P$  par ses facteurs linéaires (détectés avec l'algorithme présenté dans le premier article de cette série). On commence par chercher un nombre premier  $p$  tel que  $P$  dans  $\mathbb{Z}/p\mathbb{Z}$  conserve le même degré et reste sans facteur multiple (donc  $\text{pgcd}(P, P')=1$  dans  $\mathbb{Z}/p\mathbb{Z}$ ), ce qui est toujours possible (il suffit de prendre  $p$  plus grand que le plus grand entier apparaissant dans l'algorithme du sous-résultant pour calculer le pgcd de  $P$  et  $P'$  dans  $\mathbb{Z}$ ).

### Convention

Tous les polynômes ayant leurs coefficients dans un corps fini sont supposés avoir comme coefficient dominant 1 lorsque le choix existe (par exemple les facteurs d'un polynôme modulo  $p$ ).

### 11.2.1 Factorisation dans $\mathbb{Z}/p\mathbb{Z}[X]$

On suppose qu'on a un polynôme  $P$  à coefficients dans  $\mathbb{Z}/p\mathbb{Z}$  sans facteur multiple. Il s'agit de factoriser  $P$  dans  $\mathbb{Z}/p\mathbb{Z}[X]$ . Il existe essentiellement deux stratégies, l'une commence par factoriser par groupes de facteurs de même degré puis casse les facteurs et l'autre plus directe à base d'algèbre linéaire modulaire (méthode de Berlekamp). Dans les deux cas, on utilise le fait que si  $F$  est un polynôme, alors les polynômes à coefficients dans  $\mathbb{Z}/p\mathbb{Z}$  modulo  $F$  forment un anneau  $A$  qui est aussi un espace vectoriel sur  $\mathbb{Z}/p\mathbb{Z}$  de dimension le degré de  $F$  (si  $F$  est irréductible, alors  $A$  est un corps). On s'intéresse alors aux propriétés de l'application  $\varphi : x \in A \mapsto x^p$ . On observe d'abord que cette application est une application *linéaire*. Cela découle du petit théorème de Fermat pour  $\varphi(\lambda x) = \lambda \varphi(x)$  et de la formule de Newton et de la primalité de  $p$  pour  $\varphi(x + y) = \varphi(x) + \varphi(y)$ .

### Calcul de $\varphi$

Pour mettre en oeuvre ces algorithmes, on commence par déterminer la matrice

de l'endomorphisme  $\varphi : x \mapsto x^p$  dans  $\mathbb{Z}/p\mathbb{Z}[X] \pmod{P(X)}$  muni de sa base canonique  $\{1, X, \dots, X^{\deg(P)-1}\}$ .

### 11.2.2 Distinct degree factorization

Cette méthode consiste à détecter les groupes de facteurs ayant un degré donné (distinct degree factorization). Si nécessaire, on utilise ensuite un autre algorithme pour casser ces groupes. On utilise ici les propriétés des itérées de l'application linéaire  $\varphi$  sur des espaces vectoriels de corps de base  $\mathbb{Z}/p\mathbb{Z}$ . On va déterminer le produit  $P_k$  de tous les facteurs de  $P$  de degré  $k$  en calculant le pgcd de  $P$  et de  $X^{(p^k)} - X$  dans  $\mathbb{Z}/p\mathbb{Z}[X]$ .

Pour  $k = 1$ ,  $X^p - X$  est le produit des  $X - k$  pour tout  $k \in \mathbb{Z}/p\mathbb{Z}$  par le petit théorème de Fermat ( $k^p = k \pmod{p}$ ), donc le pgcd de  $P$  et de  $X^{(p^1)} - X$  dans  $\mathbb{Z}/p\mathbb{Z}[X]$  est le produit des facteurs de  $P$  de degré 1.

Pour  $k > 1$ , le raisonnement se généralise de la manière suivante : on considère un facteur irréductible  $F(X)$  de  $P$  de degré  $k$  et le corps  $K = (\mathbb{Z}/p\mathbb{Z})[Y] \pmod{F(Y)}$ . Le corps  $K$  est un corps fini, c'est aussi un espace vectoriel sur  $\mathbb{Z}/p\mathbb{Z}$  de dimension  $k$ , donc  $K$  possède  $p^k$  éléments et  $K^*$  est un groupe multiplicatif à  $p^k - 1$  éléments, donc tout élément de  $K^*$  vérifie l'équation  $x^{p^k-1} = 1$  donc tout élément de  $K$  vérifie  $x^{(p^k)} = x$ . En particulier pour  $x = Y \pmod{F(Y)}$  on trouve que  $Y^{(p^k)} = Y \pmod{F(Y)}$  donc  $F(X)$  divise  $X^{(p^k)} - X$  dans  $\mathbb{Z}/p\mathbb{Z}$ .

Réciproquement, si on se donne un facteur irréductible  $F$  qui divise  $X^{p^k} - X$ , soit  $K$  le corps correspondant à  $F$ , alors le noyau de l'application linéaire

$$x \in K \mapsto x^{p^k} - x \in K$$

est  $K$  tout entier, car  $Y = Y^{p^k} \pmod{F}$  entraîne  $(Y^2)^{(p^k)} = Y^{2p^k} = (Y^{p^k})^2 = Y^2 \pmod{F}$  et de même pour les autres puissances de  $Y$  qui, avec  $Y^0 = 1$  également dans le noyau, forment une base de l'espace vectoriel  $K$  sur  $\mathbb{Z}/p\mathbb{Z}$ . Donc le nombre d'éléments de  $K$  est inférieur ou égal au degré du polynôme  $X^{p^k} - X$  (puisque  $X^{(p^k)} - X$  est divisible par  $X - x$  pour tout  $x \in K$ ), donc le degré de  $F$  est inférieur ou égal à  $k$ .

Donc  $P_k$  est égal au pgcd de  $P/\prod_{j < k} P_j$  avec  $X^{p^k} - X$ .

#### Algorithme distinct degree factorization

Argument : un polynôme  $P$  à coefficients entiers sans facteur multiple et primitif. Valeur renvoyée : la liste  $L$  des produits des facteurs irréductibles et du degré correspondant de  $P$  (ordonné par ordre croissant de degré).

On commence par initialiser  $L$  à vide et un polynôme auxiliaire  $Q$  à  $X$  (il contiendra les valeurs de  $X^{p^k} - X \pmod{P}$ ), on fait une boucle indéfinie sur  $k$  commençant à 1 et incrémenté de 1 à chaque itération

- Si  $k$  est strictement plus grand que le degré de  $P$  divisé par 2, on rajoute le couple  $(P, \deg(P))$  à  $L$  et on renvoie  $L$
- On remplace  $Q$  par  $Q^p \pmod{P}$  en utilisant le calcul de  $\varphi$  modulo  $P$
- On calcule le pgcd  $G$  de  $Q - X$  et de  $P$ .
- Si  $G$  vaut 1, on passe à l'itération suivante
- On rajoute le couple  $(G, k)$  à la liste  $L$  et on remplace  $P$  par le quotient de  $P$  par  $G$ .

**Exemple :**

Factorisation en degré distincts de  $(X^3 + X + 1)(X^4 - X + 1)$  dans  $\mathbb{Z}/5\mathbb{Z}$ . On regarde d'abord si  $P$  reste sans facteur multiple après réduction modulo 5.

```
P:=normal((x^3+x+1)*(x^4-x+1) mod 5);
gcd(P,diff(P,x));
1 mod 5 -> ok P est sans facteur multiple
P1:=gcd(P,(x^5-x) mod 5);
(1 mod 5)*x -2 mod 5 -> P1
P:=normal(P/P1);
P2:=gcd(P,(x^(5^2)-x) mod 5);
1 mod 5 -> pas de facteur de degré 2
P3:=gcd(P,(x^(5^3)-x) mod 5);
(x^6+2*x^5+x^2+x+2) mod 5
```

Donc  $P$  admet 3 facteurs dans  $\mathbb{Z}/5\mathbb{Z}$  : un de degré 1 ( $x - 2$ ) et deux de degré 3 (dont le produit est  $x^6 + 2x^5 + x^2 + x + 2$ ).

Le même calcul dans  $\mathbb{Z}/7\mathbb{Z}$  donne

```
P:=normal((x^3+x+1)*(x^4-x+1) mod 7);
gcd(P,diff(P,x));
1 mod 7 -> ok P est sans facteur multiple
P1:=gcd(P,(x^7-x) mod 7);
1 mod 7
P2:=gcd(P,(x^(7^2)-x) mod 7);
1 mod 7
P3:=gcd(P,(x^(7^3)-x) mod 7);
(x^3+x+1) mod 7
```

donc  $P$  possède un facteur de degré 3 modulo 7, donc le facteur restant de degré 4 est forcément irréductible.

On remarque sur cet exemple que 7 est plus intéressant que 5, car la factorisation modulo 7 donne moins de facteurs (à recombinaison pour trouver la factorisation dans  $\mathbb{Z}$ ) et la factorisation est complète modulo 7 alors que modulo 5 il faut casser le facteur de degré 6 en deux facteurs de degré 3. La plupart des algorithmes de factorisation effectuent la factorisation en degré distinct modulo plusieurs entiers (ce qui peut de plus être parallélisé) et choisissent le meilleur.

**11.2.3 La méthode de Cantor-Zassenhaus**

Cet algorithme sert à casser des groupes de facteurs de même degré, c'est une méthode probabiliste. On suppose donc qu'on a un produit  $P$  d'au moins deux facteurs irréductibles de degré  $d$  à casser. Soit  $D$  l'un des polynômes irréductibles de degré  $d$  à coefficients dans  $\mathbb{Z}/p\mathbb{Z}$ , et soit  $K = \mathbb{Z}/p\mathbb{Z}[Y] \pmod{D(Y)}$ , on a :

$$X^{p^d} - X = \prod_{\alpha \in K} (X - \alpha)$$

puisque le corps  $K$  possède  $p^d$  éléments tous racines de l'équation  $X^{p^d} = X$ .

On considère un polynôme  $T$  non constant, et le polynôme  $T^{p^d} - T$ . En remplaçant  $X$  par  $T$  ci-dessus, on en déduit :

$$T^{p^d} - T = \prod_{\alpha \in K} (T - \alpha)$$

Donc pour tout élément  $\beta \in K = \mathbb{Z}/p\mathbb{Z}[Y] \pmod{D(Y)}$ , on a

$$(T^{p^d} - T)(\beta) = \prod_{\alpha \in K} (T(\beta) - \alpha) = 0$$

Donc  $T^{p^d} - T$  est divisible par  $X^{p^d} - X$  (puisque toutes les racines du second sont racines du premier), donc est divisible par tout polynôme irréductible de degré inférieur ou égal à  $d$  à coefficients dans  $\mathbb{Z}/p\mathbb{Z}$ . Comme

$$T^{p^d} - T = T(T^{\frac{p^d-1}{2}} - 1)(T^{\frac{p^d+1}{2}} - 1) \quad (17)$$

et que ces trois facteurs sont premiers entre eux, on en déduit que tout polynôme irréductible de degré inférieur ou égal à  $d$  à coefficients dans  $\mathbb{Z}/p\mathbb{Z}$  divise l'un des trois facteurs ci-dessus. Pour casser  $P$ , l'idée consiste alors à calculer le pgcd de  $P$  et  $T^{\frac{p^d-1}{2}} - 1$  pour un polynôme pris au hasard. On sait que  $P$  divise le produit des 3 termes de (17), et on espère que les facteurs irréductibles de  $P$  ne diviseront pas tous le même terme.

On va montrer que si  $T$  est un polynôme de degré  $\leq 2d - 1$  choisi au hasard, la probabilité que deux facteurs irréductibles de  $P$  ne divisent pas  $T^{p^d} - T$  est proche de 0.5. Soient donc  $A$  et  $B$  deux facteurs irréductibles de  $P$  de degré  $d$ . D'après l'identité de Bézout, tout polynôme  $T$  de degré  $\leq 2d - 1$  s'écrit de manière unique sous la forme :

$$T = AU + BV \quad (18)$$

avec  $\deg(U) \leq d - 1$  et  $\deg(V) \leq d - 1$  et réciproquement une combinaison linéaire de cette forme est un polynôme de degré  $\leq 2d - 1$ . Choisir  $T$  au hasard revient donc à choisir un couple  $(U, V)$  de polynômes à coefficients dans  $\mathbb{Z}/p\mathbb{Z}$  au hasard et de manière indépendante. D'autre part,  $A$  et  $B$  étant de degré  $d$ , on sait que dans  $K = \mathbb{Z}/p\mathbb{Z}[Y] \pmod{D(Y)}$  ces polynômes admettent  $d$  racines. Soit donc  $\alpha$  [respectivement  $\beta$ ] une racine de  $A$  [resp.  $B$ ] dans  $K$ . Alors  $A$  divise  $T^{\frac{p^d-1}{2}} - 1$  si et seulement si  $T(\alpha)^{\frac{p^d-1}{2}} = 1$  (et de même pour  $B$  et  $\beta$ ) car  $T^{\frac{p^d-1}{2}} - 1$  a ses coefficients dans  $\mathbb{Z}/p\mathbb{Z}$  (et non dans  $K$ ). En appliquant (18),  $A$  divise  $T^{\frac{p^d-1}{2}} - 1$  si et seulement si :

$$B(\alpha)^{\frac{p^d-1}{2}} V(\alpha)^{\frac{p^d-1}{2}} = 1$$

Le premier terme de cette égalité est une constante égale à 1 ou -1, le second a une probabilité proche de 0.5 (égale à  $\frac{p^d-1}{2p^d}$ ) de valoir 1 ou -1 car, comme  $A$  est irréductible,  $V(\alpha)$  décrit  $K$  lorsque  $V$  décrit les polynômes de degré  $\leq d - 1$ . De même,  $B$  a une probabilité proche de 0.5 de diviser  $T^{\frac{p^d-1}{2}} - 1$ , et ces 2 probabilités sont indépendantes puisque  $U$  et  $V$  le sont, donc la probabilité que soit  $A$  soit  $B$  divise  $T^{\frac{p^d-1}{2}} - 1$  est proche de 0.5.

#### Algorithme de Cantor-Zassenhaus

Argument : Un polynôme  $P$  à coefficients dans  $\mathbb{Z}/p\mathbb{Z}$  de degré  $k$  dont tous les facteurs irréductibles sont de degré  $d$ .

Valeur renvoyée : la liste des facteurs irréductibles de  $P$ .

- Si  $k = d$  renvoyer une liste contenant  $P$ .

- Déterminer un polynôme  $T$  aléatoire de degré inférieur ou égal à  $2d - 1$  et de coefficient dominant 1. Calculer le pgcd  $D$  de  $P$  et de  $T^{(p^d-1)/2} - 1$ . Si le degré de  $T$  est égal à 0 ou à  $k$  recommencer cette étape.
- Appeler récursivement cet algorithme avec  $T$  et  $P/T$  et renvoyer la liste réunion des deux listes renvoyées.

**Exemple :**

Cassons le polynôme de degré 6 obtenu dans l'exemple précédent (modulo 5). Donc  $P := (x^6 + 2x^5 + x^2 + x + 2) \pmod{5}$  et  $d = 3$ ,  $2d - 1 = 5$ ,  $(p^d - 1)/2 = 62$ . On choisit au hasard un polynôme de degré inférieur ou égal à 5, par exemple  $T = x^4 - x^3 + x + 1$ , puis on calcule  $T^{62}$  modulo  $P$  ce qui donne  $(x^5 + x^3 + x^2 + 1) \pmod{5}$  puis le pgcd de  $T^{62} - 1$  et de  $P$  qui vaut  $x^3 + x + 1 \pmod{5}$ , on a donc cassé  $P$  en deux. En prenant  $T := x^4 - x^3 + x + 2$ , on trouve  $T^{62} = 1 \pmod{P}$ , donc ce  $T$  n'aurait pas permis de casser  $P$ .

#### 11.2.4 La méthode de Berlekamp

Cette méthode permet de factoriser un polynôme sans facteurs multiples, elle peut aussi servir à casser des groupes de facteurs de même degré. Ici on travaille dans l'anneau des polynômes à coefficients dans  $\mathbb{Z}/p\mathbb{Z}$  modulo le polynôme  $P$  et on s'intéresse au noyau de  $\varphi - Id$  (où  $\varphi : x \mapsto x^p$ ). On suppose que  $P = \prod_{j=1}^n F_j$  où les  $F_j$  sont irréductibles et premiers entre eux. On va montrer que le noyau de  $\varphi - Id$  est composé des polynômes  $Q$  tels que  $Q \pmod{F_j}$  est constant (dans  $\mathbb{Z}/p\mathbb{Z}$ ) pour tout  $j$ .

Si  $Q \pmod{F_j} = s_j \in \mathbb{Z}/p\mathbb{Z}$ , alors  $Q^p \pmod{F_j} = s_j^p = s_j$ , donc par le théorème des restes chinois,  $Q = Q^p \pmod{P}$ .

Réciproquement, si  $Q^p - Q = 0 \pmod{P}$ , en utilisant la factorisation :

$$X^p - X = \prod_{j \in \mathbb{Z}/p\mathbb{Z}} (X - j)$$

on en tire  $P$  divise  $Q^p - Q = \prod_{j \in \mathbb{Z}/p\mathbb{Z}} (Q(X) - j)$ , donc  $F_j$  divise l'un des facteurs et  $Q(X) \pmod{F_j} \in \mathbb{Z}/p\mathbb{Z}$ . Le noyau de  $\varphi - Id$  est donc un espace vectoriel de dimension  $n$ , le nombre de facteurs irréductibles de  $P$  et possède donc  $p^n$  éléments (en effet pour tout  $n$  uplet de  $s_j$ , on peut construire un polynôme  $Q$  du noyau par le théorème des restes chinois en posant  $Q \pmod{F_j} = s_j$ ).

L'intérêt du noyau de  $\varphi - Id$  est qu'on peut le calculer sans connaître les  $F_j$ . Une fois ce calcul fait, voyons comment on peut remonter aux  $F_j$ . On connaît déjà la dimension du noyau donc le nombre de facteurs irréductibles. De plus, on remarque que le polynôme constant 1 est un élément du noyau qu'on appellera  $T_1$ , on note alors  $T_2, \dots, T_n$  les autres polynômes unitaires d'une base du noyau. Ensuite, on calcule le pgcd de  $P$  avec  $T_2 - jT_1$  pour  $j \in \mathbb{Z}/p\mathbb{Z}$ . On sait que  $T_2 = s_{2,k} \pmod{F_k}$ , donc  $\text{pgcd}(P, T_2 - jT_1)$  est égal au produit des facteurs  $F_k$  tels que  $s_{2,k} = jT_1$ . L'un au moins des pgcd calculés est non trivial car sinon  $T_2 = T_1 \pmod{F_j}$  pour tout  $j$  donc  $T_2 = T_1$ . Si on a de la chance tous les  $s_{2,j}$  seront distincts et les pgcd non triviaux de  $P$  avec  $T_2 - jT_1$  donneront les  $F_k$ . Sinon il faudra continuer avec  $T_3 - jT_1$  etc.

**Exemple :**

Revenons sur la factorisation de  $P := (x^6 + 2x^5 + x^2 + x + 2) \pmod{5}$ . Commençons par calculer la matrice de  $\varphi$  dans la base  $\{1, x, x^2, \dots, x^5\}$ . On a évidemment  $\varphi(1) = 1$  et  $\varphi(x) = x^5$ , puis  $\varphi(x^2) = x^{10} = x^5 + x^4 - 2x^3 + x \pmod{P}$ , puis en

multipliant par  $x^5$  et en divisant par  $P$ ,  $\varphi(x^3) = -x^4 + 2x^3$ , de la même manière on obtient  $\varphi(x^4) = -x^5 + 2x^4 + x^3 - x^2 - 2$  et  $\varphi(x^5) = x^3 + x^2 - x$ . La matrice de  $\varphi$  est donc :

$$M = \begin{pmatrix} 1 & 0 & 0 & 0 & -2 & 0 \\ 0 & 0 & 1 & 0 & 0 & -1 \\ 0 & 0 & 0 & 0 & -1 & 1 \\ 0 & 0 & -2 & 2 & 1 & 1 \\ 0 & 0 & 1 & -1 & 2 & 0 \\ 0 & 1 & 1 & 0 & -1 & 0 \end{pmatrix}$$

On calcule ensuite le noyau de  $\varphi - Id$  (comme matrice à coefficients dans  $\mathbb{Z}/5\mathbb{Z}$ ), on obtient une base du noyau en prenant par exemple les vecteurs  $(-1, 0, 0, 0, 0, 0)$  et  $(0, 0, -1, -1, 0, -1)$ . Donc le polynôme  $P$  possède 2 facteurs dans  $\mathbb{Z}/5\mathbb{Z}[X]$ . Pour déterminer les facteurs, on calcule le pgcd de  $P$  avec le polynôme  $T_2 - s$  où  $T_2 = -x^5 - x^3 - x^2$  correspond au 2ème vecteur de la base du noyau. On obtient pour  $s = 0$  un pgcd non trivial  $(x^3 + x + 1)$ , ce qui permet de calculer les 2 facteurs. Si on avait essayé d'autres valeurs de  $s$ , pour  $s = 1$  on obtient comme pgcd 1, pour  $s = 2$  on trouve le 2ème facteur  $x^3 + 2x^2 - x + 2$ .

### 11.2.5 Remontée (Hensel)

Il s'agit de passer d'une factorisation de  $P$  dans  $\mathbb{Z}/p\mathbb{Z}[X]$  à une factorisation de  $P$  dans  $\mathbb{Z}/p^k\mathbb{Z}[X]$ , la méthode est analogue à celle de l'algorithme EZGCD de calcul de pgcd de polynômes.

On suppose donc que

$$P = \prod_{j=1}^n P_j \pmod{p}$$

où les  $P_j$  sont premiers entre eux deux à deux dans  $\mathbb{Z}/p\mathbb{Z}$ . Il s'agit de trouver des polynômes  $P_{j,k} = P_j \pmod{p}$  tels que

$$P = \prod_{j=1}^n P_{j,k} \pmod{p^k}$$

Commençons par le cas  $k = 2$ . On pose

$$P_{j,2} = P_j + pQ_j = P_j \pmod{p}$$

On a alors :

$$\begin{aligned} P &= \prod_{j=1}^n P_{j,2} \pmod{p^2} = \prod_{j=1}^n (P_j + pQ_j) \pmod{p^2} \\ &= \prod_{j=1}^n P_j + p \sum_{j=1}^n Q_j \prod_{k \neq j} P_k \pmod{p^2} \end{aligned}$$

Donc :

$$\sum_{j=1}^n Q_j \prod_{k \neq j} P_k = \frac{P - \prod_{j=1}^n P_j}{p} \pmod{p}$$

On est ramené à résoudre une identité de Bézout généralisée. On montrera dans l'appendice le :



**Théorème 14** (*Identité de Bézout généralisée*) Soit  $P_1, \dots, P_n$  ( $n \geq 2$ ) des polynômes premiers entre eux deux à deux modulo  $p$ . Alors pour tout polynôme  $Q$ , il existe des polynômes  $Q_1, \dots, Q_n$  tels que :

$$\sum_{j=1}^n Q_j \prod_{k \neq j} P_k = Q \pmod{p}$$

On a donc réussi à remonter l'égalité  $P = \prod P_j \pmod{p}$  à  $P = \prod P_{j,2} \pmod{p^2}$ . Le passage de  $P = \prod P_{j,l} \pmod{p^l}$  à  $P = \prod P_{j,l+1} \pmod{p^{l+1}}$  est identique, on a :

$$P_{j,l+1} = P_{j,l} + p^l Q_j$$

où les  $Q_j$  sont les solutions de l'identité de Bézout généralisée avec :

$$Q = \frac{P - \prod_{j=1}^n P_{j,l}}{p^l}$$

Lorsqu'on programme cet algorithme (cf. l'appendice), on calcule une fois pour toutes les solutions de l'identité de Bézout pour  $Q = 1$ , et on multiplie par  $Q$ .

#### Algorithme de remontée de Hensel linéaire

Arguments : Un polynôme  $P$  à coefficients entiers, la liste  $L = \{P_j\}$  de ses facteurs dans  $\mathbb{Z}/p\mathbb{Z}[X]$

Valeur renvoyée : la liste des facteurs de  $P$  dans  $\mathbb{Z}/p^l\mathbb{Z}[X]$

On calcule la borne de Landau-Mignotte<sup>8</sup> pour les facteurs de  $P$ , on multiplie par le coefficient dominant de  $P$  et on calcule  $l$  tel que  $p^l$  est strictement plus grand que deux fois cette quantité. On calcule aussi les polynômes  $Q_j$  de l'identité de Bézout généralisée pour  $Q = 1$

Puis on fait une boucle pour  $k$  variant de 2 à  $l$  :

- On détermine  $P - \prod_j P_j \pmod{p^k}$ , on divise par  $p^{k-1}$  et on place le résultat dans  $Q$
- On multiplie les polynômes  $Q_j$  de l'identité de Bézout généralisée (correspondants au polynôme 1) par  $Q$  et on détermine le reste de la division euclidienne de  $QQ_j$  par  $P_j$ , on multiplie par  $p^{k-1}$  et on ajoute le résultat à  $P_j$ .

Il existe une version quadratique de cette méthode. On passe alors de  $P = \prod P_{j,l} \pmod{p^l}$  à  $P = \prod P_{j,2l} \pmod{p^{2l}}$ . Pour cela, il faut trouver les polynômes  $Q_j$  solutions de l'équation :

$$\sum_{j=1}^n Q_j \prod_{k \neq j} P_{k,l} = Q \pmod{p^l}$$

Pour  $l = 1$ , c'est l'identité de Bézout généralisée, mais ce n'est plus le cas pour  $l > 1$ . En fait, on résout cette égalité en remontant l'identité de Bézout quadratiquement, plus précisément pour trouver les  $S_j$  solutions de

$$\sum_{j=1}^n S_j \prod_{k \neq j} P_{k,2l} = Q \pmod{p^{2l}}$$

---

8. Rappelons qu'il s'agit d'une majoration sur la valeur absolue des coefficients des facteurs de  $P$

on pose  $S_j = Q_j + p^l R_j$ , il s'agit donc de trouver les  $R_j$  solutions de

$$\sum_{j=1}^n (Q_j + p^l R_j) \Pi_{k \neq j} P_{k,2l} = Q \pmod{p^{2l}}$$

soit :

$$\sum_{j=1}^n R_j \Pi_{k \neq j} P_{k,l} = \frac{Q - \sum_{j=1}^n Q_j \Pi_{k \neq j} P_{k,l}}{p^l} \pmod{p^l}$$

on en déduit les  $R_j$ .

### Algorithme de remontée de Hensel quadratique

Arguments et valeur renvoyée identiques à l'algorithme de remontée de Hensel linéaire ci-dessus.

On commence comme dans le cas linéaire par calculer les coefficients de l'identité de Bézout généralisée pour  $Q = 1$  et la valeur de  $l$  telle que  $p^{2l}$  soit supérieur à deux fois la borne de Landau des facteurs de  $P$  fois le coefficient dominant de  $P$ .

On fait une boucle sur  $k$  variant de 1 à  $l$  :

- On calcule  $P - \Pi_j P_j \pmod{p^{2^k}}$ , on divise par  $p^{2^{k-1}}$  et on place le résultat dans  $Q$
- On multiplie par  $Q$  les polynômes  $Q_j$  de l'identité de Bézout généralisée (avec comme second membre le polynôme 1), on calcule le reste euclidien du résultat par  $P_j \pmod{p^{2^{k-1}}}$ , on multiplie par  $p^{2^{k-1}}$  et on ajoute à  $P_j$  (avec les notations précédentes, on passe ainsi des  $P_{j,2^{k-1}}$  aux  $P_{j,2^k}$ )
- Si  $k = l$  on renvoie la liste des  $P_j$
- On calcule  $1 - \sum_j Q_j \Pi_{k \neq j} P_k \pmod{p^{2^k}}$ , on divise par  $p^{2^{k-1}}$  et on place le résultat dans  $Q$
- On multiplie par  $Q$  les polynômes  $Q_j$  de l'identité de Bézout, généralisée et on calcule le reste euclidien du résultat par  $P_j \pmod{p^{2^{k-1}}}$ , on multiplie par  $p^{2^{k-1}}$  et on ajoute à  $Q_j$  (ce qui ajuste les polynômes  $Q_j$  qui vérifient maintenant l'identité de Bézout modulo  $p^{2^k}$ )

### Remarque

Pendant l'étape de remontée de Hensel, une optimisation classique consiste à tester la divisibilité dans  $\mathbb{Z}$  du polynôme  $P$  par le facteur lifté  $P_j$  <sup>(9)</sup> lorsqu'il n'a pas subi de modification pendant 2 étapes successives (autrement dit lorsque  $P_j \pmod{p^l} = P_j \pmod{p^{l+1}}$  (ou  $\pmod{p^{2l}}$  pour le lift quadratique). Si la division est exacte, on obtient un facteur irréductible de  $P$  dans  $\mathbb{Z}$ . On recalcule alors la borne de Landau de  $P/P_j$  pour diminuer le nombre d'itérations à effectuer dans cette étape.

### Exemple :

Reprenons le polynôme  $P(X) = (X^3 + X + 1)(X^4 - X + 1)$  et supposons qu'on ait choisi de le factoriser modulo 5 puis de remonter. On a 3 facteurs  $a = x - 2$ ,  $b = x^3 + x + 1$  et  $c = x^3 + 2x^2 - x + 2$ . Si on développe  $P$ , on trouve 6 coefficients non nuls de valeur absolue 1, on peut calculer la borne de Landau-Mignotte correspondante sur les coefficients d'un facteur entier :  $2^5(\sqrt{6} + 1)$  soit un peu plus de 110, il suffit donc d'effectuer 3 étapes de remontée linéaire

9. Plus exactement, on multiplie  $P_j$  par le coefficient dominant de  $P$  modulo  $p^l$

( $5^4 = 625 > 111/2$ ). On commence par trouver 3 polynômes  $A, B, C$  tels que

$$A(x^3 + x + 1)(x^3 + 2x^2 - x + 2) + B(x - 2)(x^3 + 2x^2 - x + 2) + C(x - 2)(x^3 + x + 1) = 1 \pmod{5}$$

On commence par résoudre  $D(x^3 + 2x^2 - x + 2) + C(x - 2)(x^3 + x + 1) = 1 \pmod{5}$ , on trouve  $C = 2x^2 - 2$  et  $D = -2x^3 - 2x^2 + 2x + 1$ . Puis on calcule  $A$  et  $B$  en résolvant  $E(x^3 + x + 1) + F(x - 2) = 1$  qui donne  $E = 1$  et  $F = -x^2 - 2x$  qu'on multiplie par  $D$ , donc  $A = D$  et  $B = 2x^5 + x^4 + 2x^3 - 2x$ . Ce qui donne l'identité de Bézout généralisée.

Passons aux calculs de remontée. On a  $abc = x^7 - 4x^5 + 5x^4 + -9x^3 - x^2 - 4$  et  $P = x^7 + x^5 + x^3 - x^2 + 1$ , donc  $Q = (P - abc)/5 = x^5 - x^4 + 2x^3 + 1$ . On pose alors

$$\begin{aligned} a_1 &= a + 5(QA \pmod{a}) \pmod{25}, \\ b_1 &= b + 5(QB \pmod{b}) \pmod{25}, \\ c_1 &= c + 5(QC \pmod{c}) \pmod{25} \end{aligned}$$

donc :

$$a_1 = a + 5 \times (-2), \quad b_1 = b + 5 \times 0, \quad c_1 = c + 5 \times (2x^2 - x)$$

En principe, on continue encore 2 itérations de la même manière. La 2ème itération donne :

$$Q = (P - a_1b_1c_1)/25 = 6x^5 - 3x^4 + 7x^3 + 3x^2 - 2x + 1$$

$$\begin{aligned} a_2 &= a_1 + 25(QA \pmod{a}) \pmod{125}, \\ b_2 &= b_1 + 25(QB \pmod{b}) \pmod{125}, \\ c_2 &= c_1 + 25(QC \pmod{c}) \pmod{125} \end{aligned}$$

donc :

$$a_2 = a_1 + 25(-1) = x - 37, \quad b_2 = b_1 = b, \quad c_2 = c_1 + 25(x^2 + 1) = x^3 + 37x^2 - 6x + 27$$

On peut aussi observer que  $b_1 = b$ , ceci laisse à penser que  $b$  est un facteur de  $P$  dans  $\mathbb{Z}$  ce qu'on vérifie en effectuant la division euclidienne de  $P$  par  $b = x^3 + x + 1$ . Comme elle tombe juste, on est ramené à factoriser  $x^4 - x + 1$  et donc à remonter la factorisation de  $ac$ . La borne de Landau diminue à  $8(\sqrt{3} + 1)$  puisque le degré est 4 et la norme euclidienne du polynôme est  $\sqrt{3}$ . Il suffit alors de remonter dans  $\mathbb{Z}/125\mathbb{Z}$  au lieu de  $\mathbb{Z}/625\mathbb{Z}$  (on gagne ainsi une itération).

### 11.2.6 Combinaison de facteurs

Lorsqu'on a les facteurs de  $P$  dans  $\mathbb{Z}/p^k\mathbb{Z}[X]$  avec  $p^k$  plus grand que le produit du coefficient dominant de  $P$  multiplié par la borne de Landau-Mignotte sur les coefficients de  $P$ , on commence par tester la divisibilité dans  $\mathbb{Z}[X]$  de  $P$  par chaque facteur trouvé multiplié par le coefficient dominant de  $P$ . Si la division est exacte, on a un facteur irréductible, mais si elle n'est pas exacte il peut se produire

qu'un facteur irréductible de  $P$  dans  $\mathbb{Z}[X]$  soit un produit de deux, voir plusieurs, facteurs modulaires. Il faut donc tester la divisibilité de  $P$  dans  $\mathbb{Z}[X]$  par toutes les combinaisons possibles de produits de facteurs modulaires (toujours multiplié par le coefficient dominant de  $P$ ). Cette étape peut être exponentiellement longue si le nombre de facteurs modulaires est grand et si par exemple  $P$  est irréductible, bien que les cas soient très rares.

#### Algorithme de recombinaison

Arguments : un polynôme à coefficients entiers, primitif et sans facteur multiple  $P$  de coefficient dominant  $p_n$ , la liste  $L$  des facteurs de  $P$  dans  $\mathbb{Z}/p^l\mathbb{Z}[X]$  pour  $l$  assez grand et  $p^l$

Valeur de retour : la liste  $F$  des facteurs de  $P$  dans  $\mathbb{Z}$ .

Initialiser  $F$  à vide, initialiser le nombre de facteurs à combiner  $c$  à 1, entamer une boucle infinie :

- Si  $c$  est strictement supérieur au cardinal de  $L$  divisé par 2, ajouter le quotient de  $P$  par le produit des facteurs de  $F$  à  $F$  et retourner  $F$
- Initialiser un vecteur  $v = (v_1, \dots, v_c)$  à  $c$  composantes à la valeur  $(1, \dots, c)$
- Boucle indéfinie intérieure :
  1. Faire le produit des facteurs de  $F$  d'indice  $v$ , multiplier par  $p_n$  dans  $\mathbb{Z}/p^l\mathbb{Z}$ , écrire le facteur en représentation symétrique, le rendre primitif et tester si c'est un facteur de  $P$  dans  $\mathbb{Z}$ .
  2. Si on a trouvé un facteur, le rajouter à la liste  $F$  et supprimer les indices de  $v$  de la liste  $L$ , terminer cette boucle intérieure.
  3. Sinon, incrémenter  $v$  de la manière suivante :  
On fait une boucle sur un index  $m$  initialisé à la taille de  $v$ , diminuant de 1 à chaque itération : on ajoute 1 à l'élément de  $v$  d'indice  $m$ , si l'élément obtenu est inférieur ou égal au cardinal de  $L + m - n$ , on arrête cette boucle, sinon on passe à l'itération suivante. Si  $m = 0$  à la fin de la boucle,  $v$  ne peut pas être incrémenté.
  4. Si  $v$  ne peut être incrémenté, on incrémente  $c$  et on termine la boucle intérieure.
  5. Sinon on fait une boucle à nouveau sur  $m$  en partant de la valeur actuelle incrémentée de 1, et tant que  $m \leq n$  on pose  $v_m = v_{m-1} + 1$ . Puis on passe à l'itération suivante de la boucle intérieure.

Il existe différentes méthodes qui améliorent la complexité de cette étape :

- La recherche des degrés possibles de facteurs fondée sur la factorisation en degrés distincts pour différents nombres premiers permet d'éviter des tests de division si une combinaison de facteurs est d'un degré exclu par la factorisation pour d'autres nombres premiers.
- Le test de divisibilité du coefficient dominant ou du coefficient constant permet aussi d'éviter des divisions complètes de polynômes.

Mais ces astuces n'évitent pas l'énumération de toutes les combinaisons possibles de facteurs et donc la complexité exponentielle. Lorsque les combinaisons d'un petit nombre de facteurs (par exemple 3) échouent, les systèmes récents utilisent l'algorithme knapsack de Van Hoeij basé sur l'algorithme LLL (recherche de base d'un réseau ayant des vecteurs de petite norme) qui permet d'éliminer complètement cette complexité exponentielle.

**Exemple :**

Toujours le même exemple, il nous restait deux facteurs dans  $\mathbb{Z}/125\mathbb{Z}$ , le facteur  $x^3 + x + 1$  ayant été détecté comme un facteur de  $P = x^7 + x^5 + x^3 - x^2 + 1$  dans  $\mathbb{Z}$ . On teste chacun des facteurs  $a_2 = x - 37$  et  $c_2 = x^3 + 37x^2 - 6 * x + 27$  séparément, sans succès. On les multiplie alors modulo 125, ce qui donne  $x^4 - x + 1$  en représentation symétrique qui est bien un facteur de  $P$  (donc un facteur irréductible).

**11.3 Factorisation à plusieurs variables**

Comme pour le PGCD en plusieurs variables, on se ramène d'abord en une variable, en général on évalue toutes les variables sauf celle correspondant au degré partiel le plus faible. On factorise ensuite en une variable puis on remonte. A chaque étape de remontée, il peut être à nouveau nécessaire de combiner plusieurs facteurs. Différentes stratégies existent, comme pour le PGCD : factorisation heuristique (avec reconstruction  $z$ -adique), remontée variable par variable ou toutes les variables en même temps comme dans EZGCD. On va présenter ici plus en détails l'algorithme de factorisation heuristique.

Soit  $P$  un polynôme en  $X_1, \dots, X_n$  à coefficients entiers avec  $n > 1$ , on choisit une des variables par exemple  $X_n$ , qu'on notera  $X$  dans la suite. On considère  $P$  comme un polynôme en  $X_1, \dots, X_{n-1}$  à coefficients dans  $\mathbb{Z}[X]$ . On suppose que  $P$  est primitif (quitte à extraire son contenu qui est dans  $\mathbb{Z}[X]$ ). On calcule ensuite  $P(z)$  pour un entier  $z$  tel que <sup>10</sup>  $|z| \geq 2|P| + 2$ . On factorise  $P(z)$  dans  $\mathbb{Z}[X_1, \dots, X_{n-1}]$  :

$$P(z)(X_1, \dots, X_{n-1}) = c(z) \prod_{j=1}^k p_j(X_1, \dots, X_{n-1}) \quad (19)$$

où  $c$  est le contenu du polynôme  $P(z)$  (comme polynôme en  $n - 1$  variables à coefficients entiers). Il s'agit de reconstruire les facteurs de  $P$  à partir des  $p_j$  et de  $c$ . Deux problèmes se posent alors, celui de la recombinaison possible de plusieurs facteurs  $p_j$  pour obtenir un facteur irréductible de  $P$ , et l'existence d'un facteur entier du contenu  $c$  à combiner avec un ou plusieurs  $p_j$  pour obtenir ce facteur irréductible. Plus précisément, si  $P_k$  est un facteur irréductible de  $P$ , on a :

$$P_k(z) = d(z) \prod_{\text{certains } j} p_j, \quad \text{où } d(z) \text{ divise } c(z) \quad (20)$$

On a le :

**Théorème 15** Soit  $P(X_1, \dots, X_{n-1}, X)$  un polynôme à coefficients entiers ayant au moins 2 variables. On suppose que  $P$  est primitif vu comme polynôme en les variables  $X_1, \dots, X_{n-1}$  à coefficients dans  $\mathbb{Z}[X]$ . Il existe une majoration  $C$  du contenu  $|c(z)|$  de  $P$  évalué en  $X = z$  (plus précisément on peut trouver un entier  $C$  tel que  $c(z)$  divise  $C$ ).

Il existe un nombre fini de  $z$  tels que l'un des facteurs irréductibles  $P_k$  de  $P$  évalué en  $X = z$  soit réductible (c'est-à-dire tels que (20) admette plusieurs facteurs  $p_j$  distincts)

**Preuve**

Pour déterminer  $C$ , on remarque que les facteurs du contenu de  $P(z)$  sont des

10. Ici  $|P|$  désigne le plus grand coefficient de  $P$  en valeur absolue

facteurs communs des coefficients de  $P$  évalués en  $z$  vu comme polynôme en  $X_1, \dots, X_{n-1}$  à coefficients dans  $\mathbb{Z}[X]$ . Donc  $c(z)$  divise le générateur de l'idéal engendré par ces coefficients (ce générateur est un polynôme de  $\mathbb{Z}[X]$  qui est constant car on a supposé  $P$  primitif), on peut aussi dire que deux au moins des coefficients dans  $\mathbb{Z}[X]$  de  $P$  sont premiers entre eux, alors  $c(z)$  divise le coefficient de l'identité de Bézout de ces 2 coefficients vu comme polynômes en  $X$ .

Considérons maintenant un facteur irréductible  $P_k$  de  $P$  de degré  $d$  par rapport à  $X$ . Pour  $X_1, \dots, X_{n-1}$  fixés, on factorise  $P_k$  sur  $\mathbb{C}$  :

$$P_k(X) = p_k \prod_{j=1}^d (X - z_j)$$

On va maintenant se restreindre à un domaine des  $X_1, \dots, X_{n-1}$  sur lequel les  $z_j$  ont une dépendance analytique par rapport à  $X_1, \dots, X_{n-1}$ . Pour cela on veut appliquer le théorème des fonctions implicites pour déterminer  $z_j$  au voisinage d'une solution donnée. On calcule donc la dérivée  $P'_k$  de  $P_k$  par rapport à  $X$ . On sait que  $P$  n'a pas de facteurs multiples, donc  $P_k$  et  $P'_k$  sont premiers entre eux, donc d'après l'identité de Bézout, il existe un polynôme non nul  $D$  dépendant de  $X_1, \dots, X_{n-1}$  et deux polynômes  $U$  et  $V$  dépendant de  $X_1, \dots, X_{n-1}, X$  tels que :

$$UP_k + VP'_k = D$$

Si  $D(X_1, \dots, X_{n-1})$  ne s'annule pas, on va pouvoir appliquer le théorème des fonctions implicites. On se fixe  $x_1, \dots, x_{n-1}$ , on calcule dans  $\mathbb{C}$  les racines  $z_j$  du polynôme  $P(x_1, \dots, x_{n-1}, X)$  pour une solution  $z_j$  telle que  $P(x_1, \dots, x_{n-1}, z_j) = 0$ , comme  $D$  est non nul, on a  $P'(x_1, \dots, x_{n-1}, z_j) \neq 0$ , donc on peut écrire au voisinage de  $(x_1, \dots, x_{n-1})$

$$z_j = z_j(X_1, \dots, X_{n-1}), \quad P(X_1, \dots, X_{n-1}, z_j) = 0$$

avec des fonctions  $z_j$  analytiques. Si  $D$  est constant,  $D$  ne s'annule pas, sinon quitte à permuter les variables, on peut supposer que le degré de  $D$  par rapport à  $X_1$  est non nul. On peut alors se restreindre à une zone  $X_1 \gg X_2 \gg \dots \gg X_{n-1} \gg 1$  où  $D$  sera non nul ce qui permet de suivre analytiquement les  $z_j$ .

Supposons maintenant qu'il existe un nombre infini de  $z$  tels  $P_k(z)$  soit réductible. Alors il existe un ensemble infini  $Z$  de ces valeurs de  $z$  pour lesquels l'un des facteurs à coefficients entiers  $f_j$  de  $P_k(z)$  correspond à un même sous-ensemble  $R$  des racines  $z_j$  de  $P_k$  et à un même contenu  $c$  (puisque'il y a un nombre fini de combinaisons possibles des racines en facteur et un nombre fini de diviseurs possibles du contenu de  $P_k$ ). Pour  $z \in Z$ , on a :

$$f_j(X_1, \dots, X_n, z) = c \prod_{l \in R} (z - z_l), \quad f_j \in \mathbb{Z}[X_1, \dots, X_{n-1}]$$

Soit  $L(X)$  le polynôme obtenu par interpolation de Lagrange en  $\text{cardinal}(R) + 1$  points  $z$  de  $Z$ , égal à  $f_j$  en  $X = z$ . Pour des raisons de degré, on a :

$$L = c \prod_{l \in R} (X - z_l)$$

donc  $L$  est un facteur de  $P$ . De plus  $L$  est un polynôme en  $X_1, \dots, X_{n-1}, X$  à coefficients rationnels (par construction). Ceci vient en contradiction avec l'hypothèse  $P_k$  irréductible, car on a construit un facteur de  $P_k$  à coefficients rationnels  $L$  de degré strictement inférieur.

### Corollaire

Pour  $z$  assez grand, la reconstruction  $z$ -adique de  $c(z)p_j(z)$  est un polynôme dont la partie primitive est un facteur irréductible de  $P$ .

### Preuve du corollaire

On prend  $z$  assez grand pour que tous les facteurs irréductibles de  $P$  évalués en  $z$  aient un seul facteur polynomial (i.e. soient de la forme  $d(z)p_j(z)$ ). Quitte à augmenter  $z$ , on peut supposer que  $|z| > 2CL$  où  $C$  est la majoration de  $|c(z)|$  et  $L$  est la borne de Landau sur les facteurs de  $P$ . Alors la reconstruction  $z$ -adique de  $c(z)p_j(z)$  est  $c(z)/d(z)P_j$ , donc sa partie primitive est un facteur irréductible de  $P$ .

### Algorithme de factorisation heuristique à plusieurs variables

Argument : un polynôme  $P$  primitif en au moins 2 variables.

Valeur renvoyée : les facteurs irréductibles de  $P$

Choisir la variable  $X$  par rapport à laquelle  $P$  est de plus bas degré puis factoriser le contenu de  $P$  vu comme polynôme à coefficients dans  $\mathbb{Z}[X]$ . Initialiser un entier  $z$  à  $2|P| + 2$  (où  $|P|$  est le plus grand coefficient entier de  $P$  en valeur absolue) et une liste  $L$  à la factorisation de du contenu de  $P$ .

Boucle indéfinie :

- Si  $P = 1$  renvoyer la liste  $L$  des facteurs de  $P$ .
- Tant que  $\text{pgcd}(P(z), P'(z)) = 0$  incrémenter  $z$  de 1.
- Factoriser  $P(z) = c(z)\Pi p_j$
- Pour tous les facteurs  $p_j$ , déterminer le polynôme  $P_j$  tel que  $c(z)p_j = P_j(z)$  par remontée  $z$ -adique (avec les coefficients de  $P_j$  écrit en représentation symétrique, de valeur absolue plus petite que  $|z|/2$ ). Tester si la partie primitive de  $P_j$  divise  $P$ . Si oui, rajouter un facteur irréductible à la liste  $L$ , et diviser  $P$  par ce facteur.
- Augmenter  $z$ , par exemple remplacer  $z$  par la partie entière de  $\sqrt{2}z$ .

## 11.4 Preuve de l'identité de Bézout généralisée

Elle se fait par récurrence. Pour  $n = 2$ , c'est l'identité de Bézout usuelle. Pour passer du rang  $n - 1$  au rang  $n$ , on isole  $P_n$  dans l'identité à résoudre :

$$\left( \sum_{j=1}^{n-1} Q_j (\Pi_{1 \leq k \leq n-1, k \neq j} P_k) \right) P_n + Q_n \Pi_{k \leq n-1} P_k = Q \pmod{p}$$

Comme  $P_n$  est premier avec  $\Pi_{k \leq n-1} P_k$ , en appliquant Bézout, on trouve deux polynômes  $Q_n$  et  $R_n$  tels que :

$$R_n P_n + Q_n \Pi_{k \leq n-1} P_k = Q \pmod{p} \quad (21)$$

Il reste à résoudre

$$\sum_{j=1}^{n-1} Q_j \Pi_{1 \leq k \leq n-1, k \neq j} P_k = R_n \pmod{p}$$

ce que l'on peut faire par hypothèse de récurrence.

## 11.5 Algorithme de Bézout généralisé

Arguments : une liste  $P_1, \dots, P_n$  de polynômes premiers entre eux 2 à 2 et un polynôme  $Q$  à coefficients dans  $\mathbb{Z}/p\mathbb{Z}$

Valeur renvoyée : la liste de polynômes  $Q_1, \dots, Q_n$  tels que

$$\sum_{j=1}^n Q_j \prod_{k \neq j} P_k = Q \pmod{p}$$

On peut commencer par calculer le produit de tous les  $P_k$  puis faire une boucle sur  $j$  pour calculer les produits des  $P_k$  pour  $k \neq j$  en divisant le produit complet par  $P_j$  (on fait ainsi  $n-1$  multiplications et  $n$  divisions au lieu de  $n(n-1)$  multiplications).

Boucle indéfinie sur  $n$  décrémenté de 1 par itération :

- Si  $n = 2$ , on rajoute à la liste résultat les polynômes  $Q_1$  et  $Q_2$  de l'algorithme de Bézout usuel et on renvoie la liste
- Sinon, on calcule les polynômes  $R_n$  et  $Q_n$  vérifiant (21), on rajoute  $Q_n$  en début de liste, on remplace  $Q$  par  $R_n$ .

Remarquons que lorsque nous utiliserons cet algorithme,  $Q$  sera la différence entre deux polynômes de même degré (le degré de  $P$ ) et de même coefficient dominant 1, on peut donc remplacer les  $Q_i$  par le reste euclidien de  $Q_i$  par  $P_i$  sans changer l'égalité.

## 11.6 Factorisation rationnelle et sur une extension

Pour factoriser des polynômes ayant des coefficients dans des extensions algébriques, il existe un algorithme assez simple, l'algorithme de Trager, qui n'est pas forcément le plus performant (la recherche est encore active dans ce domaine), cf. le livre de Henri Cohen pp. 142-144. Cet algorithme est utilisé lorsqu'on met l'extension algébrique en deuxième argument de `factor` dans Xcas. Pour trouver l'extension algébrique qui permet de factoriser, on peut dans les cas simples essayer `solve`. Si le polynôme  $P$  à factoriser est irréductible sur  $\mathbb{Q}$ , on peut essayer `factor(P, rootof(P))`. Mais en général cela ne permettra d'extraire qu'un seul facteur de degré 1. Pour obtenir une décomposition complète si  $P$  est de petit degré, on peut essayer de construire une extension en formant une expression non symétrique à partir des racines approchées, puis en appliquant toutes les permutations de racines à cette expression et en construisant le polynôme ayant ces racines, si on a suffisamment de précision sur les racines, on peut arrondir le polynôme obtenu, le factoriser sur  $\mathbb{Q}$ , et prendre un des facteurs irréductibles de degré suffisant comme argument de `rootof`.

Par exemple soit à factoriser  $P = x^4 + 3x + 1$  sur  $\overline{\mathbb{Q}}$ . On entre la fonction suivante :

```
f(P):={
  local k,l,p,r,j;
  l:=proot(P);
  if (dim(l)!=4) return "erreur";
  k:=max(abs(l));
  k:=floor(24*log10(1+4*k))+4; // 4 chiffres de precision en plus
  l:=proot(P,k);
```



```

p:=[0,1,2,3];
r:=[];
for j from 0 to 23 do
  k:=1[p[0]]-1[p[1]]+2*1[p[2]];
  r:=append(r,k);
  p:=nextperm(p);
od;
retourne r;
};

```

puis  $q := \text{pcoef}(f(x^4 + 3x + 1))$ , on voit que les coefficients sont presque entiers, on fait donc  $\text{factor}(x^4 + 3x + 1, \text{rootof}(\text{round}(q)))$  qui décompose  $x^4 + 3x + 1$  en 4 facteurs de degré 1. Le polynôme obtenu est de degré 24 (cas générique), si  $P$  est de degré  $n$ , on s'attend à un degré  $n!$ , au-delà de  $n = 5$ , cette méthode est trop couteuse ! Attention aussi, même pour  $n = 4$ , il peut être nécessaire de calculer les racines en multi-précision, par exemple ci-dessus les éléments de  $r$  sont majorés par  $4R$  où  $R$  est un majorant du module des racines de  $P$ , donc les coefficients de  $q$  sont majorés par exemple par  $(1 + 4R)^{24} \approx 2e20$  donc on prend 24 chiffres.

## 11.7 Factorisation absolue

On peut aussi se demander pour un polynôme à coefficients rationnels (square-free) quelle extension permet la factorisation la plus complète. Par exemple  $x^2 + y^2$  est irréductible sur  $\mathbb{Q}[x, y]$  mais pas sur  $\mathbb{Q}[i][x, y]$  ou  $x^4 + y^4$  est irréductible sur  $\mathbb{Q}[x, y]$  mais pas sur  $\mathbb{Q}[\sqrt{2}][x, y]$ . Ceci amène à la notion de *factorisation absolue* d'un polynôme. Une méthode simple (mais pas forcément très efficace) pour déterminer une telle extension algébrique consiste à évaluer toutes les variables sauf une "au hasard" jusqu'à obtenir un polynôme irréductible  $M$ . On factorise alors sur le corps correspondant à  $M$ . Mais cela peut être très long, par exemple pour

$$P(x, y) = y^{10} - 2x^2y^4 + 4x^6y^2 - 2x^{10}$$

on a  $P(x, 1)$  irréductible, on obtient donc la factorisation absolue par les commandes

```

p(x, y) := y^10 - 2x^2*y^4 + 4x^6*y^2 - 2x^10;
p1 := p(1, y); factor(p1); (vérification)
factor(p(x, y), rootof(p1));

```

mais c'est beaucoup plus long que de faire  $\text{factor}(p1, \text{sqrt}(2))$ .

Pour un polynôme à 2 variables (on peut toujours s'y ramener) de degrés partiels  $m, n$  en  $x, y$ , on remarque que le degré  $q \geq 2$  de l'extension nécessaire est égal au nombre de facteurs (chaque facteur étant conjugué d'un facteur donné par échange des racines), qui sont donc tous de même bi-degré  $m/q, n/q$ , en particulier  $q$  divise le PGCD de  $m$  et  $n$  qui doit être non trivial. Ainsi par exemple pour

$$P(X, Y) = Y^4 + 2Y^2 * X + 14Y^2 - 7 * X^2 + 6X + 47$$

$m = 2$  donc  $q$  ne peut être égal qu'à 2, en faisant  $Y = 0$  on obtient que la seule extension possible est  $\sqrt{2}$ .

## 11.8 Compléments

Pour factoriser sur des corps finis, on peut consulter la thèse de Bernardin disponible sur le web (<http://www.bernardin.lu>).

On peut aussi consulter le code source de Mupad, les routines de factorisation se trouvent dans le répertoire `lib/POLYLIB/FACLIB` après avoir désarchivé la `lib.tar`. Le point d'entrée pour factoriser des polynômes à plusieurs variables sur  $\mathbb{Z}$  est le fichier `mfactor.mu`, on observera que l'algorithme utilisé par Mupad est assez différent de celui qu'on a détaillé dans la section précédente.

## 11.9 Exercices (factorisation des polynômes)

1. Déterminer le nombre de racines de  $-x^7 + x^4 + 12x - 5$  comprises entre 0 et 6 (en utilisant les suites de Sturm, on donnera les détails des calculs).
2. Écrire un programme calculant la suite de Sturm d'un polynôme supposé squarefree (on peut tester avec `sqrfree`), en utilisant l'algorithme d'Euclide.
3. Trouver les facteurs de degré 1 s'ils existent de  $3x^5 + 25x^4 + 67x^3 + 77x^2 + 55x + 13$  en remontant ses racines dans  $\mathbb{Z}/p\mathbb{Z}[X]$  pour  $p$  premier bien choisi.
4. Factoriser le polynôme  $x^5 + x + 1$  par la méthode de Berlekamp.
5. Calculer avec un logiciel les valeurs numériques des racines complexes de  $P(x) = x^5 + x + 1$ . Trouver les combinaisons de racines dont la somme est entière (aux arrondis près). En déduire la factorisation en facteurs irréductibles sur  $\mathbb{Z}$  de  $P$ .
6. Factorisation numérique sur  $\mathbb{C}$ . Écrire un programme qui calcule une racine d'un polynôme à coefficients complexes en utilisant une méthode itérative de type méthode de Newton (avec éventuellement un préfacteur lorsqu'on débute la recherche). Les polynômes seront représentés par la liste de leurs coefficients et l'évaluation faite par la méthode de Horner. Trouver ensuite toutes les racines du polynôme en éliminant la racine trouvée (toujours avec Horner). Trouver les combinaisons de racines correspondant à un facteur à coefficients entiers.
7. Même question pour les facteurs de degré 2 d'un polynôme à coefficients réels sans racines réelles en utilisant la méthode de Bairstow décrite ci-dessous.

On cherche un facteur  $F = x^2 + sx + p$  de  $P$ , on calcule le quotient et le reste de la division  $P = FQ + R$  par une méthode de type Horner, il s'agit de rendre  $R$  (vu comme un vecteur à 2 composantes) nul. On calcule donc  $\partial_{s,p}R$  (en cherchant le quotient et le reste de  $xQ$  et  $Q$  par  $F$ , pourquoi ?) et on pose :

$$(s, p)_{n+1} = (s, p)_n - \lambda(\partial_{s,p}R)^{-1}R(s, p)_n$$

où  $\lambda$  est un préfacteur compris entre 0 et 1 et ajusté à 1 lorsqu'on est proche du facteur.

8. Soit  $p$  un entier premier et  $P$  un polynôme à coefficients dans  $\mathbb{Z}/p\mathbb{Z}$ . On a la relation

$$\gcd(X^{p^k} - X, P) = \prod_{f|P, \deg(f)|k} f, \quad f \text{ irréductible}$$

En utilisant cette relation, déterminer les degrés des facteurs de

$$(x^3 + x + 1)(x^4 + x + 1)$$

modulo 5 et 7 (sans utiliser la commande `factor`). Peut-on en déduire que  $x^3 + x + 1$  et  $x^4 + x + 1$  sont irréductibles sur  $\mathbb{Z}$  ?

9. Utiliser les options "verbose" de votre logiciel de calcul formel pour factoriser  $x^{202} + x^{101} + 1$  et vérifiez que vous avez compris la méthode utilisée.

10. Montrer que  $2x + x^2y + x^3 + 2x^4 + y^3 + x^5$  est irréductible sur  $\mathbb{Z}$  sans utiliser l'instruction factor à 2 variables (on pourra factoriser pour quelques valeurs de  $x$  ou de  $y$ )
11. Que se passe-t-il lorsqu'on exécute l'algorithme de Yun dans  $\mathbb{Z}/n\mathbb{Z}$  ?
12. Déterminer les degrés des facteurs de  $(x^3 + x + 1)(x^4 + x + 1)$  modulo 5 et 7 (sans utiliser la commande factor). Peut-on en déduire que  $x^3 + x + 1$  et  $x^4 + x + 1$  sont irréductibles sur  $\mathbb{Z}$  ?
13. Utiliser les options “verbose” de votre logiciel de calcul formel pour factoriser  $x^{202} + x^{101} + 1$  et vérifiez que vous avez compris la méthode utilisée.
14. Montrer que  $2x + x^2y + x^3 + 2x^4 + y^3 + x^5$  est irréductible sur  $\mathbb{Z}$  sans utiliser directement l'instruction factor (on pourra factoriser pour quelques valeurs de  $x$  ou de  $y$ )

## 12 Intégration formelle.

### 12.1 Introduction

Que peut-on espérer d'un système de calcul formel lorsqu'il s'agit de calculer une primitive ? Tout d'abord, on peut espérer qu'il sache résoudre ce que l'on donne en exercice à nos étudiants ! Ceci suppose donc de connaître quelques méthodes classiques, par exemple : intégration de polynômes (!), polynômes multipliés par exponentielle ou/et fonctions trigonométriques, de polynômes trigonométriques par linéarisation, de fractions rationnelles, de fractions trigonométriques, de fractions de racines carrées de polynômes du second ordre, de fonctions s'y ramenant par une ou plusieurs intégrations par parties ou par changement de fonction (par exemple reconnaissance de formes  $F(u)u'$ ) ou par changement de variables, etc.

Mais au-delà de ces méthodes (qui ont l'avantage de la rapidité mais tiennent parfois plus de la recette de cuisine que de l'algorithme...), on peut se demander si la primitive d'une fonction donnée peut ou non s'exprimer en terme des fonctions "élémentaires". Par exemple, tout le monde "sait" que la fonction  $e^{x^2}$  n'admet pas de primitive "simple", encore faut-il donner un sens mathématique précis à cette affirmation. Ceci nécessite de donner une définition rigoureuse du terme fonction élémentaire. On peut alors appliquer un algorithme développé par Risch (pour les extensions dites transcendentes, obtenue par ajout des fonctions exponentielle et logarithme) qui permet de répondre à la question : il s'agit vu de très loin d'une extension de l'algorithme d'intégration des fractions rationnelles.

Cet article se décompose en deux parties principales :

- la section 12.2 présente les définitions de fonctions élémentaires, de tour de variables, et donne deux théorèmes, le théorème de structure de Risch qui permet d'écrire une fonction contenant des exponentielles et des logarithmes comme une fonction élémentaire par rapport à une tour de variable, et le théorème de Liouville qui donne la forme que peut prendre une primitive d'une fonction élémentaire lorsqu'elle est aussi élémentaire.
- la section 12.3 décrit l'algorithme d'intégration de Risch permettant de décider si une fonction élémentaire donnée possède ou non une primitive élémentaire et de la calculer dans le premier cas. Nous ne présentons ici l'algorithme de Risch que pour les extensions transcendentes pures (ln et exp).

Le lecteur intéressé par le cas des extensions algébriques pourra consulter la thèse de Trager. Pour les extensions plus générales (incluant en particulier les fonctions tangente, arctangente), la référence est le livre de Bronstein donnée en section 12.4.

### 12.2 Fonctions élémentaires

#### 12.2.1 Extensions transcendentes, tour de variables

On se donne une expression  $f(x)$  dépendant de la variable  $x$  que l'on souhaite intégrer par rapport à  $x$ . L'algorithme de Risch s'applique à cette expression si on peut l'écrire comme une fraction rationnelle à plusieurs variables algébriquement indépendantes

$$x, f_1(x), f_2(x, f_1(x)), \dots, f_n(x, f_1(x), f_2(x, f_1(x))), \dots, f_{n-1}(x, f_1(x), \dots, f_{n-2}(x)))$$

où les  $f_i$  sont soit l'exponentielle soit le logarithme d'une fraction rationnelle (le corps de base appelé aussi corps de constantes ici est soit  $\mathbb{C}$ , soit une extension algébrique de  $\mathbb{Q}$  ou une extension algébrique d'un corps de fractions rationnelles s'il y a des paramètres). On appelle tour de variables la suite des  $x, f_1, \dots, f_n$  (chaque étage est donc une exponentielle d'une fraction rationnelle ou le logarithme d'une fraction rationnelle dépendant des étages précédents) et on dira que  $f$  est une fonction élémentaire par rapport à cette tour de variables.

L'intérêt de l'écriture d'une expression sous forme de tour est qu'elle est stable par dérivation : si on dérive par rapport à  $x$  une fonction élémentaire dépendant d'une tour de variables, on obtient encore une fonction élémentaire dépendant de la même tour de variables. Autrement dit, l'ensemble des fonctions élémentaires pour une tour fixée est un corps différentiel.

**Exemples :**

- $e^{x^2}$  est bien dans ce cas, pour  $n = 1$ ,  $f_1$  est l'exponentielle de  $x^2$  qui est algébriquement indépendant de  $x$ . Les fonctions  $(2x^2 - 1)e^{x^2}$  ou  $x/(e^{x^2} - 1)$  sont aussi élémentaires par rapport à la tour de variables  $\{x, e^{x^2}\}$ .
- $x \ln(x) \exp(x)$  est élémentaire par rapport à la tour  $\{x, \ln(x), \exp(x)\}$ , mais aussi par rapport à la tour  $\{x, \exp(x), \ln(x)\}$ .
- $xe^{x \ln(x)}$  est élémentaire, en prenant  $n = 2$ ,  $f_1 = \ln(x)$  et  $f_2 = e^{x f_1}$ .
- $x^n = e^{n \ln(x)}$ , où  $n$  est un paramètre, convient avec comme tour  $\{x, \ln(x), e^{n \ln(x)}\}$ .
- $e^{\ln(x)}$  ne convient pas car il n'est pas algébriquement indépendant de  $x, \ln(x)$  mais on peut le réécrire sous une forme acceptable puisque  $e^{\ln(x)} = x$ .
- $e^{\ln(x)/2}$  ne convient pas non plus car son carré est égal à  $x$ . Une réécriture ne suffit pas, cet exemple est bien sûr une extension algébrique et non transcendante.

Dans la suite, on va s'intéresser aux tours de variables dans lesquelles on a effectué des simplifications évidentes. On élimine les  $\ln \circ \exp$  de la manière suivante : si  $f_k = \ln(g_k)$ , on regarde si  $g_k$  vu comme fraction en  $f_1, \dots, f_{k-1}$  possède un facteur  $f_j^m$  (avec  $m \in \mathbb{Z}$ ) lorsque  $f_j = \exp(g_j)$  est une exponentielle. Si c'est le cas, on a  $f_k = m g_j + \ln(g_k / g_j^m)$ . On change alors de tour en remplaçant  $f_k$  par  $\tilde{f}_k = \ln(g_k / g_j^m) = f_k - m g_j$ . On élimine aussi les  $\exp \circ \ln$ , si  $f_k = \exp(g_k)$ , pour  $j < k$  si  $f_j$  est un logarithme, on regarde si  $c_j = \partial_{f_j} g_k|_{f_j=0}$  est un entier, si c'est le cas on remplace  $f_k$  par  $\tilde{f}_k = f_k / g_k^{c_j}$ .

**Exemples :**

$$\begin{aligned} \ln\left(\frac{e^{x^2} + 1}{e^{x^2}}\right) &\rightarrow -x^2 + \ln(e^{x^2} + 1) \\ e^{3 \ln(x) + \ln(x)^2 + 5} &\rightarrow x^3 e^{\ln(x)^2 + 5} \end{aligned}$$

### 12.2.2 Théorème de structure de Risch

On voit donc qu'il est nécessaire de disposer d'un algorithme pour décider si des exponentielles et logarithmes sont algébriquement indépendants. Cet algorithme est basé sur un théorème de structure dû à Risch :

**Théorème 16** Soit  $f = \ln(g(x))$  le logarithme d'une fonction élémentaire  $g$  par rapport à une tour de variables  $T$ , alors soit  $f$  est algébriquement indépendant des variables de  $T$ , soit  $f$  est élémentaire et plus précisément combinaison linéaire rationnelle des logarithmes et des arguments des exponentielles de la tour  $T$ .

Soit  $f = \exp(g)$  l'exponentielle d'une fonction élémentaire  $g$  par rapport à une tour de variables  $T$ , alors soit  $f$  est algébriquement indépendante des variables de  $T$ , soit il existe  $n$  tel que  $f^n$  soit élémentaire par rapport à  $T$  (on peut alors appliquer le cas précédent à  $ng = \ln(f^n)$ )

**Démonstration :**

Commençons par le cas de l'exponentielle. On considère le polynôme minimal de  $f = \exp(g)$  :

$$a_n f^n + \dots + a_0 = 0, \quad a_n \neq 0, a_0 \neq 0$$

où les  $a_i$  sont des fractions rationnelles en  $T$ . On dérive et on applique  $f' = g' f$  :

$$(a'_n + n a_n g') f^n + \dots + (a'_k + k a_k g') f^k + \dots = 0$$

c'est un multiple du polynôme minimal donc il existe une fraction rationnelle  $C$  (par rapport à la tour de variables) telle que :

$$\forall k, \quad (a'_k + k a_k g') = C a_k$$

Comme  $a_n \neq 0$ , cela entraîne  $a'_n/a_n + ng' = C$ . Le coefficient constant  $a_0$  est aussi non nul, donc  $a'_0/a_0 = C$  et

$$ng' = a'_0/a_0 - a'_n/a_n \Rightarrow ng = \ln\left(\frac{a_0}{a_n}\right) + k$$

où  $k$  est constant, donc  $f^n = \exp(ng) = e^k a_0/a_n$  est élémentaire.

Passons au cas du logarithme, supposons que  $f = \ln(g)$  dépende algébriquement de la tour  $T$ , on va commencer par montrer que  $f$  est élémentaire. On écrit :

$$a_n f^n + \dots + a_0 = 0$$

où les  $a_i$  sont des fractions rationnelles en  $T$ . On dérive en appliquant  $f' = g'/g$  :

$$a'_n f^n + (n a_n f' + a'_{n-1}) f^{n-1} \dots + a_1 f' + a'_0$$

Comme  $f'$  est une fraction rationnelle en  $T$ , le polynôme  $a'_n X^n + (n a_n f' + a'_{n-1}) X^{n-1} + \dots + a_1 f' + a'_0$  qui annule  $f$  doit être un multiple du polynôme minimal de  $f$ , il existe donc une fraction rationnelle  $C$  par rapport à  $T$  telle que :

$$a'_n = C a_n \quad (n a_n f' + a'_{n-1}) = C a_{n-1} \quad \dots$$

On en déduit  $f'$  :

$$f' = \frac{\frac{a'_n}{a_n} a_{n-1} - a'_{n-1}}{n a_n} = \left( \frac{-a_{n-1}}{n a_n} \right)'$$

donc il existe une constante  $c$  telle que :

$$f = \frac{-a_{n-1}}{n a_n} + c$$

donc  $f$  est élémentaire par rapport à la même tour  $T$  que  $g$ .

Montrons maintenant qu'un logarithme  $f = \ln(g)$  qui est élémentaire par rapport à une tour de variable  $T$  est combinaison linéaire à coefficients rationnelles

des logarithmes et des arguments des exponentielles de  $T$ <sup>11</sup>. Soit  $X$  la dernière variable de la tour  $T$ . On factorise maintenant le numérateur et le dénominateur de  $g$  en  $\prod_j P_j^j$  où les  $P_j$  sont sans facteurs multiples et premiers entre eux 2 à 2 (par rapport à  $X$ ), il existe  $C$  indépendant de  $X$  tel que :

$$g = C \prod_{j \in \mathbb{Z}} P_j^j \Rightarrow \ln(g) = \ln(C) + \sum_{j \in \mathbb{Z}} j \ln(P_j) \quad (22)$$

Alors  $f' = \ln(C)' + \sum_j j P_j' / P_j$  donc  $\prod P_j f'$  est un polynôme en  $X$ . Soit  $N/D$  la fraction irréductible représentant  $f$ , on a :

$$f' = \frac{N'D - ND'}{D^2}$$

on vient donc de montrer que :

$$\left( \prod_j P_j \right) \frac{N'D - ND'}{D^2} \text{ est un polynôme en } X \quad (23)$$

Soit  $P$  un facteur irréductible de  $D$  de multiplicité  $k$  tel que  $D = P^k Q$  (donc  $P$  premier avec  $Q$ , mais  $P$  est aussi premier avec  $N$  car  $f = N/D$  est irréductible). Alors en simplifiant numérateur et dénominateur par  $P^{k-1}$ , on a :

$$\left( \prod_j P_j \right) \frac{N'PQ - N(kP'Q + PQ')}{P^{k+1}Q^2} \text{ est un polynôme en } X. \quad (24)$$

On en déduit, après simplification d'au plus un facteur  $P$  au dénominateur avec l'un des  $P_j$ , que  $P^k$  divise  $N'PQ - N(kP'Q + PQ')$  donc  $P$  divise  $P'$ . Ceci n'est possible que si  $P = 1$  (et donc le dénominateur de  $f$  est égal à 1) ou si la variable  $X$  est une exponentielle et  $P = X$ .

Montrons que ce deuxième cas est en fait exclus : en effet si  $P = X = \exp(Y)$  est une exponentielle, on a alors  $D = X^k$  et  $Q = 1$ . Comme  $P' = Y'X$ , (24) devient :

$$\left( \prod_j P_j \right) \frac{X(N' - kNY')}{X^{k+1}} \text{ est un polynôme en } X$$

Comme  $X$  ne divise pas  $N$ ,  $N$  possède donc un coefficient constant  $a_0$  non nul. Le coefficient constant de  $N' - kNY'$  est  $a_0' - ka_0Y'$ . Si ce terme était nul alors  $a_0' = ka_0Y'$  donc  $a_0 = c \exp(kY) = cX^k$  or  $a_0$  ne dépend pas de  $X$  donc  $c = 0$  donc  $a_0 = 0$ , absurde. Donc  $X$  ne divise pas  $N' - kNY'$ . Comme  $X^{k+1}$  divise  $\prod P_j X(N' - kNY')$ , on en déduit que  $X^k$  divise un des  $P_j$ . Donc  $k = 1$  et  $P_j = XQ_j$ . Revenons maintenant à (22), on a :

$$f = \ln(g) = \ln(C) + j \ln(XQ_j) + \sum_{l \neq j} l \ln(P_l)$$

on dérive :

$$f' = \ln(C)' + jY' + j \frac{Q_j'}{Q_j} + \sum_{l \neq j} l \frac{P_l'}{P_l}$$

---

11. cette preuve peut être sautée en première lecture



on voit qu'il n'est plus nécessaire de multiplier  $f'$  par  $P_j$  pour avoir un polynôme, multiplier par  $Q_j$  suffit, plus précisément

$$\left( \prod_{l \neq j} P_l \right) Q_j \frac{N'D - ND'}{D^2} \text{ est un polynôme en } X.$$

donc  $X^{k+1}$  divise  $\left( \prod_{l \neq j} P_l \right) Q_j X(N' - kNY')$  ce qui est impossible.

Donc  $D = 1$  dans tous les cas et on a  $f = N$ . Donc

$$f' = N' = \ln(C)' + \sum_j j P_j' / P_j \text{ est un polynôme par rapport à } X$$

On en déduit que les  $P_j$  ne dépendent pas de  $X$  sauf si  $X$  est une exponentielle et  $P_j = X$ . Dans les deux cas  $N'$  ne dépend pas de  $X$  donc le polynôme  $N$  est de degré 0 ou 1 en  $X$  (si  $X$  est une exponentielle,  $N$  est forcément de degré 0)

- Si  $X = \exp(Y)$  est une exponentielle (avec  $Y$  élémentaire ne dépendant pas de  $X$ ), alors  $f = N$  est indépendant de  $X$ . On retire  $jY$  à  $f$  et on divise  $g$  par  $X^j$  (en posant  $j = 0$  si aucun des  $P_j$  n'est égal à  $X$ ), qui devient indépendant de  $X$ , on conserve ainsi l'égalité  $f = \ln(g)$  mais avec une variable de moins dans la tour de variables par rapport à laquelle  $f$  et  $g$  sont élémentaires.
- Si  $X$  n'est pas une exponentielle,  $N = cX + d$  avec  $c$  dans le corps de constantes, et  $d$  indépendant de  $X$ . Si  $X = x$ , on a  $g = \exp(cx + d)$  qui n'est rationnel que si  $c = 0$ . On a alors  $d$  donc  $f$  et  $g$  constants. Si  $X = \ln(Y)$  est un logarithme (avec  $Y$  élémentaire ne dépendant pas de  $X$ ), alors  $\forall j, P_j = 1$  donc  $g$  est élémentaire indépendante de  $X$ . On a alors :

$$f = N = c \ln(Y) + d = \ln(g)$$

avec  $c$  dans le corps des constantes,  $d$  et  $g$  élémentaires indépendants de  $X$ . On cherche maintenant la fonction élémentaire  $d$ . Cette fonction n'est pas le logarithme d'une fonction élémentaire en général car  $c$  n'est pas forcément entier, mais  $d'$  a les mêmes propriétés que la dérivée du logarithme d'une fonction élémentaire. On peut donc reprendre le même raisonnement mais avec une variable de moins dans la tour de variables. Si la tour qu'on a choisie est normalisée, alors  $Y$  ne contient au numérateur et au dénominateur aucune puissance d'une exponentielle d'une variable de la tour donc le polynôme  $P_j$  du cas précédent ne peut provenir de  $Y$  ce qui entraîne que  $j$  est bien entier dans le cas précédent (bien que  $c$  ne le soit pas forcément).

Après avoir fait une récurrence sur le nombre de variables de la tour, on a donc  $f$  qui s'exprime comme combinaison linéaire à coefficients entiers des arguments  $g_k$  des variables exponentielles  $f_k = \exp(g_k)$  de la tour et à coefficients a priori quelconque des variables logarithmes  $f_l = \ln(g_l)$  de la tour :

$$f = \sum_k j_k g_k + \sum_l x_l \ln(g_l) = \ln(g)$$

Comme  $g$  est élémentaire,  $h = g / \prod_k \exp(g_k)^{j_k}$  est élémentaire de logarithme  $\sum_l x_l \ln(g_l)$ . Montrons que si les arguments des  $\ln$  sont des polynômes sans facteurs multiples, alors les  $x_l$  sont entiers. Rappelons que les  $\ln(g_l)$  sont algébriquement indépendants, on peut donc construire des polynômes irréductibles  $I_l$  par

rapport aux variables de la tour tels que  $I_l$  divise une fois  $g_l$  mais ne divise pas les  $g_k$  précédents. Soit  $h = \prod_{j \in \mathbb{Z}} P_j^j$  la factorisation sans facteurs multiples de  $h$ . On dérive alors  $\ln(h)$  ce qui donne :

$$\sum_l x_l g'_l / g_l = \sum_j j P'_j / P_j$$

où  $\prod_j P_j^j$  est la décomposition sans facteurs multiples de  $h$ . Comme  $I_l$  divise un et un seul des  $P_j$  on en déduit que  $x_l$  est égal au  $j$  correspondant et est donc entier. (Remarque : si on n'impose pas aux arguments des logarithmes d'être des polynômes sans facteurs carrés, on obtiendrait ici des coefficients rationnels).

#### En pratique :

On peut effectuer l'algorithme de la manière suivante :

- on cherche les variables généralisées de l'expression qui dépendent de  $x$ .
- On ajoute les variables généralisées en commençant par la moins longue
- Si c'est un logarithme, on extrait les puissances des exponentielles précédentes dont il dépend. On cherche des relations entre fonctions  $\ln$  en les réécrivant comme combinaison linéaire de  $\ln$  indépendants. Pour avoir des  $\ln$  indépendants, on se ramène d'abord à des polynômes sans facteurs multiples en utilisant la relation  $\ln(a/b) = \ln(a) - \ln(b)$  et en écrivant la factorisation sans facteurs multiples de chaque polynôme argument, puis on extrait le PGCD 2 à 2 des arguments de logarithmes jusqu'à obtenir des arguments de  $\ln$  premiers entre eux.
- Si c'est une exponentielle, on teste si son argument est combinaison linéaire à coefficients rationnels :
  - des arguments des exponentielles précédentes,
  - des  $\ln$  des logarithmes précédents,
  - de  $\ln(x)$  et de  $i * \pi$ .

Pour cela on substitue les  $\ln$  par des indéterminées, et on dérive une fois par rapport à cette indéterminée, le résultat doit être un rationnel, pour les variables exponentielles, il faut réduire au même dénominateur et résoudre le système linéaire obtenu en identifiant les coefficients du numérateur. Si l'exponentielle est indépendante des précédentes, on extrait de l'exponentielle à rajouter la partie linéaire de la dépendance en les  $\ln$  précédents si le coefficient correspondant est entier. Par exemple, on réécrit :

$$x e^{2 \ln(x) + \ln(x)^2} = x^3 e^{\ln(x)^2}$$

#### Remarque

On n'est pas obligé de se limiter aux seules fonctions logarithmes et exponentielles, l'essentiel est de pouvoir tester l'indépendance algébrique des expressions créées. Pour éviter d'avoir à introduire des exponentielles et logarithmes complexes dans une expression réelle, on peut autoriser par exemple des extensions en tangente ou en arctangente.

### 12.2.3 Théorème de Liouville

On a vu que la dérivée d'une fonction élémentaire dépendant d'une tour de variables est une fonction élémentaire dépendant de la même tour de variables.

Réciproquement, supposons qu'une fonction élémentaire admette une primitive qui soit élémentaire, c'est-à-dire qu'elle doit être une fraction rationnelle par rapport à une tour de variables mais pas forcément identique à celle de départ. Alors, si une telle écriture existe, à des termes logarithmiques près, elle ne peut dépendre que de la même tour de variables, plus précisément on a le théorème de Liouville :

**Théorème 17** *Soit  $f$  une fonction élémentaire par rapport à une tour de variables  $T$  et un corps de constantes  $K$  admettant une primitive élémentaire  $F$ . Alors il existe un nombre fini de constantes  $c_1, \dots, c_n$  et de fonctions élémentaires  $v_1, \dots, v_n$  par rapport à  $T$  avec comme corps de constantes une extension algébrique  $K'$  de  $K$  tel que  $F - \sum_k c_k \ln(v_k)$  soit élémentaire par rapport à  $T$  et  $K$ .*

**Preuve :**<sup>12</sup>

Soit  $f$  élémentaire de tour  $T_1$  (corps  $K$ ) et  $F$  sa primitive supposée élémentaire de tour  $T_2$  et de corps  $K'$  une extension algébrique de  $K$ . On commence par rajouter après les éléments de  $T_1$  les éléments nécessaires de  $T_2$  pour obtenir une tour  $T$  par rapport à laquelle  $f$  et  $F$  sont élémentaires (plus précisément  $F$  sera élémentaire quitte à autoriser des puissances fractionnaires des variables exponentielles de  $T_1$ ). Le théorème de structure de Risch permet de faire cela, en effet on regarde pour chaque élément de  $T_2$  s'il est algébriquement indépendant des éléments de  $T_1$  ou non. S'il l'est, on le rajoute à la tour  $T$ , s'il ne l'est pas alors dans le cas d'un logarithme il est élémentaire et dans le cas d'une exponentielle, une de ses puissances est élémentaire. Donc  $F$  est bien une fraction rationnelle par rapport aux éléments logarithmiques de  $T_1$ , aux racines  $n$ -ième des éléments exponentiels de  $T_1$  et à des éléments de  $T_2$  dans cet ordre (le corps des constantes étant  $K'$ ).

**Première étape :**

Commençons par les éléments restant de  $T_2$ . Soit  $X_k$  l'élément au sommet de la tour  $T$ . La dérivée  $f$  de  $F$  par rapport à  $X_k$  ne dépend pas de  $X_k$ . Donc soit  $F$  ne dépend pas de  $X_k$  et on passe à la variable suivante, soit  $X_k = \ln(v_k)$  est un logarithme et  $F = c_k \ln(v_k) + d_k$  avec  $c_k \in K'$  et  $v_k$  et  $d_k$  indépendants de  $X_k$ . S'il n'y a pas d'autres éléments restants de  $T_2$ , on passe à la 2ème étape. Sinon soit  $X_{k-1}$  la variable suivante (juste en-dessous de  $X_k$  dans la tour). En dérivant, on a :

$$F' = c_k \frac{v'_k}{v_k} + d'_k = f$$

Supposons que  $v_k$  dépende de  $X_{k-1}$ , on fait alors un raisonnement analogue à celui de la preuve du théorème de structure de Risch, en décomposant  $v_k$  en produit/quotient de facteurs sans multiplicités  $v_k = \prod P_j^j$  et en écrivant  $d_k = N/D$  on a :

$$\left( \prod_j P_j \right) \frac{N'D - ND'}{D^2}$$

est un polynôme en  $X_{k-1}$ . On en déduit comme précédemment que  $D = 1$ ,  $N' = d'_k$  est indépendant de  $X_{k-1}$ . Comme on a supposé que  $v_k$  dépend de  $X_{k-1}$ ,  $X_{k-1} = \exp(Y_{k-1})$  est alors une exponentielle,  $N = d_k$  ne dépend pas de  $X_{k-1}$  et l'un des  $P_j = X_{k-1}$  (sinon tous les  $P_j$  seraient constants en  $X_{k-1}$  donc  $v_k$  aussi). On élimine alors la variable  $X_{k-1}$  en écrivant  $\ln(v_k) = jY_{k-1} + \ln(w_k)$ , avec  $Y_{k-1}$  et  $w_k$  élémentaires et indépendants de  $X_{k-1}$ .

12. Peut être omise en première lecture

Si  $v_k$  est indépendant de  $X_{k-1}$ , alors  $d'_k$  aussi donc soit  $d_k$  est indépendant de  $X_{k-1}$  et on passe à la variable suivante, soit  $X_{k-1}$  est un logarithme et  $d_k = c_{k-1} \ln(v_{k-1}) + d_{k-1}$ . En continuant pour toutes les variables restantes de  $T_2$ , on obtient

$$F = \sum_k c_k \ln v_k + d$$

avec  $d$  et  $v_k$  élémentaires pour  $T_1$  (avec exponentielles modifiées en en prenant une racine  $n$ -ième) et  $K'$ .

**Deuxième étape** Il s'agit de montrer que pour les exponentielles, il n'est en fait pas nécessaire de prendre de racines  $n$ -ième. La compréhension de cette étape demande un peu de familiarité avec l'algorithme de Risch (cf. infra). On va faire la preuve pour la variable au sommet de la tour  $T_1$  si c'est une exponentielle. On verra dans le déroulement de l'algorithme de Risch que pour les autres variables, il y a appel récursif de l'algorithme d'intégration, donc traiter la variable au sommet suffira. Soit donc  $\exp(Y)$  la variable au sommet de la tour  $T_1$ , on note  $X = \exp(Y/n)$  la racine  $n$ -ième de cette variable qui est utilisée pour exprimer  $F = \sum c_k \ln v_k + N/D$  comme une fraction rationnelle en  $X$  alors que  $f = F'$  est une fraction rationnelle en  $X^n$ . On a donc :

$$\sum c_k \frac{v'_k}{v_k} + \frac{N'}{D} = f = \text{fraction rationnelle en } (X^n)$$

Notons que le fait que  $X$  soit une exponentielle est essentiel, car par exemple l'intégrale d'une fraction rationnelle dépendant de  $x^n$  comme  $x^3$  ou  $1/(x^3 - 1)$  ne s'exprime pas en fonction de  $x^3$ . On traite d'abord la partie polynomiale généralisée de  $f$  en  $X^n$  :

$$\sum_{j \in \mathbb{Z}} a_j (X^n)^j$$

Son intégrale est un polynôme généralisé, éventuellement dépendant de  $X$ , soit  $\sum_{j \in \mathbb{Z}} A_j X^j$ . On dérive, et on obtient pour  $k$  non multiple de  $n$ ,  $A_k Y/n + A'_k = 0$  dont  $A_k = 0$  est solution. La partie polynôme généralisé ne dépend donc que de  $X^n$ . On effectue aussi les intégrations par parties pour réduire le dénominateur de  $f$  à un polynôme sans facteurs multiples (réduction de Hermite), ce qui se fait en introduisant des fractions rationnelles en  $X^n$  uniquement. Reste la partie logarithmique. On utilise le critère du résultant, les coefficients des logarithmes sont les racines  $c_k$  du polynôme en  $t$

$$\text{Res}_X(D, N - tD')$$

où ces racines doivent être indépendantes de  $x$  (puisque  $F$  existe) et les  $v_k$  correspondants sont égaux à

$$\gcd(D, N - c_k D')$$

Or comme  $X$  est une exponentielle,  $D'$  est un polynôme en  $X^n$ , de même que  $D$  et  $N$ , donc  $v_k$  est un polynôme en  $X^n$ .

**Troisième étape** Il reste enfin à montrer que seuls les  $c_k$  et  $v_k$  nécessitent une extension algébrique de  $K$ . Ceci est encore une conséquence de l'algorithme de Risch, la construction de la partie polynomiale (éventuellement généralisée) et de la partie fractionnaire ne font en effet intervenir que des coefficients dans le corps  $K$ .

### 12.3 L'algorithme de Risch

On suppose dans la suite qu'on s'est ramené à une fraction rationnelle par rapport à une tour de variables (où on a effectué les simplifications évidentes  $\ln \circ \exp$ , ainsi que  $\exp \circ \ln$ , dans le premier cas en extrayant les facteurs évidents en les variables précédentes exponentielles, dans le deuxième cas en extrayant la partie linéaire à coefficient entier en les variables logarithmes précédentes). On note  $X$  la variable au sommet de la tour et  $N_0/D_0$  l'écriture de la fonction élémentaire comme fraction irréductible avec  $N_0$  et  $D_0$  polynômes en  $X$ .

#### Exemples

$$\int (2x^2 + 1)e^{x^2} \quad X = e^{x^2} \quad N_0 = (2x^2 + 1)X, D_0 = 1$$

$$\int \frac{x \ln(x)}{x + \ln(x)} \quad X = \ln(x) \quad N_0 = xX, D_0 = x + X$$

La première étape va consister à se ramener à un dénominateur sans facteurs multiples. Elle est analogue au cas des fractions rationnelles de  $x$  et est basée sur l'identité de Bézout entre  $P$  et  $P'$  vu comme polynômes en la variable du haut de la tour. Il apparaît toutefois une difficulté pour les extensions exponentielles, à savoir que  $X = e^f$  et  $X' = f'X$  ne sont pas premiers entre eux comme polynômes en  $X$ , on devra traiter le pôle 0 d'une fraction rationnelle en une exponentielle  $X$  comme on traite l'intégration d'un polynôme en  $x$ . Si  $P$  est sans facteurs multiples et premier avec  $X$ , alors  $P(X)$  et  $P(X)' = f'XP'(X)$  vu comme polynômes en  $X$  n'ont pas de facteurs en commun.

On commence donc, si  $X$  est une exponentielle et  $D_0$  un multiple de  $X$ , par appliquer Bézout pour décomposer la fraction  $N_0/D_0$  en :

$$\frac{N_0}{D_0} = \frac{N_1}{D_1} + \frac{P}{X^k}, \quad \gcd(X, D_1) = 1, D_0 = X^k D_1$$

On isole aussi la partie polynomiale en effectuant la division euclidienne de  $N_0$  par  $D_0$  (ou de  $N_1$  par  $D_1$  si  $X$  est une exponentielle), on obtient alors une écriture sous la forme :

$$\frac{N}{D} + \sum_j a_j X^j$$

où la somme sur  $j$  est finie et porte sur des entiers positifs ou nul si  $X$  n'est pas une exponentielle, ou sur des entiers relatifs si  $X$  est une exponentielle.

On effectue la même écriture sur la partie fractionnaire de  $F$ , et en identifiant les parties polynomiales et éventuellement la partie polaire en 0 si  $X$  est une exponentielle, on peut séparer l'intégration en 2 parties : intégration de la partie polynomiale (généralisée) et intégration de la partie fractionnaire propre.

#### Exemples

–  $(2x^2 + 1)e^{x^2} = 0 + (2x^2 + 1)X$  est un polynôme,

–

$$\frac{x \ln(x)}{x + \ln(x)} = \frac{xX}{x + X} = -\frac{x^2}{x + X} + x$$

la partie polynomiale est  $x$  (de degré 0 en  $X$ ), la partie fractionnaire est  $-x^2/(x + X)$

–

$$\frac{x(e^{2x} + 1)}{e^x(e^x + 1)^2} = \frac{x(X^2 + 1)}{X(X + 1)^2} = -\frac{2x}{(X + 1)^2} + xX^{-1}$$

la partie polynôme généralisé est  $xX^{-1}$

### 12.3.1 Intégration d'une fraction propre

### 12.3.2 Réduction sans facteurs multiples

On factorise  $D$  en  $\prod_i P_i^{i_i}$  avec  $P_i$  sans facteurs multiples (et les  $P_i$  premiers entre eux 2 à 2) et on décompose en éléments simples relativement à cette factorisation (en appliquant Bézout) :

$$\frac{N}{D} = \sum_{i \geq 0} \frac{N_i}{P_i^{i_i}}$$

Pour chaque polynome  $P_i$ , on applique Bézout à  $P_i$  et  $P_i'$  :

$$N_i = A_i P_i + B_i P_i' \Rightarrow \frac{N_i}{P_i^{i_i}} = \frac{A_i}{P_i^{i_i-1}} + \frac{B_i P_i'}{P_i^{i_i}}$$

on intègre par parties le second terme

$$\int \frac{N_i}{P_i^{i_i}} = \int \frac{A_i}{P_i^{i_i-1}} - \frac{B_i}{(i-1)P_i^{i_i-1}} + \int \frac{B_i'}{(i-1)P_i^{i_i-1}}$$

on rassemble les deux intégrales ayant  $P_i^{i_i-1}$  au dénominateur et on recommence jusqu'à avoir une puissance 1 au dénominateur. Il reste alors à intégrer une somme de fractions du type  $N/D$  avec  $D$  et  $D'$  premiers entre eux.

#### Exemple

On reprend le dernier exemple de la section précédente pour éliminer la puissance 2 au dénominateur :  $N_2 = 2x$  et  $P_2 = (X + 1)$  avec  $X = e^x$ . On a  $P_2' = X$ , donc  $A_2 = 2x$  et  $B_2 = -2x$  :

$$\int \frac{2x}{(X + 1)^2} = \int \frac{2x}{P_2} + \int \frac{-2x P_2'}{P_2^2} = \int \frac{2x}{P_2} + \frac{2x}{P_2} - \frac{2}{P_2}$$

il reste donc à intégrer  $(2x - 2)/(e^x + 1)$ .

### 12.3.3 La partie logarithmique

Comme on l'a vu lors de la preuve du théorème de structure de Risch, si on dérive une fraction en  $X$ , le dénominateur de la dérivée ne peut se décomposer qu'en produit de facteurs de multiplicité supérieure ou égale à 2. Il en résulte que la fraction à intégrer résiduelle (encore notée  $f = N/D$ ) après l'étape de réduction ci-dessus ne peut provenir que de la dérivation de  $F = \sum_k c_k \ln(v_k)$  :

$$f = \frac{N}{D} = F' = \left( \sum_k c_k \ln(v_k) \right)' = \sum_k c_k \frac{v_k'}{v_k}$$

En identifiant les décompositions en éléments simples de  $F'$  et  $f$ , on montre également que les  $v_k$  divisent  $D$ , plus précisément on peut imposer aux  $v_k$  d'être premiers entre eux 2 à 2 et dans ce cas  $D = \prod v_k$ . Donc :

$$\sum_k c_k \frac{v'_k}{v_k} = \frac{N}{\prod_k v_k} = \frac{N}{D}$$

et :

$$N = \sum_k c_k v'_k \prod_{j \neq k} v_j$$

Soit  $t$  un paramètre, formons le polynôme  $N - tD'$  :

$$N - tD' = \sum_k \left( (c_k - t) v'_k \prod_{j \neq k} v_j \right)$$

donc le pgcd en  $X$  des polynômes  $N - tD'$  et  $D$  est :

- si  $t$  n'est égal à aucun des  $c_k$ ,  $N - tD'$  est premier avec  $v_k$  pour tout  $k$  car  $v_k$  divise  $\sum_{l \neq k} (c_l - t) v'_l \prod_{j \neq l} v_j$  et  $v'_k \prod_{j \neq k} v_j$  est premier avec  $v_k$ . Donc le pgcd est 1.
- si  $t$  est égal à l'un des  $c_k$ , alors le pgcd est le produit des  $v_k$  tels que  $c_k = t$  (notons que dans ce cas on peut rassembler ces  $v_k$  à l'intérieur d'un même logarithme)

Considérons le polynôme  $R$  de la variable  $t$  égal au résultant par rapport à  $X$  des polynômes  $D$  et  $N - tD'$  (rappelons qu'il s'agit du déterminant du système linéaire  $AD + B(N - tD') = 1$  où les inconnues sont les coefficients des polynômes  $A$  et  $B$ , ce déterminant est nul si et seulement si le système n'a pas de solution donc si et seulement si  $D$  et  $N - tD'$  ne sont pas premiers entre eux), alors ce polynôme en  $t$  s'annule si et seulement si  $t = c_k$ . On cherche les racines  $c_k$  en  $t$  de ce polynôme, elles doivent être indépendantes de  $x$  si  $F$  est élémentaire, et dans ce cas la primitive  $F$  de  $f = N/D$  vaut

$$F = \sum_{c_k \text{ racine de } R} c_k \ln(\gcd(N - c_k D', D))$$

### Exemples

–

$$\frac{2x-2}{e^x+1}, \quad D = X+1, D' = e^x = X, \quad N - tD' = 2x-2-tX$$

On calcule  $R = -2 * x - t + 2$ , l'unique racine est  $t = 2 - 2x$  qui n'est pas constante donc cette fonction n'admet pas de primitive élémentaire.

–

$$\frac{(2x^2 - x - 2)X - 1}{X^2 + (x+1)X + x}, \quad X = \exp(x^2 + x)$$

On a  $D' = 2(2x+1)X^2 + (1 + (2x+1)(x+1))X + 1$

$$R = -(2x-1)(x+1)(2x+1)(x-1)^2(t+1)(t-1)$$

les racines en  $t$  sont constantes et égales à 1 et -1, donc  $c_1 = 1$  et  $v_1 = \gcd(N - D', D) = X + 1$  et  $c_2 = -1$ ,  $v_2 = \gcd(N + D', D) = x + X$  donc :

$$\int \frac{(2x^2 - x - 2)X - 1}{X^2 + (x + 1)X + x} = \ln(X + 1) - \ln(x + X)$$

### Remarque importante

Pour les extensions exponentielles ou logarithmiques, la dérivée de la partie logarithmique calculée comme ci-dessus contiendra en général une partie entière constante par rapport à  $X$ , il faut donc retirer cette partie entière à la partie polynomiale.

#### 12.3.4 La partie polynomiale (généralisée)

On doit résoudre :

$$\left(\sum_j A_j X^j\right)' = \sum_j a_j X^j$$

avec une somme sur  $j \in \mathbb{Z}$  si  $X$  est une exponentielle et  $j \in \mathbb{N}$  sinon.

Si  $X = x$ ,  $j \geq 0$  et la résolution est immédiate : on prend  $A_0 = 0$  et  $A_{j+1} = a_j/(j + 1)$ .

#### 12.3.5 Extension logarithmique

Si  $X = \ln(Y)$  est un logarithme,  $j \geq 0$  et on doit résoudre :

$$\sum_{j \geq 0} (A'_j + (j + 1)A_{j+1} \frac{Y'}{Y}) X^j = \sum_j a_j X^j$$

Soit  $k$  la plus grande puissance non nulle de  $f$  ( $a_j = 0$  si  $j > k$  et  $a_k \neq 0$ ). Pour  $j > k$ , on a :

$$A'_j + (j + 1)A_{j+1} \frac{Y'}{Y} = 0$$

On résout pour des valeurs de  $j$  décroissante, pour  $j$  suffisamment grand, on a  $A_{j+1} = 0$  car la somme sur  $j$  est finie, donc  $A_j$  est constant. Si  $A_j \neq 0$ , alors au rang  $j - 1$ , on a  $A'_{j-1} = -jA_j Y'/Y$  qui n'admet pas de solutions car  $A_{j-1}$  ne peut pas dépendre de  $X = \ln(Y)$ . On en déduit que pour  $j > k + 1$ , on a  $A_j = 0$  et  $A_{k+1}$  est constant. En fait la valeur constante de  $A_{k+1}$  sera déterminée par une condition de compatibilité en résolvant l'équation au rang du dessous. On continue la résolution de

$$A'_j + (j + 1)A_{j+1} \ln(Y)' = a_j$$

par valeur décroissante de  $j$ , à chaque rang on va déterminer  $A_j$  à une constante près en résolvant un problème d'intégration (par appel récursif de l'algorithme de Risch, mais si  $j \neq 0$  sans autoriser l'ajout de nouveaux logarithmes sauf  $\ln(Y)$ ) et la valeur de la constante de  $A_{j+1}$  (on fait varier  $A_{j+1}$  de la constante nécessaire pour absorber le terme en  $\ln(Y)$  qui apparaît lors de l'appel récursif de Risch). Au rang 0, on est ramené à un problème d'intégration avec une variable de moins (la constante indéterminée dans  $A_1$  peut par exemple être choisie comme le coefficient constant de  $\ln(Y)$  s'il en apparaît un en intégrant).



**Exemple**

$X = \ln(x^2 + 1)$  et on cherche l'intégrale de  $X^2$ . On a donc  $A_3$  est constant,

$$A'_2 + 3A_3 \ln(x^2 + 1)' = 1$$

La primitive de 1 est élémentaire et ne fait pas intervenir de  $\ln$  donc  $A_3 = 0$  et  $A_2 = x + C_2$ . Au rang 1, on a :

$$A'_1 + 3x \frac{2x}{x^2 + 1} + C_2 \ln(x^2 + 1)' = 0$$

On calcule la primitive de  $6x^2/(x^2 + 1)$  qui doit être une fraction rationnelle à un  $C \ln(x^2 + 1)$  près, on voit que ce n'est pas le cas donc  $X^2$  n'admet pas de primitive élémentaire. Remarque : si on avait voulu intégrer  $X$  au lieu de  $X^2$ , la même méthode montre que la primitive existe, car au rang 0 il n'y a plus de contraintes sur les  $\ln$  qu'on peut rajouter.

**12.3.6 Extension exponentielle**

Si  $X = \exp(Y)$  est une exponentielle, on doit résoudre :

$$\sum_j (A'_j + jY' A_j) X^j = \sum_j a_j X^j$$

Ceci va se faire degré par degré :

$$A'_j + jY' A_j = a_j \quad (25)$$

**Exemple**

Pour calculer  $\int a(x) \exp(x^2)$ , on a  $j = 1$ , et on doit résoudre l'équation différentielle :

$$A'_1 + 2xA_1 = a(x)$$

Pour  $j = 0$ , il suffit de faire un appel récursif à l'algorithme de Risch, mais pour  $j \neq 0$ , la situation se complique ! Notons  $Z$  la variable située juste en-dessous de  $X$  dans la tour de variables (dans l'exemple ci-dessus  $Z = x$ ), il s'agit de résoudre :

$$y' + fy = g \quad (26)$$

avec  $f, g$  élémentaires par rapport à une tour dont le variable au sommet est  $Z$ , on cherche  $y$  élémentaire par rapport à cette tour (ici  $f = jY'$  est une dérivée mais dans certains cas nous devons résoudre par appel récursif des équations du type ci-dessus où  $f$  ne sera pas une dérivée).

**Élimination des dénominateurs**

Soit  $P$  un facteur irréductible du dénominateur de  $y$ , notons  $\alpha < 0$  la valuation de  $y$  par rapport à  $P$ ,  $\beta$  celle de  $f$ ,  $\gamma$  celle de  $g$ . Si  $P$  n'est pas une exponentielle, la valuation de  $y'$  est  $\alpha - 1$ , celle de  $fy$  est  $\alpha + \beta$ . Si  $\beta \neq -1$ , il n'y a pas de simplification possible dans le membre de gauche donc  $\alpha + \min(\beta, -1) = \gamma$ . Autrement dit, si  $\beta \geq 0$  alors  $\alpha = \gamma + 1$  et si  $\beta < -1$  alors  $\alpha = \gamma - \beta$ . On observe que  $\gamma < 0$  donc  $P$  est un facteur du dénominateur  $g_d$  de  $g$ . De plus, on va montrer que la valuation  $\alpha$  de  $P$  dans  $y$  est l'opposé de celle de  $P$  dans :

$$D = \frac{\gcd(g_d, \partial_Z g_d)}{\gcd(c, \partial_Z c)}, \quad c = \gcd(f_d, g_d) \quad (27)$$

En effet, si  $\beta \geq 0$ ,  $P$  ne divise pas  $f_d$  donc ne divise pas  $c$ , donc la valuation de  $P$  dans  $D$  est  $-\gamma - 1$ . Si  $\beta < -1$ , alors  $\alpha = \gamma - \beta < 0$  entraîne  $-\gamma > -\beta$  donc la valuation de  $P$  dans  $c$  est  $-\beta$  et la valuation de  $P$  dans  $D$  est  $-\gamma - 1 - (-\beta - 1)$ .

Si  $\beta = -1$ , s'il n'y a pas de simplifications dans le membre de gauche pour les termes de plus petite puissance en  $P$ , alors  $\alpha = \gamma + 1$ . S'il y a simplification, on décompose en éléments simples (avec Bézout) puis on ordonne par puissances croissantes de  $P$  :

$$y = N_1 P^\alpha + \dots, f = N_2 P^{-1} + \dots,$$

avec  $N_1, N_2$  de degré plus petit que  $P$ , puis on remplace dans (26). On cherche les termes de valuation  $\alpha - 1$  en  $P$  qui doivent se simplifier :

$$\alpha N_1 P' P^{\alpha-1} + N_2 P^{-1} N_1 P^\alpha = 0$$

donc :

$$N_2 = -\alpha P'$$

ce qui détermine  $\alpha$ .

### Récapitulons

Si  $f$  est une dérivée, alors  $\beta = -1$  est exclus et on peut appliquer (27) pour déterminer  $D$ . Si  $f$  n'est pas une dérivée, on calcule les facteurs de degré 1 de  $f_d$  :

$$f_1 = \frac{f_d}{\gcd(f_d, \partial_Z f_d)}$$

on décompose  $f$  par Bézout en isolant la partie  $N/f_1$  les  $\alpha$  possibles sont alors les racines entières (en  $t$ ) du résultant en  $Z$  de  $N - t f_1'$  et  $f_1$ , ils correspondent aux facteurs  $\gcd(N - \alpha f_1', f_1)$  que l'on retire de  $f_d$  pour appliquer (27).

### Exemple

Reprenons  $y' + 2xy = a(x)$ . Si  $a(x) = 1$  (résolution de  $\int \exp(x^2)$ ), ou plus généralement si  $a(x)$  est un polynôme, alors  $D = 1$ . Si  $a(x) = 1/x^2$ , on trouve  $D = x$  et on pose  $y = xz$ , donc  $x^2(xz' + z) + 2x^4z = 1$  soit  $x^3z' + (2x^4 + 1)z = 1$ .

Reste le cas où  $Z$  est une exponentielle et  $P = \exp(z)$ . On reprend le même raisonnement,  $y'$  a pour valuation  $-\alpha < 0$ ,  $fy$  a pour valuation  $-\beta - \alpha$ , donc si  $\beta > 0$ ,  $\alpha = \gamma$  et si  $\beta < 0$ ,  $\alpha = \gamma - \beta$ . Si  $\beta = 0$ , s'il n'y a pas de simplifications du terme de plus bas degré, on est ramené au cas précédent. Si  $\beta = 0$  et s'il y a simplification des termes de plus bas degré en  $Z$ , notons  $f_0$  le coefficient constant de  $f$  par rapport à  $Z$  et  $y_\alpha$  le coefficient de  $Z^\alpha$  dans  $y$ , on a

$$y'_\alpha + (\alpha z' + f_0)y_\alpha = 0$$

donc :

$$y_\alpha = \exp(-\alpha z - \int f_0)$$

Comme  $y_\alpha$  est élémentaire et indépendant de  $Z$  on en déduit par le théorème de structure de Risch que  $-\alpha z - \int f_0$  est combinaison linéaire à coefficients rationnels des logarithmes et des arguments des exponentielles de la tour, de plus le coefficient de  $z$  doit être nul pour que  $y_\alpha$  soit indépendant de  $Z$ , ce qui impose la valeur de  $\alpha$  (après avoir résolu récursivement le problème d'intégration pour  $f_0$ )

### Majoration du degré du numérateur de $y$

En multipliant  $y$  par  $DZ^{-\alpha}$ , puis en réduisant au même dénominateur, on se ramène alors à une équation différentielle à coefficients polynomiaux par rapport à la variable  $Z$  dont l'inconnue est un polynôme  $N$  :

$$RN' + SN = T \quad (28)$$

On va chercher une majoration sur le degré possible de  $N$  puis utiliser l'identité de Bézout pour simplifier cette équation.

On écrit maintenant  $N = \sum_{k=0}^n N_k Z^k$  et on remplace, il y a à nouveau trois cas selon le type de  $Z$ .

#### Si $Z = x$ : cas exponentielle rationnelle

Donc  $Z' = 1$ , le degré de  $RN'$  est  $r + n - 1$  (si  $N$  est non constant c'est-à-dire si  $T$  n'est pas un multiple de  $S$ ), le degré de  $SN$  est  $s + n$ . Si  $r - 1 \neq s$ , on en déduit que :

$$n = t - \max(r - 1, s)$$

Si  $r - 1 = s$ , on peut avoir une simplification du terme de plus haut degré  $s + n$  (sinon on est dans le cas précédent) si  $nR_r = S_s$  d'où on déduit le degré  $n$  de  $N$ .

Par exemple, pour  $y' + 2xy = T$  ou pour  $x^3 z' + (2x^4 + 1)z = 1$  on a  $r = s - 1$  donc  $n + s = t$ , donc pas de solution dans le deuxième cas, dans le premier cas il ne peut y avoir de solutions que si  $t \geq s$ , en particulier il n'y a pas de solution pour  $t = 1$ , on a donc démontré que  $\int \exp(x^2)$  n'admet pas de primitive élémentaire.

#### Si $Z = \exp(z)$ : cas exponentielle d'exponentielle

Ici les  $N_k$  peuvent ne pas être constants, on a :

$$N' = \sum_{k=0}^n (N'_k + kN_k z') Z^k$$

Comme on l'a déjà observé,  $N'_n + nN_n z' \neq 0$ , donc le degré de  $N'$  est égal au degré de  $N$ . On a donc trois cas :

- si  $r \neq s$ , alors  $n = t - \max(r, s)$
- si  $r = s$  et les termes de plus haut degré du membre de gauche ne se simplifient pas, alors,  $n = t - r = t - s$ .
- si  $r = s$  et s'il y a simplification, alors :

$$R_r(N'_n + nN_n z') + S_s N_n = 0$$

donc :

$$N'_n + \left(\frac{S_s}{R_r} + nz'\right)N_n = 0$$

et :

$$N_n = C \exp\left(-nz - \int \frac{S_s}{R_r}\right)$$

On appelle alors l'algorithme de Risch avec une variable de moins ( $S_s$  et  $R_r$  ne dépendent plus de  $Z$ ) pour calculer  $I = \int S_s/R_r$ . Il s'agit alors de trouver  $n$  tel que l'exponentielle précédente soit élémentaire et indépendante de la variable  $Z$ . Le théorème de structure de Risch implique que  $-nz - \int S_s/R_r$  est combinaison linéaire à coefficients rationnels des logarithmes et des arguments des exponentielles de autres variables de la tour (jusqu'à  $z$  non compris). Ceci permet de déterminer  $n$  de manière unique (c'est le coefficient rationnel de  $\int S_s/R_r$  en  $z$ ).

**Si  $Z = \ln(z)$  : exponentielle de logarithme**

Ici aussi, les  $N_k$  peuvent ne pas être constants, on a :

$$N' = \sum_{k=0}^n (N'_k Z^k + k N_k \frac{z'}{z} Z^{k-1})$$

Si  $N_n$  n'est pas constant, le terme de plus haut degré de  $RN'$  est  $N'_n R_r Z^{n+r}$ , si  $N_n$  est constant, le terme de plus haut degré de  $RN'$  est  $R_r(n N_n z'/z + N'_{n-1}) Z^{r-1}$  qui est non nul (sinon  $z'/z = CN'_{n-1}$  et  $z = \exp(CN_{n-1})$  serait une exponentielle). Le terme de plus haut degré de  $SN$  est  $N_n S_s Z^{n+s}$ .

- Si  $r < s$  ou si  $r = s$  sans simplifications, alors  $n = t - s$ .
- Si  $r > s + 1$  ou si  $r = s + 1$  sans simplifications, alors  $\deg(N') = t - r$  donc  $n = t - r$  ou  $n = t - r + 1$ .
- Si  $r = s + 1$ , et s'il y a simplifications, alors  $N_n$  est constant et :

$$R_r(n N_n z'/z + N'_{n-1}) + S_s N_n = 0$$

alors  $N_{n-1} = C(-\int N_n S_s / R_r - n N_n \ln(z))$  doit être élémentaire et indépendante de  $Z$  donc  $\int S_s / R_r$  est élémentaire, on détermine  $n$  en éliminant le coefficient de  $Z = \ln(z)$  provenant de  $\int S_s / R_r$ .

- Si  $r = s$ , et s'il y a simplification des termes de plus haut degré du membre de gauche, alors  $N'_n R_r + N_n S_s = 0$  donc  $N_n = \exp(-\int S_s / R_r)$  est élémentaire et indépendante de  $Z$ . On peut donc changer d'inconnue  $N = N_n M$  sans changer le fait que  $M$  est un polynôme de même degré que  $N$ . On se ramène alors à une équation du même type

$$RM' + (S - R \frac{S_s}{R_r})M = \frac{T}{N_n}$$

mais avec  $s$  diminué de 1 au moins.

#### **Réduction (algorithme SPDE de Rothstein)**

On observe d'abord que si  $R$  et  $S$  ont un facteur en commun, alors ce facteur divise  $T$  car  $N'$  et  $N$  sont des polynômes en  $Z$ . On peut donc quitte à simplifier par  $\gcd(R, S)$  se ramener au cas où  $R$  et  $S$  sont premiers entre eux, il existe donc deux polynômes  $U$  et  $V$  tels que :

$$RU + SV = T, \quad \deg(V) < \deg(R) \quad (29)$$

En soustrayant (29) de (28), on montre que  $R$  divise  $N - V$ . Soit  $H = (N - V)/R$ . Alors  $N = RH + V$  donc

$$R(RH' + R'H + V') + SRH + SV = T = RU + SV$$

donc après simplification par  $SV$  et division par  $R$ ,  $H$  vérifie l'équation :

$$RH' + (S + R')H = U - V'$$

C'est une équation du même type mais avec  $\deg(H) = \deg(N) - \deg(R)$  ou  $H = 0$  (si  $N = V$ ). Donc si  $\deg(R) > 0$ , au bout d'un nombre fini d'étapes on doit tomber sur un second membre nul ou des simplifications de  $R$  avec  $S + R'$  telles que  $R$  simplifié soit constant en  $Z$ .

### Résolution

Si  $R$  est constant par rapport à  $Z$ , on simplifie par  $R$  et on doit résoudre

$$N' + SN = T$$

Si  $S = 0$ , c'est un problème d'intégration. Supposons donc que  $S \neq 0$ . Si  $S$  est non constant par rapport à  $Z$  ou si  $Z = x$ , le degré de  $N'$  est strictement inférieur au degré de  $SN$ , on peut donc facilement résoudre. Reste le cas où  $S = b$  est constant non nul par rapport à  $Z$  et  $Z$  est une exponentielle ou un logarithme.

**Si**  $Z = \exp(z)$

On a alors doit résoudre

$$N'_k + kN_k z' + bN_k = T_k$$

c'est une équation différentielle de Risch mais avec une variable de moins.

**Si**  $Z = \ln(z)$

On doit alors résoudre

$$N'_k + (k+1)N_{k+1} \frac{z'}{z} + bN_k = T_k$$

c'est aussi une équation différentielle de Risch avec une variable de moins.

### Exemple

Voyons comment on intègre  $x^n$  avec  $n$  un paramètre par l'algorithme de Risch (cela illustre les possibilités couvertes par l'algorithme mais aussi l'efficacité des méthodes traditionnelles d'intégration lorsqu'elles s'appliquent). On écrit d'abord  $x^n = e^{n \ln(x)}$ , donc la tour de variables est  $\{x, Z = \ln(x), X = e^{n \ln(x)}\}$ , il s'agit donc d'intégrer  $X$  qui est un polynôme généralisé. On cherche donc  $A_1$  solution de l'équation différentielle de Risch

$$A'_1 + n/x A_1 = 1$$

Par rapport à  $Z = \ln(x)$  la fonction  $f = n/x$  est un polynôme, donc on applique le dernier cas ci-dessus,  $A_1$  est aussi indépendant de  $\ln(x)$  et on se ramène à résoudre la même équation mais avec comme variable principale  $x$  et non  $Z$ . Cette fois, il y a un dénominateur  $x$  en  $f$ . Si  $A_1$  possède un dénominateur, il faut qu'il y ait annulation du terme de plus bas degré en  $x$  car le second membre n'a pas de dénominateur, on obtient  $n + \alpha = 0$  qui n'a pas de solution, donc  $A_1$  est un polynôme en  $x$  et l'équation se réécrit en :

$$xA'_1 + nA_1 = x$$

On majore alors le degré en  $x$  de  $A_1$  par 1, car il ne peut pas y avoir d'annulation de terme de plus grand degré. Ensuite, on peut appliquer l'algorithme SPDE de Rothstein pour réduire le degré, ou ici conclure à la main,  $x$  divise  $nA_1$  donc  $A_1 = Cx$  qu'on remplace et  $C = 1/(n+1)$ . Finalement,  $A_1 = x/(n+1)$  et  $\int x^n = x/(n+1)x^n$ .

## 12.4 Quelques références

- M. Bronstein :  
Symbolic Integration I, Transcendental functions, Springer

- M. Bronstein :  
Integration tutorial,  
[http://www-sop.inria.fr/cafe/Manuel.Bronstein/publications/mb\\_papers](http://www-sop.inria.fr/cafe/Manuel.Bronstein/publications/mb_papers).
- J.H. Davenport, Y. Siret, E. Tournier :  
Calcul formel : Systèmes et algorithmes de manipulations algébriques
- R. Risch :  
les références des articles originaux de Risch sont dans le “Integration tutorial” de Bronstein.
- B. Trager :  
PHD thesis MIT, 1984
- On peut lire en clair le code source de l’implémentation en MuPAD (sous Unix, désarchiver le fichier `lib.tar` du répertoire `/usr/local/MuPAD/share/lib` et regarder dans le sous-répertoire `lib/INTLIB`)

## 13 Intégration numérique

Les fractions rationnelles admettent une primitive que l’on calcule en décomposant la fraction avec Bézout comme expliqué précédemment. Mais elles font figure d’exceptions, la plupart des fonctions n’admettent pas de primitives qui s’expriment à l’aide des fonctions usuelles. Pour calculer une intégrale, on revient donc à la définition d’aire sous la courbe, aire que l’on approche, en utilisant par exemple un polynôme de Lagrange.

Le principe est donc le suivant : on découpe l’intervalle d’intégration en subdivisions  $[a, b] = [a, a + h] + [a + h, a + 2h] + \dots [a + (n - 1)h, a + nh = b]$ , où  $h = (b - a)/n$  est le pas de la subdivision, et sur chaque subdivision, on approche l’aire sous la courbe.

### 13.1 Les rectangles et les trapèzes

Sur une subdivision  $[\alpha, \beta]$ , on approche la fonction par un segment. Pour les rectangles, il s’agit d’une horizontale : on peut prendre  $f(\alpha)$ ,  $f(\beta)$  (rectangle à droite et gauche) ou  $f((\alpha + \beta)/2)$  (point milieu), pour les trapèzes on utilise le segment reliant  $[\alpha, f(\alpha)]$  à  $[\beta, f(\beta)]$ .

Exemple : calcul de la valeur approchée de  $\int_0^1 t^3 dt$  (on en connaît la valeur exacte  $1/4 = 0.25$ ) par ces méthodes en subdivisant  $[0, 1]$  en 10 subdivisions (pas  $h = 1/10$ ), donc  $\alpha = j/10$  et  $\beta = (j + 1)/10$  pour  $j$  variant de 0 à 9. Pour les rectangles à gauche, on obtient sur une subdivision  $f(\alpha) = (j/10)^3$  que l’on multiplie par la longueur de la subdivision soit  $h = 1/10$  :

$$\frac{1}{10} \sum_{j=0}^9 \left(\frac{j}{10}\right)^3 = \frac{81}{400} = 0.2025$$

Pour les rectangles à droite, on obtient

$$\frac{1}{10} \sum_{j=1}^{10} \left(\frac{j}{10}\right)^3 = \frac{121}{400} = 0.3025$$

Pour le point milieu  $f((\alpha + \beta)/2) = f((j/10 + (j+1)/10)/2) = f(j/10 + 1/20)$

$$\frac{1}{10} \sum_{j=0}^9 \left( \frac{j}{10} + \frac{1}{20} \right)^3 = 199/800 = 0.24875$$

Enfin pour les trapèzes, l'aire du trapèze délimité par l'axe des  $x$ , les verticales  $y = \alpha$ ,  $y = \beta$  et les points sur ces verticales d'ordonnées respectives  $f(\alpha)$  et  $f(\beta)$  vaut

$$h \frac{f(\alpha) + f(\beta)}{2}$$

donc

$$\frac{1}{10} \sum_{j=0}^9 \left( \left( \frac{j}{10} \right)^3 + \left( \frac{j+1}{10} \right)^3 \right) = \frac{101}{400} = 0.2525$$

Dans la somme des trapèzes, on voit que chaque terme apparait deux fois sauf le premier et le dernier.

Plus généralement, les formules sont donc les suivantes :

$$\text{rectangle gauche} = h \sum_{j=0}^{n-1} f(a + jh) \quad (30)$$

$$\text{rectangle droit} = h \sum_{j=1}^n f(a + jh) \quad (31)$$

$$\text{point milieu} = h \sum_{j=0}^{n-1} f\left(a + jh + \frac{h}{2}\right) \quad (32)$$

$$\text{trapezes} = h \left( \frac{f(a) + f(b)}{2} + \sum_{j=1}^{n-1} f(a + jh) \right) \quad (33)$$

où  $h = (b - a)/n$  est le pas de la subdivision,  $n$  le nombre de subdivisions.

On observe sur l'exemple que le point milieu et les trapèzes donnent une bien meilleure précision que les rectangles. Plus généralement, la précision de l'approximation n'est pas la même selon le choix de méthode. Ainsi pour les rectangles à gauche (le résultat est le même à droite), si  $f$  est continument dérivable, de dérivée majorée par une constante  $M_1$  sur  $[a, b]$ , en faisant un développement de Taylor de  $f$  en  $\alpha$ , on obtient

$$\left| \int_{\alpha}^{\beta} f(t) dt - \int_{\alpha}^{\beta} f(\alpha) dt \right| = \left| \int_{\alpha}^{\beta} f'(\theta_t)(t - \alpha) dt \right| \leq M_1 \int_{\alpha}^{\beta} (t - \alpha) dt = M_1 \frac{(\beta - \alpha)^2}{2}$$

Ainsi dans l'exemple, on a  $M_1 = 3$ , l'erreur est donc majorée par 0.015 sur une subdivision, donc par 0.15 sur les 10 subdivisions.

Pour le point milieu, on fait le développement en  $(\alpha + \beta)/2$  à l'ordre 2, en

supposant que  $f$  est deux fois continument dérivable :

$$\begin{aligned}
\left| \int_{\alpha}^{\beta} f(t) dt - \int_{\alpha}^{\beta} f\left(\frac{\alpha+\beta}{2}\right) dt \right| &= \left| \int_{\alpha}^{\beta} f'\left(\frac{\alpha+\beta}{2}\right) \left(t - \frac{\alpha+\beta}{2}\right) dt \right. \\
&\quad \left. + \int_{\alpha}^{\beta} \frac{f''(\theta_t)}{2} \left(t - \frac{\alpha+\beta}{2}\right)^2 dt \right| \\
&\leq \frac{M_2}{2} 2 \int_{\frac{\alpha+\beta}{2}}^{\beta} \left(t - \frac{\alpha+\beta}{2}\right)^2 dt \\
&\leq M_2 \frac{(\beta - \alpha)^3}{24}
\end{aligned}$$

Dans l'exemple, on a  $M_2 = 6$ , donc l'erreur sur une subdivision est majorée par  $0.25e - 3$ , donc sur 10 subdivisions par  $0.25e - 2 = 0.0025$ .

Pour les trapèzes, la fonction  $g$  dont le graphe est le segment reliant  $[\alpha, f(\alpha)]$  à  $[\beta, f(\beta)]$  est  $f(\alpha) + (t - \alpha)/(\beta - \alpha)f(\beta)$ , c'est en fait un polynôme de Lagrange, si  $f$  est deux fois continument dérivable, on peut donc majorer la différence entre  $f$  et  $g$  en utilisant (50), on intègre la valeur absolue ce qui donne

$$\left| \int_{\alpha}^{\beta} f(t) dt - \int_{\alpha}^{\beta} g(t) dt \right| \leq \int_{\alpha}^{\beta} \left| \frac{f''(\xi_x)}{2} (x - \alpha)(x - \beta) \right| \leq M_2 \frac{(\beta - \alpha)^3}{12}$$

où  $M_2$  est un majorant de  $|f''|$  sur  $[a, b]$ .

Lorsqu'on calcule l'intégrale sur  $[a, b]$  par une de ces méthodes, on fait la somme sur  $n = (b - a)/h$  subdivisions de longueur  $\beta - \alpha = h$ , on obtient donc une majoration de l'erreur commise sur l'intégrale :

- pour les rectangles à droite ou gauche  $nM_1 h^2/2 = M_1 h(b - a)/2$
- pour le point milieu  $M_2 h^2(b - a)/24$
- pour les trapèzes  $M_2 h^2(b - a)/12$ .

Lorsque  $h$  tend vers 0, l'erreur tend vers 0, mais pas à la même vitesse, plus rapidement pour les trapèzes et le point milieu que pour les rectangles. Plus on approche précisément la fonction sur une subdivision, plus la puissance de  $h$  va être grande, plus la convergence sera rapide lorsque  $h$  sera petit, avec toutefois une contrainte fixée par la valeur de  $M_k$ , borne sur la dérivée  $k$ -ième de  $f$  (plus  $k$  est grand, plus  $M_k$  est grand en général). Nous allons voir dans la suite comment se comporte cette puissance de  $h$  en fonction de la façon dont on approche  $f$ .

### 13.2 Ordre d'une méthode

On appelle méthode d'intégration l'écriture d'une approximation de l'intégrale sur une subdivision sous la forme

$$\int_{\alpha}^{\beta} f(t) dt \approx I(f) = \sum_{j=1}^k w_j f(y_j)$$

où les  $y_j$  sont dans l'intervalle  $[\alpha, \beta]$ , par exemple équirépartis sur  $[\alpha, \beta]$ . On utilise aussi la définition :

$$\int_{\alpha}^{\beta} f(t) dt \approx I(f) = (\beta - \alpha) \sum_{j=1}^k \tilde{w}_j f(y_j)$$



On prend toujours  $\sum_j w_j = \beta - \alpha$  (ou  $\sum_j \tilde{w}_j = 1$ ) pour que la méthode donne le résultat exact si la fonction est constante.

On dit qu'une méthode d'intégration est d'ordre  $n$  si il y a égalité ci-dessus pour tous les polynômes de degré inférieur ou égal à  $n$  et non égalité pour un polynôme de degré  $n + 1$ . Par exemple, les rectangles à droite et gauche sont d'ordre 0, le point milieu et les trapèzes sont d'ordre 1. Plus généralement, si on approche  $f$  par son polynôme d'interpolation de Lagrange en  $n + 1$  points (donc par un polynôme de degré inférieur ou égal à  $n$ ), on obtient une méthode d'intégration d'ordre au moins  $n$ .

Si une méthode est d'ordre  $n$  avec des  $w_j \geq 0$  et si  $f$  est  $n + 1$  fois continument dérivable, alors sur une subdivision, on a :

$$\left| \int_{\alpha}^{\beta} f - I(f) \right| \leq M_{n+1} \frac{(\beta - \alpha)^{n+2}}{(n+1)!} \left( \frac{1}{n+2} + 1 \right) \quad (34)$$

En effet, on fait le développement de Taylor de  $f$  par exemple en  $\alpha$  à l'ordre  $n$

$$\begin{aligned} f(t) &= T_n(f) + \frac{(t - \alpha)^{n+1}}{(n+1)!} f^{[n+1]}(\theta_t), \\ T_n(f) &= f(\alpha) + (t - \alpha)f'(\alpha) + \dots + \frac{(t - \alpha)^n}{n!} f^{[n]}(\alpha) \end{aligned}$$

Donc

$$\left| \int_{\alpha}^{\beta} f - \int_{\alpha}^{\beta} T_n(f) \right| \leq \int_{\alpha}^{\beta} \frac{(t - \alpha)^{n+1}}{(n+1)!} |f^{[n+1]}(\theta_t)| \leq \left[ M_{n+1} \frac{(t - \alpha)^{n+2}}{(n+2)!} \right]_{\alpha}^{\beta}$$

De plus,

$$\begin{aligned} |I(f) - I(T_n(f))| &= \left| I \left( f^{[n+1]}(\theta_t) \frac{(t - \alpha)^{n+1}}{(n+1)!} \right) \right| \leq \sum_{j=1}^k |w_j| M_{n+1} \frac{(y_j - \alpha)^{n+1}}{(n+1)!} \\ &\leq \sum_{j=1}^k |w_j| M_{n+1} \frac{(\beta - \alpha)^{n+1}}{(n+1)!} \end{aligned}$$

Donc comme la méthode est exacte pour  $T_n(f)$ , on en déduit que

$$\begin{aligned} \left| \int_{\alpha}^{\beta} f - I(f) \right| &= \left| \int_{\alpha}^{\beta} f - \int_{\alpha}^{\beta} T_n(f) + I(T_n(f)) - I(f) \right| \\ &\leq \left| \int_{\alpha}^{\beta} f - \int_{\alpha}^{\beta} T_n(f) \right| + |I(T_n(f)) - I(f)| \\ &\leq M_{n+1} \frac{(\beta - \alpha)^{n+2}}{(n+2)!} + \sum_{j=1}^k |w_j| M_{n+1} \frac{(\beta - \alpha)^{n+1}}{(n+1)!} \end{aligned}$$

Si les  $w_j \geq 0$ , alors  $\sum_{j=1}^k |w_j| = \sum_{j=1}^k w_j = \beta - \alpha$  et on obtient finalement (34)

On remarque qu'on peut améliorer la valeur de la constante en faisant tous les développements de Taylor en  $(\alpha + \beta)/2$  au lieu de  $\alpha$ , Après sommation sur les  $n$  subdivisions, on obtient que :

**Théorème 18** Pour une méthode d'ordre  $n$  à coefficients positifs et une fonction  $f$   $n + 1$  fois continument dérivable

$$|\int_a^b f - I(f)| \leq M_{n+1} \frac{h^{n+1}}{2^{n+1}(n+1)!} (b-a) \left( \frac{1}{(n+2)} + 1 \right)$$

On observe que cette majoration a la bonne puissance de  $h$  sur les exemples déjà traités, mais pas forcément le meilleur coefficient possible, parce que nous avons traité le cas général d'une méthode d'ordre  $n$ .

### 13.3 Simpson

Il s'agit de la méthode obtenue en approchant la fonction sur la subdivision  $[\alpha, \beta]$  par son polynome de Lagrange aux points  $\alpha, (\alpha + \beta)/2, \beta$ . On calcule l'intégrale par exemple avec un logiciel de calcul formel, avec Xcas :

```
factor(int(lagrange([a, (a+b)/2, b], [fa, fm, fb]), x=a..b))
```

qui donne la formule sur une subdivision

$$I(f) = \frac{h}{6} (f(\alpha) + 4f(\frac{\alpha + \beta}{2}) + f(\beta))$$

et sur  $[a, b]$  :

$$I(f) = \frac{h}{6} \left( f(a) + f(b) + 4 \sum_{j=0}^{n-1} f(a + jh + \frac{h}{2}) + 2 \sum_{j=1}^{n-1} f(a + jh) \right) \quad (35)$$

Si on intègre  $t^3$  sur  $[0, 1]$  en 1 subdivision par cette méthode, on obtient

$$\frac{1}{6} (0 + 4 \frac{1}{2^3} + 1) = \frac{1}{4}$$

c'est-à-dire le résultat exact, ceci est aussi vérifié pour  $f$  polynome de degré inférieur ou égal à 2 puisque l'approximation de Lagrange de  $f$  est alors égale à  $f$ . On en déduit que la méthode de Simpson est d'ordre 3 (pas plus car la méthode de Simpson appliquée à l'intégrale de  $t^4$  sur  $[0, 1]$  n'est pas exacte). On peut même améliorer (cf. par exemple Demailly) la constante générale de la section précédente pour la majoration de l'erreur en :

$$|\int_a^b f - I(f)| \leq \frac{h^4}{2880} (b-a) M_4$$

Cette méthode nécessite  $2n + 1$  évaluations de  $f$  (le calcul de  $f$  est un point étant presque toujours l'opération la plus couteuse en temps d'une méthode de quadrature), au lieu de  $n$  pour les rectangles et le point milieu et  $n + 1$  pour les trapèzes. Mais on a une majoration en  $h^4$  au lieu de  $h^2$  donc le "rapport qualité-prix" de la méthode de Simpson est meilleur, on l'utilise donc plutôt que les méthodes précédentes sauf si  $f$  n'a pas la régularité suffisante (ou si  $M_4$  est trop grand).

### 13.4 Newton-Cotes

On peut généraliser l'idée précédente, découper la subdivision  $[\alpha, \beta]$  en  $n$  parts égales et utiliser le polynôme d'interpolation en ces  $n + 1$  points  $x_0 = \alpha, x_1, \dots, x_n = \beta$ . Ce sont les méthodes de Newton-Cotes, qui sont d'ordre  $n$  au moins. Comme le polynôme d'interpolation dépend linéairement des ordonnées, cette méthode est bien de la forme :

$$I(f) = (\beta - \alpha) \sum_{j=0}^n \tilde{w}_j f(x_j)$$

De plus les  $\tilde{w}_j$  sont universels (ils ne dépendent pas de la subdivision), parce qu'on peut faire le changement de variables  $x = \alpha + t(\beta - \alpha)$  dans l'intégrale et le polynôme d'interpolation et donc se ramener à  $[0, 1]$ .

Exemple : on prend le polynôme d'interpolation en 5 points équidistribués sur une subdivision  $[a, b]$  (méthode de Boole). Pour calculer les  $\tilde{w}_j$ , on se ramène à  $[0, 1]$ , puis on tape

```
int (lagrange(seq(j/4, j, 0, 4), [f0, f1, f2, f3, f4]), x=0..1)
```

et on lit les coefficients de  $f_0$  à  $f_4$  qui sont les  $\tilde{w}_0$  à  $\tilde{w}_4$  :  $7/90, 32/90, 12/90, 32/90, 7/90$ . La méthode est d'ordre au moins 4 par construction, mais on vérifie qu'elle est en fait d'ordre 5 (exercice), la majoration de l'erreur d'une méthode d'ordre 5 est

$$\left| \int_a^b f - I(f) \right| \leq \frac{M_6}{2^6 6!} \left(1 + \frac{1}{7}\right) h^6 (b - a)$$

elle peut être améliorée pour cette méthode précise en

$$\left| \int_a^b f - I(f) \right| \leq \frac{M_6}{1935360} h^6 (b - a)$$

En pratique, on ne les utilise pas très souvent, car d'une part pour  $n \geq 8$ , les  $w_j$  ne sont pas tous positifs, et d'autre part, parce que la constante  $M_n$  devient trop grande. On préfère utiliser la méthode de Simpson en utilisant un pas plus petit.

Il existe aussi d'autres méthodes, par exemple les quadratures de Gauss (on choisit d'interpoler en utilisant des points non équirépartis tels que l'ordre de la méthode soit le plus grand possible) ou la méthode de Romberg qui est une méthode d'accélération de convergence basée sur la méthode des trapèzes (on prend la méthode des trapèzes en 1 subdivision de  $[a, b]$ , puis 2, puis  $2^2$ , ..., et on élimine les puissances de  $h$  du reste  $\int f - I(f)$  en utilisant un théorème d'Euler-Mac Laurin qui montre que le développement asymptotique de l'erreur en fonction de  $h$  ne contient que des puissances paires de  $h$ ). De plus, on peut être amené à faire varier le pas  $h$  en fonction de la plus ou moins grande régularité de la fonction.

### 13.5 En résumé

Intégration sur  $[a, b]$ ,  $h$  pas d'une subdivision,  $M_k$  majorant de la dérivée  $k$ -ième de la fonction sur  $[a, b]$

	formule	Lagrange degré	ordre	erreur
rectangles	(30), (31)	0	0	$M_1 h (b - a) / 2$
point milieu	(32)	0	1	$M_2 h^2 (b - a) / 24$
trapèzes	(33)	1	1	$M_2 h^2 (b - a) / 12$
Simpson	(35)	2	3	$M_4 h^4 (b - a) / 2880$

### 13.6 Quadratures gaussiennes.

On a vu que l'interpolation polynomiale était de meilleure qualité en prenant les points de Tchebyshev plutôt que des points équidistants, il est donc naturel de calculer des approximations d'intégrale de cette manière ou encore d'optimiser le choix des abscisses pour avoir une méthode d'intégration d'ordre maximal.

Si on se fixe  $n$  abscisses  $x_1$  à  $x_n$ , on peut obtenir l'ordre  $2n - 1$ . En effet, si on considère le polynôme  $P_n = \prod_{i=1}^n (x - x_i)$ , il est de degré  $n$ , si la méthode est d'ordre  $2n - 1$  alors il sera orthogonal à tous les polynômes de degré inférieur strict à  $n$  pour le produit scalaire  $f.g = \int_a^b f(x)g(x) dx$  puisque  $P_n.x^j = \int_a^b P_n.x^j$  sera combinaison linéaire des  $P_n.x^j$  en  $x_k, k = 1..n$  (car l'intégrale est exacte puisque le degré du polynôme est au plus  $2n - 1$ ). Donc  $P_n$  est à une constante multiplicative près le  $n$ -ième polynôme orthogonal pour l'intégrale sur  $[a, b]$ , si  $[a, b] = [-1, 1]$  c'est  $\text{legendre}(n)$ . Réciproquement, si les  $x_k$  sont les racines de ce polynôme, alors la formule d'intégration est exacte, on effectue la division euclidienne du polynôme  $P$  de degré au plus  $2n - 1$  à intégrer par  $P_n$

$$P = P_n Q + R, \quad \deg(Q) \leq n - 1$$

On a  $\int_a^b P_n Q = 0$  par orthogonalité et la combinaison linéaire correspondante en les  $x_k$  est nulle, et on a exactitude pour  $R$ , car de degré au plus  $n - 1$ .

### 13.7 Méthode adaptative.

On calcule une valeur approchée de l'intégrale sur  $[a, b]$  par deux quadratures gaussiennes emboîtées, on estime l'erreur, si elle est supérieure à la tolérance on divise en 2. On recommence en subdivisant en 2 l'intervalle où l'erreur est maximale. On s'arrête lorsque l'erreur estimée est inférieure à la tolérance.

L'estimation de l'erreur se fait par exemple avec deux quadratures gaussiennes emboîtées (c'est-à-dire que les points d'interpolation de la moins fine sont contenues dans les points d'interpolation de la plus fine, pour éviter de devoir calculer la fonction en de nouveaux points, on considère alors l'erreur sur la quadrature la moins fine comme la valeur absolue de la différence des deux valeurs). Ou avec trois quadratures emboîtées, Hairer propose de prendre comme quadrature la plus fine en  $h^{30}$  (15 points), intermédiaire en  $h^{14}$  (avec les mêmes points sauf le point central), moins fine en  $h^6$  (avec les points 1, 3, 5, 9, 11, 13), et d'estimer l'erreur par

$$\epsilon_1 = |I_{30} - I_{14}|, \epsilon_2 = |I_{30} - I_6|; \epsilon = \epsilon_1 \left( \frac{\epsilon_1}{\epsilon_2} \right)^2$$

## 14 Suites itératives et applications

Résumé :

Théorème du point fixe, méthode de Newton, convexité. Exemple : calcul de valeur approchée de racines carrées, Résolution d'équations.

### 14.1 Le point fixe dans $\mathbb{R}$

Soit  $f$  une fonction continue sur un intervalle  $I = [a, b]$  de  $\mathbb{R}$ , et à valeurs dans  $I$  (attention à bien choisir  $I$  pour que l'image de  $I$  par  $f$  reste dans  $I$ ). On

s'intéresse à la suite

$$u_{n+1} = f(u_n), \quad u_0 \in I \quad (36)$$

Supposons que  $u_n$  converge vers une limite  $l \in I$  lorsque  $n \rightarrow +\infty$ , alors la limite doit vérifier

$$f(l) = l$$

puisque  $f$  est continue. On dit que  $l$  est un point fixe de  $f$ . Ceci amène à l'idée d'utiliser ces suites pour résoudre numériquement l'équation  $f(x) = x$ . Nous allons donner un théorème permettant d'assurer que la suite (36) converge, et que la limite est l'unique solution de  $f(l) = l$  sur  $I$ .

**Définition 19** On dit que  $f$  est contractante de rapport  $k < 1$  sur  $I$  si

$$\forall x, y \in I, \quad |f(y) - f(x)| \leq k|y - x|$$

En pratique, les fonctions  $f$  que l'on considèrera seront continument dérivables, donc d'après le théorème des accroissements finis

$$f(y) - f(x) = f'(\theta)(y - x), \quad \theta \in [x, y]$$

ainsi pour vérifier que  $f$  est contractante, on étudie la valeur absolue de  $f'$  sur  $I$ , il suffit de montrer que cette valeur absolue est strictement inférieure à un réel  $k < 1$  pour conclure (il faut donc chercher le maximum de  $|f'|$  sur  $I$ . Attention, il s'agit du maximum de  $|f'|$  et pas du maximum de  $f'$ , ce qui revient à chercher le maximum de  $f'$  et de  $-f'$ ).

On a alors le

**Théorème 20** (du point fixe)

si  $f$  est contractante de  $I = [a, b]$  dans  $I$  de rapport  $k$  alors la suite (36) converge vers l'unique solution de  $f(l) = l$  dans  $I$ . On a de plus les encadrements :

$$|u_n - l| \leq k^n |b - a|, \quad |u_n - l| \leq \frac{|u_{n+1} - u_n|}{1 - k} \quad (37)$$

Démonstration : Tout d'abord si  $f$  est contractante, on montre à partir de la définition de la continuité que  $f$  est continue. Soit  $g(x) = f(x) - x$ , alors  $g$  est continue, positive en  $a$  et négative en  $b$ , il existe donc  $l \in [a, b]$  tel que  $g(l) = 0$  (théorème des valeurs intermédiaires). Soit  $u_n$  une suite définie par (36). On a alors pour tout  $n$

$$|u_{n+1} - l| = |f(u_n) - f(l)| \leq k|u_n - l|$$

Donc par une récurrence évidente :

$$|u_n - l| \leq k^n |u_0 - l|$$

ce qui entraîne d'ailleurs que  $|u_n - l| \leq k^n |a - b|$ . Comme  $k \in [0, 1[$ , la suite géométrique  $k^n$  converge vers 0 lorsque  $n$  tend vers l'infini, donc  $u_n$  tend vers  $l$ . Notons que  $l$  est unique car si  $l'$  est une autre solution alors  $|l - l'| = |f(l) - f(l')| \leq k|l - l'|$  donc  $(1 - k)|l - l'| \leq 0$ , or  $1 - k > 0$  et  $|l - l'| \geq 0$  donc  $|l - l'|$  doit être nul. Passons à la preuve de la majoration (37) qui est importante en pratique car

elle donne un test d'arrêt de calcul des termes de la suite récurrente, on écrit pour  $m > 0$  :

$$u_n - l = u_n - u_{n+1} + u_{n+1} - u_{n+2} + \dots + u_{n+m-1} - u_{n+m} + u_m - l$$

puis on majore avec l'inégalité triangulaire

$$|u_n - l| \leq \sum_{j=0}^{m-1} |u_{n+j} - u_{n+j+1}| + |u_m - l|$$

puis on applique le fait que  $f$  est contractante de rapport  $k$

$$|u_n - l| \leq \sum_{j=0}^{m-1} k^j |u_n - u_{n+1}| + |u_m - l|$$

soit

$$|u_n - l| \leq \frac{1 - k^m}{1 - k} |u_n - u_{n+1}| + |u_m - l|$$

On fait alors tendre  $m$  vers l'infini d'où le résultat.

Remarque : on peut aussi (voir plus bas le point fixe en dimension  $n$ ) montrer l'existence de la limite en montrant que  $(u_n)$  est une suite de Cauchy. On peut alors faire  $a = -\infty$  ou  $b = +\infty$  dans l'énoncé du théorème. On remarque aussi que l'existence d'un point fixe dans  $[a, b]$  pour  $a$  et  $b$  finis ne nécessite pas la contractance de rapport  $k < 1$ , il suffit de préserver  $[a, b]$ .

Exemples : Cherchons une valeur approchée de  $\sqrt{2}$  par cette méthode. Il faut d'abord trouver une fonction  $f$  dont  $\sqrt{2}$  est un point fixe, par exemple

$$f(x) = \frac{x+2}{x+1}$$

On vérifie que  $f(\sqrt{2}) = \sqrt{2}$ , puis que  $f' = -1/(x+1)^2$  donc  $f$  décroît. On va voir si les hypothèses du théorème du point fixe s'appliquent sur par exemple  $[1, 2]$ . Comme  $f$  est décroissante  $f([1, 2]) = [f(2), f(1)] = [4/3, 3/2]$  qui est bien inclus dans  $[1, 2]$ . De plus  $f'$  est comprise entre  $-1/(1+1)^2 = -1/4$  et  $-1/(2+1)^2 = -1/9$  donc  $|f'| < 1/4$ ,  $f$  est contractante de rapport  $1/4$ . On peut donc itérer la suite à partir par exemple de  $u_0 = 1$  et on va converger vers  $\sqrt{2}$  (en s'en rapprochant à chaque cran d'un rapport inférieur à  $1/4$ ).

Considérons l'équation en  $x$

$$x - e \sin(x) = t, \quad e \in [0, 1[$$

c'est l'équation du temps utilisée en astronomie pour trouver la position d'une planète sur son orbite elliptique ( $e$  étant l'excentricité de l'ellipse). Il n'y a pas de formule exacte permettant de calculer  $x$  en fonction de  $t$ . Si on a une valeur numérique pour  $t$ , on peut trouver une valeur numérique approchée de  $x$  par la méthode du point fixe, en réécrivant l'équation sous la forme

$$f(x) = t + e \sin(x) = x$$

On observe que  $f$  envoie  $\mathbb{R}$  dans  $[t - e, t + e]$  donc on peut prendre  $I = [t - e, t + e]$ , de plus  $|f'| \leq e < 1$ ,  $f$  est contractante de rapport  $e \in [0, 1[$ , le théorème

s'applique, il suffit de prendre une valeur initiale dans  $[t-e, t+e]$  et d'itérer la suite jusqu'à obtenir la précision désirée. Par exemple si on veut une valeur approchée de  $x$  à  $10^{-6}$  près, il suffira que la différence entre deux termes successifs de la suite  $u_n$  vérifie

$$|u_{n+1} - u_n| \leq 10^{-6}(1 - e)$$

on aura alors bien :

$$|u_n - x| \leq \frac{|u_{n+1} - u_n|}{1 - e} \leq 10^{-6}$$

Cette méthode n'est pas toujours optimale, car la vitesse de convergence vers la limite  $l$  est dite "linéaire", c'est-à-dire que le temps de calcul pour avoir  $n$  décimales est proportionnel à  $n$  (ou encore il faut effectuer un nombre d'itérations proportionnel à  $n$ , chaque itération faisant gagner en précision de l'ordre du rapport  $k$  de contractance). En effet, supposons que  $f'$  est continue en  $l$  et que  $0 < L = |f'(l)| < 1$ . Il existe alors un intervalle  $I = [l - \eta, l + \eta]$  tel que

$$x \in I \Rightarrow \frac{L}{2} \leq |f'(x)| \leq \frac{1+L}{2}$$

Le théorème des accroissements finis donne alors

$$|u_{n+1} - l| = |f(u_n) - f(l)| = |f'(\theta)| |u_n - l|, \quad \theta \in [u_n, l]$$

Si  $u_0 \in I$ , alors  $\theta \in I$  donc  $|u_1 - l| \leq |u_0 - l|$  et  $u_1 \in I$ , par récurrence on a pour tout  $n$ ,  $u_n \in I$

$$\frac{L}{2} |u_n - l| \leq |u_{n+1} - l| \leq \frac{1+L}{2} |u_n - l|$$

on a donc par récurrence

$$\left(\frac{L}{2}\right)^n |u_0 - l| \leq |u_n - l| \leq \left(\frac{1+L}{2}\right)^n |u_0 - l|$$

Donc pour avoir  $|u_n - l| \leq \epsilon$  il suffit que

$$\left(\frac{1+L}{2}\right)^n |u_0 - l| \leq \epsilon \Rightarrow n \geq \frac{\ln(\frac{\epsilon}{|u_0-l|})}{\ln(\frac{1+L}{2})}$$

et il faut que

$$\left(\frac{L}{2}\right)^n |u_0 - l| \leq \epsilon \Rightarrow n \geq \frac{\ln(\frac{\epsilon}{|u_0-l|})}{\ln(\frac{L}{2})}$$

Si  $f$  est suffisamment régulière, il existe une méthode plus rapide lorsqu'on est proche de la racine ou lorsque la fonction a des propriétés de convexité, c'est la méthode de Newton (voir aussi la méthode de la sécante). Et même si Newton n'est pas applicable, une simple dichotomie peut être plus efficace si la constante de contractance est supérieure à  $1/2$  (y compris près de la solution de  $f(x) = x$ ). Toutefois la méthode du point fixe reste intéressante si la constante de contractance est suffisamment petite (par exemple  $k = 0.1$  garantit 15 décimales en 15 itérations) et présente l'avantage de se généraliser en dimension plus grande, cf. la section suivante.

## 14.2 Le point fixe dans $\mathbb{R}^n$

Le théorème précédent se généralise.

**Théorème 21** Soit  $I$  un ensemble fermé de  $\mathbb{R}^n$  (ou d'un espace métrique complet) tel que  $f$  envoie  $I$  dans  $I$  et tel que  $f$  soit contractante sur  $I$

$$\exists k < 1, \forall x, y \in I, \quad |f(x) - f(y)| \leq k|x - y|$$

Alors pour tout  $u_0 \in I$ , la suite  $(u_n)$  définie par  $u_{n+1} = f(u_n)$  converge vers l'unique solution dans  $I$  de  $f(l) = l$ .

La démonstration de la convergence est un peu différente de celle donnée en dimension 1, on montre que  $(u_n)$  est une suite de Cauchy, car pour  $n > m$

$$|u_n - u_m| \leq \sum_{j=m}^{n-1} |u_{j+1} - u_j| \leq k^m \frac{1}{1-k} |u_1 - u_0|$$

donc  $(u_n)$  est convergente puisque nous sommes dans un fermé d'un espace complet.

La vitesse de convergence est linéaire, la démonstration est identique à celle de la dimension 1.

Remarque :

- L'existence d'un point fixe sans hypothèse de contractance se généralise si  $I$  est un convexe compact préservé par  $f$  (théorème de Brouwer ou de Schauder).
- Pour vérifier les hypothèses du théorème dans  $\mathbb{R}^n$ , il suffit de montrer que dans  $I$  la norme triple de  $f'$  subordonnée à la norme choisie dans  $\mathbb{R}^n$  est inférieure à  $k < 1$ .
- l'algorithme de recherche PageRank de google utilise le point fixe, en très grande dimension :  $n$  est le nombre de pages Web,  $I$  est l'ensemble des vecteurs de  $\mathbb{R}^n$  dont toutes les coordonnées sont positives ou nulles et dont la somme des coordonnées vaut 1,  $f$  est la somme d'un vecteur constant et du produit du vecteur  $x$  par une matrice  $A$  transposée d'une matrice stochastique.

## 14.3 La méthode de Newton dans $\mathbb{R}$ .

La méthode de Newton est une méthode de résolution de l'équation  $f(x) = 0$ , attention à la différence avec le théorème du point fixe qui permet de résoudre numériquement  $f(x) = x$ . Si  $x_0$  est proche de la racine  $r$  on peut faire un développement de Taylor à l'ordre 1 de la fonction  $f$  en  $x_0$  :

$$f(x) = f(x_0) + (x - x_0)f'(x_0) + O((x - x_0)^2)$$

Pour trouver une valeur approchée de  $r$ , on ne garde que la partie linéaire du développement, on résout :

$$f(r) = 0 \approx f(x_0) + (r - x_0)f'(x_0)$$



donc (si  $f'(x_0) \neq 0$ ) :

$$r \approx x_0 - \frac{f(x_0)}{f'(x_0)}$$

Graphiquement, cela revient à tracer la tangente à la courbe représentative de  $f$  et à chercher où elle coupe l'axe des  $x$ . On considère donc la suite récurrente définie par une valeur  $u_0$  proche de la racine et par la relation :

$$u_{n+1} = u_n - \frac{f(u_n)}{f'(u_n)}$$

Il y a deux théorèmes importants, l'un d'eux prouve que si  $u_0$  est "assez proche" de  $r$  alors la suite  $u_n$  converge vers  $r$ , malheureusement il est difficile de savoir en pratique si on est "assez proche" de  $u_0$  pour que ce théorème s'applique. Le second théorème donne un critère pratique facile à vérifier qui assure la convergence, il utilise les propriétés de convexité de la fonction.

**Théorème 22** Soit  $f$  une fonction de classe  $C^2$  (2 fois continument dérivable) sur un intervalle fermé  $I$ . Soit  $r$  une racine simple de  $f$  située à l'intérieur de  $I$  (telle que  $f(r) = 0$  et  $f'(r) \neq 0$ ). Alors il existe  $\varepsilon > 0$  tel que la suite définie par

$$u_{n+1} = u_n - \frac{f(u_n)}{f'(u_n)}, \quad |u_0 - r| \leq \varepsilon$$

converge vers  $r$ .

Si on a  $|f''| \leq M$  et  $|1/f'| \leq m$  sur un intervalle  $[r - \eta, r + \eta]$  contenu dans  $I$ , alors on peut prendre tout réel  $\varepsilon > 0$  tel que  $\varepsilon < 2/(mM)$  et  $\varepsilon \leq \eta$ .

**Démonstration :** on a

$$u_{n+1} - r = u_n - r - \frac{f(u_n)}{f'(u_n)} = \frac{(u_n - r)f'(u_n) - f(u_n)}{f'(u_n)}$$

En appliquant un développement de Taylor de  $f$  en  $u_n$  à l'ordre 2, on obtient pour un réel  $\theta$  situé entre  $r$  et  $u_n$  :

$$0 = f(r) = f(u_n) + (r - u_n)f'(u_n) + (r - u_n)^2 \frac{f''(\theta)}{2}$$

donc :

$$(u_n - r)f'(u_n) - f(u_n) = (u_n - r)^2 \frac{f''(\theta)}{2}$$

d'où :

$$|u_{n+1} - r| \leq |u_n - r|^2 \frac{1}{|f'(u_n)|} \frac{|f''(\theta)|}{2}$$

On commence par choisir un intervalle  $[r - \varepsilon, r + \varepsilon]$  contenant strictement  $r$  et tel que  $|f''| < M$  et  $|1/f'| < m$  sur  $[r - \varepsilon, r + \varepsilon]$  (c'est toujours possible car  $f''$  et  $1/f'$  sont continues au voisinage de  $r$  puisque  $f'(r) \neq 0$ ). Si  $u_n$  est dans cet intervalle, alors  $\theta$  aussi donc

$$|u_{n+1} - r| \leq |u_n - r|^2 \frac{Mm}{2} \leq \frac{|u_n - r|Mm}{2} |u_n - r|, \quad (38)$$

On a  $|u_n - r| \leq \varepsilon$ , on diminue si nécessaire  $\varepsilon$  pour avoir  $\varepsilon < 2/(Mm)$ , on a alors :

$$|u_{n+1} - r| \leq k|u_n - r|, \quad k = \frac{\varepsilon Mm}{2} < 1$$

donc d'une part  $u_{n+1}$  est encore dans l'intervalle  $[r - \varepsilon, r + \varepsilon]$  ce qui permettra de refaire le même raisonnement au rang suivant, et d'autre part on a une convergence au moins géométrique vers  $r$ . En fait la convergence est bien meilleure lorsqu'on est proche de  $r$  grâce au carré dans  $|u_n - r|^2$ , plus précisément, on montre par récurrence que

$$|u_n - r| \leq |u_0 - r|^{2^n} \left( \frac{Mm}{2} \right)^{2^n - 1}$$

il faut donc un nombre d'itérations proportionnel à  $\ln(n)$  pour atteindre une précision donnée.

**Remarque :** ce théorème se généralise sur  $\mathbb{C}$  et même sur  $\mathbb{R}^n$  (cf. la section suivante).

**Exemple :** pour calculer  $\sqrt{2}$ , on écrit l'équation  $x^2 - 2 = 0$  qui a  $\sqrt{2}$  comme racine simple sur  $I = [1/2, 2]$ , on obtient la suite récurrente

$$u_{n+1} = u_n - \frac{u_n^2 - 2}{2u_n}$$

Si on prend  $\eta = 1/2$ , on a  $f' = 2x$  et  $f'' = 2$  donc on peut prendre  $M = 2$  et  $m = 1$  car  $|1/f'| \leq 1$  sur  $[\sqrt{2} - 1/2, \sqrt{2} + 1/2]$ . On a  $2/(mM) = 1$ , on peut donc prendre  $\varepsilon = 1/2$ , la suite convergera pour tout  $u_0 \in [\sqrt{2} - 1/2, \sqrt{2} + 1/2]$ .

Plus généralement, on peut calculer une racine  $k$ -ième d'un réel  $a$  en résolvant  $f(x) = x^k - a$  par la méthode de Newton.

L'inconvénient de ce théorème est qu'il est difficile de savoir si la valeur de départ qu'on a choisie se trouve suffisamment près d'une racine pour que la suite converge. Pour illustrer le phénomène, on peut par exemple colorer les points du plan complexe en  $n + 1$  couleurs selon que la suite définie par la méthode de Newton converge vers l'une des  $n$  racines d'un polynôme de degré  $n$  fixé au bout de par exemple 50 itérations (la  $n + 1$ -ième couleur servant aux origines de suite qui ne semblent pas converger).

Passons maintenant à un critère très utile en pratique :

### Définition 23 (convexité)

Une fonction  $f$  continument dérivable sur un intervalle  $I$  de  $\mathbb{R}$  est dite convexe si son graphe est au-dessus de la tangente en tout point de  $I$ .

Il existe un critère simple permettant de savoir si une fonction de classe  $C^2$  est convexe :

**Théorème 24** Si  $f$  est  $C^2$  et  $f'' \geq 0$  sur  $I$  alors  $f$  est convexe.

### Démonstration :

L'équation de la tangente au graphe en  $x_0$  est

$$y = f(x_0) + f'(x_0)(x - x_0)$$

Soit

$$g(x) = f(x) - (f(x_0) + f'(x_0)(x - x_0))$$

on a :

$$g(x_0) = 0, \quad g'(x) = f'(x) - f'(x_0), \quad g'(x_0) = 0, \quad g'' = f'' \geq 0$$

donc  $g'$  est croissante, comme  $g'(x_0) = 0$ ,  $g'$  est négative pour  $x < x_0$  et positive pour  $x > x_0$ , donc  $g$  est décroissante pour  $x < x_0$  et croissante pour  $x > x_0$ . On conclut alors que  $g \geq 0$  puisque  $g(x_0) = 0$ . Donc  $f$  est bien au-dessus de sa tangente.

On arrive au deuxième théorème sur la méthode de Newton

**Théorème 25** Si  $f(r) = 0$ ,  $f'(r) > 0$  et si  $f'' \geq 0$  sur  $[r, b]$  alors pour tout  $u_0 \in [r, b]$  la suite de la méthode de Newton

$$u_{n+1} = u_n - \frac{f(u_n)}{f'(u_n)},$$

est définie, décroissante, minorée par  $r$  et converge vers  $r$ . De plus

$$0 \leq u_n - r \leq \frac{f(u_n)}{f'(r)}$$

(On prendra garde dans cette estimation aux erreurs en calcul approché, le calcul de la valeur de  $f(u_n)$ , proche de 0, va typiquement faire intervenir la différence de deux termes très proches, d'où perte de précision sur la mantisse)

**Démonstration :**

On a  $f'' \geq 0$  donc si  $f'(r) > 0$  alors  $f' > 0$  sur  $[r, b]$ ,  $f$  est donc strictement croissante sur  $[r, b]$  on en déduit que  $f > 0$  sur  $]r, b]$  donc  $u_{n+1} \leq u_n$ . Comme la courbe représentative de  $f$  est au-dessus de la tangente, on a  $u_{n+1} \geq r$  (car  $u_{n+1}$  est l'abscisse du point d'intersection de la tangente avec l'axe des  $x$ ). La suite  $u_n$  est donc décroissante minorée par  $r$ , donc convergente vers une limite  $l \geq r$ . À la limite, on a

$$l = l - \frac{f(l)}{f'(l)} \Rightarrow f(l) = 0$$

donc  $l = r$  car  $f > 0$  sur  $]r, b]$ .

Comme  $(u_n)$  est décroissante, on a bien  $0 \leq u_n - r$ , pour montrer l'autre inégalité, on applique le théorème des accroissements finis, il existe  $\theta \in [r, u_n]$  tel que

$$f(u_n) - f(r) = (u_n - r)f'(\theta)$$

comme  $f(r) = 0$ , on a

$$u_n - r = \frac{f(u_n)}{f'(\theta)}$$

et la deuxième inégalité du théorème en découle parce que  $f'$  est croissante.

**Variantes :**

Il existe des variantes, par exemple si  $f'(r) < 0$  et  $f'' \geq 0$  sur  $[a, r]$ . Si  $f'' \leq 0$ , on considère  $g = -f$ .

**Application :**

On peut calculer la valeur approchée de la racine  $k$ -ième d'un réel  $a > 0$  en appliquant ce deuxième théorème. En effet si  $a > 0$ , alors  $x^k - a$  est 2 fois continument dérivable et de dérivée première  $kx^{k-1}$  et seconde  $k(k-1)x^{k-2}$

strictement positives sur  $\mathbb{R}^{+*}$  (car  $k \geq 2$ ). Il suffit donc de prendre une valeur de départ  $u_0$  plus grande que la racine  $k$ -ième, par exemple  $1 + a/k$  (en effet  $(1 + a/k)^k \geq 1 + ka/k = 1 + a$ ). En appliquant l'inégalité du théorème, on a :

$$0 \leq u_n - \sqrt[k]{a} \leq \frac{u_n^k - a}{k \sqrt[k]{a}^{k-1}} \leq \frac{u_n^k - a}{ka} \sqrt[k]{a} \leq \frac{u_n^k - a}{ka} \left(1 + \frac{a}{k}\right)$$

Pour avoir une valeur approchée de  $\sqrt[k]{a}$  à  $\varepsilon$  près, on peut donc choisir comme test d'arrêt

$$u_n^k - a \leq \frac{ka}{1 + \frac{a}{k}} \varepsilon$$

Par exemple pour  $\sqrt{2}$ , le test d'arrêt serait  $u_n^2 - 2 \leq 2\varepsilon$ .

#### 14.4 La méthode de Newton dans $\mathbb{R}^n$ .

Le premier énoncé du cas de la dimension 1 se généralise en :

**Théorème 26** Soit  $f$  une fonction de classe  $C^2$  (2 fois continument dérivable) sur un fermé  $I$  de  $\mathbb{R}^n$ . Soit  $r$  une racine simple de  $f$  située à l'intérieur de  $I$  (telle que  $f(r) = 0$  et  $f'(r)$  inversible). Alors il existe  $\varepsilon > 0$  tel que la suite définie par

$$u_{n+1} = u_n - (f'(u_n))^{-1} f(u_n), \quad |u_0 - r| \leq \varepsilon$$

converge vers  $r$ .

Si on a  $|f''| \leq M$  et  $|(f')^{-1}| \leq m$  sur une boule centrée en  $r$  de rayon  $\eta > 0$  contenue dans  $I$ , alors on peut prendre tout réel  $\varepsilon > 0$  tel que  $\varepsilon < 2/(mM)$  et  $\varepsilon \leq \eta$ .

La démonstration est calquée sur la dimension 1, mais il faut prendre le reste intégral dans la formule de Taylor

$$u_{n+1} - r = u_n - r - f'(u_n)^{-1} f(u_n) = f'(u_n)^{-1} (f'(u_n)(u_n - r) - f(u_n))$$

puis on applique Taylor le long du segment  $[r, u_n]$  il existe un réel  $\theta \in [0, 1]$  tel que :

$$0 = f(r) = f(u_n) + f'(u_n)(r - u_n) + \frac{1}{2} \int_0^1 (r - u_n) f''(r + \theta(u_n - r))(r - u_n) d\theta$$

donc :

$$u_{n+1} - r = -f'(u_n)^{-1} \frac{1}{2} (r - u_n) \int_0^1 f''(r + \theta(u_n - r)) d\theta (r - u_n)$$

et on en déduit (38) et on conclut de même en remplaçant intervalle centré en  $r$  de rayon  $\varepsilon$  par boule de rayon  $\varepsilon$ .

Remarque : la convergence “numérique” (au sens du calcul en flottant) de la suite  $u_n$  ne suffit pas à montrer l'existence d'une racine proche de  $u_n$ . Une méthode de preuve alternative au calcul des constantes  $m$  et  $M$  consiste à trouver un rectangle ou une boule autour de  $u_n$  préservée par l'application  $x \rightarrow x - f'(x)^{-1} f(x)$ .

## 14.5 Calcul approché des racines complexes simples

La section précédente nous a montré qu'on pouvait se ramener à la recherche de racines simples, ce qui donne envie d'essayer la méthode de Newton. On a malheureusement rarement la possibilité de pouvoir démontrer qu'à partir d'une valeur initiale donnée, la méthode de Newton converge, parce que les racines peuvent être complexes, et même si elles sont réelles, on n'a pas forcément de résultat sur la convexité du polynôme (cf. cependant une application des suites de Sturm qui permet de connaître le signe de  $P''$  sur un intervalle sans le factoriser).

On effectue donc souvent des itérations de Newton, en partant de 0.0, en espérant s'approcher suffisamment d'une racine pour que le théorème de convergence théorique s'applique. On se fixe un nombre maximal d'itérations, si on le dépasse on prend alors une valeur initiale aléatoire complexe et on recommence.

Une fois une racine déterminée, on l'élimine en calculant le quotient euclidien  $Q$  de  $P$  par  $X - r$  (par l'algorithme de Horner), puis on calcule les racines du quotient  $Q$  (qui sont des racines de  $P$ ).

Un problème pratique apparaît alors, c'est que  $r$  n'est pas exact donc le quotient  $Q$  non plus, au fur et à mesure du calcul des racines de  $P$ , on perd de plus en plus de précision. Il existe une amélioration simple, si  $r'$  est une racine approchée de  $Q$ , alors elle est racine approchée de  $P$  et on a toutes les chances qu'elle soit suffisamment proche d'une racine de  $P$  pour que le théorème s'applique, on effectue alors 1 ou 2 itérations de Newton avec  $r'$  mais pour  $P$  (et non  $Q$ ) afin d'améliorer sa précision comme racine de  $P$ .

Une méthode de calcul plus stable utilise la recherche des valeurs propres de la matrice companion en double précision, puis affine par la méthode de Newton pour obtenir des valeurs approchées multi-précision, c'est ce que fait `proot`, par exemple `proot (x^3+x+1, 50)`.

## 15 Algèbre linéaire

On présente ici des algorithmes autour de la résolution exacte et approchée de systèmes (réduction des matrices sous forme échelonnée) et la recherche de valeurs propres et de vecteurs propres (diagonalisation et jordanisation des matrices).

### 15.1 Résolution de systèmes, calcul de déterminant.

#### 15.1.1 La méthode du pivot de Gauß.

- Le pivot : on détermine à partir d'une ligne  $i$  la ligne  $j$  où apparaît le premier coefficient non nul  $p$  dans la colonne à réduire. On échange les lignes  $i$  et  $j$ . Puis pour  $j > i$  (réduction sous-diagonale) ou  $j \neq i$  (réduction complète), on effectue l'opération  $L_j \leftarrow L_j - \frac{p_j}{p} L_i$ .

Inconvénient : avec des données exactes de taille non bornée, la complexité des coefficients augmente plus vite qu'en choisissant le pivot le plus simple possible, (remarque, lorsque les données sont approchées, on n'utilise pas non plus cette méthode pour des raisons de stabilité numérique). Le domaine d'utilisation naturel concerne donc les coefficients dans un corps fini (par exemple  $\mathbb{Z}/n\mathbb{Z}$ ).

- Le pivot partiel. On choisit le meilleur coefficient non nul de la colonne, où meilleur dépend du type de coefficient : avec des données exactes, on choisirait le coefficient de taille la plus petite possible, avec des données approximatives, on choisit le coefficient de plus grande norme dans la colonne. Le domaine d'utilisation naturel concerne les coefficients approchés. Pour les coefficients exacts, on remplacerait la réduction par  $L_j \leftarrow pL_j - p_jL_i$  pour ne pas effectuer de division. Mais avec cette méthode, la taille des coefficients augmente de manière exponentielle. On peut améliorer la taille des coefficients intermédiaires en divisant chaque ligne par le PGCD de ses coefficients, mais comme pour le calcul du PGCD par l'algorithme du sous-résultant, il existe une méthode plus efficace présentée ci-dessous.
- La méthode de Bareiss : on initialise un coefficient  $b$  à 1. On remplace l'étape de réduction ci-dessus par  $L_j \leftarrow (pL_j - p_jL_i)/b$ . À la fin de l'étape de réduction, on met le coefficient  $b$  à la valeur du pivot  $p$ . L'intérêt de la méthode est que la division se fait sans introduire de fraction (la preuve pour les deux premières étapes se fait facilement à la main ou avec un système de calcul formel (cf. infra), pour le cas général, on vérifie que le déterminant de la matrice de départ est égal au dernier coefficient sur la diagonale obtenu par cette méthode de réduction, ce dernier est donc entier, le même raisonnement fait sur des sous-matrices dont on prend les  $k$  premières lignes et colonnes et une autre ligne et une autre colonne montre que tous les coefficients des matrices intermédiaires sont entiers). On peut utiliser cette méthode aussi bien pour la réduction sous-diagonale que pour la réduction complète (les lignes intervenant dans la combinaison linéaire subissent des modifications identiques dans les deux cas).

Montrons avec MuPAD ou xcas en mode mupad (commande `maple_mode(2)`) qu'en effet, on n'introduit pas de dénominateur dans la méthode de Bareiss. Sans restreindre la généralité, il suffit de le montrer avec une matrice 3x3 à coefficients symboliques génériques.

```
pivot:=proc (M,n,m,r) // n ligne du pivot, m colonne, r ligne a modifier
  local col,i,a,b;
  begin
    col:=ncols(M);
    a:=M[n,m];
    b:=M[r,m];
    for i from 1 to col do
      // print(i,a,b,n,m,r);
      M[r,i]:=a*M[r,i]-b*M[n,i];
    end_for;
    return(M);
  end_proc; /* End of pivot */
A:=matrix(3,3,[[a,b,c],[d,e,f],[g,h,j]]);
A:=pivot(A,1,1,2); A:=pivot(A,1,1,3); /* reduction 1ere colonne */
A:=pivot(A,2,2,3); A:=pivot(A,2,2,1); /* reduction 2eme colonne */
factor(A[3,3]);
```

Ce qui met bien en évidence le facteur  $a$  dans  $A_{3,3}$ .

### 15.1.2 Le déterminant.

On peut bien sûr appliquer les méthodes ci-dessus en tenant compte des pivots utilisés et du produit des coefficients diagonaux. Dans le cas de la méthode de Bareiss, si on effectue la réduction sous-diagonale uniquement, il n'est pas nécessaire de garder une trace des pivots et de calculer le produit des coefficients diagonaux, montrons que la valeur du déterminant est égal au dernier coefficient diagonal : en effet si  $R$  désigne la matrice réduite et que l'on pose  $R_{0,0} = 1$ , alors la réduction par la méthode de Bareiss de la colonne  $i$  a pour effet de multiplier le déterminant de la matrice initiale  $M$  par  $(R_{i,i}/(R_{i-1,i-1}))^{n-i}$ . Donc :

$$\begin{aligned}\det(R) &= \det(M) \prod_{i=1}^{n-1} (R_{i,i}/(R_{i-1,i-1}))^{n-i} \\ \prod_{i=1}^n R_{i,i} &= \det(M) \prod_{i=1}^{n-1} R_{i,i} \\ R_{n,n} &= \det(M)\end{aligned}$$

Pour les matrices à coefficients entiers, on peut aussi utiliser une méthode modulaire : on calcule une borne à priori sur le déterminant et on calcule le déterminant modulo suffisamment de petits nombres premiers pour le reconstruire par les restes chinois. En effet si le produit des nombres premiers utilisés est supérieur au double d'un majorant de la valeur absolue du déterminant, alors le déterminant est le résultat des restes chinois écrit en représentation symétrique. L'avantage de cet algorithme est qu'il est simple et facile à paralléliser.

On utilise souvent la borne d'Hadamard sur le déterminant :

$$|\det(M)| \leq \prod_{1 \leq i \leq n} \sqrt{\sum_{1 \leq j \leq n} |m_{i,j}|^2}$$

Preuve de la borne : on majore le déterminant par le produit des normes des vecteurs colonnes de  $M$ .

L'algorithme de calcul modulaire du déterminant d'une matrice bornée de taille  $n$  est en  $O(n^4 \ln(n))$  opérations, en effet chaque calcul modulaire nécessite  $O(n^3)$  opérations, et il faut  $O(n \ln(n))$  nombres premiers d'une taille donnée (par exemple 31 bits) pour dépasser le double de la borne de Hadamard (on montre facilement que la norme euclidienne d'une colonne de  $A$  est  $\leq \sqrt{n} \|A\|_\infty$ , on en prend la puissance  $n$ -ième). C'est meilleur que la méthode de Bareiss, qui est en  $O(n^5 \ln(n)^2)$  (avec multiplication naïve des entiers). En effet lors de la réduction de la  $k$ -ième colonne, on manipule des entiers qui sont des mineurs de taille  $k$  donc de taille  $O(k \ln(k))$ , d'où une complexité en  $O(\sum_{k=1}^{n-1} (n-k)^2 (k \ln(k))^2)$ . Mais la méthode de Bareiss fonctionne dans bien d'autres situations, par exemple si les coefficients sont des polynômes.

#### Remarque :

Si on veut juste prouver l'inversibilité d'une matrice à coefficients entiers, il suffit de trouver un nombre premier  $p$  tel que le déterminant de cette matrice modulo  $p$  soit non nul.

#### Développement par rapport à une ligne ou une colonne

On a tendance à oublier ce type de méthode car le développement complet du

déterminant (faisant intervenir une somme sur toutes les permutations du groupe symétrique) nécessite d'effectuer  $n!$  produits de  $n$  coefficients et  $n!$  additions ce qui est gigantesque. Or on peut "factoriser" une partie des calculs et se ramener à  $n.2^n$  opérations élémentaires au lieu de  $n.n!$ . Remarquons aussi que le nombre d'opérations élémentaires n'a guère de sens si on ne tient pas compte de la complexité des expressions, l'avantage principal de la méthode de développement étant d'éviter d'effectuer des divisions.

### Calcul du déterminant par développement de Laplace

On calcule d'abord tous les mineurs  $2 \times 2$  des colonnes 1 et 2 que l'on place dans une table de mineurs, puis on calcule les mineurs  $3 \times 3$  des colonnes 1 à 3 en développant par rapport à la colonne 3 et en utilisant les mineurs précédents, puis les mineurs  $4 \times 4$  avec les mineurs  $3 \times 3$ , etc.. On évite ainsi de recalculer plusieurs fois les mêmes mineurs. Cf. par exemple l'implémentation en C++ dans `giac/xcas` ([www-fourier.ujf-grenoble.fr/~parisse/giac.html](http://www-fourier.ujf-grenoble.fr/~parisse/giac.html)) qui utilise le type générique `map<>` de la librairie standard C++ (STL) pour stocker les tables de mineurs (fonction `det_minor` du fichier `vecteur.cc`).

Nombre d'opérations élémentaires : il y a  $\binom{n}{2}$  mineurs d'ordre 2 à calculer nécessitant chacun 2 multiplications (et 1 addition), puis  $\binom{n}{3}$  mineurs d'ordre 3 nécessitant 3 multiplications et 2 additions, etc. donc le nombre de multiplications est de  $2\binom{n}{2} + 3\binom{n}{3} + \dots + n\binom{n}{n}$ , celui d'additions est  $\binom{n}{2} + 2\binom{n}{3} + \dots + (n-1)\binom{n}{n}$  soit un nombre d'opérations élémentaires majoré par  $n.2^n$ .

On observe "expérimentalement" que cet algorithme est intéressant lorsque le nombre de paramètres dans le déterminant est grand et que la matrice est plutôt creuse (majorité de coefficients nuls). Il existe des heuristiques de permutation des lignes ou des colonnes visant à optimiser la position des zéros (par exemple, les auteurs de GiNaC ([www.ginac.de](http://www.ginac.de)) suite à des expérimentations privilégient la simplification des petits mineurs en mettant les colonnes contenant le maximum de zéros à gauche selon la description faite ici).

Pour se convaincre de l'intérêt de cet algorithme, on peut effectuer le test O1 de Lewis-Wester

<http://www.bway.net/~lewis/calatex.html>

il s'agit de calculer un déterminant de taille 15 avec 18 paramètres.

### 15.1.3 Systèmes linéaires

On peut appliquer la méthode du pivot de Gauß ou les règles de Cramer (matrices creuses avec beaucoup de paramètres par exemple).

Pour les systèmes à coefficients entiers non singuliers, on peut aussi utiliser une méthode  $p$ -adique asymptotiquement plus efficace. On calcule d'abord une borne sur les coefficients des fractions solutions de l'équation  $Ax = b$  en utilisant les règles de Cramer et la borne d'Hadamard. On calcule ensuite  $C$ , l'inverse de  $A$  modulo  $p$  (en changeant de  $p$  si  $A$  n'est pas inversible modulo  $p$ ), puis, si

$$x = \sum_i x_i p^i, \quad A \left( \sum_{i < k} x_i p^i \right) = b \pmod{p^k}$$

on ajoute  $x_k p^k$  et on obtient l'équation :

$$Ax_k = \frac{b - \sum_{i < k} x_i p^i}{p^k} \pmod{p}$$



qui détermine  $x_k$ . On s'arrête lorsque  $k$  est suffisamment grand pour pouvoir reconstruire les fractions à l'aide de l'identité de Bézout (cf. infra), ce qui est le cas si  $p^k$  est supérieur à 4 fois la borne de Hadamard de  $A$  au carré. Pour éviter de recalculer plusieurs fois  $b - \sum_{i < k} x_i p^i$ , on utilise la récurrence suivante

$$y_0 = b, \quad x_k = Cy_k \pmod{p}, \quad y_{k+1} = \frac{y_k - Ax_k}{p}$$

Pour une matrice de taille  $n$ , il faut  $O(n^3)$  opérations pour calculer  $C$ , puis  $kn^2 \ln(n)$  opérations pour calculer  $x_k$  (le terme  $\ln(n)$  vient de la taille des coefficients de  $y_k$  dans le produit  $Cy_k$ ), donc pour pouvoir reconstruire  $x$ , il faut prendre  $k$  de l'ordre de  $n \ln(n)$ , ce qui nécessite finalement  $O(n^3 \ln(n)^2)$  opérations.

#### 15.1.4 Bézout et les $p$ -adiques.

Soit  $n$  et  $a/b$  une fraction irréductible d'entiers tels que  $b$  est premier avec  $n$  et  $|a| < \sqrt{n}/2$  et  $0 \leq b \leq \sqrt{n}/2$ . Il s'agit de reconstruire  $a$  et  $b$  connaissant  $x = a \times (b^{-1}) \pmod{n}$  avec  $x \in [0, n[$ .

##### Unicité

S'il existe une solution  $(a, b)$  vérifiant  $|a| < \sqrt{n}/2$  et  $0 \leq b \leq \sqrt{n}/2$ , soit  $(a', b')$  une solution de  $x = a \times (b^{-1}) \pmod{n}$  et vérifiant  $|a'| < \sqrt{n}$  et  $0 \leq b' \leq \sqrt{n}$ , alors :

$$ab' = a'b \pmod{n}$$

Comme  $|ab'| < n/2$ ,  $|a'b| < n/2$ , on en déduit que  $ab' = a'b$ . Donc  $a/b = a'/b'$  donc  $a = a'$  et  $b = b'$  car  $a/b$  et  $a'/b'$  sont supposées irréductibles.

##### Reconstruction lorsqu'on sait qu'il y a une solution

On suit l'algorithme de calcul des coefficients de Bézout pour les entiers  $n$  et  $x$ . On pose :

$$\alpha_k n + \beta_k x = r_k$$

où les  $r_k$  sont les restes successifs de l'algorithme d'Euclide, avec la condition initiale :

$$\alpha_0 = 1, \beta_0 = 0, \alpha_1 = 0, \beta_1 = 1, r_0 = n, r_1 = x$$

et la relation de récurrence :

$$\beta_{k+2} = \beta_k - q_{k+2} \beta_{k+1}, \quad q_{k+2} = \frac{r_k - r_{k+2}}{r_{k+1}}$$

On a  $\beta_k x = r_k \pmod{n}$  pour tout rang mais il faut vérifier les conditions de taille sur  $\beta_k$  et  $r_k$  pour trouver le couple  $(a, b)$ . Montrons par récurrence que :

$$\beta_{k+1} r_k - r_{k+1} \beta_k = (-1)^k n \quad (39)$$

Au rang  $k = 0$ , on vérifie l'égalité, on l'admet au rang  $k$ , alors au rang  $k + 1$ , on a :

$$\begin{aligned} \beta_{k+2} r_{k+1} - r_{k+2} \beta_{k+1} &= \beta_k r_{k+1} - q_{k+2} r_{k+1} \beta_{k+1} - r_{k+2} \beta_{k+1} \\ &= \beta_k r_{k+1} - (r_k - r_{k+2}) \beta_{k+1} - r_{k+2} \beta_{k+1} \\ &= \beta_k r_{k+1} - r_k \beta_{k+1} \\ &= -(-1)^k n \end{aligned}$$

On vérifie aussi que le signe de  $\beta_k$  est positif si  $k$  est impair et négatif si  $k$  est pair, on déduit donc de (39) :

$$|\beta_{k+1}|r_k < n$$

(avec égalité si  $r_{k+1} = 0$ )

Considérons la taille des restes successifs, il existe un rang  $k$  tel que  $r_k \geq \sqrt{n}$  et  $r_{k+1} < \sqrt{n}$ . On a alors  $|\beta_{k+1}| < n/r_k \leq \sqrt{n}$ .

Donc l'algorithme de Bézout permet de reconstruire l'unique couple solution s'il existe.

### Exemple

On prend  $n = 101$ ,  $a = 2$ ,  $b = 3$ ,  $a/b = 68 \pmod{101}$ . Puis on effectue Bézout pour 68 et 101 en affichant les étapes intermédiaires (par exemple avec IEGCD sur une HP49 ou exercice avec votre système de calcul formel) :

```

= alpha*101+beta*68
101    1      0
68     0      1  L1 - 1*L2
33     1     -1  L2 - 2*L3
2     -2      3  ...

```

On s'arrête à la première ligne telle que le coefficient de la 1ère colonne est inférieur à  $\sqrt{101}$ , on retrouve bien 2 et 3. Quand on programme l'algorithme de reconstruction, on ne calcule bien sûr pas la colonne des  $\alpha$ , ce qui donne par exemple le programme xcas ou mupad suivant :

```

// Renvoie a/b tel que a/b=x mod n et |a|, |b|<sqrt(n)
padictofrac:=proc (n,x)
  local r0,beta0,r1,beta1,r2,q2,beta2;
begin
  r0:=n;
  beta0:=0;
  r1:=x;
  beta1:=1;
  sqrtn:=float(sqrt(n));
  while r1>sqrtn do
    r2:= irem(r0,r1);
    q2:=(r0-r2)/r1;
    beta2:=beta0-q2*beta1;
    beta0:=beta1; r0:=r1; beta1:=beta2; r1:=r2;
  end_while;
  return(r1/beta1);
end_proc;

```

### 15.1.5 Base du noyau

On présente ici deux méthodes, la première se généralise au cas des systèmes à coefficients entiers, la deuxième utilise un peu moins de mémoire (elle travaille sur une matrice 2 fois plus petite).

**Première méthode** Soit  $M$  la matrice dont on cherche le noyau. On ajoute à droite de la matrice transposée de  $M$  une matrice identité ayant le même nombre

de lignes que  $M^t$ . On effectue une réduction sous-diagonale qui nous amène à une matrice composée de deux blocs

$$(M^t I_n) \rightarrow (U \tilde{L})$$

Attention,  $\tilde{L}$  n'est pas la matrice  $L$  de la décomposition  $LU$  de  $M^t$ , on a en fait

$$\tilde{L} M^t = U$$

donc

$$M \tilde{L}^t = U^t$$

Les colonnes de  $\tilde{L}^t$  correspondant aux colonnes nulles de  $U^t$  (ou si on préfère les lignes de  $\tilde{L}$  correspondant aux lignes nulles de  $U$ ) sont donc dans le noyau de  $M$  et réciproquement si  $Mv = 0$  alors

$$U^t (\tilde{L}^t)^{-1} v = 0$$

donc, comme  $U$  est réduite,  $(\tilde{L}^t)^{-1} v$  est une combinaison linéaire des vecteurs de base d'indice les lignes nulles de  $U$ . Finalement, les lignes de  $\tilde{L}$  correspondant aux lignes nulles de  $U$  forment une base du noyau de  $M$ .

**Deuxième méthode** On commence bien sûr par réduire la matrice (réduction complète en-dehors de la diagonale), et on divise chaque ligne par son premier coefficient non nul (appelé pivot). On insère alors des lignes de 0 pour que les pivots (non nuls) se trouvent sur la diagonale. Puis en fin de matrice, on ajoute ou on supprime des lignes de 0 pour avoir une matrice carrée de dimension le nombre de colonnes de la matrice de départ. On parcourt alors la matrice en diagonale. Si le  $i$ -ième coefficient est non nul, on passe au suivant. S'il est nul, alors tous les coefficients d'indice supérieur ou égal à  $i$  du  $i$ -ième vecteur colonne  $v_i$  sont nuls (mais pas forcément pour les indices inférieurs à  $i$ ). Si on remplace le  $i$ -ième coefficient de  $v_i$  par -1, il est facile de se convaincre que c'est un vecteur du noyau, on le rajoute donc à la base du noyau. On voit facilement que tous les vecteurs de ce type forment une famille libre de la bonne taille, c'est donc bien une base du noyau.

## 15.2 Algèbre linéaire sur $\mathbb{Z}$

### 15.2.1 Calcul du déterminant d'une matrice à coefficient entiers

L'algorithme  $p$ -adique de résolution de systèmes linéaires peut servir à accélérer le calcul du déterminant d'une matrice à coefficients entiers de grande taille. En effet, le PPCM  $f$  des dénominateurs des composantes de  $x$  est un diviseur du déterminant, et si  $b$  est choisi avec des coefficients aléatoires, on a une forte probabilité d'obtenir le dernier facteur invariant de la matrice  $A$ . Comme le déterminant de  $A$  a une très faible probabilité de contenir un gros facteur carré, ce dernier facteur invariant est très proche du déterminant. Ce dernier est pour une matrice  $A$  aléatoire lui-même à un facteur de l'ordre de  $(2/\pi)^n$  proche de la borne de Hadamard. Il suffit donc de très peu de nombres premiers pour déterminer  $\det(A)/f$  par le théorème des restes chinois. En pratique pour des  $n$  de l'ordre de 100 à 1000, cet algorithme est plus rapide que le calcul uniquement par les restes chinois. Pour des  $n$  plus grands, il faut se rabattre sur des algorithmes probabilistes

avec arrêt prématuré pour être plus rapide (on s'arrête lorsque le déterminant n'évolue plus par reconstruction par les restes chinois pour plusieurs nombres premiers successifs, le résultat n'est alors pas certifié, c'est ce qui se passe dans Xcas si `proba_epsilon` n'est pas nul), ou utiliser des méthodes d'inversion ou de réduction de type Strassen.

### 15.2.2 Réduction de Hermite et Smith

Lorsque  $M$  est une matrice à coefficients entiers, on ne peut plus faire l'algorithme du pivot de Gauss ou de Gauss-Bareiss en restant dans  $\mathbb{Z}$  et en étant réversible. On peut toutefois effectuer des manipulations élémentaires réversibles dans  $\mathbb{Z}$ , grâce à l'identité de Bézout. Si  $a$  est le pivot en ligne  $i$ ,  $b$  le coefficient en ligne  $j$  à annuler, et  $u, v, d$  les coefficients de l'identité de Bézout  $au + bv = d$  on fait les changements :

$$L_i \leftarrow uL_i + vL_j, \quad L_j \leftarrow -\frac{b}{d}L_i + \frac{a}{d}L_j$$

qui est réversible dans  $\mathbb{Z}$  car le déterminant de la sous-matrice élémentaire correspondante est

$$\begin{vmatrix} u & v \\ -\frac{b}{d} & \frac{a}{d} \end{vmatrix} = 1$$

Cette réduction (dite forme normale de Hermite lorsqu'on réduit les lignes au-dessus de la diagonale par division euclidienne par le pivot) permet de trouver une base du noyau à coefficients entiers et telle que tout élément du noyau à coefficient entier s'écrit comme combinaison linéaire à coefficients entiers des éléments de la base. Dans Xcas, on peut utiliser l'instruction `ihermite` (ou `mathnf` de PARI). L'aide détaillée de Xcas donne un exemple de calcul de  $\mathbb{Z}$ -base d'un noyau.

Applications : soit à résoudre en entiers  $2x+3y+5z = 0$ . On pose  $M := \begin{bmatrix} 2 & 3 & 5 \end{bmatrix}$  puis  $U, A := \text{ihermite}(\text{tran}(M))$ , les lignes nulles de  $A$  correspondent à des lignes de  $U$  qui forment une base du noyau de  $M$ , soit  $(6, 1, -3)$  et  $(-5, 0, 2)$ . En effet  $A = UM^t$  donc  $A^t = MU^t$ , les colonnes nulles de  $A^t$  sont donc images par  $M$  des colonnes correspondantes de  $U^t$ , ainsi les lignes de  $U$  correspondant à des lignes nulles de  $A$  sont dans le noyau. Et si un vecteur à coefficient entiers est dans le noyau, alors il se décompose sur les vecteurs colonnes de  $U^t$  avec des coefficients entiers (puisque  $U \in \text{GL}_n(\mathbb{Z})$ ), on applique  $M$  et on conclut que ses composantes sur les colonnes non nulles de  $A^t$  sont nulles.

Plus généralement, chercher une solution particulière du système  $MX = B$  revient à chercher un élément du noyau de la matrice obtenue en ajoutant  $B$  en dernière colonne de  $M$  dont le dernier coefficient est -1.

On peut aussi se servir de la forme normale de Hermite pour compléter un vecteur  $v = (a_1, \dots, a_n)$  de contenu 1 en une base de  $\mathbb{Z}^n$  (si le contenu n'est pas 1, c'est bien sûr impossible puisque le déterminant est un multiple du contenu), il suffit de prendre les colonnes de  $U^{-1}$  (où  $U, A := \text{ihermite}(\text{tran}(v))$ ). En effet on a  $A = Uv^t$  et  $A$  est égal à  $(1, 0, \dots, 0)$  car le contenu de  $v$  vaut 1.

La réduction échelonnée sous la diagonale correspond à `ihermite`, la réduction complète correspond à `ismith` (ou `matsnf` de PARI) qui calcule la décomposition de Smith d'une matrice  $A$  à coefficients entiers et en donne les coefficients invariants. Il faut pour cela alterner plusieurs décomposition de Hermite en ligne et

en colonne. En effet les éléments hors diagonaux d'une réduction de Hermite sont des restes de division euclidienne par les pivots sur la diagonale, ils sont donc plus petits si non nuls, et à l'étape de réduction suivante ils donneront lieu à un pgcd plus petit. La forme normale de Smith d'une matrice  $A$  impose également que les coefficients diagonaux non nuls  $d_1|d_2|\dots|d_r$  se divisent. Elle sert par exemple à montrer qu'un sous-module de  $\mathbb{Z}^n$  obtenu par quotient par l'image d'une application linéaire de matrice  $A$  est isomorphe à  $\mathbb{Z}/d_1 \times \dots \times \mathbb{Z}/d_r \times \mathbb{Z}^{n-r}$ . C'est ce qu'on obtient pour un module présenté par des générateurs et relations entre générateurs.

Exemple : on se donne un module sur  $\mathbb{Z}$  engendré par  $m_1, m_2, m_3$  et les relations  $2m_1+3m_2+5m_3=0, 7m_1+3m_2-5m_3=0$ . On pose  $A := \begin{bmatrix} 2 & 3 & 5 \\ 7 & 3 & -5 \end{bmatrix}$ , puis  $U, B, V := \text{ismith}(A)$ , on a donc  $B = UAV$ . Si  $M = (m_1, m_2, m_3)$ , on a  $AM = 0$  donc  $BV^{-1}M = UAM = 0$ . On pose  $(n_1, n_2, n_3) = N = V^{-1}M$ , les générateurs  $n_1 = m_1 - 6m_2 - 20m_3, n_2 = m_2 + 3m_3, n_3 = m_3$  vérifient donc  $b_1n_1 = 0, 15b_2n_2 = 0$ , le module est donc isomorphe à  $\mathbb{Z}/1 \times \mathbb{Z}/15 \times \mathbb{Z}$  soit encore  $\mathbb{Z}/15\mathbb{Z} \times \mathbb{Z}$ .

### 15.2.3 L'algorithme LLL.

Il s'agit d'une méthode permettant d'obtenir rapidement une base courte d'un réseau. Ce n'est pas la base la plus courte possible mais un compromis temps d'exécution rapide/base pas trop grande. Voir par exemple Cohen pour la définition et les propriétés. L'instruction Xcas correspondante est `lll` (ou `qflll` de PARI).

Cet algorithme est très utile en calcul formel, pour éviter une explosion combinatoire dans certaines opérations de recombinaison. Par exemple, supposons que nous souhaitions factoriser un polynôme  $P$  à coefficients entiers sur  $\mathbb{Z}[X]$  en utilisant ses racines approchées. Si plusieurs racines  $r_k$  correspondent à un facteur entier, alors  $p_n \sum r_k$  doit être un entier aux erreurs d'arrondi près. Tester toutes les combinaisons possibles serait beaucoup trop long, en particulier si  $P$  est irréductible (en gros  $2^{n-1}$  tests de recombinaison). Pour éviter ce problème, on construit un réseau engendré par degré  $P$  lignes dont les premières coordonnées sont celles de la matrice identité, complétées par la partie réelle et imaginaire des racines de  $P$  multipliée par le coefficient dominant de  $P$  et par une puissance de 10 assez grande. On ajoute deux lignes qui "annulent" les parties entières des combinaisons linéaires des parties réelles et imaginaires. L'existence d'un facteur irréductible se lira sur un vecteur court du réseau avec des 1 et des 0 comme combinaison linéaire des vecteurs initiaux.

```
f(P) := {
  local l, n, prec, M, S, A, L, O;
  n := degree(P);
  prec := 2*n;
  l := proot(P, prec+n);
  M := round(tran([op(idn(n)),
    lcoeff(P)*10^prec*re(l), lcoeff(P)*10^prec*im(l)]));
  M := [op(M), [0$n, 10^prec, 0], [0$(n+1), 10^prec]];
  S, A, L, O := lll(M);
  retourne l, A;
};;
```

Par exemple,  $P := (x^3 + x + 1) * (x^4 + x + 1)$  suivi de  $1, A := f(P)$  fait apparaître en première ligne de  $A$  le vecteur  $(1, 1, 1, 0, 0, 0, 0, 0)$ . On essaie donc de recombinaison les trois premières racines de  $1$

`pcoeff(1[0], 1[1], 1[2])`

renvoie bien un facteur presque entier de  $P$ . Il faut bien entendu des encadrements rigoureux pour déterminer la précision à utiliser pour les racines pour prouver l'irréductibilité de  $P$  si  $A$  ne contient pas de vecteur court contenant uniquement des 1 et 0.

### 15.3 Le pivot de Gauss numérique.

#### 15.3.1 Efficacité de l'algorithme

Si la matrice possède  $L$  lignes et  $C$  colonnes, le nombre maximal d'opérations pour réduire une ligne est  $C$  divisions,  $C$  multiplications,  $C$  soustractions, donc  $3C$  opérations arithmétiques de base. Il y a  $L - 1$  lignes à réduire à chaque étape et  $\min(L, C)$  étapes à effectuer, on en déduit que le nombre maximal d'opérations pour réduire une matrice est  $3LC\min(L, C)$ . Pour une matrice carrée de taille  $n$ , cela fait  $3n^3$  opérations.

#### 15.3.2 Erreurs d'arrondis du pivot de Gauss

Comme  $|a_{jc}| \leq |a_{lc}|$ , une étape de réduction multiplie au plus l'erreur absolue des coefficients par 2. Donc la réduction complète d'une matrice peut multiplier au pire l'erreur absolue sur les coefficients par  $2^n$  (où  $n$  est le nombre d'étapes de réduction, inférieur au plus petit du nombre de lignes et de colonnes). Ceci signifie qu'avec la précision d'un double, on peut au pire perdre toute précision pour des matrices pas si grandes que ça ( $n = 52$ ). Heureusement, il semble qu'en pratique, l'erreur absolue ne soit que très rarement multipliée par un facteur supérieur à 10.

Par contre, si on ne prend pas la précaution de choisir le pivot de norme maximale dans la colonne, les erreurs d'arrondis se comportent de manière bien moins bonnes, cf. l'exemple suivant.

##### Exemple

Soit à résoudre le système linéaire

$$\epsilon x + 1.0y = 1.0, \quad x + 2.0y = 3.0$$

avec  $\epsilon = 2^{-54}$  (pour une machine utilisant des doubles pour les calculs en flottant, plus généralement on choisira  $\epsilon$  tel que  $(1.0 + 3\epsilon) - 1.0$  soit indistinguable de 0.0).

Si on résout le système exactement, on obtient  $x = 1/(1 - 2\epsilon)$  (environ 1) et  $y = (1 - 3\epsilon)/(1 - 2\epsilon)$  (environ 1). Supposons que l'on n'utilise pas la stratégie du pivot partiel, on prend alors comme pivot  $\epsilon$ , donc on effectue la manipulation de ligne  $L_2 \leftarrow L_2 - 1/\epsilon L_1$  ce qui donne comme 2ème équation  $(2.0 - 1.0/\epsilon)y = 3.0 - 1.0/\epsilon$ . Comme les calculs sont numériques, et à cause des erreurs d'arrondis, cette 2ème équation sera remplacée par  $(-1.0/\epsilon)y = -1.0/\epsilon$  d'où  $y = 1.0$ , qui sera remplacé dans la 1ère équation, donnant  $\epsilon x = 1.0 - 1.0y = 0.0$  donc  $x = 0.0$ . Inversement, si on utilise la stratégie du pivot partiel, alors on doit échanger les 2 équations  $L'_2 = L_1$  et  $L'_1 = L_2$  puis on effectue  $L_2 \leftarrow L'_2 - \epsilon L'_1$ , ce qui donne  $(1.0 - 2.0\epsilon)y = 1.0 - 3.0\epsilon$ , remplacée en raison des erreurs d'arrondi par  $1.0 * y =$

1.0 donc  $y = 1.0$ , puis on remplace  $y$  dans  $L'_1$  ce qui donne  $x = 3.0 - 2.0y = 1.0$ . On observe dans les deux cas que la valeur de  $y$  est proche de la valeur exacte, mais la valeur de  $x$  dans le premier cas est grossièrement éloignée de la valeur correcte.

On peut aussi s'intéresser à la sensibilité de la solution d'un système linéaire à des variations de son second membre. Cela fait intervenir le nombre de conditionnement de la matrice  $A$  (voir plus bas) du système (qui est essentiellement la valeur absolue du rapport de la valeur propre la plus grande sur la valeur propre la plus petite), plus ce nombre est grand, plus la solution variera (donc plus on perd en précision).

## 15.4 La méthode de factorisation $LU$

Dans sa forme la plus simple, elle permet d'écrire une matrice  $A$  comme produit de deux matrices triangulaire inférieures et supérieures, ce qui ramène la résolution de système à la résolution de deux systèmes triangulaires. Pour tenir compte d'éléments diagonaux nuls et pour optimiser les erreurs d'arrondi, il est nécessaire d'effectuer des permutations sur les lignes de la matrice.

### 15.4.1 Interprétation matricielle du pivot de Gauss

On notera  $l$  et  $c$  le nombre de lignes et colonnes de  $A$  (pour éviter la confusion avec le facteur  $L$ ) et on supposera  $A$  non singulière pour simplifier l'exposition.

Lorsqu'on réduit la colonne  $j$  d'une matrice  $\tilde{A}$  (partiellement réduite) à partir de la ligne  $j + 1$  (en supposant  $\tilde{A}_{j,j} \neq 0$ ), cela revient à multiplier  $\tilde{A}$  à gauche par une matrice  $\tilde{L}_j$  créée en partant de la matrice identité de taille  $l$  où on remplace les 0 colonne  $j$ , lignes  $j + 1$  à  $l$  par le coefficient de la combinaison de ligne effectuée :

$$l_i \rightarrow l_i - \frac{\tilde{A}_{i,j}}{\tilde{A}_{j,j}} l_j$$

donc :

$$\tilde{L}_j = \begin{pmatrix} 1 & \dots & 0 & 0 & 0 & \dots & 0 \\ \dots & \dots & \dots & \dots & \dots & \dots & 0 \\ 0 & \dots & 1 & 0 & \dots & \dots & 0 \\ 0 & \dots & 0 & 1 & \dots & \dots & 0 \\ 0 & \dots & 0 & -\frac{\tilde{A}_{j+1,j}}{\tilde{A}_{j,j}} & 1 & \dots & 0 \\ 0 & \dots & 0 & \dots & 0 & \dots & 0 \\ 0 & \dots & 0 & -\frac{\tilde{A}_{l,j}}{\tilde{A}_{j,j}} & 0 & \dots & 1 \end{pmatrix}$$

On vérifie facilement que l'inverse de cette matrice est

$$L_j = \tilde{L}_j^{-1} = \begin{pmatrix} 1 & \dots & 0 & 0 & 0 & \dots & 0 \\ \dots & \dots & \dots & \dots & \dots & \dots & 0 \\ 0 & \dots & 1 & 0 & \dots & \dots & 0 \\ 0 & \dots & 0 & 1 & \dots & \dots & 0 \\ 0 & \dots & 0 & \frac{\tilde{A}_{j+1,j}}{\tilde{A}_{j,j}} & 1 & \dots & 0 \\ 0 & \dots & 0 & \dots & 0 & \dots & 0 \\ 0 & \dots & 0 & \frac{\tilde{A}_{l,j}}{\tilde{A}_{j,j}} & 0 & \dots & 1 \end{pmatrix}$$

Donc  $A$  est le produit des matrices  $L_j$  par une matrice réduite  $U$  qui est triangulaire supérieure

$$A = L_1 \dots L_{l-1} U$$

On vérifie ensuite que le produit des matrices  $L_1 \dots L_{l-1}$  revient à remplacer les coefficients de la colonne  $j$  sous la diagonale par ceux de  $L_j$ , ce qui donne une matrice  $L$  triangulaire inférieure (avec des 1 sur la diagonale). Pour l'obtenir il suffit au cours de l'algorithme de réduction sous-diagonale du pivot de Gauss de stocker le coefficient de la combinaison linéaire dans une matrice initialisée à la matrice identité (on peut aussi le faire en place dans la matrice à réduire).

Attention, le produit  $\tilde{L}_{l-1} \dots \tilde{L}_1$  ne s'obtient pas en copiant la colonne  $j$  de  $\tilde{L}_j$  pour  $j$  variant de 1 à  $l-1$  ! On peut l'obtenir en faisant une réduction sous-diagonale de la matrice bloc obtenue en collant  $A$  avec la matrice identité ayant  $l$  lignes.

#### 15.4.2 Factorisation $PA = LU$

Si on veut mettre en oeuvre la stratégie du pivot partiel (ou en calcul exact si un coefficient diagonal est nul), il est nécessaire d'intervertir une ligne de la matrice partiellement réduite avec une ligne en-dessous. Cela revient à réduire la matrice  $A$  de départ après échange de ces mêmes lignes. En conséquence ce n'est pas  $A$  qui est le produit  $LU$  mais une matrice obtenue par permutations de lignes de  $A$ , que l'on peut écrire comme produit à gauche de  $A$  par une matrice de permutation  $P$ .

Remarque : si à une étape de réduction, tous les coefficients de la colonne  $j$  à partir de la ligne  $j$  sont nuls, on peut simplement ignorer cette colonne et incrémenter  $j$  de 1 ( $L_j$  sera l'identité). Mais ceci diffère de la réduction sous forme échelonnée où on incrémente  $j$  de 1, mais pas  $i$  (on ne peut plus alors déduire le rang de  $U$  du nombre de lignes non nulles). On peut aussi effectuer un échange de colonnes (ce qui revient à multiplier à droite par une matrice de permutation).

#### 15.4.3 Applications de la décomposition $LU$

On peut résoudre des systèmes linéaires par la factorisation  $LU$ . En effet soit à résoudre  $Ax = b$ . On effectue la permutation de lignes sur  $A$  et  $b$  (correspondant à la matrice de permutation  $P$ ), ce qui donne  $PAx = Pb = LUx$ , puis on résoud  $Ly = Pb$  (système triangulaire inférieur), puis on résoud  $Ux = y$  (système triangulaire supérieur).

Comparaison avec la réduction complète sous forme échelonnée de  $(A|b)$  :

- La factorisation  $LU$  peut réserver plus tard pour résoudre le même système linéaire avec un autre second membre. Avec `rref` il faut dès le départ mettre tous les vecteurs colonnes second membre à  $A$ .
- Le nombre d'opérations pour résoudre un système  $n$ ,  $n$  est moindre. La réduction sous-diagonale nécessite de réduire les colonnes  $j$  de 1 à  $n-1$ , avec pour réduire la colonne  $j$   $n-j$  combinaisons linéaire de lignes ayant  $n+1-j$  coefficients non nuls, soit  $\sum_{j=1}^{n-1} (n-j)(n+1-j) = 2/3 n^3 + O(n^2)$  opérations (1 multiplication et 1 soustraction par coefficient). La résolution des systèmes triangulaires est en  $O(n^2)$ .



- Le calcul est plus favorable au cache mémoire, puisqu'on travaille sur une portion de plus en plus petite de la matrice.

On peut inverser une matrice en utilisant la décomposition  $LU$ . Supposons pour simplifier que la permutation est l'identité. On calcule d'abord  $L^{-1}$  en utilisant le fait que  $L$  est triangulaire inférieure, voici comment cela est implémenté dans Xcas ( $L$  est noté  $l$ ) :

```
first step compute l^-1,
solve l*a=y for y a canonical basis vector
  a0=y0, a1=y1-l_{1,0}*a0, ..., ak=yk-sum_{j=0..k-1}(l_kj*a_j)
if y=(0,...,0,1,0,...,0) (1 at position i),
  a0=...=a_{i-1}=0, a_i=1 and we start at equation k=i+1 and sum_{j=i...}
-> n^3/6 operations
To store the result in place of l
we first compute all the a2 (there is only 1), then all the a3 (2), etc.
a0=y0, a1=y1-l_{1,0}*a0, ..., ak=yk-sum_{j=0..k-1}(l_kj*a_j)
```

Puis on résoud  $UA^{-1} = L^{-1}$  colonne par colonne

```
second step, solve u*inverse=l^-1 (now under the diagonal)
we compute a column of inverse by solving the system:
u*col(inverse)=corresponding row of l^-1,
and overwrite the row of l^-1 by solution
u*[x0,...,xn-1]=[a0,...,an]
x_{n-1}=a_{n-1}/u_{n-1,n-1}
x_{n-2}=(a_{n-2}-u_{n-2,n-1}*x_{n-1})/u_{n-2,n-2}
...
x_k=(a_k-sum_{j=k+1..n-1} u_{k,j}*x_j)/u_{k,k}
-> n^3/2 operations
To store the solution in place, we first compute all the x_{n-1}
put them in the last line of m, then all the x_{n-2}, etc.
```

## 15.5 La factorisation de Cholesky

Dans le cas où la matrice est réelle symétrique ou plus généralement hermitienne, on peut obtenir une écriture analogue mais où  $U$  est la transconjugée de  $L$

$$A = U^*U = LL^*$$

$L$  reste triangulaire inférieure, mais n'a plus des 1 sur sa diagonale en général. Si  $A$  est définie positive, on peut rendre l'écriture unique en imposant aux coefficients diagonaux de  $L$  d'être réels positifs.

L'algorithme de calcul de  $U$  est la traduction matricielle de l'algorithme de Gauss de réduction des formes quadratiques. On a en effet

$$x^*Ax = x^*U^*Ux = \|Ux\|^2$$

les lignes de  $U$  (ou les colonnes de  $L$ ) sont donc les coefficients des formes linéaires indépendantes qui interviennent dans l'écriture de la forme quadratique comme somme/différence de carrés de formes linéaires. Si  $A$  est définie positive, seules des sommes interviennent, et les variables s'éliminent l'une après l'autre (le coefficient

de  $x_2$  est forcément non nul lorsqu'on a éliminé  $x_1$  et ainsi de suite), ceci explique la forme triangulaire de  $U$  et  $L$ .

Le calcul de  $L$  se fait donc colonne par colonne, en calculant d'abord le coefficient diagonal comme racine carrée du coefficient diagonal  $\alpha_j = \sqrt{A_{j,j}}$ . Ensuite on effectue les combinaisons de ligne sous la forme

$$l_j \rightarrow \frac{1}{\alpha_j} l_j, \quad l_i \rightarrow \alpha_j l_i - \frac{A_{i,j}}{\alpha_j} l_j$$

On peut aussi tout simplement effectuer le produit de  $LL^*$  et chercher les inconnues en commençant par  $l_{1,1}$  puis on calcule les  $l_{i,1}$  pour  $i > 1$ , etc. En suivant wikipedia, pour une matrice réelle :

$$L = \begin{bmatrix} l_{11} & 0 & \cdots & 0 \\ l_{21} & l_{22} & \cdots & 0 \\ \vdots & \vdots & \ddots & \vdots \\ l_{n1} & l_{n2} & \cdots & l_{nn} \end{bmatrix}$$

$$a_{ij} = (LL^T)_{ij} = \sum_{k=1}^n l_{ik} l_{jk} = \sum_{k=1}^{\min\{i,j\}} l_{ik} l_{jk}, \quad 1 \leq i, j \leq n$$

La matrice  $A$  étant symétrique, il suffit que les relations ci-dessus soient vérifiées pour  $i \leq j$ , c'est-à-dire que les éléments  $l_{i,j}$  de la matrice  $L$  doivent satisfaire

$$a_{ij} = \sum_{k=1}^i l_{ik} l_{jk}, \quad 1 \leq i \leq j \leq n$$

Pour  $i = 1$ , on détermine la première colonne de  $L$

$$a_{11} = l_{11} l_{11}, \quad a_{1j} = l_{11} l_{j1}$$

donc

$$l_{11} = \sqrt{a_{11}}, \quad l_{j1} = \frac{a_{1j}}{l_{11}} \quad (\text{pour } j > 1)$$

On détermine la  $i$ -ième colonne de  $L$  ( $2 \leq i \leq n$ ) après avoir calculé les  $i - 1$  premières colonnes

$$a_{ii} = l_{i1} l_{i1} + \cdots + l_{ii} l_{ii}, \quad a_{ij} = l_{i1} l_{j1} + \cdots + l_{ii} l_{ji}$$

d'où

$$l_{ii} = \sqrt{a_{ii} - \sum_{k=1}^{i-1} l_{ik}^2}, \quad l_{ji} = \frac{a_{ij} - \sum_{k=1}^{i-1} l_{ik} l_{jk}}{l_{ii}} \quad (\text{pour } j > i)$$

Pour une matrice hermitienne complexe, il suffit de remplacer  $l_{ik} l_{jk}$  par  $l_{ik} \overline{l_{jk}}$  et  $l_{ik}^2$  par  $|l_{ik}|^2$ .

Le nombre d'opérations à effectuer est asymptotiquement 2 fois plus faible que celui pour  $LU$ . En effet, pour la première ligne, il faut 1 racine et  $n - 1$  divisions, pour la deuxième ligne, 1 racine,  $n - 1$  additions, multiplications et  $n - 2$  divisions, ..., pour la  $i$ -ième ligne 1 racine,  $(i - 1)(n - i)$  additions, multiplications et  $n - 2$  divisions, au final le cout est dominé par les additions et multiplications en  $1/6 n^3$  pour chaque, donc  $1/3 n^3$  en tout, contre  $2/3 n^3$  pour la factorisation  $LU$ .

La commande Xcas correspondante est `cholesky` et renvoie la matrice  $L$ .

## 15.6 Conditionnement

Le conditionnement mesure la sensibilité de la solution renvoyée d'un système linéaire aux données du problème.

Soit le système linéaire  $Ax = b$  de solution  $x = A^{-1}b$ , supposons  $b$  connu avec une erreur  $e$ , alors la solution renvoyée sera  $x + A^{-1}e$ , on a donc une erreur relative sur la solution de

$$\frac{\|A^{-1}e\|}{\|A^{-1}b\|} = \frac{\|A^{-1}e\|}{\|e\|} \frac{\|e\|}{\|b\|} \frac{\|b\|}{\|A^{-1}b\|} \leq \|A^{-1}\| \frac{\|e\|}{\|b\|} \|A\|$$

(la dernière inégalité s'obtient en écrivant  $b = A(A^{-1}b)$ ). On en déduit que le rapport de l'erreur relative sur la solution par l'erreur relative du second membre est majorée par le produit de la norme de  $A$  (en tant qu'application linéaire) par la norme de  $A^{-1}$ , ce produit est appelé conditionnement de la matrice  $A$  (ou parfois nombre de condition de  $A$  en adoptant la terminologie anglo-saxonne).

On remarquera que le conditionnement dépend du choix de la norme sur l'espace vectoriel. Si on prend comme norme la norme  $L^2$ , le calcul de  $\|A\|$  nécessite de maximiser  $\sqrt{\langle Ab | Ab \rangle}$  pour  $b$  de norme 1, ce qui revient à maximiser  $\sqrt{\langle b | A^* A b \rangle}$ . En diagonalisant la matrice hermitienne  $A^* A$ , on voit qu'il suffit d'en trouver la plus grande valeur propre et d'en prendre la racine carrée. Les valeurs propres de  $A^* A$  sont appelées valeurs singulières de  $A$  (ce sont des réels positifs). Le même raisonnement pour  $A^{-1}$  (dont les valeurs singulières sont les inverses des valeurs singulières de  $A$ ) nous donne alors le :

**Théorème 27** *Lorsqu'on résout un système linéaire  $Ax = b$ ,  $A$  matrice connue précisément et inversible,  $b$  connu avec une erreur relative en norme  $L^2$ , l'erreur relative en norme  $L^2$  sur  $x$  est au plus multipliée par*

$$K_2(A) = \frac{\lambda_n}{\lambda_1}$$

où  $\lambda_n$  [resp.  $\lambda_1$ ] est la plus grande [resp. plus petite] valeur singulière de  $A$  (racines carrées des valeurs propres de  $A^* A$ ).

Ce facteur d'amplification des erreurs relatives est évidemment supérieur ou égal à 1. Il est égal à 1 si la matrice est unitaire (puisque  $A$  est une matrice d'isométrie ou car  $AA^* = I$ ). S'il est de l'ordre de  $2^c$  on perdra (au plus)  $c$  bits de précision sur la mantisse de  $x$ .

Avec Xcas, les valeurs singulières s'obtiennent par l'instruction `SVL(A)`, le conditionnement  $L^2$  par `COND(A, 2)`. Attention, les valeurs singulières de  $A$  ne sont pas les valeurs absolues des valeurs propres de  $A$  (c'est le cas si  $A$  commute avec sa transconjuguée mais ce n'est pas général). On peut utiliser la méthode de la puissance (cf. infra) pour estimer la plus grande valeur singulière de  $A$  (donc sans diagonaliser complètement la matrice  $A^* A$ ), et de même sur  $A^{-1}$  (en utilisant `LU` ou Cholesky pour trouver les itérées sans calculer  $A^{-1}$ ).

On peut aussi prendre la norme  $L^1$  sur l'espace vectoriel, dans ce cas la norme de matrice correspondante est la norme de colonne (exercice !), le maximum des sommes valeurs absolues des éléments des colonnes (`colNorm(A)` en Xcas) et le conditionnement est le produit de `colNorm(A)` par `colNorm(inv(A))` qui est renvoyé par `COND(A)` en Xcas.

Si la matrice du système  $A$  (de nombre de condition noté  $\kappa(A)$ ) est elle-même connue avec une certaine incertitude, alors pour  $\|\Delta A\|$  suffisamment petit, on montre que la solution de  $(A + \Delta A)(x + \Delta x) = b + \Delta b$  vérifie

$$\frac{|\Delta x|}{|x|} \leq \frac{\kappa(A)}{1 - \kappa(A) \frac{\|\Delta A\|}{\|A\|}} \left( \frac{|\Delta b|}{|b|} + \frac{\|\Delta A\|}{\|A\|} \right)$$

## 15.7 Réduction des endomorphismes

### 15.7.1 Le polynôme minimal

On prend un vecteur  $v$  au hasard et on calcule la relation linéaire de degré minimal entre  $v, Av, \dots, A^n v$  en cherchant le premier vecteur  $w$  du noyau de la matrice obtenue en écrivant les vecteurs  $v, Av, \dots$  en colonne dans cet ordre. Les coordonnées de  $w$  donnent alors par ordre de degré croissant un polynôme  $P$  de degré minimal tel que  $P(A)v = 0$  donc  $P$  divise le polynôme minimal  $M$ . Donc si  $P$  est de degré  $n$ ,  $P = M$ . Sinon, il faut vérifier que le polynôme obtenu annule la matrice  $A$ . On peut aussi calculer en parallèle le polynôme  $P$  précédent pour quelques vecteurs aléatoires et prendre le PPCM des polynômes obtenus.

#### Exemple 1

Polynôme minimal de  $\begin{pmatrix} 1 & -1 \\ 2 & 4 \end{pmatrix}$ . On prend  $v = (1, 0)$ , la matrice à réduire est alors :

$$\begin{pmatrix} 1 & -1 & -11 \\ 2 & 10 & 38 \end{pmatrix} \rightarrow \begin{pmatrix} 1 & 0 & -6 \\ 0 & 1 & 5 \end{pmatrix}$$

Le noyau est engendré par  $(-6, 5, -1)$  donc  $P = -x^2 + 5x - 6$ .

#### Exemple 2

$$A = \begin{pmatrix} 3 & 2 & -2 \\ -1 & 0 & 1 \\ 1 & 1 & 0 \end{pmatrix}$$

en prenant  $v = (1, 0, 0)$  on obtient la matrice :

$$A = \begin{pmatrix} 1 & 3 & 5 & 7 \\ 0 & -1 & -2 & -3 \\ 0 & 1 & 2 & 3 \end{pmatrix} \rightarrow \begin{pmatrix} 1 & 0 & -1 & -2 \\ 0 & 1 & 2 & 3 \\ 0 & 0 & 0 & 0 \end{pmatrix}$$

le premier vecteur du noyau est  $(-1, 2, -1)$  d'où un polynôme divisant le polynôme minimal  $-x^2 + 2x - 1$ .

### 15.7.2 Le polynôme caractéristique

Pour une matrice générique, le polynôme caractéristique est égal au polynôme minimal, il est donc intéressant de chercher si le polynôme annulateur de  $A$  sur un vecteur aléatoire est de degré  $n$ , car le temps de calcul du polynôme caractéristique est alors en  $O(n^3)$ . Si cette méthode probabiliste échoue, on se rabat sur une des méthodes déterministe ci-dessous :

- on utilise la formule  $\det(\lambda I - A)$  déterminé par une des méthodes de calcul de déterminant ci-dessus. Cela nécessite  $O(n^3)$  opérations mais avec des coefficients polynômes en  $\lambda$ .

- on fait une interpolation de Lagrange en donnant  $n + 1$  valeurs distinctes à  $\lambda$ . Ce qui nécessite  $O(n^4)$  opérations mais avec des coefficients indépendants de  $\lambda$ , de plus cette méthode est facile à programmer de manière parallèle.
- si la matrice est à coefficients entiers on peut utiliser la méthode de Hessenberg (voir ci-dessous), on calcule une borne à priori sur les coefficients du polynôme caractéristique (cf. Cohen p.58-59) :

$$|P_k| \leq \binom{n}{n-k} (n-k)^{(n-k)/2} |M|^{n-k},$$

on calcule le polynôme caractéristique modulo suffisamment de petits entiers puis on remonte par les restes chinois.

### 15.7.3 La méthode de Hessenberg

Pour les matrices à coefficients de taille bornée (modulaires par exemple) on préfère la méthode de Hessenberg qui est plus efficace, car elle nécessite de l'ordre de  $n^3$  opérations sur les coefficients.

On se ramène d'abord à une matrice triangulaire supérieure à une diagonale près qui est semblable à la matrice de départ puis on applique une formule de récurrence pour calculer les coefficients du polynôme caractéristique.

#### Algorithme de réduction de Hessenberg :

Dans une colonne  $m$  donnée de la matrice  $H$ , on cherche à partir de la ligne  $m + 1$  un coefficient non nul. S'il n'y en a pas on passe à la colonne suivante. S'il y en a un en ligne  $i$ , on échange les lignes  $m + 1$  et  $i$  et les colonnes  $m + 1$  et  $i$ . Ensuite pour tout  $i \geq m + 2$ , soit  $u = H_{i,m}/H_{m+1,m}$ , on remplace alors la ligne  $L_i$  de  $H$  par  $L_i - uL_{m+1}$  et la colonne  $C_{m+1}$  par  $C_{m+1} + uC_i$  ce qui revient "à remplacer le vecteur  $e_{m+1}$  de la base par le vecteur  $e_{m+1} + ue_i$ " ou plus précisément à multiplier à gauche par  $\begin{pmatrix} 1 & 0 \\ -u & 1 \end{pmatrix}$  et à droite par la matrice inverse  $\begin{pmatrix} 1 & 0 \\ u & 1 \end{pmatrix}$  (en utilisant les lignes et colonnes  $m + 1$  et  $i$  au lieu de 1 et 2 pour ces matrices). Ceci a pour effet d'annuler le coefficient  $H_{i,m}$  dans la nouvelle matrice.

On obtient ainsi en  $O(n^3)$  opérations une matrice  $H'$  semblable à  $H$  de la forme :

$$\begin{pmatrix} H'_{1,1} & H'_{1,2} & \dots & H'_{1,n-2} & H'_{1,n-1} & H'_{1,n} \\ H'_{2,1} & H'_{2,2} & \dots & H'_{2,n-2} & H'_{2,n-1} & H'_{2,n} \\ 0 & H'_{3,2} & \dots & H'_{3,n-2} & H'_{3,n-1} & H'_{3,n} \\ 0 & 0 & \dots & H'_{4,n-2} & H'_{4,n-1} & H'_{4,n} \\ \vdots & \vdots & \dots & \vdots & \vdots & \vdots \\ 0 & 0 & \dots & 0 & H'_{n,n-1} & H'_{n,n} \end{pmatrix}$$

On calcule alors le polynôme caractéristique de  $H'$  par une récurrence qui s'obtient en développant le déterminant par rapport à la dernière colonne :

$$\begin{aligned} h_n(\lambda) = \det(\lambda I_n - H) &= (\lambda - H'_{n,n})h_{n-1}(\lambda) - (-H'_{n-1,n})(-H'_{n,n-1})h_{n-2}(\lambda) + \\ &\quad + (-H'_{n-2,n})(-H'_{n,n-1})(-H'_{n-1,n-2})h_{n-3}(\lambda) - \dots \end{aligned}$$

où les  $h_i$  s'entendent en gardant les  $i$  premières lignes/colonnes de  $H'$ . On peut

écrire cette formule pour  $m \leq n$  :

$$h_m(\lambda) = (\lambda - H'_{m,m})h_{m-1}(\lambda) - \sum_{i=1}^{m-1} H'_{m-i,m} \prod_{j=1}^{i-1} H'_{m-j+1,m-j} h_{i-1}(\lambda)$$

Pour effectuer cette récurrence de manière efficace, on conserve les  $h_m(\lambda)$  dans un tableau de polynômes et on utilise une variable produit contenant successivement les  $\prod H'_{m-j+1,m-j}$ .

**Remarques** Une variante de la réduction ci-dessus utilise des matrices de rotation de Givens : il s'agit d'une rotation dans le plan engendré par deux vecteurs de base  $e_i, e_j$  prolongée par l'identité. On doit alors effectuer deux combinaisons linéaires de ligne et deux combinaisons linéaires de colonnes par transformation donc deux fois plus de calculs, mais l'avantage est que la matrice de transformation est unitaire (donc facile à inverser, et bien conditionnée).

On peut aussi utiliser des matrices de Householder pour se ramener à une forme de Hessenberg. La matrice de Householder associée à  $v$  est définie par ;

$$H = I - 2 \frac{vv^t}{\|v\|^2}$$

c'est la matrice de la symétrie par rapport à l'hyperplan perpendiculaire à  $v$ ,  $Hv = -v$  et pour tout vecteur perpendiculaire à  $v$  on a  $Hw = w$ , donc  $H$  est orthogonale. On l'utilise en général pour  $v = a - b$  avec  $\|a\| = \|b\|$ , on a alors  $Ha = b$  puisque  $H(a - b) = b - a$  car  $v = a - b$  et  $H(a + b) = a + b$  car  $v$  est orthogonal à  $a + b$  (puisque  $\|a\| = \|b\|$ ).

#### 15.7.4 La méthode de Leverrier-Faddeev-Souriau

Cette méthode permet le calcul simultané des coefficients  $p_i$  ( $i = 0..n$ ) du polynôme caractéristique  $P(\lambda) = \det(\lambda I - A)$  et des coefficients matriciels  $B_i$  ( $i = 0..n - 1$ ) du polynôme en  $\lambda$  donnant la matrice adjointe (ou comatrice)  $B(\lambda)$  de  $\lambda I - A$  :

$$(\lambda I - A)B(\lambda) = (\lambda I - A) \sum_{k \leq n-1} B_k \lambda^k = \left( \sum_{k \leq n} p_k \lambda^k \right) I = P(\lambda)I \quad (40)$$

Remarquons que cette équation donne une démonstration assez simple de Cayley-Hamilton puisque le reste de la division euclidienne du polynôme  $P(\lambda)I$  par  $\lambda I - A$  est  $P(A)$ .

Pour déterminer simultanément les  $p_k$  et  $B_k$ , on a les relations de récurrence :

$$B_{n-1} = p_n I = I, \quad B_k - AB_{k+1} = p_{k+1} I \quad (41)$$

Il nous manque une relation entre les  $p_k$  et  $B_k$  pour pouvoir faire le calcul par valeurs décroissantes de  $k$ , on va montrer le :

**Théorème 28** La dérivée du polynôme caractéristique  $P'(\lambda)$ , est égale à la trace de la matrice adjointe de  $\lambda I - A$

$$\text{tr}(B) = P'(\lambda)$$

Le théorème nous donne  $\text{tr}(B_k) = (k+1)p_{k+1}$ . Si on prend la trace de (41), on a :

$$\text{tr}(B_{n-1}) = np_n, \quad (k+1)p_{k+1} - \text{tr}(AB_{k+1}) = np_{k+1}$$

donc on calcule  $p_{k+1}$  en fonction de  $B_{k+1}$  puis  $B_k$  :

$$p_{k+1} = \frac{\text{tr}(AB_{k+1})}{k+1-n}, \quad B_k = AB_{k+1} + p_{k+1}I$$

### Démonstration du théorème :

Soient  $V_1(\lambda), \dots, V_n(\lambda)$  les vecteurs colonnes de  $\lambda I - A$  et  $b_{i,j}(\lambda)$  les coefficients de  $B$ , on a :

$$\begin{aligned} P'(\lambda_0) &= \det(V_1(\lambda), V_2(\lambda), \dots, V_n(\lambda))'_{|\lambda=\lambda_0} \\ &= \det(V_1'(\lambda_0), V_2(\lambda_0), \dots, V_n(\lambda_0)) + \det(V_1(\lambda_0), V_2'(\lambda_0), \dots, V_n(\lambda_0)) + \\ &\quad + \dots + \det(V_1(\lambda_0), V_2(\lambda_0), \dots, V_n'(\lambda_0)) \end{aligned}$$

Il suffit alors de remarquer que  $V_i'(\lambda_0)$  est le  $i$ -ième vecteur de la base canonique donc :

$$\det(V_1(\lambda_0), V_2(\lambda_0), \dots, V_i'(\lambda_0), \dots, V_n(\lambda_0)) = b_{i,i}(\lambda_0)$$

Finalement :

$$P'(\lambda_0) = \sum_{i=1}^n b_{i,i}(\lambda_0) = \text{tr}(B(\lambda_0))$$

### Remarque :

En réindexant les coefficients de  $P$  et  $B$  de la manière suivante :

$$\begin{aligned} P(\lambda) &= \lambda^n + p_1\lambda^{n-1} + p_2\lambda^{n-2} \dots + p_n \\ B(\lambda) &= \lambda^{n-1}I + \lambda^{n-2}B_1 + \dots + B_{n-1} \end{aligned}$$

on a montré que :

$$\begin{cases} A_1 = A, & p_1 = -\text{tr}(A), & B_1 = A_1 + p_1I \\ A_2 = AB_1, & p_2 = -\frac{1}{2}\text{tr}(A_2), & B_2 = A_2 + p_2I \\ \vdots & \vdots & \vdots \\ A_k = AB_{k-1}, & p_k = -\frac{1}{k}\text{tr}(A_k), & B_k = A_k + p_kI \end{cases}$$

On peut alors vérifier que  $B_n = A_n + p_nI = 0$ . D'où ce petit programme à utiliser avec xcas en mode mupad (`maple_mode(2);`), ou avec MuPAD, ou à adapter avec un autre système :

```
iequalj:=(j,k)->if j=k then return(1); else return(0); end_if;
faddeev:=proc(A) // renvoie la liste des matrices B et le polynome P
local Aj,AAj,Id,coef,n,pcara,lmat;
begin
  n:=ncols(A);
  Id:=matrix(n,n,iequalj); // matrice identite
  Aj:=Id;
  lmat:=[]; // B initialise a liste vide
  pcara:=[1]; // coefficient de plus grand degre de P
```

```

for j from 1 to n do
  lmat:=append(lmat,Aj);          // rajoute Aj a la liste de matrices
  AAj:=Aj*A;
  coef:=-trace(AAj)/j;           // mupad linalg::tr
  pcara:=append(pcara,coef);     // rajoute coef au polynome caracteristique
  Aj:=AAj+coef*Id;
end_for;
lmat,pcara;                      // resultat
end_proc;

```

### 15.7.5 Les vecteurs propres simples.

On suppose ici qu'on peut factoriser le polynôme caractéristique (ou calculer dans une extension algébrique d'un corps). Lorsqu'on a une valeur propre simple  $\lambda_0$ , en écrivant la relation  $(A - \lambda_0 I)B(\lambda_0) = P(\lambda_0)I = 0$ , on voit que les vecteurs colonnes de la matrice  $B(\lambda_0)$  sont vecteurs propres. Remarquer que  $B(\lambda_0) \neq 0$  sinon on pourrait factoriser  $\lambda - \lambda_0$  dans  $B(\lambda)$  et après simplifications on aurait :

$$(A - \lambda_0 I) \frac{B}{\lambda - \lambda_0}(\lambda_0) = \frac{P}{\lambda - \lambda_0}(\lambda_0)I$$

or le 2ème membre est inversible en  $\lambda_0$  ce qui n'est pas le cas du premier. Pour avoir une base des vecteurs propres associés à  $\lambda_0$ , on calcule  $B(\lambda_0)$  par la méthode de Horner appliquée au polynôme  $B(\lambda)$  en  $\lambda = \lambda_0$ , et on réduit en colonnes la matrice obtenue.

### 15.7.6 La forme normale de Jordan

Pour les valeurs propres de multiplicité plus grande que 1, on souhaiterait généraliser la méthode ci-dessus pour obtenir une base de l'espace caractéristique, sous forme de cycles de Jordan. Soit  $\lambda_i, n_i$  les valeurs propres comptées avec leur multiplicité. On fait un développement de Taylor en  $\lambda_i$  :

$$\begin{aligned}
-P(\lambda)I &= (A - \lambda I) \left( B(\lambda_i) + B'(\lambda_i)(\lambda - \lambda_i) + \dots + \frac{B^{(n-1)}(\lambda_i)}{(n-1)!}(\lambda - \lambda_i)^{n-1} \right) \\
&= -(\lambda - \lambda_i)^{n_i} \prod_{j \neq i} (\lambda - \lambda_j)^{n_j} I
\end{aligned}$$

Comme  $A - \lambda I = A - \lambda_i I - (\lambda - \lambda_i)I$ , on obtient pour les  $n_i$  premières puissances de  $\lambda - \lambda_i$  :

$$(A - \lambda_i I)B(\lambda_i) = 0 \quad (42)$$

$$(A - \lambda_i I)B'(\lambda_i) = B(\lambda_i) \quad (43)$$

$$\dots \quad (44)$$

$$(A - \lambda_i I) \frac{B^{(n_i-1)}(\lambda_i)}{(n_i-1)!} = \frac{B^{(n_i-2)}(\lambda_i)}{(n_i-2)!} \quad (45)$$

$$(A - \lambda_i I) \frac{B^{(n_i)}(\lambda_i)}{n_i!} - \frac{B^{(n_i-1)}(\lambda_i)}{(n_i-1)!} = - \prod_{j \neq i} (\lambda_i - \lambda_j)^{n_j} I \quad (46)$$



Le calcul des matrices  $B^{(n)}(\lambda_i)/n!$  pour  $n < n_i$  se fait en appliquant  $n_i$  fois l'algorithme de Horner (avec reste).

**Théorème 29** *L'espace caractéristique de  $\lambda_i$  est égal à l'image de  $B^{(n_i-1)}(\lambda_i)/(n_i-1)!$ .*

**Preuve :**

On montre d'abord que  $\text{Im}B^{(n_i-1)}(\lambda_i)/(n_i-1)!$  est inclus dans l'espace caractéristique correspondant à  $\lambda_i$  en appliquant l'équation (45) et les équations précédentes. Réciproquement on veut prouver que tout vecteur caractéristique  $v$  est dans l'image de  $B^{(n_i-1)}(\lambda_i)/(n_i-1)!$ . Prouvons le par récurrence sur le plus petit entier  $m$  tel que  $(A - \lambda_i)^m v = 0$ . Le cas  $m = 0$  est clair puisque  $v = 0$ . Supposons le cas  $m$  vrai, prouvons le cas  $m + 1$ . On applique l'équation (46) à  $v$ , il suffit alors de prouver que

$$w = (A - \lambda_i) \frac{B^{(n_i)}(\lambda_i)}{n_i!} v$$

appartient à l'image de  $B^{(n_i-1)}(\lambda_i)/(n_i-1)!$ . Comme  $B^{(n_i)}(\lambda_i)$  commute avec  $A$  (car c'est un polynôme en  $A$  ou en appliquant le fait que  $B(\lambda)$  inverse de  $A - \lambda I$ ) :

$$(A - \lambda_i)^m w = \frac{B^{(n_i)}(\lambda_i)}{n_i!} (A - \lambda_i)^{m+1} v = 0$$

et on applique l'hypothèse de récurrence à  $w$ .

Pour calculer les cycles de Jordan, nous allons effectuer une réduction par le pivot de Gauß simultanément sur les colonnes des matrices  $B^{(k)}(\lambda_i)/k!$  où  $k < n_i$ . La simultanéité a pour but de conserver les relations (42) à (45) pour les matrices réduites. Pour visualiser l'algorithme, on se représente les matrices les unes au-dessus des autres, colonnes alignées. On commence par réduire la matrice  $B(\lambda_i)$  jusqu'à ce que l'on obtienne une matrice réduite **en recopiant** les opérations élémentaires de colonnes faites sur  $B(\lambda_i)$  sur toutes les matrices  $B^{(k)}(\lambda_i)/k!$ . On va continuer avec la liste des matrices réduites issues de  $B'(\lambda_i)$ , ...,  $B^{(n_i-1)}(\lambda_i)/(n_i-1)!$ , mais en déplaçant les colonnes non nulles de  $B(\lambda_i)$  d'une matrice vers le bas (pour une colonne non nulle de la matrice réduite  $B(\lambda)$  les colonnes correspondantes de  $B^{(k)}(\lambda_i)$  réduite sont remplacées par les colonnes correspondantes de  $B^{(k-1)}(\lambda_i)$  réduite pour  $k$  décroissant de  $n_i - 1$  vers 1). À chaque étape, on obtient une famille (éventuellement vide) de cycles de Jordan, ce sont les vecteurs colonnes correspondants aux colonnes non nulles de la matrice réduite du haut de la colonne. On élimine bien sûr les colonnes correspondant aux fins de cycles déjà trouvés.

Par exemple, si  $B(\lambda_i) \neq 0$ , son rang est 1 et on a une colonne non nulle, et un cycle de Jordan de longueur  $n_i$  fait des  $n_i$  vecteurs colonnes des matrices  $B^{(k)}(\lambda_i)/k!$  réduites. Plus généralement, on obtiendra plus qu'un cycle de Jordan (et dans ce cas  $B(\lambda_i) = 0$ ).

### 15.7.7 Exemple 1

$$A = \begin{pmatrix} 3 & -1 & 1 \\ 2 & 0 & 1 \\ 1 & -1 & 2 \end{pmatrix}$$

$\lambda = 2$  est valeur propre de multiplicité 2, on obtient :

$$B(\lambda) = \lambda^2 I + \lambda \begin{pmatrix} -2 & -1 & 1 \\ 2 & -5 & 1 \\ 1 & -1 & -3 \end{pmatrix} + \begin{pmatrix} 1 & 1 & -1 \\ -3 & 5 & -1 \\ -2 & 2 & 2 \end{pmatrix}$$

on applique l'algorithme de Horner :

$$B(2) = \begin{pmatrix} 1 & -1 & 1 \\ 1 & -1 & 1 \\ 0 & 0 & 0 \end{pmatrix},$$

$$B'(2) = \begin{pmatrix} 2 & -1 & 1 \\ 2 & -1 & 1 \\ 1 & -1 & 1 \end{pmatrix}$$

Comme  $B(2) \neq 0$ , on pourrait arrêter les calculs en utilisant une colonne non nulle et le cycle de Jordan associé  $(2, 2, 1) \rightarrow (1, 1, 0) \rightarrow (0, 0, 0)$ . Expliquons tout de même l'algorithme général sur cet exemple. La réduction de  $B(2)$  s'obtient en effectuant les manipulations de colonnes  $C_2 + C_1 \rightarrow C_2$  et  $C_3 - C_1 \rightarrow C_3$ . On effectue les mêmes opérations sur  $B'(2)$  et on obtient :

$$\begin{pmatrix} 1 & 0 & 0 \\ 1 & 0 & 0 \\ 0 & 0 & 0 \end{pmatrix},$$

$$\begin{pmatrix} 2 & 1 & -1 \\ 2 & 1 & -1 \\ 1 & 0 & 0 \end{pmatrix}$$

L'étape suivante consiste à déplacer vers le bas d'une matrice les colonnes non nulles de la matrice du haut, on obtient :

$$\begin{pmatrix} 1 & 1 & -1 \\ 1 & 1 & -1 \\ 0 & 0 & 0 \end{pmatrix}$$

qui se réduit en :

$$\begin{pmatrix} 1 & 0 & 0 \\ 1 & 0 & 0 \\ 0 & 0 & 0 \end{pmatrix}$$

on chercherait alors dans les colonnes 2 et 3 de nouveaux cycles (puisque la colonne 1 a déjà été utilisée pour fournir un cycle).

### 15.7.8 Exemple 2

$$A = \begin{pmatrix} 3 & 2 & -2 \\ -1 & 0 & 1 \\ 1 & 1 & 0 \end{pmatrix}$$

$\lambda = 1$  est valeur propre de multiplicité 3. On trouve :

$$\begin{aligned} B(1) &= \begin{pmatrix} 0 & 0 & 0 \\ 0 & 0 & 0 \\ 0 & 0 & 0 \end{pmatrix}, \\ B'(1) &= \begin{pmatrix} 2 & 2 & -2 \\ -1 & -1 & 1 \\ 1 & 1 & -1 \end{pmatrix}, \\ \frac{B''(1)}{2} &= \begin{pmatrix} 1 & 0 & 0 \\ 0 & 1 & 0 \\ 0 & 0 & 1 \end{pmatrix} \end{aligned}$$

Le processus de réduction commence avec  $B'(1)$  en haut de la liste de matrices, on effectue les opérations élémentaires de colonne  $C_2 - C_1 \rightarrow C_2$  et  $C_3 + C_1 \rightarrow C_3$  et on obtient :

$$\begin{pmatrix} 2 & 0 & 0 \\ -1 & 0 & 0 \\ 1 & 0 & 0 \end{pmatrix}, \quad \begin{pmatrix} 1 & -1 & 1 \\ 0 & 1 & 0 \\ 0 & 0 & 1 \end{pmatrix}$$

La première colonne donne le premier cycle de Jordan  $(1, 0, 0) \rightarrow (2, -1, 1)$ . On déplace les premières colonnes d'une matrice vers le bas :

$$\begin{pmatrix} 2 & -1 & 1 \\ -1 & 1 & 0 \\ 1 & 0 & 1 \end{pmatrix}$$

qu'on réduit par les opérations  $2C_2 + C_1 \rightarrow C_2$  et  $2C_3 - C_1 \rightarrow C_3$  en :

$$\begin{pmatrix} 2 & 0 & 0 \\ -1 & 1 & 1 \\ 1 & 1 & 1 \end{pmatrix}$$

Puis on effectue  $C_3 - C_2 \rightarrow C_3$  et la deuxième colonne nous donne le deuxième cycle de Jordan, réduit ici à un seul vecteur propre  $(0, 1, 1)$ .

### 15.7.9 Le polynôme minimal par Faddeev

On vérifie aisément que le degré du facteur  $(\lambda - \lambda_i)$  dans le polynôme minimal de  $A$  est égal à  $n_i - k$  où  $k$  est le plus grand entier tel que :

$$\forall j < k, \quad B^{(j)}(\lambda_i) = 0$$

### 15.7.10 Formes normales rationnelles

On se place ici dans une problématique différente : trouver une matrice semblable la plus simple possible sans avoir à introduire d'extension algébrique pour

factoriser le polynôme caractéristique. Quitte à “compléter” plus tard la factorisation et la jordanisation à partir de la forme simplifiée. Il existe diverses formes associées à une matrice et plusieurs algorithmes permettant de les relier entre elles, forme de Smith, de Frobenius, forme normale de Jordan rationnelle.

On va présenter une méthode directe de calcul d’une forme normale contenant le maximum de zéros (dont la forme dite normale de Jordan rationnelle peut se déduire) en utilisant le même algorithme que pour la forme normale de Jordan. Soit  $Q(\lambda) = q_0 + \dots + q_d \lambda^d$  un facteur irréductible de degré  $d$  et de multiplicité  $q$  du polynôme caractéristique  $P$ . Il s’agit de construire un sous-espace de dimension  $dq$  formé de “cycles de Jordan rationnels”. On part toujours de la relation  $(\lambda I - A) \sum_{k \leq n-1} B_k \lambda^k = P(\lambda)I$ . On observe que  $Q(\lambda)I - Q(A)$  est divisible par  $(\lambda I - A)$  donc il existe une matrice  $M(\lambda)$  telle que :

$$(Q(\lambda)I - Q(A)) \left( \sum_{k \leq n-1} B_k \lambda^k \right) = Q(\lambda)^q M(\lambda)$$

On observe aussi que  $Q$  a pour coefficient dominant 1 puisqu’il divise  $P$ , on peut donc effectuer des divisions euclidiennes de polynômes donc de polynômes à coefficients matriciels par  $Q$  sans avoir à diviser des coefficients. Ce qui nous permet de décomposer  $B(\lambda) = \sum_{k \leq n-1} B_k \lambda^k$  en puissances croissantes de  $Q$  :

$$B(\lambda) = \sum_k C_k(\lambda) Q(\lambda)^k, \quad \deg(C_k) < q$$

On remplace et on écrit que les coefficients des puissances inférieures à  $q$  de  $Q$  sont nulles (la  $k$ -ième étant non nulle car  $M(\lambda)$  n’est pas divisible par  $Q$  pour les mêmes raisons que pour la forme normale de Jordan). On a donc les relations :

$$Q(A)C_0 = 0, \quad C_k = Q(A)C_{k+1}$$

ce qui donne une colonne de matrice  $C_{q-1} \rightarrow C_{q-2} \dots \rightarrow C_0 \rightarrow 0$  qui sont images l’une de l’autre en appliquant  $Q(A)$ . On peut alors faire l’algorithme de réduction simultanée sur les colonnes des  $C_j$ . On observe ensuite que le nombre de cycles de Jordan de  $Q(A)$  de longueur donnée est un multiple de  $d$ , en effet il suffit de multiplier un cycle par  $A, \dots, A^{d-1}$  pour créer un autre cycle, de plus ces cycles forment des familles libres car on a supposé  $Q$  irréductible. On peut donc choisir pour un cycle de longueur  $k$  des bases de la forme  $(v_{k-1}, Av_{k-1}, \dots, A^{d-1}v_{k-1}) \rightarrow \dots \rightarrow (v_0, Av_0, \dots, A^{d-1}v_0) \rightarrow (0, \dots, 0)$  où la flèche  $\rightarrow$  désigne l’image par  $Q(A)$ . Si on écrit la matrice de  $A$  dans la base  $v_0, Av_0, \dots, A^{d-1}v_0, \dots, v_{k-1}, Av_{k-1}, \dots, A^{d-1}v_{k-1}$  on obtient un “quasi-bloc de Jordan rationnel” de taille  $kd$  multiple de  $d$  :

$$\begin{pmatrix} 0 & 0 & \dots & -q_0 & 0 & 0 & \dots & 1 & \dots \\ 1 & 0 & \dots & -q_1 & 0 & 0 & \dots & 0 & \dots \\ 0 & 1 & \dots & -q_2 & 0 & 0 & \dots & 0 & \dots \\ \vdots & \vdots & \dots & \vdots & \vdots & \vdots & \dots & \vdots & \dots \\ 0 & 0 & \dots & -q_{d-1} & 0 & 0 & \dots & 0 & \dots \\ \\ 0 & 0 & \dots & 0 & 0 & 0 & \dots & -q_0 & \dots \\ 0 & 0 & \dots & 0 & 1 & 0 & \dots & -q_1 & \dots \\ \vdots & \vdots & \dots & \vdots & \vdots & \vdots & \dots & \vdots & \dots \end{pmatrix}$$

### Exemple

Soit la matrice

$$A = \begin{pmatrix} 1 & -2 & 4 & -2 & 5 & -4 \\ 0 & 1 & \frac{5}{2} & \frac{-7}{2} & 2 & \frac{-5}{2} \\ 1 & \frac{-5}{2} & 2 & \frac{-1}{2} & \frac{5}{2} & -3 \\ 0 & -1 & \frac{9}{2} & \frac{-7}{2} & 3 & \frac{-7}{2} \\ 0 & 0 & 2 & -2 & 3 & -1 \\ 1 & \frac{-3}{2} & \frac{-1}{2} & 1 & \frac{3}{2} & \frac{1}{2} \end{pmatrix}$$

Son polynôme caractéristique est  $(x-2)^2(x^2-2)^2$  et on va déterminer la partie bloc de Jordan rationnel correspondant au facteur irréductible sur les entiers  $Q(x) = (x^2 - 2)$  de multiplicité  $q = 2$ . On calcule  $B(x)$  et l'écriture de  $B$  comme somme de puissances de  $Q$  (ici avec `xcas` en mode `xcas`) :

```
A:=[ [1,-2,4,-2,5,-4], [0,1,5/2,(-7)/2,2,(-5)/2], [1,(-5)/2,2,1/(-2),5/2,-3],
      [0,-1,9/2,(-7)/2,3,(-7)/2], [0,0,2,-2,3,-1], [1,(-3)/2,1/(-2),1,3/2,1/2]
P:=det(A-x*idn(6));
B:=normal(P*inv(A-x*idn(6))); // preferer un appel a faddeev bien sur!
ecriture(B,Q,q):={
  local j,k,l,n,C,D,E;
  C:=B;
  D:=B;
  E:=NULL;
  n:=coldim(B);
  for (j:=0;j<q;j++){
    for (k:=0;k<n;k++){
      for (l:=0;l<n;l++){
        D[k,l]:=rem(C[k,l],Q,x);
        C[k,l]:=quo(C[k,l],Q,x);
      }
    }
    E:=E,D;
  }
  return E;
};
E:=ecriture(B,x^2-2,2);
QA:=A*A-2*idn(6);
```

On vérifie bien que  $\text{normal}(QA * E(0))$  et  $\text{normal}(QA * E(1)) - E(0)$  sont nuls. On sait qu'on a un bloc de taille 2 de cycles de Jordan de longueur 2, donc il n'est pas nécessaire de faire des réductions ici, il suffit de prendre une colonne non nulle de  $E(0)$ , par exemple la première colonne en  $x = 0$  et la colonne correspondante de  $E(1)$  et leurs images par  $A$ , ici cela donne  $(4, 24, 12, 32, 8, -4)$  correspondant à  $(0, 4, -4, 8, 4, -4)$ , on calcule les images par  $A$ , la matrice de l'endomorphisme restreint à ce sous-espace est alors le bloc de taille 4 :

$$\begin{pmatrix} 0 & 2 & 0 & 1 \\ 1 & 0 & 0 & 0 \\ 0 & 0 & 0 & 2 \\ 0 & 0 & 1 & 0 \end{pmatrix}$$

Cette forme normale minimise le nombre de coefficients non nuls, mais présente un inconvénient, la partie nilpotente ne commute pas avec la partie bloc-diagonale, contrairement à la forme normale rationnelle de Jordan qui contient des blocs identités au-dessus de la diagonale de blocs. Pour créer la forme normale rationnelle de Jordan, on doit donc remplacer les blocs  $\begin{pmatrix} \dots & 0 & 1 \\ \dots & 0 & 0 \\ \dots & & \end{pmatrix}$  par des matrices identités. Supposons constitués les  $j$  premiers blocs de taille  $d$  numérotés de 0 à  $j - 1$  avec comme base de vecteurs  $(v_{0,0}, \dots, v_{0,d-1}, \dots, v_{j-1,d-1})$ . Il s'agit de trouver un vecteur  $v_{j,0}$  pour commencer le bloc suivant. On définit alors  $v_{j,l}$  en fonction de  $v_{j,l-1}$  en appliquant la relation  $Av_{j,l-1} = v_{j,l} + v_{j-1,l-1}$ . Il faut donc chercher  $v_{j,0}$  tel que

$$Av_{j,d-1} = -q_0v_{j,0} - \dots - q_{d-1}v_{j,d-1} + v_{j-1,d-1} \quad (47)$$

En utilisant les relations de récurrence précédentes, on voit que cela revient à fixer  $Q(A)v_{j,0}$  en fonction des  $v_{j',l}$  avec  $j' < j$  ( $l$  quelconque). Ce qui est toujours possible en utilisant la colonne de matrices  $C_{j'}$  qui s'obtiennent en fonction des  $C_{j'+1}$  en appliquant  $Q(A)$ .

Plus précisément, calculons les  $v_{j,l}$  en fonction de  $v_{j,0}$  et des  $v_{j',l'}$  ( $j' < j$ ). On utilise les coefficients binomiaux  $\binom{l}{m}$  calculés par la règle du triangle de Pascal et on montre par récurrence que :

$$v_{j,l} = A^l v_{j,0} - \sum_{m=1}^{\inf(l,j)} \binom{l}{m} v_{j-m,l-m} \quad (48)$$

On remplace dans (47) d'où :

$$A^d v_{j,0} - \sum_{m=1}^{\inf(d,j)} \binom{d}{m} v_{j-m,d-m} + \sum_{l=0}^d q_l (A^l v_{j,0} - \sum_{m=1}^{\inf(l,j)} \binom{l}{m} v_{j-m,l-m}) = 0$$

finalement :

$$Q(A)v_{j,0} = \sum_{l=1}^d q_l \sum_{m=1}^{\inf(l,j)} \binom{l}{m} v_{j-m,l-m} \quad (49)$$

#### Application à l'exemple :

Ici  $v_{0,0} = (4, 24, 12, 32, 8, -4)$  et  $v_{0,1} = Av_{j,0}$  dont une préimage par  $Q(A)$  est  $w_{1,0} = (0, 4, -4, 8, 4, -4)$  et  $w_{1,1} = Aw_{1,0}$ . On applique (49), comme  $q_1 = 0$  et  $q_2 = 1$  on doit avoir :

$$Q(A)v_{1,0} = \sum_{l=1}^2 q_l \sum_{m=1}^{\inf(l,1)} \binom{l}{m} v_{1-m,l-m} = 2v_{0,1}$$

donc :

$$\begin{aligned} v_{1,0} &= 2A(0, 4, -4, 8, 4, -4) = (-8, -32, 0, -48, -16, 16) \\ v_{1,1} &= Av_{1,0} - v_{0,1} = (4, 40, -4, 64, 24, -20) \end{aligned}$$

On vérifie bien que  $Av_{1,1} = 2v_{1,0} + v_{0,1}$ .

### 15.7.11 Fonctions analytiques

Soit  $f$  une fonction analytique et  $M$  une matrice. Pour calculer  $f(M)$ , on calcule la forme normale de Jordan de  $M = P(D + N)P^{-1}$  où  $D = \text{diag}(d_1, \dots, d_m)$  est diagonale et  $N$  nilpotente d'ordre  $n$ . On calcule aussi le développement de Taylor formel de  $f$  en  $x$  à l'ordre  $n - 1$ , on a alors :

$$f(N) = P \left( \sum_{j=0}^{n-1} \frac{\text{diag}(f^{(j)}(d_1), \dots, f^{(j)}(d_m))}{j!} N^j \right) P^{-1}$$

## 15.8 Quelques autres algorithmes utiles

### 15.8.1 Complexité asymptotique

Pour calculer le produit de matrices, on peut utiliser l'algorithme de Strassen, on présente ici la variante de Winograd. Soit à calculer :

$$\begin{pmatrix} a_{1,1} & a_{1,2} \\ a_{2,1} & a_{2,2} \end{pmatrix} \begin{pmatrix} b_{1,1} & b_{1,2} \\ b_{2,1} & b_{2,2} \end{pmatrix} = \begin{pmatrix} c_{1,1} & c_{1,2} \\ c_{2,1} & c_{2,2} \end{pmatrix}$$

On calcule :

$$\begin{aligned} s_1 &= a_{2,1} + a_{2,2}, & s_2 &= s_1 - a_{1,1}, & s_3 &= a_{1,1} - a_{2,1}, & s_4 &= a_{1,2} - s_2 \\ t_1 &= b_{1,2} - b_{1,1}, & t_2 &= b_{2,2} - t_1, & t_3 &= b_{2,2} - b_{1,2}, & t_4 &= b_{2,1} - t_2 \end{aligned}$$

puis :

$$\begin{aligned} p_1 &= a_{1,1}b_{1,1}, & p_2 &= a_{1,2}b_{2,1}, & p_3 &= s_1t_1, & p_4 &= s_2t_2 \\ p_5 &= s_3t_3, & p_6 &= s_4b_{2,2}, & p_7 &= a_{2,2}t_4 \\ u_1 &= p_1 + p_2 & u_2 &= p_1 + p_4, & u_3 &= u_2 + p_5, & u_4 &= u_3 + p_7 \\ u_5 &= u_3 + p_3, & u_6 &= u_2 + p_3, & u_7 &= u_6 + p_6 \end{aligned}$$

Alors  $c_{1,1} = u_1, c_{1,2} = u_7, c_{2,1} = u_4, c_{2,2} = u_5$ .

Cet algorithme utilise 7 multiplications et 15 additions ce qui économise 1 multiplication et permet en appliquant récursivement cet algorithme pour des matrices blocs de réduire la complexité d'un produit de grandes matrices normalement en  $O(n^3) = n^{\ln(8)/\ln(2)}$  à  $O(n^{\ln(7)/\ln(2)})$  (la preuve est analogue à celle de la multiplication des polynômes par l'algorithme de Karatsuba).

En utilisant une factorisation  $LU$  par blocs, on peut montrer que cette complexité asymptotique se généralise au calcul de l'inverse. On peut d'ailleurs améliorer l'exposant, mais la constante non explicitée dans le  $O$  augmente aussi. En pratique, Strassen n'est pas utilisée pour des matrices de taille plus petites que plusieurs centaines de lignes et colonnes.

De même on peut gagner sur le calcul du polynôme minimal en faisant des opérations de multiplication par bloc.

## 15.9 Méthodes itératives alternatives au pivot

### 15.9.1 Jacobi, Gauss-Seidel, relaxation

Lorsqu'on a une matrice creuse (peu d'éléments non nuls), l'algorithme du pivot de Gauss a tendance à densifier rapidement la matrice réduite (surtout avec

le pivot partiel où on ne contrôle pas le nombre de zéros de la ligne contenant le pivot). Il peut alors être intéressant d'utiliser des méthodes alternatives ne faisant intervenir que des produits de matrice, donnant éventuellement un résultat seulement approché. Par exemple pour calculer l'inverse d'une matrice  $A = F + E$ , avec  $F$  facile à inverser (par exemple diagonale) et  $E$  petit en norme (et creuse), on peut écrire :

$$A^{-1} = (F + E)^{-1} = (F(I + F^{-1}E))^{-1} = (I - F^{-1}E + (F^{-1}E)^2 + \dots)F^{-1}$$

. De même pour résoudre un système linéaire  $Ax = b = Fx + Ex$ , on considère la suite  $Fx_{n+1} + Ex_n = b$  soit

$$x_{n+1} = F^{-1}(b - Ex_n), \quad x_0 = 0$$

pour laquelle on vérifiera les hypothèses du théorème du point fixe, ce qui revient à vérifier que la plus grande valeur singulière de  $F^{-1}E$  est strictement plus petite que 1. Si la matrice  $E$  n'est pas creuse, le procédé peut quand même avoir un intérêt, les complexités théoriques du calcul de l'inverse et du produit de 2 matrices sont les mêmes, mais en pratique le produit de matrices peut bénéficier beaucoup plus facilement d'optimisations utilisant des processeurs en parallèle.

La méthode de Jacobi utilise une matrice diagonale pour  $F$ , alors que la méthode de Gauss-Seidel prend pour  $F$  la partie triangulaire inférieure de  $A$  (diagonale comprise). Dans ce dernier cas le calcul de  $F^{-1}$  n'est pas effectué, on résout directement le système triangulaire  $Fx_{n+1} = b - Ex_n$ , cette méthode est donc moins adaptée à la parallélisation si  $E$  n'est pas creuse. Par contre, la convergence est plus rapide puisque  $E$  n'a que des 0 en-dessous de la diagonale (ce qui diminue la plus grande valeur propre de  $F^{-1}E$ ).

La méthode de relaxation peut se voir comme une variante de Jacobi, on utilise la récurrence :

$$x_{n+1} = (I - J^{-1}A)x_n + J^{-1}b$$

avec  $J = \frac{1}{\omega}D - E$  où  $\omega \in ]0, 1[$  (Jacobi correspond à  $J = D$ ).

### 15.9.2 Gradient conjugué

Il s'agit de résoudre  $Ax = b$ , où  $A$  est définie positive. Si on a une base orthogonale pour le produit scalaire induit par  $A$ , on peut calculer la  $j$ -ième coordonnée de  $x$  dans cette base en faisant le produit scalaire de  $Ax = b$  par le  $j$ -ième vecteur de la base. On construit donc petit à petit une base orthogonale pour  $A$  par un procédé à la Gram-Schmidt, mais on ne part pas de la base canonique : on construit cette famille orthogonale pour  $A$  en même temps qu'on calcule les composantes de  $x$ . On pose  $x_0 = 0$ , à la  $i$ -ième itération si  $Ax_i - b = 0$  on a terminé, sinon  $r_i = Ax_i - b$  est linéairement indépendant des éléments de la famille orthogonale déjà construite, on complète la famille orthogonale avec un nouveau vecteur, on calcule la  $i + 1$ -ième composante de  $x$  sur la famille orthogonale, et on ajoute le tout à  $x_i$  pour obtenir  $x_{i+1}$ . On s'arrête en au plus la dimension itérations lorsque la famille orthogonale est devenue une base.

La commande `conjugate_gradient(A,b)` de Xcas permet de faire ce calcul, on peut préciser une valeur initiale de recherche `x0` et une précision `eps` en tapant `conjugate_gradient(A,b,x0,eps)`. Voir aussi le menu Exemple, analyse, gradconj



## 15.10 Réduction approchée des endomorphismes

On pourrait trouver des valeurs propres approchées d'une matrice en calculant le polynôme caractéristique ou minimal puis en le factorisant numériquement. Mais cette méthode n'est pas idéale relativement aux erreurs d'arrondis (calcul du polynôme caractéristique, de ses racines, et nouvelle approximation en calculant le noyau de  $A - \lambda I$ ), lorsqu'on veut calculer quelques valeurs propres on préfère utiliser des méthodes itératives directement sur  $A$  ce qui évite la propagation des erreurs d'arrondi.

### 15.10.1 Méthode de la puissance

Elle permet de déterminer la plus grande valeur propre en valeur absolue d'une matrice diagonalisable lorsque celle-ci est unique. Supposons en effet que les valeurs propres de  $A$  soient  $x_1, \dots, x_n$  avec  $|x_1| \leq |x_2| \leq \dots \leq |x_{n-1}| < |x_n|$  et soient  $e_1, \dots, e_n$  une base de vecteurs propres correspondants. On choisit un vecteur aléatoire  $v$  et on calcule la suite  $v_k = Av_{k-1} = A^k v$ . Si  $v$  a pour coordonnées  $V_1, \dots, V_n$  dans la base propre, alors

$$v_k = \sum_{j=1}^n V_j x_j^k e_j = x_n^k w_k, \quad w_k = \sum_{j=1}^n V_j \left( \frac{x_j}{x_n} \right)^k e_j$$

L'hypothèse que  $x_n$  est l'unique valeur propre de module maximal entraîne alors que  $\lim_{k \rightarrow +\infty} w_k = V_n e_n$  puisque la suite géométrique de raison  $x_j/x_n$  converge vers 0. Autrement dit, si  $V_n \neq 0$  (ce qui a une probabilité 1 d'être vrai pour un vecteur aléatoire),  $v_k$  est équivalent à  $V_n x_n^k e_n$ . Lorsque  $n$  est grand,  $v_k$  est presque colinéaire au vecteur propre  $e_n$  (que l'on peut estimer par  $v_k$  divisé par sa norme), ce que l'on détecte en testant si  $v_{k+1}$  et  $v_k$  sont presque colinéaires. De plus le facteur de colinéarité entre  $v_{k+1}$  et  $v_k$  est presque  $x_n$ , la valeur propre de module maximal.

Exercice : tester la convergence de  $v_k = A^k v$  vers l'espace propre associé à  $\lambda = 3$  pour la matrice  $\begin{bmatrix} 1 & -1 \\ 2 & 4 \end{bmatrix}$  et le vecteur  $v = (1, 0)$ . Attention à ne pas calculer  $A^k$  pour déterminer  $v_k$ , utiliser la relation de récurrence !

Si on n'observe pas de convergence ou si elle est trop lente, alors  $|x_{n-1}|$  est proche de  $|x_n|$  ou égal, il est judicieux de faire subir à la matrice un shift, on remplace  $A$  par  $A - \lambda I$ . On peut prendre  $\lambda$  aléatoirement, ou bien mieux faire des itérations inverses sur  $A - \lambda I$  si  $\lambda$  est une estimation d'une valeur propre (voir les itérations inverses ci-dessous).

Lorsqu'on applique cette méthode à une matrice réelle, il peut arriver qu'il y ait deux valeurs propres conjuguées de module maximal. On peut appliquer la méthode ci-dessus avec un shift complexe non réel, mais on doit alors travailler en arithmétique complexe ce qui est plus coûteux. Le même type de raisonnement que ci-dessus montre que pour  $k$  grand,  $v_{k+2}$  est presque colinéaire à l'espace engendré par  $v_k$  et  $v_{k+1}$ , la recherche d'une relation  $av_{k+2} + bv_{k+1} + v_k = 0$  permet alors de calculer les valeurs propres qui sont les deux racines de  $ax^2 + bx + 1 = 0$ .

La convergence est de type série géométrique, on gagne le même nombre de décimales à chaque itération.

Applications :

- la méthode de la puissance peut donner une estimation du nombre de condition  $L^2$  d'une matrice  $A$ . On calcule  $B = A^*A$  puis on effectue cette méthode sur  $B$  pour avoir une estimation de la plus grande valeur propre, puis "sur  $B^{-1}$ " par itérations inverses et on fait le rapport des racines carrées. C'est une méthode intéressante si la matrice est creuse et symétrique (pour pouvoir faire Cholesky creux pour les itérations inverses).
- la méthode de la puissance peut donner une estimation rapide de la taille de la plus grande racine d'un polynôme (en module), en itérant sur la matrice companion du polynôme, matrice qui contient beaucoup de 0, donc le produit avec un vecteur se fait en temps  $O(n)$ , où  $n$  est le degré du polynôme.

```
f(P, eps, N) := {
  local k, l, n, v, old, new, oldratio, tmp;
  l := coeffs(P);
  n := degree(P);
  l := revlist(l[1..n]/l[0]);
  v := randvector(n, uniform, -1, 1);
  oldratio := -1;
  for k from 1 to N do
    old := maxnorm(v);
    tmp := -l[0]*v[n-1];
    for j from 1 to n-1 do
      v[j] := v[j-1] - l[j]*v[n-1];
    od;
    v[0] := tmp;
    new := maxnorm(v);
    if (abs(new/old - oldratio) < eps) return new/old;
    oldratio := new/old;
  od;
  retourne undef;
};;
```

Ceci peut par exemple servir à déterminer pour un polynôme  $P$  donné squarfree (de degré  $n$  et coefficient dominant  $p_n$ ) l'écart minimal entre 2 racines, on calcule

$R := \text{normal}(\text{resultant}(P, \text{subst}(P, x=x+y), x) / x^{\text{degree}(P)})$

c'est un polynôme bicarré dont on cherche la plus petite racine en calculant le carré de la plus grande racine en module de  $\text{numer}(\text{subst}(R, y=1/\sqrt{x}))$ .

On peut obtenir un minorant a priori de cette plus petit racine en calculant

$$\text{resultant}(P, P') = \pm p_n^{2n-1} \prod_{1 \leq i < j \leq n} (r_i - r_j)^2$$

on isole l'écart minimal au carré, on majore les autres carrés en majorant les racines, et on peut minorer le résultant à priori par 1 si  $P$  est à coefficients entiers.

### 15.10.2 Itérations inverses

La méthode précédente permet de calculer la valeur propre de module maximal d'une matrice. Pour trouver une valeur propre proche d'une quantité donnée  $x$ , on peut appliquer la méthode précédente à la matrice  $(A - xI)^{-1}$  (en pratique on

effectue  $LU$  sur  $A - xI$  et on résoud  $(A - xI)u_{n+1} = u_n$ . En effet, les valeurs propres de cette matrice sont les  $(x_i - x)^{-1}$  dont la norme est maximale lorsqu'on se rapproche de  $x_i$ . Attention à ne pas prendre  $x$  trop proche d'une valeur propre, car le calcul de  $(A - xI)u_{n+1} = u_n$  est alors peu précis (la matrice étant mal conditionnée).

### 15.10.3 Elimination des valeurs propres trouvées

Si la matrice  $A$  est symétrique, et si  $e_n$  est un vecteur propre normé écrit en colonne, on peut considérer la matrice  $B = A - x_n e_n e_n^t$  qui possède les mêmes valeurs propres et mêmes vecteurs propres que  $A$  avec même multiplicité, sauf  $x_n$  qui est remplacé par 0. En effet les espaces propres de  $A$  sont orthogonaux entre eux, donc

$$B e_n = x_n e_n - x_n e_n e_n^t e_n = 0, B e_k = x_k e_k - x_n e_n e_n^t e_k = x_k e_k$$

On peut donc calculer la 2ème valeur propre (en valeur absolue), l'éliminer et ainsi de suite.

Si la matrice  $A$  n'est pas symétrique, il faut considérer  $B = A - x_n e_n f_n^t / e_n \cdot f_n$  où  $f_n$  est vecteur propre de  $A^t$  associé à  $x_n$ . En effet  $f_k \cdot e_j = 0$  si  $i \neq j$  car  $A e_k \cdot f_j = x_k e_k \cdot f_j = e_k \cdot A^t f_j = x_j e_k \cdot f_j$  et donc  $f_k \cdot e_k \neq 0$  (sinon  $e_k$  est dans l'orthogonal de  $\mathbb{R}^n = \text{Vect}(f_1, \dots, f_n)$ ).

### 15.10.4 Décomposition de Schur

Il s'agit d'une factorisation de matrice sous la forme

$$A = P S P^{-1}$$

où  $P$  est unitaire et  $S$  diagonale supérieure. Existence (théorique) : on prend une valeur propre et un vecteur propre correspondant, puis on projette sur l'orthogonal de ce vecteur propre et on s'y restreint, on prend à nouveau une valeur propre et un vecteur propre correspondant, etc.

On peut approcher cette factorisation par un algorithme itératif qui utilise la factorisation  $QR$  d'une matrice quelconque comme produit d'une matrice unitaire par une matrice triangulaire supérieure à coefficients positifs sur la diagonale. On fait l'hypothèse que les valeurs propres de  $S$  sur la diagonale sont classées par ordre de module strictement décroissant  $|\lambda_1| > |\lambda_2| > \dots > |\lambda_n|$  (développement inspiré par Peter J. Olver dans le cas symétrique [http://www.math.umn.edu/~olver/aims\\_/qr.pdf](http://www.math.umn.edu/~olver/aims_/qr.pdf)). On peut toujours s'y ramener quitte à remplacer  $A$  par  $A - \alpha I$ . Posons  $A_1 = A$ , et par récurrence  $A_n = Q_n R_n$  (avec  $Q_n$  unitaire et  $R$  triangulaire supérieure à coefficients diagonaux positifs),  $A_{n+1} = R_n Q_n$ . On a alors

$$\begin{aligned} A^k &= (Q_1 R_1)(Q_1 R_1)(Q_1 R_1) \dots (Q_1 R_1)(Q_1 R_1) \\ &= Q_1 (R_1 Q_1)(R_1 Q_1)(R_1 \dots Q_1)(R_1 Q_1) R_1 \\ &= Q_1 (Q_2 R_2)(Q_2 R_2) \dots (Q_2 R_2) R_1 \\ &= Q_1 Q_2 (R_2 Q_2) R_2 \dots Q_2 R_2 R_1 \\ &= Q_1 Q_2 (Q_3 R_3) \dots Q_3 R_3 R_2 R_1 \\ &= Q_1 \dots Q_k R_k \dots R_1 \end{aligned}$$

D'autre part  $A = PSP^{-1}$  donc  $A^k = PS^kP^{-1}$ . Soit  $D$  la forme diagonale de  $S$  et  $U$  la matrice de passage  $S = UDU^{-1}$ , où  $U$  est triangulaire supérieure et où on choisit la normalisation des coefficients sur la diagonale de  $U$  valant 1. On a donc

$$A^k = PUD^kU^{-1}P^{-1}$$

Ensuite, on suppose qu'on peut factoriser  $U^{-1}P^{-1} = L\tilde{U}$  sans permutations, donc qu'on ne rencontre pas de pivot nul, et quitte à multiplier les vecteurs unitaires de  $P^{-1}$  par une constante complexe de module 1 on peut supposer que les pivots sont positifs donc que  $\tilde{U}$  a des coefficients positifs sur la diagonale, on a alors

$$A^k = PUD^kL\tilde{U} = Q_1\dots Q_k R_k\dots R_1$$

puis en multipliant par  $\tilde{U}^{-1}|D|^{-k}$

$$PUD^kL|D|^{-k} = Q_1\dots Q_k R_k\dots R_1\tilde{U}^{-1}|D|^{-k}$$

où  $R_k\dots R_1\tilde{U}^{-1}|D|^{-k}$  est triangulaire supérieure à coefficients positifs sur la diagonale et  $Q_1\dots Q_k$  est unitaire. On regarde ensuite les entrées de la matrice  $D^kL|D|^{-k}$ , sous la diagonale elles convergent (géométriquement) vers 0, donc  $UD^kL|D|^{-k}$  tend vers une matrice triangulaire supérieure dont les coefficients diagonaux valent  $e^{ik \arg(\lambda_j)}$ . On montre que cela entraîne que  $Q_1\dots Q_k$  est équivalent à  $P(D/|D|)^k$

$$Q_1\dots Q_k \approx P(D/|D|)^k, \quad R_k\dots R_1\tilde{U}^{-1}|D|^{-k} \approx (D/|D|)^{-k}UD^kL|D|^{-k}$$

Donc,  $Q_k$  tend à devenir diagonale, et  $R_kQ_k = A_{k+1}$  triangulaire supérieure. De plus

$$A = Q_1A_2Q_1^{-1} = \dots = Q_1\dots Q_kA_{k+1}(Q_1\dots Q_k)^{-1}$$

la matrice  $A_{k+1}$  est donc semblable à  $A$ .

En pratique, on n'impose pas la positivité des coefficients diagonaux de  $R$  dans la factorisation  $QR$ , ce qui ne change évidemment pas le fait que  $Q_k$  s'approche d'une matrice diagonale et  $A_k$  d'une matrice triangulaire supérieure (avec convergence à vitesse géométrique). On commence aussi par mettre la matrice  $A$  sous forme de Hessenberg (par conjugaison par des matrices de Householder), c'est-à-dire presque triangulaire supérieure (on autorise des coefficients non nuls dans la partie inférieure seulement sur la sous-diagonale,  $a_{ij} = 0$  si  $i > j + 1$ ). Cela réduit considérablement le temps de calcul de la décomposition  $QR$ , le produit  $RQ$  ayant encore cette propriété, une itération se fait en temps  $O(n^2)$  au lieu de  $O(n^3)$ . Le calcul de  $RQ$  à partir de  $A$  est d'ailleurs fait directement, on parle d'itération  $QR$  implicite.

On utilise aussi des "shifts" pour accélérer la convergence, c'est-à-dire qu'au lieu de faire  $QR$  et  $RQ$  sur la matrice  $A_k$  on le fait sur  $A_k - \alpha_k I$  où  $\lambda_k$  est choisi pour accélérer la convergence vers 0 du coefficient d'indice ligne  $n$  colonne  $n - 1$  (idéalement il faut prendre  $\alpha_k$  proche de  $\lambda_n$  la valeur propre de module minimal, afin de minimiser  $|\lambda_n - \alpha_k|/|\lambda_{n-1} - \alpha_k|$ ). En effet, si  $A_k - \lambda_k I = Q_k R_k$  et

$A_{k+1} = R_k Q_k + \lambda_k I$  alors :

$$\begin{aligned}
(A - \alpha_1 I) \dots (A - \alpha_k I) &= Q_1 R_1 (Q_1 R_1 - (\alpha_2 - \alpha_1) I) \dots (Q_1 R_1 - (\alpha_k - \alpha_1) I) \\
&= Q_1 (R_1 Q_1 - (\alpha_2 - \alpha_1) I) R_1 (Q_1 R_1 - (\alpha_3 - \alpha_1) I) \dots (Q_1 R_1 - (\alpha_k - \alpha_1) I) \\
&= Q_1 (A_2 - \alpha_1 I - (\alpha_2 - \alpha_1) I) R_1 Q_1 (R_1 Q_1 - (\alpha_3 - \alpha_1) I) R_1 \dots (Q_1 R_1 - (\alpha_k - \alpha_1) I) \\
&= Q_1 (A_2 - \alpha_2 I) (A_2 - \alpha_3 I) \dots (A_2 - \alpha_k I) R_1 \\
&= \dots \\
&= Q_1 \dots Q_k R_k \dots R_1
\end{aligned}$$

On peut aussi éliminer la dernière ligne et la dernière colonne de la matrice pour accélérer les calculs dès que le coefficient en ligne  $n$  colonne  $n-1$  est suffisamment petit.

On remarque que pour une matrice réelle si on choisit des shifts conjugués, alors  $Q_1 \dots Q_k R_k \dots R_1$  est réel. Or si  $QR = \overline{Q} \overline{R}$  et si  $R$  est inversible

$$\overline{Q}^{-1} Q = \overline{R} R^{-1}$$

On a donc une matrice symétrique (car  $\overline{Q}^{-1} = Q^t$ ) et triangulaire supérieure. On en déduit que  $\overline{Q}^{-1} Q = D$  est diagonale, donc  $Q = \overline{Q} D$ . On peut donc rendre  $Q$  réelle en divisant chaque colonne par un  $e^{i\theta}$ , et rendre  $R$  réelle en conjuguant par la matrice  $D$ . Mais ce procédé de retour au réel après élimination de 2 valeurs propres complexes conjuguées d'une matrice réelle se heurte à un problème de conditionnement parce que le choix d'un shift intéressant pour la convergence va rendre la matrice  $R$  proche d'une matrice non inversible (les deux derniers coefficients diagonaux de  $R$  sont proches de 0). On a alors seulement

$$\overline{Q}^{-1} QR = \overline{R}$$

Si on décompose  $\overline{Q}^{-1} Q$ ,  $R$ ,  $\overline{R}$  par blocs  $n-2, n-2, n-2, 2, 2, n-2$  et  $2, 2$ , on a

$$\begin{aligned}
\begin{pmatrix} QQ_{11} & QQ_{12} \\ QQ_{21} & QQ_{22} \end{pmatrix} \begin{pmatrix} R_{11} & R_{12} \\ 0 & R_{22} \end{pmatrix} &= \begin{pmatrix} QQ_{11} R_{11} & QQ_{21} R_{11} \\ QQ_{11} R_{12} + QQ_{12} R_{22} & QQ_{21} R_{12} + QQ_{22} R_{22} \end{pmatrix} \\
&= \begin{pmatrix} \overline{R}_{11} & \overline{R}_{12} \\ 0 & \overline{R}_{22} \end{pmatrix}
\end{aligned}$$

Donc on a  $QQ_{11} = \overline{R}_{11} R_{11}^{-1}$ . Comme  $Q$  est unitaire,  $QQ = \overline{Q}^{-1} Q = Q^t Q$  est symétrique, donc  $QQ_{11}$  est diagonale puisque symétrique et triangulaire supérieure. On peut donc ramener  $Q_{11}$  et  $R_{11}$  en des matrices réelles. L'algorithme des itérations  $QR$  implicites traite de manière efficace le cas des couples de valeurs propres complexes conjuguées ou plus généralement de clusters de valeurs propres, c'est l'algorithme de Francis (aussi appelé *bulge chasing* en anglais, qu'on pourrait traduire par "à la poursuite du bourrelet", cela vient de la forme que prend la matrice après application d'un shift, elle a des entrées non nulles en première colonne plus bas que la sous-diagonale qui forment un bourrelet non nul, l'annulation de ces entrées par des transformations de Householder déplace le bourrelet sur la colonne suivante).

Revenons à la localisation des valeurs propres (une autre approche consiste à rechercher un rectangle du plan complexe stable par itérée de la méthode de

Newton). On suppose qu'on a maintenant une matrice unitaire  $P$  et une matrice triangulaire supérieure  $S$  (aux erreurs d'arrondi près) telles que

$$P^{-1}AP = S$$

Que peut-on en déduire ? On va d'abord arrondir  $P$  en une matrice exacte à coefficients rationnels, dont les dénominateurs sont une puissance de 2 (en fait c'est exactement ce que donne l'écriture d'un flottant en base 2, une fois ramené tous les exposants à la même valeur). On a donc une matrice  $P_e$  presque unitaire exacte et telle que

$$S_e = P_e^{-1}AP_e$$

est semblable à  $A$ , et presque triangulaire supérieure. (comme  $P_e$  est presque unitaire, sa norme et la norme de son inverse sont proches de 1 donc  $S_e$  est proche de  $S$ , les coefficients de  $S_e$  sont de la même taille que les coefficients de  $A$  : le changement de base est bien conditionné et c'est la raison pour laquelle on a choisi d'effectuer des transformations unitaires).

Notons  $\mu_1, \dots, \mu_n$  les coefficients diagonaux de  $S_e$ , soit  $\varepsilon$  un majorant de la norme des coefficients sous-diagonaux de  $S_e$ , et soit  $\delta$  un minorant de l'écart entre 2  $\mu_j$  distincts. On a donc  $S_e = U + E$  où  $U$  est triangulaire supérieure,  $E$  est triangulaire inférieure avec des 0 sous la diagonale et des coefficients de module majorés par  $\varepsilon$ . Si  $\varepsilon$  est suffisamment petit devant  $\delta$ , on va montrer qu'on peut localiser les valeurs propres de  $S_e$  (qui sont celles de  $A$ ) au moyen des  $\mu_j$ .

En effet, fixons  $j$  et soit  $C$  un cercle de centre  $\mu = \mu_j$  et de rayon  $\alpha \leq \delta/2$ . Si  $A$  est une matrice diagonalisable, on sait que

$$\text{nombre de valeurs propres} \in C = \frac{1}{2i\pi} \text{trace} \int_C (A - zI)^{-1}$$

En prenant  $A = S_e$ , et en écrivant

$$(S_e - zI)^{-1} = (U - zI + E)^{-1} = (I + (U - zI)^{-1}E)^{-1}(U - zI)^{-1}$$

on développe le second terme si la norme de  $(U - zI)^{-1}E$  est strictement inférieure à 1

$$(S_e - zI)^{-1} = (U - zI)^{-1} - (U - zI)^{-1}E(U - zI)^{-1} + (U - zI)^{-1}E(U - zI)^{-1}E(U - zI)^{-1} - \dots$$

puis on calcule la trace

$$\text{trace}(S_e - zI)^{-1} = \sum_j (\mu_j - z)^{-1} + \eta$$

avec

$$|\eta| \leq 2\pi\alpha \|(U - zI)^{-1}\| \frac{\|(U - zI)^{-1}E\|}{1 - \|(U - zI)^{-1}E\|}$$

Au final, le nombre de valeurs propres dans  $C$  est donné par

$$1 + \tilde{\eta}, \quad |\tilde{\eta}| \leq \alpha \max_{z \in C} \|(U - zI)^{-1}\| \frac{\|(U - zI)^{-1}E\|}{1 - \|(U - zI)^{-1}E\|}$$

Il suffit donc que le max soit plus petit que 1 pour avoir l'existence d'une valeur propre et une seule de  $S_e$  dans le cercle  $C$  (à distance au plus  $\alpha$  de  $\mu$ ). Ce sera le cas si

$$\varepsilon \leq \frac{1}{2} \left( \frac{\delta}{2\|S_e\|} \right)^{n-1} \frac{\alpha}{\sqrt{n-1}}$$

on choisit donc  $\alpha$  pour réaliser l'égalité ci-dessus, sous réserve que  $\delta$  ne soit pas trop petit, rappelons que  $\alpha$  doit être plus petit ou égal à  $\delta/2$ . Si  $\delta$  est petit, il peut être nécessaire d'utiliser une précision plus grande pour les calculs de la décomposition de Schur en arithmétique flottante.

Typiquement, on peut espérer (pour un écart  $\delta$  pas trop petit) pouvoir localiser les racines d'un polynôme de degré  $n$  par cette méthode avec précision  $b$  bits en  $O(n^3b^2 + n^2b^3)$  opérations pour le calcul de la décomposition de Schur en flottant ( $n^3b^2$  pour Hessenberg initial puis  $n^2b^2$  par itération et un nombre d'itérations proportionnel à  $b$ ). Pour le calcul exact de  $S_e$ , il faut inverser une matrice de taille  $n$  avec des coefficients de taille proportionnelle à  $b$  donc  $O(n^4b \ln(n))$  opérations (en modulaire, la taille des coefficients de l'inverse est  $O(nb \ln(n))$ ) puis calculer un produit avec une matrice  $n, n$  de coefficients de taille proportionnelle à  $b$ , soit  $O(n^4b^2 \ln(nb))$  opérations. Asymptotiquement, on peut faire mieux avec des méthodes de multiplication et d'opérations matricielles par blocs. Pour éviter la perte d'un facteur  $n$ , on peut aussi ne pas faire de calculs en mode exact et contrôler les erreurs sur la matrice  $S$ . On peut regrouper les valeurs propres par "clusters" si elles sont trop proches à la précision de  $b$  bits. Pour la recherche des racines d'un polynôme  $P$ , on peut montrer, en calculant le résultant de  $P$  et de  $P'$  qui est en module plus grand ou égal à 1, et en l'écrivant comme produit des carrés de différences des racines, et en majorant toutes les différences de racine sauf une à l'aide de la norme infinie de  $P$ , qu'il faut au pire  $b = O(n)$  bits pour séparer les racines).

## 15.11 Quelques références

- Comme toujours on renvoie à l'excellent livre de Henri Cohen : A Course in Computational Algebraic Number Theory
  - Gantmacher : Théorie des matrices
  - Press et al. : Numerical recipes in Fortran/C/Pascal.
- Pour des algorithmes numériques (sur les matrices et autres).

## 15.12 Exercices (algèbre linéaire)

### 15.12.1 Instructions

- Les commandes d'algèbre linéaire de Xcas sont regroupées dans le menu Cmds->Alglin. En maple V, la commande ?linalg affiche la liste des commandes d'algèbre linéaire.
- En maple V il est conseillé d'exécuter with(linalg) ; , sinon il faut précéder chaque commande de linalg: . Attention il faut utiliser le caractère & avant la multiplication et il faut souvent utiliser evalm dans les programmes utilisant des matrices et vecteurs. Notez aussi que les matrices sont toujours passées par référence en maple V, en Xcas le choix revient à l'utilisateur (affectation par := par valeur ou par =< par référence)

- Pour travailler avec des coefficients modulaires, en Xcas on fait suivre les coefficients ou matrices de  $\% n$  (utiliser  $\% 0$  pour enlever les modulus), en maple V, on utilise les noms de commandes avec une majuscule (forme inerte) suivi de  $\text{mod } n$ .

### 15.12.2 Exercices

1. En utilisant un logiciel de calcul formel, comparez le temps de calcul d'un déterminant de matrice aléatoire à coefficients entiers de tailles 50 et 100, d'une matrice de taille 6 et 12 avec comme coefficients symboliques ligne  $j$  colonne  $k$ ,  $x_{j+k}$  lorsque  $j + k$  est pair et 0 sinon. Peut-on en déduire une indication sur l'algorithme utilisé ?
2. Écrire un programme calculant la borne de Hadamard d'un déterminant à coefficients réels (rappel : c'est la borne obtenue en faisant le produit des normes euclidiennes des vecteurs colonnes).
3. Créez une matrice 4x4 aléatoire avec des coefficients entiers compris entre -100 et 100, calculer la borne de Hadamard de son déterminant avec le programme précédent, calculer ce déterminant modulo quelques nombres premiers choisis en fonction de la borne de Hadamard et vérifiez le résultat de la reconstruction modulaire du déterminant.
4. Créez une matrice 100x100 aléatoire à coefficients entiers et calculez son déterminant modulo quelques nombres premiers. Dans quels cas peut-on conclure que la matrice est inversible dans  $\mathbb{R}$  ? dans  $\mathbb{Z}$  ?
5. Écrire un programme calculant par interpolation de Lagrange le polynôme caractéristique d'une matrice (en donnant à  $\lambda$  de  $\det(\lambda I - A)$ ,  $n + 1$  valeurs distinctes).
6. (Long) Écrire un programme qui calcule un déterminant de matrice en calculant les mineurs 2x2 puis 3x3 etc. (méthode de Laplace)
7. Recherche du polynôme minimal. On prend un vecteur aléatoire à coefficients entiers et on calcule  $v$ ,  $Av$ , ...,  $A^n v$  puis on cherche une relation linéaire minimale entre ces vecteurs, en calculant le noyau de la matrice ayant ces vecteurs colonnes. Si le noyau est de dimension 1, alors le polynôme minimal est égal au polynôme caractéristique et correspond à un vecteur de la base du noyau. Sinon, il faut choisir un vecteur du noyau correspondant au degré le plus petit possible puis faire le PPCM avec les polynômes obtenus avec d'autres vecteurs pour obtenir le polynôme minimal avec une grande probabilité. Essayez avec la matrice  $A$  de taille 3 ayant des 0 sur la diagonale et des 1 ailleurs. Écrire un programme mettant en oeuvre cette recherche, testez-le avec une matrice aléatoire de taille 30.
8. Testez l'algorithme méthode de Faddeev pour la matrice  $A$  ci-dessus. Même question pour

$$A = \begin{pmatrix} 3 & -1 & 1 \\ 2 & 0 & 1 \\ 1 & -1 & 2 \end{pmatrix}, \quad A = \begin{pmatrix} 3 & 2 & -2 \\ -1 & 0 & 1 \\ 1 & 1 & 0 \end{pmatrix}$$



9. Écrire un programme calculant par une méthode itérative la valeur propre de module maximal d'une matrice à coefficients complexes. Dans le cas réel, modifier le programme pour pouvoir traiter le cas d'un couple de complexes conjugués de module maximal. Dans le cas hermitien ou réel symétrique, éliminer le couple valeur propre/vecteur propre et continuer la diagonalisation numérique.
10. Soient  $|a|, |b| < \sqrt{n/2}$  Écrire une fonction ayant comme arguments  $a/b \pmod{n}$  qui calcule  $a$  et  $b$ .  
Utiliser ce programme pour résoudre un système 4,4 à coefficients entiers par une méthode  $p$ -adique.

## 16 Approximation polynomiale

On présente dans cette section quelques méthodes d'approximation de fonctions par des polynômes sur un intervalle, la section suivante présente des méthodes d'approximation près d'un point ou de l'infini.

### 16.1 Polynôme de Lagrange

Étant donné la facilité de manipulation qu'apportent les polynômes, on peut chercher à approcher une fonction par un polynôme. La méthode la plus naturelle consiste à chercher un polynôme de degré le plus petit possible égal à la fonction en certains points  $x_0, \dots, x_n$  et à trouver une majoration de la différence entre la fonction et le polynôme. Le polynôme interpolateur de Lagrange répond à cette question.

#### 16.1.1 Existence et unicité

Soit donc  $x_0, \dots, x_n$  des réels distincts et  $y_0, \dots, y_n$  les valeurs de la fonction à approcher en ces points (on posera  $y_j = f(x_j)$  pour approcher la fonction  $f$ ). On cherche donc  $P$  tel que  $P(x_j) = y_j$  pour  $j \in [0, n]$ .

Commençons par voir s'il y a beaucoup de solutions. Soit  $P$  et  $Q$  deux solutions distinctes du problème, alors  $P - Q$  est non nul et va s'annuler en  $x_0, \dots, x_n$  donc possède  $n + 1$  racines donc est de degré  $n + 1$  au moins. Réciproquement, si on ajoute à  $P$  un multiple du polynôme  $A = \prod_{j=0}^n (X - x_j)$ , on obtient une autre solution. Toutes les solutions se déduisent donc d'une solution particulière en y ajoutant un polynôme de degré au moins  $n + 1$  multiple de  $A$ .

Nous allons maintenant construire une solution particulière de degré au plus  $n$ . Si  $n = 0$ , on prend  $P = x_0$  constant. On procède ensuite par récurrence. Pour construire le polynôme correspondant à  $x_0, \dots, x_{n+1}$  on part du polynôme  $P_n$  correspondant à  $x_0, \dots, x_n$  et on lui ajoute un multiple réel de  $A$

$$P_{n+1} = P_n + \alpha_{n+1} \prod_{j=0}^n (X - x_j)$$

Ainsi on a toujours  $P_{n+1}(x_j) = y_j$  pour  $j = 0, \dots, n$ , on calcule maintenant  $\alpha_{n+1}$  pour que  $P_{n+1}(x_{n+1}) = y_{n+1}$ . En remplaçant avec l'expression de  $P_{n+1}$  ci-dessus, on obtient

$$P_n(x_{n+1}) + \alpha_{n+1} \prod_{j=0}^n (x_{n+1} - x_j) = y_{n+1}$$

Comme tous les  $x_j$  sont distincts, il existe une solution unique :

$$\alpha_{n+1} = \frac{y_{n+1} - P_n(x_{n+1})}{\prod_{j=0}^n (x_{n+1} - x_j)}$$

On a donc prouvé le :

**Théorème 30** Soit  $n + 1$  réels distincts  $x_0, \dots, x_n$  et  $n + 1$  réels quelconques  $y_0, \dots, y_n$ . Il existe un unique polynôme  $P$  de degré inférieur ou égal à  $n$ , appelé polynôme de Lagrange, tel que :

$$P(x_i) = y_i$$

Exemple : déterminons le polynôme de degré inférieur ou égal à 2 tel que  $P(0) = 1, P(1) = 2, P(2) = 1$ . On commence par  $P_0 = 1$ . Puis on pose  $P_1 = P_0 + \alpha_1 X = 1 + \alpha_1 X$ . Comme  $P(1) = 2 = 1 + \alpha_1$  on en tire  $\alpha_1 = 1$  donc  $P_1 = 1 + X$ . Puis on pose  $P_2 = P_1 + \alpha_2 X(X - 1)$ , on a  $P_2(2) = 3 + 2\alpha_2 = 1$  donc  $\alpha_2 = -1$ , finalement  $P_2 = 1 + X - X(X - 1)$ .

### 16.1.2 Majoration de l'erreur d'interpolation.

Reste à estimer l'écart entre une fonction et son polynôme interpolateur, on a le :

**Théorème 31** Soit  $f$  une fonction  $n + 1$  fois dérivable sur un intervalle  $I = [a, b]$  de  $\mathbb{R}$ ,  $x_0, \dots, x_n$  des réels distincts de  $I$ . Soit  $P$  le polynôme de Lagrange donné par les  $x_j$  et  $y_j = f(x_j)$ . Pour tout réel  $x \in I$ , il existe un réel  $\xi_x \in [a, b]$  (qui dépend de  $x$ ) tel que :

$$f(x) - P(x) = \frac{f^{[n+1]}(\xi_x)}{(n+1)!} \prod_{j=0}^n (x - x_j) \quad (50)$$

Ainsi l'erreur commise dépend d'une majoration de la taille de la dérivée  $n + 1$ -ième sur l'intervalle, mais aussi de la disposition des points  $x_j$  par rapport à  $x$ . Par exemple si les points  $x_j$  sont équidistribués, le terme  $|\prod_{j=0}^n (x - x_j)|$  sera plus grand près du bord de  $I$  qu'au centre de  $I$ .

Preuve du théorème : Si  $x$  est l'un des  $x_j$  l'égalité est vraie. Soit

$$C = (f(x) - P(x)) / \prod_{j=0}^n (x - x_j)$$

on considère maintenant la fonction :

$$g(t) = f(t) - P(t) - C \prod_{j=0}^n (t - x_j)$$

elle s'annule en  $x_j$  pour  $j$  variant de 0 à  $n$  ainsi qu'en  $x$  suite au choix de la constante  $C$ , donc  $g$  s'annule au moins  $n + 2$  fois sur l'intervalle contenant les  $x_j$  et  $x$ , donc  $g'$  s'annule au moins  $n + 1$  fois sur ce même intervalle, donc  $g''$  s'annule au moins  $n$  fois, etc. et finalement  $g^{[n+1]}$  s'annule une fois au moins sur cet intervalle. Or

$$g^{[n+1]} = f^{[n+1]} - C(n+1)!$$

car  $P$  est de degré inférieur ou égal à  $n$  et  $\prod_{j=0}^n (x - x_j) - x^{n+1}$  est de degré inférieur ou égal à  $n$ . Donc il existe bien un réel  $\xi_x$  dans l'intervalle contenant les  $x_j$  et  $x$  tel que

$$C = \frac{f^{[n+1]}(\xi_x)}{(n+1)!}$$

### 16.1.3 Calcul efficace du polynôme de Lagrange.

Avec la méthode de calcul précédent, on remarque que le polynôme de Lagrange peut s'écrire à la Horner sous la forme :

$$\begin{aligned} P(x) &= \alpha_0 + \alpha_1(x - x_0) + \dots + \alpha_n(x - x_0)\dots(x - x_{n-1}) \\ &= \alpha_0 + (x - x_0)(\alpha_1 + (x - x_1)(\alpha_2 + \dots + (x - x_{n-2})(\alpha_{n-1} + (x - x_{n-1})\alpha_n)\dots)) \end{aligned}$$

ce qui permet de le calculer rapidement une fois les  $\alpha_i$  connus. On observe que

$$\alpha_0 = f(x_0), \quad \alpha_1 = \frac{f(x_1) - f(x_0)}{x_1 - x_0}$$

On va voir que les  $\alpha_k$  peuvent aussi se mettre sous forme d'une différence. On définit les différences divisées d'ordre  $n$  par récurrence

$$f[x_i] = f(x_i), \quad f[x_i, \dots, x_{k+i+1}] = \frac{f[x_{i+1}, \dots, x_{k+i+1}] - f[x_i, \dots, x_{k+i}]}{x_{k+i+1} - x_i}$$

On va montrer que  $\alpha_k = f[x_0, \dots, x_k]$ . C'est vrai au rang 0, il suffit donc de le montrer au rang  $k+1$  en l'admettant au rang  $k$ . Pour cela on observe qu'on peut construire le polynôme d'interpolation en  $x_0, \dots, x_{k+1}$  à partir des polynômes d'interpolation  $P_k$  en  $x_0, \dots, x_k$  et  $Q_k$  en  $x_1, \dots, x_{k+1}$  par la formule :

$$P_{k+1}(x) = \frac{(x_{k+1} - x)P_k + (x - x_0)Q_k}{x_{k+1} - x_0}$$

en effet on vérifie que  $P_{k+1}(x_i) = f(x_i)$  pour  $i \in [1, k]$  car  $P_k(x_i) = f(x_i) = Q_k(x_i)$ , et pour  $i = 0$  et  $i = k+1$ , on a aussi  $P_{k+1}(x_0) = f(x_0)$  et  $P_{k+1}(x_{k+1}) = f(x_{k+1})$ . Or  $\alpha_{k+1}$  est le coefficient dominant de  $P_{k+1}$  donc c'est la différence du coefficient dominant de  $Q_k$  et de  $P_k$  divisée par  $x_{k+1} - x_0$ , c'est-à-dire la définition de  $f[x_0, \dots, x_{k+1}]$  en fonction de  $f[x_1, \dots, x_{k+1}]$  et  $f[x_0, \dots, x_k]$ .

Exemple : on reprend  $P(0) = 1, P(1) = 2, P(2) = 1$ . On a

$x_i$	$f[x_i]$	$f[x_i, x_{i+1}]$	$f[x_0, x_1, x_2]$
0	1		
		$(2 - 1)/(1 - 0) =$	1
1	2		
		$(-1 - 1)/(2 - 0) =$	-1
		$(1 - 2)/(2 - 1) =$	-1
2	1		

donc  $P(x) = \boxed{1} + (x - 0)(\boxed{1}) + (x - 1)(\boxed{-1}) = 1 + x(2 - x)$ .

On peut naturellement utiliser l'ordre que l'on souhaite pour les  $x_i$ , en observant que le coefficient dominant de  $P$  ne dépend pas de cet ordre, on en déduit que  $f[x_0, \dots, x_k]$  est indépendant de l'ordre des  $x_i$ , on peut donc à partir du tableau ci-dessus écrire  $P$  par exemple avec l'ordre 2,1,0, sous la forme

$$P(x) = 1 + (x - 2)(-1 + (x - 1)(-1)) = 1 + (x - 2)(-x)$$

La commande Xcas `interp` ou son synonyme `lagrange` effectue ce calcul.

Pour avoir les différences divisées, on peut créer le programme suivant

```
dd(X,Y):={ // Algorithme des différences divisées
  local k,l,n,A,old,cur;
  si size(X)!=size(Y) alors return "erreur" fsi;
  n:=size(X)-1;
  A:=[Y[0]];
  old:=Y;
  pour k de 1 jusque n faire
```

```

// calcul de cur en fonction de old
cur:=[];
pour l de 0 jusque n-k faire
    cur[l]:=(old[l+1]-old[l]) / (X[l+k]-X[l])
fpour;
A[k]:=cur[0];
old:=cur;
fpour;
retourne A;
};

```

(N.B. pour rendre ce programme optimal, il faudrait utiliser l'affectation en place)

#### 16.1.4 Sensibilité aux erreurs sur les données.

Si les  $y_j$  sont connus avec une certaine erreur, alors le polynôme d'interpolation est connu de manière approchée. Plus précisément, si on note

$$\pi_j(x) = \prod_{k \neq j} \frac{x - x_k}{x_j - x_k}$$

le  $j$ -ième polynôme de Lagrange valant 1 en  $x_j$  et 0 ailleurs, l'erreur vaut :

$$\sum_j (\tilde{y}_j - y_j) \pi_j(x)$$

Si l'erreur relative sur les  $y_j$  est majorée par  $\epsilon$ , l'erreur sur le polynôme d'interpolation est majorée par :

$$\epsilon \max_j |y_j| \sum_j |\pi_j(x)|$$

il y a amplification de l'erreur par un facteur majoré par

$$\max_{x \in [a,b]} \sum_{j=0}^n |\pi_j(x)|$$

Ce facteur s'appelle constante de Lebesgue relative à la subdivision  $x_0, \dots, x_n$  de  $[a, b]$ . On peut le calculer numériquement pour une subdivision équirépartie, et montrer qu'il croît comme  $\frac{2^{n+1}}{en \ln(n)}$ , par exemple pour  $n = 40$ , il vaut environ  $5e9$ .

Illustration avec Xcas :

```

l(k,n):=product((x-j)/(k-j),j,0,k-1)*product((x-j)/(k-j),j,k+1,n)
n:=10; f:=add(abs(l(k,n)),k,0,n); plot(f,x=0..n)
puis essayer avec n = 20. Pour n = 40, en observant que le max est atteint dans
[0, 1], on peut remplacer les valeurs absolues par la bonne puissance de -1
g:=l(0,n)+add((-1)^(k+n-1)*l(k,n),k,1,n)
on a alors un polynôme, dont on calcule l'abscisse du maximum par l:=proot(g')
puis subst(g,x=l[0]) qui donne environ 4.7e9.

```

## 16.2 Interpolation aux points de Tchebyshev

L'idée la plus naturelle pour interpoler un polynôme en  $n + 1$  points d'un intervalle  $[a, b]$  consiste à couper en  $n$  morceaux de même longueur. Mais ce n'est pas le plus efficace car le terme  $|\prod_{j=0}^n (x - x_j)|$  est plus grand près des bords. Il est donc plus judicieux d'avoir plus de points près des bords et moins à l'intérieur. C'est là qu'interviennent les polynômes de Tchebyshev, ils sont définis par développement de  $\cos(nx)$  en puissances de  $\cos(x)$  :

$$T_n(\cos(x)) = \cos(nx)$$

Sur  $[-1, 1]$ , le polynôme  $T_n$  vaut en valeur absolue au plus 1, et atteint cette valeur exactement  $n + 1$  fois lorsque  $x = k\pi/n$  donc  $X = \cos(x) = \cos(k\pi/n)$ . De plus cette majoration est optimale, si un autre polynôme  $U$  de degré au plus  $n$  vérifie  $|U|_\infty < 1$  et a le même coefficient dominant que  $T_n$ , alors la différence  $T_n - U$  est du signe de  $T_n$  en  $X = \cos(k\pi/n)$ ,  $k \in [0, n]$  puisqu'en ces points  $T_n$  est extrême, et donc  $T_n - U$  s'annule  $n$  fois sur  $[-1, 1]$ , mais son degré est au plus  $n - 1$ .

On a donc intérêt à prendre les abscisses des points d'interpolation en les racines  $t_n$  de  $T_n$

$$\frac{a+b}{2} + \frac{a-b}{2}t_n, \quad t_n = \cos\left(\left(k + \frac{1}{2}\right)\frac{\pi}{n}\right), \quad k = 0..n-1$$

On pourra observer que le phénomène de Runge qui apparaît par exemple pour  $f(x) = 1/(25x^2 + 1)$  avec des points d'interpolation équidistants n'apparaît plus si on prend des points de Tchebyshev. Ceci est relié à la constante de Lebesgue qui pour des points de Tchebyshev vaut un peu moins de 4 pour  $n < 100$  (se comporte comme  $\frac{2}{\pi} \ln(n)$  pour  $n$  grand), on peut montrer que les polynômes de Lagrange aux points de Tchebyshev convergent uniformément vers  $1/(25x^2 + 1)$  (c'est plus généralement vrai pour toute fonction  $C^1$  sur l'intervalle).

Remarque : ce n'est pas le polynôme de meilleure approximation, de  $f$  (celui qui minimise la norme  $L^\infty$  de la différence) car la dérivée  $n + 1$ -ième varie en général sur  $[a, b]$ . Mais il est trop difficile de le calculer en général.

Exemple de calcul explicite de constante de Lebesgue pour  $n = 40$  avec Xcas

```
l(k,n):=product((x-j)/(k-j),j,0,k-1)*product((x-j)/(k-j),j,k+1,n);
n:=40; f:=add(abs(l(k,n)),k,0,n); plot(f,x=0..n);
g:=l(0,n)+add((-1)^(k+n-1)*l(k,n),k,1,n);
r:=proot(g'); subst(g,x=r[0]); 2.^41/e/41/ln(41);
t(k,n):={
  local T;
  T:=seq(cos(pi*(k+.5)/(n+1)),k,0,n);
  return product((x-T[j])/(T[k]-T[j]),j,0,k-1)*
    product((x-T[j])/(T[k]-T[j]),j,k+1,n);
};
n:=40; f:=add(abs(t(k,n)),k,0,n); plot(f,x=-1..1)
```

## 16.3 Interpolation de Hermite

Si on fait tendre un des points d'interpolation vers un autre, la donnée de la valeur en ces 2 points serait redondante, elle est remplacée par la valeur de la

dérivée. Dans le calcul des différences divisées ci-dessus on fera comme si les 2 points étaient distincts et successifs, disons  $x_i$  et  $x_{i+1}$ , on remplace le rapport indéterminé

$$\frac{f(x_{i+1}) - f(x_i)}{x_{i+1} - x_i} = \frac{0}{0}$$

par  $f'(x_i)$ . On montre qu'une fois ce changement réalisé tout le reste est identique (y compris la majoration d'erreur). On peut bien sur généraliser au cas de plusieurs paires de points identiques ou des multiplicités plus grandes faisant intervenir des dérivées d'ordre supérieures, dans ce cas la différence divisée  $f[x_i, \dots, x_{i+m}]$  sera remplacée par  $f^{[m]}(x_i)/m!$ .

## 16.4 Polynômes de Bernstein et courbes de Bézier

Les polynômes de Bernstein de degré  $m$  sont les

$$B_k^n(x) = \binom{n}{k} x^k (1-x)^{n-k}$$

On reconnaît la probabilité d'avoir  $k$  succès si on effectue  $n$  tirages indépendants (avec remise) avec probabilité  $x \in [0, 1]$  de succès par tirage. Ceci donne une relation de récurrence

$$B_{k+1}^{n+1} = (1-x)B_{k+1}^n + xB_k^n$$

qui peut servir à calculer les  $B_i^m$ . On en déduit aussi que l'espérance de  $k$  selon cette loi vaut  $nx$  (somme de  $n$  variables d'espérance  $x$ ) et l'espérance de  $(k - nx)^2$  vaut  $nx(1-x)$  (variance de la somme de  $n$  variables indépendantes de variance  $x$ ). On en déduit qu'on peut approcher uniformément une fonction continue sur un intervalle  $[a, b]$  par des polynômes, en se ramenant à  $a = 0, b = 1$ , on pose :

$$P_n(x) = \sum_{k=0}^n f\left(\frac{k}{n}\right) B_k^n(x)$$

En effet, par continuité uniforme de  $f$  sur  $[0, 1]$ , pour  $\epsilon > 0$ , il existe  $\delta > 0$  tel que  $|x - y| < \delta \Rightarrow |f(x) - f(y)| < \epsilon/2$ , dans

$$P_n(x) - f(x) = \sum_{k=0}^n \left(f\left(\frac{k}{n}\right) - f(x)\right) B_k^n(x)$$

on décompose la somme sur  $k$  en deux parties,  $|k/n - x| < \delta$  et  $|k/n - x| \geq \delta$ , pour la première somme, on majore  $|f(\frac{k}{n}) - f(x)|$  par  $\epsilon/2$  puis par  $\sum_{k=0}^n$ , pour la deuxième somme, on majore par  $2|f|_\infty$  et on utilise  $1 < (k/n - x)^2/\delta^2 = 1/n^2/\delta^2(k - nx)^2$  pour se ramener au calcul de la variance de  $k$ , au final

$$|P_n(x) - f(x)| \leq \frac{\epsilon}{2} + \frac{1}{n^2\delta^2} nx(1-x) |f|_\infty$$

il suffit de choisir  $n$  assez grand pour rendre le membre de droite plus petit que  $\epsilon$ .

Les polynômes de Bernstein ne sont pas des polynômes interpolateurs aux points  $k/n$ ,  $0 < k < n$ , et la convergence n'est pas forcément très rapide. On

les utilise pour approcher rapidement des morceaux de courbes, si on se donne des “points de controle”  $A_0, \dots, A_n$  on construit la courbe paramétrée

$$A(t) = \sum_{k=0}^n A_k \binom{n}{k} x^k (1-x)^{n-k}$$

appelée courbe de Bézier. En pratique on les utilise pour  $n = 3$ .

## 16.5 Polynômes orthogonaux.

Autre exemple important pour l’intégration : les polynômes de meilleur approximation au sens de normes  $L^2$  ou  $L^2$  à poids (on projette alors sur une base de polynômes orthogonaux de degrés croissants pour le produit scalaire attaché à la norme).

Par exemple, pour l’intégrale sur  $[-1, 1]$  sans poids, les polynômes de Legendre forment une base orthonormée :

```
S(f,g):=int(f*g,x,-1,1);
gramschmidt([1,x,x^2,x^3,x^4],S);
f:=ln(x+2);C:=seq(S(f,legendre(k))/S(legendre(k),legendre(k)),k,0,4);
g:=sum(C[j]*legendre(j),j,0,4);
plot([f,g],x,-1.2,1.2,color=[red,blue]);
```

## 16.6 Les splines

Il s’agit de fonctions définies par des polynômes de degré borné sur des intervalles, dont on fixe la valeur aux extrémités des intervalles (comme pour le polynôme de Lagrange) ce qui rend la fonction continue, de plus on exige un degré de régularité plus grand, par exemple être de classe  $C^2$ . Enfin, on fixe des conditions aux bornes de la réunion des intervalles, par exemple avoir certaines dérivées nulles.

Par exemple supposons qu’on se donne  $n$  intervalles, donc  $n+1$  points  $x_0, \dots, x_n$ , on se fixe une régularité  $C^{d-1}$ . Ceci entraîne  $(n-1)d$  conditions de recollement, on y ajoute  $n+1$  conditions de valeur en  $x_0, \dots, x_n$ , on a donc  $nd+1$  conditions, la borne sur le degré des polynômes doit donc être  $d$  (ou plus, mais  $d$  suffit) ce qui donne  $n(d+1)$  degrés de liberté, on peut donc ajouter  $d-1$  conditions, par exemple pour les splines naturelles, on impose que les dérivées d’ordre  $d/2$  à  $d-1$  soient nulles en  $x_0$  et  $x_n$  (si  $d$  est pair, on commence à la dérivée  $d/2+1$ -ième nulle en  $x_n$ ).

Pour trouver les polynômes, on doit donc résoudre un grand système linéaire. Une méthode permettant de diminuer la taille du système linéaire à résoudre dans le cas des splines naturelles consiste à se fixer  $n$  inconnues  $z_0, \dots, z_{n-1}$  représentant les dérivées  $d$ -ième de la spline  $f$  en  $x_0$  sur  $[x_0, x_1]$  à  $x_{n-1}$  sur  $[x_{n-1}, x_n]$ , et  $(d-1)/2$  inconnues  $f_j$ , représentant la valeur de la dérivée de  $f$  en  $x_0$  pour  $j$  variant de 1 à  $(d-1)/2$ . On peut alors écrire le polynôme sur l’intervalle  $[x_0, x_1]$  car on connaît son développement de Taylor en  $x_0$ . On effectue un changement d’origine (par application répétée de Horner) en  $x_1$ . On obtient alors le polynôme sur  $[x_1, x_2]$  en remplaçant uniquement la dérivée  $d$ -ième par  $z_1$ . On continue ainsi jusqu’en  $x_{n-1}$ . Le système s’obtient en calculant la valeur du polynôme en  $x_0, \dots, x_n$  et la nullité



des dérivées d'ordre  $(d-1)/2$  à  $d/2$  en  $x_n$ . On résout le système et on remplace pour avoir les valeurs numériques des coefficients du polynôme.

## 17 Développement de Taylor, asymptotiques, séries entières, fonctions usuelles

Pour approcher les fonctions classiques (exponentielle, sinus, cosinus, log népérien), on peut utiliser les développements en séries classiques, le polynôme de Taylor en un point donne une bonne approximation près du point, l'équivalent en l'infini appelé développement asymptotique donne une bonne approximation loin de 0, et les approximants de Padé où on approche par le quotient de 2 polynômes (ceci donne parfois de très bons résultats comme pour la fonction exponentielle près de 0 par exemple).

Soit  $f$  une fonction indéfiniment dérivable sur un intervalle  $I$  de  $\mathbb{R}$  et  $x_0 \in I$ . On peut alors effectuer le développement de Taylor de  $f$  en  $x_0$  à l'ordre  $n$

$$T_n(f)(x) = f(x_0) + (x - x_0)f'(x_0) + \dots + (x - x_0)^n \frac{f^{[n]}(x_0)}{n!}$$

et se demander si  $T_n(f)$  converge lorsque  $n$  tend vers l'infini, si la limite est égale à  $f(x)$  et si on peut facilement majorer la différence entre  $f(x)$  et  $T_n(f)(x)$ . Si c'est le cas, on pourra utiliser  $T_n(f)(x)$  comme valeur approchée de  $f(x)$ .

On peut parfois répondre à ces questions simultanément en regardant le développement de Taylor de  $f$  avec reste : il existe  $\theta$  compris entre  $x_0$  et  $x$  tel que

$$R_n(x) := f(x) - T_n(f)(x) = (x - x_0)^{n+1} \frac{f^{[n+1]}(\theta)}{(n+1)!}$$

C'est le cas pour la fonction exponentielle que nous allons détailler, ainsi que les fonctions sinus et cosinus.

### 17.1 La fonction exponentielle

Soit  $f(x) = \exp(x)$  et  $x_0 = 0$ , la dérivée  $n$ -ième de  $f$  est  $\exp(x)$ , donc  $R_n(x) = \exp(\theta)x^{n+1}/(n+1)!$  avec  $\theta$  compris entre 0 et  $x$ , ainsi si  $x$  est positif  $|R_n(x)| \leq e^x x^{n+1}/(n+1)!$  et si  $x$  est négatif,  $|R_n(x)| \leq x^{n+1}/(n+1)!$ . Dans les deux cas, la limite de  $R_n$  est 0 lorsque  $n$  tend vers l'infini, car pour  $n \geq 2x$ , on a

$$\frac{x^{n+1}}{(n+1)!} = \frac{x^n}{n!} \frac{x}{n+1} \leq \frac{1}{2} \frac{x^n}{n!}$$

on a donc pour tout  $x$  réel

$$e^x = \lim_{n \rightarrow +\infty} T_n(f)(x) = \lim_{n \rightarrow +\infty} \sum_{k=0}^n \frac{x^k}{k!} = \sum_{k=0}^{\infty} \frac{x^k}{k!}$$

Comment en déduire une valeur approchée de  $e^x$  ? Il suffira d'arrêter la sommation lorsque  $R := x^{n+1}/(n+1)!$  si  $x < 0$  ou lorsque  $R := e^x x^{n+1}/(n+1)!$  si  $x > 0$  est inférieur à l'erreur absolue souhaitée, le plus tôt étant le mieux pour des raisons d'efficacité et pour éviter l'accumulation d'erreurs d'arrondi. Si on veut

connaître  $e^x$  à une erreur relative  $\varepsilon$  donnée (par exemple  $\varepsilon = 2^{-53}$  pour stocker le résultat dans un double) il suffit que  $R/e^x < \varepsilon$ , donc si  $x$  est positif, il suffit que  $x^{n+1}/(n+1)! < \varepsilon$ , on peut donc arrêter la sommation lorsque le terme suivant est plus petit que  $\varepsilon$ .

On observe que plus  $x$  est grand, plus  $n$  devra être grand pour réaliser le test d'arrêt, ce qui est fâcheux pour le temps de calcul. De plus, le résultat final peut être petit alors que les termes intermédiaires calculés dans la somme peuvent être grands, ce qui provoque une perte de précision relative, par exemple si on veut calculer  $e^{-10}$  ou plus généralement l'exponentielle d'un nombre négatif de grande valeur absolue.

Exercice : combien de termes faut-il calculer dans le développement de l'exponentielle de -10 pour que le reste soit plus petit que  $2^{-53}$  ? Quel est la valeur du plus grand terme rencontré dans la suite ? Quelle est la perte de précision relative occasionné par cette méthode de calcul ?

On peut utiliser les propriétés de la fonction exponentielle pour éviter ce problème. Pour les nombres négatifs, on peut utiliser l'équation  $e^{-x} = 1/e^x$  (ne change pas l'erreur relative). Pour les grands réels, on peut utiliser  $e^{2x} = (e^x)^2$  (multiplie par 2 l'erreur relative). On peut aussi, si on connaît une valeur approchée de  $\ln(2)$ , effectuer la division euclidienne de  $x$  par  $\ln(2)$  avec reste symétrique :

$$x = a \ln(2) + r, \quad a \in \mathbb{Z}, |r| \leq \frac{\ln(2)}{2}$$

puis si  $r$  est positif, on somme la série de  $T(f)(r)$ , si  $r$  est négatif, on calcule  $T(f)(-r)$  et on inverse, on applique alors :

$$e^x = 2^a e^r$$

Il faut toutefois noter que  $\ln(2)$  n'étant pas connu exactement, on commet une erreur d'arrondi absolu sur  $r$  d'ordre  $a\eta$ , où  $\eta$  est l'erreur relative sur  $\ln(2)$ , il faut donc ajouter une erreur d'arrondi relative de  $x/\ln(2)\eta$  qui peut devenir grande si  $x$  est grand. Puis il faut ajouter la somme des erreurs d'arrondi due au calcul de  $e^r$ , que l'on peut minimiser en utilisant la méthode de Horner pour évaluer  $T_n(f)(r)$  (car elle commence par sommer les termes de plus haut degré qui sont justement les plus petits termes de la somme). Les coprocesseurs arithmétiques qui implémentent la fonction exponentielle ont un format de représentation interne des double avec une mantisse plus grande que celle des double (par exemple 64 bits au lieu de 53), et une table contenant des constantes dont  $\ln(2)$  avec cette précision, le calcul de  $e^x$  par cette méthode entraîne donc seulement une erreur relative d'arrondi au plus proche sur le résultat converti en double (donc de  $2^{-53}$ ).

Notons que en général  $x$  lui-même a déjà été arrondi ou n'est connu qu'avec une précision relative. Or si  $x > 0$  est connu avec une erreur relative de  $\varepsilon$  (donc une erreur absolue de  $\varepsilon|x|$ ), alors

$$e^{x+\varepsilon|x|} = e^x e^{\varepsilon|x|}$$

donc on ne peut pas espérer mieux qu'une erreur relative de  $e^{\varepsilon|x|} - 1$  sur l'exponentielle de  $x$ . Si  $\varepsilon x$  est petit cette erreur relative (impossible à éviter, quel que soit l'algorithme utilisé pour calculer l'exponentielle) est d'ordre  $\varepsilon|x|$ . Si  $\varepsilon x$  est grand alors l'erreur relative devient de l'ordre de 1, et la valeur de l'exponentielle

calculée peut être très éloignée de la valeur réelle ! Notons que pour les double, il y aura dans ce cas débordement soit vers l'infini soit vers 0 (par exemple si  $x$  est supérieur à 709, l'exponentielle renvoie infini).

Exercice : refaire les mêmes calculs pour les fonction sinus ou cosinus. On utilise par exemple  $\sin(x + \pi) = -\sin(x)$ ,  $\sin(-x) = -\sin(x)$ ,  $\sin(x) = \cos(\pi/2 - x)$  pour se ramener au calcul de  $\sin(x)$  ou de  $\cos(x)$  sur  $[0, \pi/4]$ .

$$\sin(x) = \sum_{n=0}^{\infty} (-1)^n \frac{x^{2n+1}}{(2n+1)!}, \quad \cos(x) = \sum_{n=0}^{\infty} (-1)^n \frac{x^{2n}}{(2n)!}$$

Cette méthode a toutefois ces limites, car il peut devenir impraticable de calculer la dérivée  $n$ -ième d'une fonction (par exemple avec  $\tan(x)$ ), et encore plus de la majorer. D'où l'intérêt de développer une théorie des fonctions qui sont égales à leur développement de Taylor à l'infini d'une part, et d'avoir d'autres méthodes pour majorer le reste, nous présentons ici le cas des séries alternées.

## 17.2 Séries entières.

Les séries de type prendre la limite lorsque  $n$  tend vers l'infini du développement de Taylor en  $x=0$  sont de la forme

$$\sum_{n=0}^{\infty} a_n x^n := \lim_{k \rightarrow +\infty} \sum_{n=0}^k a_n x^n, \quad a_n = \frac{f^{[n]}(0)}{n!}$$

On peut s'intéresser plus généralement à  $\sum_{n=0}^{\infty} a_n x^n$  lorsque  $a_n$  est un complexe quelconque, c'est ce qu'on appelle une série entière, on peut aussi les voir comme des polynômes généralisés.

S'il existe un point  $x_0$  tel que  $|a_n x_0^n|$  est borné (ce sera le cas en particulier si la série converge en  $x_0$ ), alors

$$|a_n x^n| = |a_n x_0^n| \left| \frac{x}{x_0} \right|^n \leq M \left| \frac{x}{x_0} \right|^n$$

la série converge donc en  $x$  si  $|x| < |x_0|$  et on peut majorer le reste de la série au rang  $n$  par

$$|R_n| \leq M \frac{\left| \frac{x}{x_0} \right|^{n+1}}{1 - \left| \frac{x}{x_0} \right|}$$

la vitesse de convergence est donc du même type que pour le théorème du point fixe (le nombre de termes à calculer pour trouver une valeur approchée avec  $k$  décimales dépend linéairement  $k$ , les constantes sont d'autant plus grandes que  $|x|$  est grand).

**Théorème 32** *S'il existe un rang  $n_0$ , un réel  $M > 0$  et un complexe  $x_0$  tels que pour  $n > n_0$ , on ait :*

$$|a_n x_0^n| \leq M$$

*alors la série converge pour  $|x| < |x_0|$  et pour  $n \geq n_0$ , on a :*

$$|R_n| \leq M \frac{\left| \frac{x}{x_0} \right|^{n+1}}{1 - \left| \frac{x}{x_0} \right|} \quad (51)$$

On en déduit qu'il existe un réel positif  $R \geq 0$  éventuellement égal à  $+\infty$  tel que la série converge (la limite de la somme jusqu'à l'infini existe) lorsque  $|x| < R$  et n'existe pas lorsque  $|x| > R$ , ce réel est appelé **rayon de convergence** de la série. Par exemple ce rayon vaut  $+\infty$  pour l'exponentielle, le sinus ou le cosinus. Il est égal à 1 pour la série géométrique  $\sum x^n$  (car elle diverge si  $|x| > 1$  et converge si  $|x| < 1$ ). On ne peut pas dire ce qui se passe génériquement lorsqu'on est à la limite, c'est-à-dire lorsque  $|x| = R$  (si  $R \neq +\infty$ ). Mais cela n'a en fait pas trop d'importance en pratique car même si la série converge, elle converge souvent trop lentement pour donner de bonnes approximations. En fait, la vitesse de convergence d'une série entière de rayon  $R \neq +\infty$  est en gros la même que celle d'une série géométrique de raison  $|x|/R$ .

Lorsque 2 séries ont un rayon de convergence non nul, alors on peut effectuer leur somme, leur produit comme des polynômes et la série somme/produit a un rayon de convergence au moins égal au plus petit des 2 rayons de convergence des arguments. On peut inverser une série entière non nulle en 0 en appliquant

$$(1+x)^{-1} = 1 - x + x^2 - x^3 + \dots$$

et on obtient une série entière de rayon de convergence non nul. On peut aussi composer deux séries entières  $g$  et  $f$  en  $g \circ f$  (avec les règles de calcul de composition des polynômes) si  $f(0) = 0$ . On peut enfin dériver et intégrer une série entière terme à terme dans son rayon de convergence.

On dit qu'une fonction est développable en série entière en 0 si elle est égale à son développement de Taylor en 0 sommé jusqu'en l'infini dans un disque de centre 0 et de rayon non nul. Les fonctions exponentielle, sinus, cosinus sont donc développables en série entière en 0. La fonction tangente également car le dénominateur cosinus est non nul en 0, mais son rayon de convergence n'est pas l'infini et le calcul des  $a_n$  est assez complexe. La fonction  $(1+x)^\alpha$  est développable en séries entières pour tout  $\alpha \in \mathbb{R}$  avec un rayon de convergence 1 (ou l'infini pour  $\alpha$  entier positif).

$$(1+x)^\alpha = 1 + \alpha x + \frac{\alpha(\alpha-1)}{2!}x^2 + \dots + \frac{\alpha(\alpha-1)\dots(\alpha-n+1)}{n!}x^n + \dots$$

Pour  $\alpha = -1$ , c'est la série géométrique de raison  $-x$ , en effet si  $|x| < 1$  :

$$\sum_{n=0}^k (-x)^n = \frac{1 - (-x)^{k+1}}{1+x} \xrightarrow{k \rightarrow \infty} \frac{1}{1+x}$$

En intégrant par rapport à  $x$ , on obtient que  $\ln(1+x)$  est développable en série entière en 0 de rayon de convergence 1 et

$$\ln(1+x) = \sum_{n=0}^{\infty} \frac{(-x)^{n+1}}{n+1}$$

On peut calculer de manière analogue le développement en série entière de  $\arctan(x)$  en intégrant celui de  $1/(1+x^2)$ , de même pour  $\arccos(x)$  et  $\arcsin(x)$  en intégrant celui de  $(1-x^2)^{-1/2}$ .

$$\arctan(x) = \sum_{n=0}^{\infty} (-1)^n \frac{x^{2n+1}}{2n+1},$$

On peut donc calculer  $\ln$ ,  $\arctan$ , ... par ces formules, mais il faut répondre à la question où arrête-t-on la somme pour obtenir une précision donnée ? Dans le cas de  $\ln(1+x)$ , on pourrait répondre comme avec l'exponentielle en majorant la dérivée  $n+1$ -ième, mais ce n'est plus faisable pour  $\arctan$ ,  $\arcsin$ ,  $\arccos$ . On va donner un autre critère qui ne nécessite pas de calculer cette dérivée mais utilise l'alternance des signes dans la somme.

### 17.3 Série alternée

**Théorème 33** Soit  $S_n = \sum_{k=0}^n (-1)^k u_k$  la somme jusqu'au rang  $n$  d'une série de réels tels que la suite des  $u_k$  décroît à partir d'un rang  $n_0$  et tend vers 0 lorsque  $k \rightarrow +\infty$ . Alors  $S_n$  converge vers une limite  $S$ . Si  $n \geq n_0$ , la limite est comprise entre deux sommes partielles successives  $S_n$  et  $S_{n+1}$  et le reste est majoré par la valeur absolue du premier terme non sommé :

$$|R_n| \leq |u_{n+1}|$$

Démonstration :

on montre que les suites  $v_n = S_{2n}$  et  $w_n = S_{2n+1}$  sont adjacentes. On a

$$v_{n+1} - v_n = S_{2n+2} - S_{2n} = (-1)^{2n+2} u_{2n+2} + (-1)^{2n+1} u_{2n+1} = u_{2n+2} - u_{2n+1} \leq 0$$

donc  $v_n$  est décroissante, de même  $w_n$  est croissante, et  $v_n - w_n = u_{2n+1}$  est positif et tend vers 0. On en déduit que  $v_n$  et  $w_n$  convergent vers la même limite  $S$  telle que  $v_n > S > w_n$  et les inégalités du théorème s'en déduisent.

#### Remarque

lorsqu'on utilise une suite alternée pour trouver une valeur approchée, il faut que  $u_n$  tende assez vite vers 0, sinon il y aura perte de précision sur la mantisse lorsqu'on effectuera  $u_{2n} - u_{2n+1}$ . On sommerait aussi les termes par ordre décroissant pour diminuer les erreurs d'arrondi.

### 17.4 La fonction logarithme

Si nous voulons calculer  $\ln(1+x)$  pour  $x \in [0, 1[$  avec une précision  $\varepsilon$ , il suffit de calculer

$$\sum_{k=0}^n (-1)^k \frac{x^{k+1}}{k+1}$$

pour  $n$  tel que la valeur absolue du terme suivant soit plus petit que  $\varepsilon$  :

$$n \text{ tel que } \frac{x^{n+1}}{n+1} < \varepsilon$$

en effet, les signes sont alternés et la suite  $\frac{x^{k+1}}{k+1}$  décroît vers 0.

Si la suite décroît lentement vers 0, cette méthode est mauvaise numériquement et en temps de calcul car il y a presque compensation entre termes successifs donc perte de précision sur la mantisse et il y a beaucoup de termes à calculer. C'est le cas pour le logarithme, si  $x$  est voisin de 1, il faut calculer  $n$  termes pour avoir une précision en  $1/n$ , par exemple 1 million de termes pour avoir une précision de  $1e-6$  (sans tenir compte des erreurs d'arrondi). Si  $x$  est proche de  $1/2$  il faut de

l'ordre de  $-\ln(\varepsilon)/\ln(2)$  termes ce qui est mieux, mais encore relativement grand (par exemple 50 termes environ pour une précision en  $1e-16$ , 13 termes pour  $1e-4$ ). On a donc intérêt à se ramener si possible à calculer la fonction en un  $x$  où la convergence est plus rapide (donc  $|x|$  le plus petit possible). Par exemple pour le calcul de  $\ln(1+x)$  on peut :

- utiliser la racine carrée

$$\ln(1+x) = 2\ln(\sqrt{1+x})$$

on observe que :

$$X = \sqrt{1+x} - 1 = \frac{x}{1 + \sqrt{1+x}} \leq \frac{x}{2}$$

il faut toutefois faire attention à la perte de précision sur  $X$  par rapport à  $x$  lorsque  $x$  est petit.

- utiliser l'inverse

$$\ln(1+x) = -\ln(1/(1+x)) = -\ln(1 + \frac{-x}{1+x})$$

lorsque  $x$  est proche de 1,  $-x/(1+x)$  est proche de  $-x/2$ , on a presque divisé par 2. Attention toutefois, on se retrouve alors avec une série non alternée, mais on peut utiliser (51) pour majorer le reste dans ce cas.

- trouver une valeur approchée  $y_0$  de  $\ln(1+x)$  à une précision faible, par exemple  $1e-4$ , et utiliser la méthode de Newton pour améliorer la précision. Soit en effet  $y = \ln(1+x)$ , alors  $e^y = 1+x$ , on pose  $f(y) = e^y - (1+x)$ , on utilise la suite itérative

$$y_{n+1} = y_n - \frac{e^{y_n} - (1+x)}{e^{y_n}}$$

Comme  $y_0$  est proche à  $1e-4$  de  $y$ , on peut espérer avoir une valeur approchée de  $y$  à  $1e-16$  en 2 itérations. Notez que  $y$  est proche de 0, on est dans un domaine où le calcul de  $e^y$  est rapide et précis et de plus la méthode de Newton “corrige” les erreurs intermédiaires.

Nous sommes donc en mesure de calculer précisément le logarithme  $\ln(1+x)$  pour disons  $|x| < 1/2$ . Pour calculer  $\ln$  sur  $\mathbb{R}^+$ , on se ramène à  $[1, 2]$  en utilisant l'écriture mantisse-exposant, puis si  $x \in [3/2, 2]$  on peut en prendre la racine carrée pour se retrouver dans l'intervalle souhaité. On peut aussi effectuer une division par  $\sqrt{2}$ .

Remarquons que si  $x$  est connu à une erreur relative  $\varepsilon$  près, comme

$$\ln(x(1 \pm \varepsilon)) = \ln(x) + \ln(1 \pm \varepsilon)$$

$\ln(x)$  est connu à une erreur absolue de  $|\ln(1 \pm \varepsilon)| \approx \varepsilon$ . Si  $\ln(x)$  est proche de 0, on a une grande perte de précision relative.

Finalement, nous savons calculer  $\ln$  et  $\exp$  sous réserve d'avoir dans une table la valeur de  $\ln(2)$ . Pour calculer  $\ln(2)$  précisément, on peut utiliser

$$\ln(2) = -\ln(1/2) = -\ln(1 - 1/2)$$

et le développement en série calculé en mode exact avec des fractions à un ordre suffisant, on majore le reste en utilisant que le terme général de la série  $\ln(1+x)$  est borné par  $M = 1$  en  $x = 1$ , donc d'après (51) :

$$|R_n| \leq \frac{1}{2^n}$$

(on peut même obtenir  $1/(n2^n)$  car on a besoin de  $M$  uniquement pour les termes d'ordre plus grand que  $n$ , on peut donc prendre  $M = 1/n$ ). Par exemple, pour avoir  $\ln(2)$  avec une mantisse de 80 bits, on effectue une fois pour toutes avec un logiciel de calcul formel :

`a:=sum((1/2)^k/k, k=1..80)`

puis la division en base 2 avec 81 bits de précision `iquo(numer(a)*2^81, denom(a))`

Exercice : pour les fonctions trigonométriques, il faut une méthode de calcul de  $\pi$ . On peut par exemple faire le calcul de  $16 \arctan(1/5) - 4 \arctan(1/239)$  en utilisant le développement de la fonction  $\arctan$  à un ordre suffisant.

## 17.5 Approximants de Padé.

Soit une fonction  $f(x)$  dont on connaît le développement de Taylor  $B$  en 0 à l'ordre  $n$ , on souhaiterait plutôt approcher  $f$  par une fraction  $P/Q$  avec  $\deg(P) \leq d$  et  $\deg(Q) \leq n-d$  :

$$f = B + O(x^{n+1}) = \frac{P}{Q} + O(x^{n+1})$$

Si  $Q(0) = 0$ , ceci équivaut à  $P = BQ + x^{n+1}S$  où  $S, P, Q$  sont des polynômes inconnus. On reconnaît une identité de type Bézout pour les polynômes  $A = x^{n+1}$  et  $B$ . On déroule l'algorithme d'Euclide itératif pour  $A$  et  $B$ , on définit donc 3 suites  $U_k, V_k, R_k$  où  $R_k$  est la suite des restes d'Euclide de degrés strictement décroissants

$$R_{k+2} = R_k - Q_k R_{k+1}, U_{k+2} = U_k - Q_k U_{k+1}, V_{k+2} = V_k - Q_k V_{k+1}$$

et les initialisations :

$$U_0 = 1, U_1 = 0, V_0 = 0, V_1 = 1, R_0 = A, R_1 = B$$

On s'arrête au rang  $N+1$  tel que  $\deg(R_N) > d$  et  $\deg(R_{N+1}) \leq d$ . Rappelons qu'on montre par récurrence que :

$$V_k R_{k+1} - V_{k+1} R_k = (-1)^{k+1} X^{n+1}$$

D'autre part la suite des degrés des  $V_k$  est strictement croissante à partir du rang 1 (car  $\deg(Q_k) > 0$ ), on en déduit que  $\deg(V_{k+1}) + \deg(R_k) = n+1$  donc  $\deg(V_{N+1}) \leq n-d$ . On pose alors  $P = R_{N+1}$  et  $Q = V_{N+1}$ , qui vérifient  $P = BQ + AU_{N+1}$ . Si  $Q(0) \neq 0$  on a existence d'une solution  $P/Q$ , et cette solution est alors unique, car si on a 2 triplets solutions

$$P = BQ + AS, P' = BQ' + AS', \quad A = X^{n+1}$$

alors  $PQ' - P'Q$  est un multiple de  $X^{n+1}$  donc nul pour des raisons de degré, donc  $P/Q = P'/Q'$ .

Par exemple, pour  $f(x) = e^x$  et  $n = 10, d = 5$ , `pade(e^x, x, 10, 6)` renvoie le quotient de deux polynômes de degré 5

$$\frac{P_2 + P_1}{P_2 - P_1}, \quad P_2 = 30240 + 3360x^2 + 30x^4, \quad P_1 = x(15120 + 420x^2 + x^4)$$

fraction que l'on peut évaluer en 12 opérations (5 additions, 1 soustraction, 5 multiplications et 1 division) et qui donne une approximation de meilleure qualité que le développement de Taylor à l'ordre 10. Pour démontrer des estimations sur l'erreur  $f(x) - P/Q$ , il n'existe pas à ma connaissance de résultat explicite général. Pour la fonction exponentielle, on peut calculer l'erreur relative  $g(x) = 1 - e^{-x}P/Q$  puis étudier la fonction.

```
P,Q:=fxnd(pade(exp(x),x,10,6));
g:=1-exp(-x)*P/Q; factor(g');
```

On en déduit que  $g$  est une fonction décroissante (nulle en l'origine), son maximum en valeur absolue est donc atteint aux bornes de l'intervalle d'étude, par exemple sur  $[-1/4, 1/4]$ , l'erreur relative est majorée par  $3e^{-17}$ , il faudrait aller à l'ordre 12 pour avoir la même précision avec Taylor donc faire 23 opérations, quasiment le double. Visuellement, le graphe de l'exponentielle et de l'approximation de Padé sont encore très proches pour  $x = 5$ .

```
f(x):={
  local P1,P2,x2;
  x2:=x*x;
  P2:=30240+x2*(3360+30*x2);
  P1:=x*(15120+x2*(420+x2));
  retourne (P2+P1)/(P2-P1);
};
plot([f(x),exp(x)],x=-6..6,color=[blue,red]);
```

## 17.6 Autres applications

On peut calculer certaines intégrales de la même manière, par exemple

$$\int_0^{1/2} \frac{1}{\sqrt{1+x^3}}$$

mais aussi des fonctions définies par des intégrales (cas de nombreuses fonctions spéciales).

### 17.6.1 Exemple : la fonction d'erreur (error function, `erf`)

Cette fonction est définie à une constante multiplicative près par :

$$f(x) = \int_0^x e^{-t^2} dt$$

On peut développer en séries entières l'intégrand (rayon de convergence  $+\infty$ ), puis intégrer terme à terme, on obtient

$$f(x) = \sum_{n=0}^{+\infty} (-1)^n \frac{x^{2n+1}}{n!(2n+1)}$$



Ce développement converge très rapidement pour  $|x| \leq 1$ . Par contre, pour  $|x|$  grand, il faut calculer beaucoup de termes avant que le reste soit suffisamment petit pour être négligeable, et certains termes intermédiaires sont grands, ce qui provoque une perte de précision qui peut rendre le résultat calculé complètement faux. Contrairement à la fonction exponentielle, il n'y a pas de possibilité de réduire l'argument à une plage où la série converge vite. Il faut donc

- soit utiliser des flottants multiprécision, avec une précision augmentée de la quantité nécessaire pour avoir un résultat fiable
- soit, pour les grandes valeurs de  $x$ , utiliser un développement asymptotique (en puissances de  $1/x$ ) de

$$\int_x^{+\infty} e^{-t^2} dt$$

ainsi que

$$\int_0^{+\infty} e^{-t^2} dt = \frac{\sqrt{\pi}}{2}$$

Le développement asymptotique s'obtient par exemple en changeant de variable  $u = t^2$  et en effectuant des intégrations par parties répétées en intégrant  $e^{-u}$  et en dérivant  $u^{-1/2}$  et ses dérivées successives. Ce type de développement asymptotique a la propriété inverse du développement en 0 : les termes successifs commencent par décroître avant de croître et de tendre vers l'infini. Il faut donc arrêter le développement à un rang donné (dépendant de  $x$ ) et il est impossible d'obtenir une précision meilleure pour cette valeur de  $x$  par un développement asymptotique (on parle parfois de développement des astronomes).

**Exercice** : donner une valeur approchée de  $f(1)$  à  $1e - 16$  près. Combien de termes faut-il calculer dans la somme pour trouver une valeur approchée de  $f(7)$  à  $1e - 16$  près ? Comparer la valeur de  $f(7)$  et la valeur absolue du plus grand terme de la série, quelle est la perte de précision relative si on effectue les calculs en virgule flottante ? Combien de chiffres significatifs faut-il utiliser pour assurer une précision finale de 16 chiffres en base 10 ? Calculer le développement asymptotique en l'infini et déterminer un encadrement de  $f(7)$  par ce développement. Combien de termes faut-il calculer pour déterminer  $f(10)$  à  $1e - 16$  près par le développement asymptotique et par le développement en séries ? Quelle est la meilleure méthode pour calculer  $f(10)$  ?

### 17.6.2 Recherche de solutions d'équations différentielles

On peut aussi appliquer les techniques ci-dessus pour calculer des solutions de certaines équations différentielles dont les solutions ne s'expriment pas à l'aide des fonctions usuelles, on remplace dans l'équation la fonction inconnue par son développement en séries et on cherche une relation de récurrence entre  $a_{n+1}$  et  $a_n$ . Si on arrive à montrer par exemple qu'il y a une solution ayant un développement alterné, ou plus généralement, si on a une majoration  $|a_{n+1}/a_n| < C$ , alors le reste de la série entière est majoré par  $|a_n x^n|/(1 - |Cx|)$  lorsque  $|x| < 1/C$ , on peut alors calculer des valeurs approchées de la fonction solution à la précision souhaitée en utilisant le développement en séries entières.

### 17.6.3 Exemple : fonctions de Bessel d'ordre entier

Soit  $m$  un entier positif fixé, on considère l'équation différentielle

$$x^2 y'' + xy' + (x^2 - m^2)y = 0$$

dont on cherche une solution série entière  $y = \sum_{k=0}^{\infty} a_k x^k$ . En remplaçant dans l'équation, si  $x$  est dans le rayon de convergence de la série (rayon supposé non nul), on obtient

$$\sum_{k=0}^{\infty} k(k-1)a_k x^k + \sum_{k=0}^{\infty} k a_k x^k + \sum_{k=0}^{\infty} (x^2 - m^2)a_k x^k = 0$$

soit encore

$$\begin{aligned} 0 &= \sum_{k=0}^{\infty} (k^2 - m^2 + x^2)a_k x^k \\ &= -m^2 a_0 + (1 - m^2)a_1 x + \sum_{k=2}^{\infty} [(k^2 - m^2)a_k + a_{k-2}]x^k \end{aligned}$$

Par exemple, prenons le cas  $m = 0$ . On a alors  $a_0$  quelconque,  $a_1$  nul et pour  $k \geq 2$

$$a_k = -\frac{a_{k-2}}{k^2}$$

Donc tous les  $a$  d'indice impair sont nuls. Les pairs sont non nuls si  $a_0 \neq 0$ , et ils sont de signe alterné. Soit  $x$  fixé, on observe que pour  $2k > |x|$ ,

$$|a_{2k} x^{2k}| < |a_{2k-2} x^{2k-2}|$$

donc la série  $\sum_{k=0}^{\infty} a_k x^k$  est alternée à partir du rang partie entière de  $|x|$  plus un. Donc elle converge pour tout  $x$  (le rayon de convergence de  $y$  est  $+\infty$ ) et le reste de la somme jusqu'à l'ordre  $2n$  est inférieur en valeur absolue à :

$$|R_{2n}(x)| \leq |a_{2n+2} x^{2n+2}|$$

Par exemple, pour avoir une valeur approchée à  $1e-10$  près de  $y(x)$  pour  $a_0 = 1$  et  $|x| \leq 1$ , on calcule  $y = \sum_{k=0}^{2n} a_k x^k$ , on s'arrête au rang  $n$  tel que

$$|a_{2n+2} x^{2n+2}| \leq |a_{2n+2}| \leq 10^{-10}$$

On remarque que :

$$a_{2n} = \frac{(-1)^n}{2^2 4^2 \dots (2n)^2} = \frac{(-1)^n}{2^{2n} n!^2}$$

donc  $n = 7$  convient.

Pour  $m \neq 0$ , on peut faire un raisonnement analogue (les calculs sont un peu plus compliqués).

On a ainsi trouvé une solution  $y_0$  de l'équation différentielle de départ dont on peut facilement calculer une valeur approchée (aussi facilement que par exemple la fonction sinus pour  $|x| \leq 1$ ), on peut alors trouver toutes les solutions de l'équation différentielle (en posant  $y = y_0 z$  et en cherchant  $z$ ).

**Exercice :** faire de même pour les solutions de  $y'' - xy = 0$  (fonctions de Airy).

## 17.7 Développements asymptotiques et séries divergentes

Un développement asymptotique est une généralisation d'un développement de Taylor, par exemple lorsque le point de développement est en l'infini. De nombreuses fonctions ayant une limite en l'infini admettent un développement asymptotique en l'infini, mais ces développements sont souvent des séries qui semblent commencer par converger mais sont divergentes. Ce type de développement s'avère néanmoins très utile lorsqu'on n'a pas besoin d'une trop grande précision sur la valeur de la fonction.

Nous allons illustrer ce type de développement sur un exemple, la fonction exponentielle intégrale, définie à une constante près par

$$f(x) = \int_x^{+\infty} \frac{e^{-t}}{t} dt$$

On peut montrer que l'intégrale existe bien, car l'intégrand est positif et inférieur à  $e^{-t}$  (qui admet  $-e^{-t}$  comme primitive, cette primitive ayant une limite en  $+\infty$ ). Pour trouver le développement asymptotique de  $f$  en  $+\infty$ , on effectue des intégrations par parties répétées, en intégrant l'exponentielle et en dérivant la fraction rationnelle

$$\begin{aligned} f(x) &= \left[ \frac{-e^{-t}}{t} \right]_x^{+\infty} - \int_x^{+\infty} \frac{-e^{-t}}{-t^2} dt \\ &= \frac{e^{-x}}{x} - \int_x^{+\infty} \frac{e^{-t}}{t^2} dt \\ &= \frac{e^{-x}}{x} - \left( \left[ \frac{-e^{-t}}{t^2} \right]_x^{+\infty} - \int_x^{+\infty} \frac{-2e^{-t}}{-t^3} dt \right) \\ &= \frac{e^{-x}}{x} - \frac{e^{-x}}{x^2} + \int_x^{+\infty} \frac{2e^{-t}}{t^3} dt \\ &= \dots \\ &= e^{-x} \left( \frac{1}{x} - \frac{1}{x^2} + \frac{2}{x^3} + \dots + \frac{(-1)^n n!}{x^{n+1}} \right) - \int_x^{+\infty} \frac{(-1)^n (n+1)! e^{-t}}{t^{n+2}} dt \\ &= S(x) + R(x) \end{aligned}$$

où

$$S(x) = e^{-x} \left( \frac{1}{x} - \frac{1}{x^2} + \frac{2}{x^3} + \dots + \frac{(-1)^n n!}{x^{n+1}} \right), \quad R(x) = - \int_x^{+\infty} \frac{(-1)^n (n+1)! e^{-t}}{t^{n+2}} dt \quad (52)$$

Le développement en séries est divergent puisque pour  $x > 0$  fixé et  $n$  tendant vers l'infini

$$\lim_{n \rightarrow +\infty} \frac{n!}{x^{n+1}} = +\infty$$

mais si  $x$  est grand, au début la série semble converger, de manière très rapide :

$$\frac{1}{x} \gg \frac{1}{x^2} \gg \frac{2}{x^3}$$

On peut utiliser  $S(x)$  comme valeur approchée de  $f(x)$  pour  $x$  grand si on sait majorer  $R(x)$  par un nombre suffisamment petit. On a

$$|R(x)| \leq \int_x^{+\infty} \frac{(n+1)! e^{-t}}{t^{n+2}} dt = \frac{(n+1)! e^{-x}}{x^{n+2}}$$

On retrouve une majoration du type de celle des séries alternées, l'erreur relative est inférieure à la valeur absolue du dernier terme sommé divisé par  $e^{-x}/x$ . Pour  $x$  fixé assez grand, il faut donc trouver un rang  $n$ , s'il en existe un, tel que  $(n+1)!/x^{n+1} < \epsilon$  où  $\epsilon$  est la précision relative que l'on s'est fixée. Par exemple, si  $x \geq 100$ ,  $n = 11$  convient pour  $\epsilon = 12!/100^{12} = 5e - 16$  (à peu près la précision relative d'un "double"). Ceci permet d'avoir une approximation de la fonction avec une bonne précision et peu de calculs, mais contrairement aux séries entières, il n'est pas possible d'améliorer cette précision de manière arbitraire en poussant le développement plus loin, il y a une précision maximale possible (qui dépend de  $x$ ).

Ce type de développement asymptotique peut être effectué pour d'autres fonctions du même type, par exemple

$$\int_x^{+\infty} e^{-t^2} dt, \quad \int_x^{+\infty} \frac{\sin(t)}{t} dt, \quad \dots$$

### Digression : calcul approché de la constante d'Euler $\gamma$

On peut montrer que

$$\lim_{n \rightarrow +\infty} u_n, \quad u_n = \sum_{k=1}^n \frac{1}{k} - \ln(n) \quad (53)$$

existe (par exemple en cherchant un équivalent de  $u_{n+1} - u_n$  qui vaut  $\frac{-1}{2n^2}$ ) et on définit  $\gamma$  comme sa limite. Malheureusement, la convergence est très lente et cette définition n'est pas applicable pour obtenir la valeur de  $\gamma$  avec une très grande précision. Il y a un lien entre  $\gamma$  et la fonction exponentielle intégrale, plus précisément lorsque  $x \rightarrow 0$ ,  $f(x)$  admet une singularité en  $-\ln(x)$ , plus précisément  $f(x) + \ln(x)$  admet un développement en séries (de rayon de convergence  $+\infty$ ), car :

$$\begin{aligned} f(x) + \ln(x) &= \int_x^1 \frac{e^{-t} - 1}{t} dt + \int_1^{+\infty} \frac{e^{-t}}{t} dt \\ &= \int_0^1 \frac{e^{-t} - 1}{t} dt + \int_1^{+\infty} \frac{e^{-t}}{t} dt - \int_0^x \frac{e^{-t} - 1}{t} dt \end{aligned}$$

Que vaut la constante du membre de droite :

$$C = \int_0^1 (e^{-t} - 1) \frac{1}{t} dt + \int_1^{+\infty} e^{-t} \frac{1}{t} dt$$

Il se trouve que  $C = -\gamma$  (voir plus bas une démonstration condensée) et donc :

$$\gamma = \int_0^x \frac{1 - e^{-t}}{t} dt - f(x) - \ln(x) \quad (54)$$

Pour obtenir une valeur approchée de  $\gamma$ , il suffit donc de prendre un  $x$  assez grand pour pouvoir calculer  $f(x)$  par son développement asymptotique à la précision requise, puis de calculer l'intégrale du membre de droite par le développement en séries en  $x = 0$  (en utilisant une précision intermédiaire plus grande puisque ce développement en séries va sembler diverger au début avant de converger pour  $n$  suffisamment grand). Par exemple, on pose  $x = 13$ , on calcule  $f(13)$  par (52) avec  $n = 13$  (qui correspond au moment où le terme général de la série est minimum puisque le rapport de deux termes successifs est en  $n/x$ ) et une erreur absolue inférieure à  $e^{-13}13!/13^{14} = 4e - 12$

$$f(13) \approx \exp(-13) * \text{sum}((-1)^n * n! / 13.^{(n+1)}, n=0..13)$$

puis on remplace dans (54), avec

$$\int_0^x \frac{1 - e^{-t}}{t} dt = \sum_{n=0}^{\infty} (-1)^n \frac{x^{n+1}}{(n+1)(n+1)!}$$

dont on obtient une valeur approchée, en faisant la somme jusqu'au rang 49 (pour lequel le terme général est de l'ordre de  $1e-12$ ), le reste de cette somme  $R_{50}$  est positif et est inférieur à  $(-1)^{50} * 13.^{51/51/51!}$  qui est de l'ordre de  $8e-12$

$$\text{evalf}(\text{sum}((-1)^n * 13.^{(n+1)} / (n+1) / (n+1)!, n=0..49))$$

La somme argument de evalf étant exacte, il n'y a pas de problèmes de perte de précision, on peut aussi faire les calculs intermédiaires en arithmétique approchée, on doit alors prendre 4 chiffres significatifs de plus pour tenir compte de la valeur du plus grand terme sommé dans la série, terme que l'on détermine par exemple par

$$\text{seq}(13.^{(n+1)} / (n+1) / (n+1)!, n=0..20)$$

ce terme vaut  $13^{11}/11/11!$  soit 4000 environ)

$$\text{Digits}:=16; \text{sum}((-1)^n * 13.^{(n+1)} / (n+1) / (n+1)!, n=0..49)$$

On obtient finalement comme valeur approchée de  $\gamma$

$$-\exp(-13) * \text{sum}((-1)^n * n! / 13.^{(n+1)}, n=0..13) - \ln(13) + \text{sum}((-1)^n * 13.^{(n+1)} / (n+1) / (n+1)!, n=0..49)$$

soit 0.577215664897 avec une erreur inférieure à  $1.2e-11$ . Bien entendu, cette méthode est surtout intéressante si on veut calculer un grand nombre de décimales de la constante d'Euler, sinon on peut par exemple appliquer la méthode d'accélération de Richardson à la suite convergente (53) qui définit  $\gamma$  ou d'autres méthodes d'accélération (en transformant par exemple la série en série alternée). On calcule alors de deux manières différentes  $f(x)$  pour  $x$  plus grand (déterminé par la précision qu'on peut obtenir par le développement asymptotique de  $f$ ).

On peut calculer  $\pi$  de la même manière avec le développement en séries et asymptotique de la fonction sinus intégral (on remplace exponentielle par sinus dans la définition de  $f$ ) et l'égalité (dont un schéma de preuve est aussi donné plus bas)

$$\int_0^{+\infty} \frac{\sin(t)}{t} dt = \frac{\pi}{2} \quad (55)$$

**Calcul de  $C$  (et preuve de (55)) :**

Pour cela on effectue une intégration par parties, cette fois en intégrant  $1/t$  et en dérivant l'exponentielle (moins 1 dans la première intégrale).

$$\begin{aligned} C &= \int_0^1 (e^{-t} - 1) \frac{1}{t} dt + \int_1^{+\infty} e^{-t} \frac{1}{t} dt \\ &= [(e^{-t} - 1) \ln(t)]_0^1 + \int_0^1 \ln(t) e^{-t} dt + [e^{-t} \ln(t)]_1^{+\infty} + \int_1^{+\infty} \ln(t) e^{-t} dt \\ &= \int_0^{+\infty} \ln(t) e^{-t} dt \end{aligned}$$

Pour calculer cette intégrale, on utilise l'égalité (qui se démontre par récurrence en faisant une intégration par parties) :

$$n! = \int_0^{+\infty} t^n e^{-t} dt$$

On va à nouveau intégrer par parties, on intègre un facteur multiplicatif 1 et on dérive l'intégrand, on simplifie, puis on intègre  $t$  et on dérive l'autre terme, puis  $t^2/2$ , etc.

$$\begin{aligned} C &= [te^{-t} \ln(t)]_0^{+\infty} - \int_0^{+\infty} te^{-t} \left(\frac{1}{t} - \ln(t)\right) dt \\ &= 0 - \int_0^{+\infty} e^{-t} dt + \int_0^{+\infty} te^{-t} \ln(t) dt \\ &= -1 + \left[\frac{t^2}{2} e^{-t} \ln(t)\right]_0^{+\infty} - \int_0^{+\infty} \frac{t^2}{2} e^{-t} \left(\frac{1}{t} - \ln(t)\right) dt \\ &= -1 - \int_0^{+\infty} \frac{t}{2} e^{-t} dt + \int_0^{+\infty} \frac{t^2}{2} e^{-t} \ln(t) dt \\ &= -1 - \frac{1}{2} + \int_0^{+\infty} \frac{t^2}{2} e^{-t} \ln(t) dt \\ &= \dots \\ &= -1 - \frac{1}{2} - \dots - \frac{1}{n} + \int_0^{+\infty} \frac{t^n}{n!} e^{-t} \ln(t) dt \\ &= -1 - \frac{1}{2} - \dots - \frac{1}{n} + \ln(n) + I_n \end{aligned}$$

où

$$I_n = \int_0^{+\infty} \frac{t^n}{n!} e^{-t} (\ln(t) - \ln(n)) dt$$

Pour déterminer  $I_n$  on fait le changement de variables  $t = nu$

$$\begin{aligned} I_n &= \int_0^{+\infty} \frac{(nu)^n}{n!} e^{-nu} \ln(u) n du \\ &= \frac{n^{n+1}}{n!} \int_0^{+\infty} e^{n(\ln(u)-u)} \ln(u) du \end{aligned}$$

Or en faisant le même changement de variables  $t = nu$  :

$$n! = \int_0^{+\infty} t^n e^{-t} dt = n^{n+1} \int_0^{+\infty} e^{n(\ln(u)-u)} du$$

Donc

$$I_n = \frac{\int_0^{+\infty} e^{n(\ln(u)-u)} \ln(u) du}{\int_0^{+\infty} e^{n(\ln(u)-u)} du}$$

Lorsque  $n$  tend vers l'infini, on peut montrer que  $I_n \rightarrow 0$ , en effet les intégrales sont équivalentes à leur valeur sur un petit intervalle autour de  $u = 1$ , point où l'argument de l'exponentielle est maximal, et comme l'intégrand du numérateur a une amplitude  $\ln(u)$  qui s'annule en  $u = 1$ , il devient négligeable devant le dénominateur. Finalement on a bien  $C = -\gamma$ .

On peut remarquer qu'en faisant le même calcul que  $C$  mais en remplaçant  $e^{-t}$  par  $e^{-\alpha t}$  pour  $\Re(\alpha) > 0$ , donne  $\lim I_n = -\ln(\alpha)$  (car le point critique où la dérivée de la phase s'annule est alors  $1/\alpha$ ). Ceci peut aussi se vérifier pour  $\alpha$  réel en faisant le changement de variables  $\alpha t = u$

$$\int_0^1 (e^{-\alpha t} - 1) \frac{1}{t} dt + \int_1^{+\infty} e^{-\alpha t} \frac{1}{t} dt = -\gamma - \ln(\alpha)$$

En faisant tendre  $\alpha$  vers  $-i$ ,  $-\ln(\alpha)$  tend vers  $\ln(i) = i\frac{\pi}{2}$  et on obtient

$$\int_0^1 (e^{it} - 1) \frac{1}{t} dt + \int_1^{+\infty} e^{it} \frac{1}{t} dt = -\gamma + i\frac{\pi}{2}$$

dont la partie imaginaire nous donne (55), et la partie réelle une autre identité sur  $\gamma$  faisant intervenir la fonction cosinus intégral.

## 18 La transformée de Fourier discrète.

### 18.1 Définition et propriétés

Soit  $N$  un entier fixé. Une suite  $x$  périodique de période  $N$  est déterminée par le vecteur  $x = [x_0, x_1, \dots, x_{N-1}]$ . La transformée de Fourier discrète (DFT) notée  $F_N$  fait correspondre à une suite  $x$  périodique de période  $N$  une autre suite  $y$  périodique de période  $N$ , définie pour  $k = 0..N-1$  par :

$$(F_N(x))_k = y_k = \sum_{j=0}^{N-1} x_j \omega_N^{-k \cdot j},$$

où  $\omega_N$  est une racine  $N$ -ième primitive de l'unité, on prend  $\omega = e^{\frac{2i\pi}{N}}$  si  $x$  est à coefficients réels ou complexes.

On observe que si la suite  $x$  est la suite des valeurs d'une fonction périodique  $f$  sur une discrétisation de la période, alors la transformée de Fourier discrète est la suite des valeurs approchées des coefficients de Fourier obtenus en appliquant la méthode des trapèzes sur cette discrétisation.

Cette transformation est linéaire, la transformée de la somme de 2 suites est la somme des transformées, et la transformée du produit par une constante d'une suite est le produit par cette constante de la transformée de la suite.

La transformée de Fourier discrète  $F_N$  est une transformation bijective dont la réciproque est donnée par :

$$F_N^{-1} = \frac{1}{N} \overline{F_N}, \quad (F_N^{-1}(y))_k = \frac{1}{N} \sum_{j=0}^{N-1} y_j \omega_N^{k \cdot j}$$

On le prouve en remplaçant  $y$  par sa valeur :

$$\begin{aligned}
(F_N^{-1}(y))_k &= \frac{1}{N} \sum_{j=0}^{N-1} \sum_{l=0}^{N-1} x_l \omega_N^{-j \cdot l} \omega_N^{k \cdot j} \\
&= \frac{1}{N} \sum_{j=0}^{N-1} \sum_{l=0}^{N-1} x_l \omega_N^{j(k-l)} \\
&= \frac{1}{N} \sum_{l=0}^{N-1} x_l \sum_{j=0}^{N-1} (\omega_N^{(k-l)})^j \\
&= \frac{1}{N} \sum_{l=0}^{N-1} x_l \begin{cases} \frac{1 - (\omega_N^{(k-l)})^N}{1 - \omega_N^{(k-l)}} & \text{si } \omega_N^{(k-l)} \neq 1 \\ N & \text{si } \omega_N^{(k-l)} = 1 \end{cases}
\end{aligned}$$

Or si  $\omega_N^{k-l} = e^{2i\pi(k-l)/N} = 1$  si et seulement si  $k = l$  d'où le résultat.

### Propriété

La transformée de Fourier discrète d'une suite réelle vérifie  $y_{N-k} = \overline{y_k}$ .

La preuve est immédiate en appliquant la définition.

Un des intérêts de la DFT est de mettre en évidence rapidement d'éventuelles périodicités de  $x$  divisant  $N$ . Plus précisément soit  $j$  est un entier divisant  $N$ . Considérons une suite réelle  $x$  dont la DFT  $y$  est nulle sauf  $y_l$  et  $y_{N-l}$ . Par linéarité, on peut se ramener à 2 cas  $y_l = y_{N-l} = 1$  et  $y_l = i, y_{N-l} = -i$ . Dans le premier cas, on obtient  $x_k = \omega_N^{lk} + \omega_N^{-lk} = 2 \cos(2\pi kl/N)$ , dans le deuxième cas, on obtient  $x_k = -2 \sin(2\pi kl/N)$ , qui sont périodiques de période  $N/l$ .

Réciproquement, si  $x$  a comme période  $T = N/l$ , alors en posant  $j = Tm + r$  avec  $m \in [0, l[$  et  $r \in [0, T - 1]$ , on a  $x_j = x_r$  donc :

$$\begin{aligned}
y_k &= \sum_{j=0}^{N-1} x_j \omega_N^{-k \cdot j} \\
&= \sum_{m=0}^{l-1} \sum_{r=0}^{T-1} x_r \omega_N^{-k(Tm+r)} \\
&= \sum_{r=0}^{T-1} x_r \sum_{m=0}^{l-1} \omega_N^{-k(Tm+r)} \\
&= \sum_{r=0}^{T-1} x_r \omega_N^{-kr} \sum_{m=0}^{l-1} (\omega_N^{-kT})^m \\
&= \sum_{r=0}^{T-1} x_r \omega_N^{-kr} \frac{1 - (\omega_N^{-kT})^l}{1 - \omega_N^{-kT}}
\end{aligned}$$

si  $\omega_N^{-kT} \neq 1$ . Comme  $(\omega_N^{-kT})^l = \omega_N^{-klT} = 1$ ,  $y_k = 0$  si  $kT = kN/l$  n'est pas un multiple de  $N$ . Finalement si  $k$  n'est pas un multiple de  $l$ , alors  $y_k = 0$ .

Voyons maintenant le cas de "pseudo-périodes", supposons donc que  $x$  est périodique de période  $N$  mais que de plus pour un  $T > 0$  quelconque (ne divisant pas forcément  $N$ ), on ait

$$x_{j+T} = x_j, \quad \forall j \in [0, N - T]$$



On peut refaire le raisonnement ci-dessus, modulo des erreurs. plus précisément :

$$y_k - \sum_{j=N}^{\text{ceil}(N/T)T} x_j \omega_N^{-k \cdot j} = \sum_{m=0}^{\text{ceil}(N/T)-1} \sum_{r=0}^{T-1} x_r \omega_N^{-k(Tm+r)}$$

On calcule donc  $y_k$  à une erreur de  $\text{ceil}(N/T)T - N$  termes majorés par  $|x_j|$  près. Et le membre de droite vaudra :

$$\sum_{r=0}^{T-1} x_r \omega_N^{-kr} \frac{1 - \omega_N^{-k \text{ceil}(N/T)T}}{1 - \omega_N^{-kT}}$$

Le module de la fraction est égal à

$$\left| \frac{\sin(\pi k \text{ceil}(N/T)T/N)}{\sin(\pi kT/N)} \right| = \left| \frac{\sin(\pi k(\text{ceil}(N/T)T/N - 1))}{\sin(\pi kT/N)} \right|$$

il est petit si  $k$  n'est pas proche d'un multiple de  $\text{ceil}(N/T)$ . Par exemple, prenons  $N = 2^{16} = 65536$  et  $T \approx N/10 = 6554$ . Dans ce cas  $\text{ceil}(N/T)T = 10 \times 6554 = 65540$ , il y a donc une erreur de 4 termes sur le calcul de  $y_k$ . Si  $k$  n'est pas proche d'un multiple de 10, on doit trouver  $y_k$  proche de 0 relativement à la valeur des  $|x_j|$ .

Les périodes et pseudo-périodes de  $x$  correspondent donc aux valeurs de  $y_k$  grandes par la règle  $k * \text{période} = N$ .

## 18.2 La transformée de Fourier rapide

Le calcul de la DFT est relativement lent, il nécessite de l'ordre de  $N^2$  opérations, car il revient à calculer la valeur du polynôme de degré  $N - 1$  :

$$P(X) = \sum_{j=0}^{N-1} x_j X^j$$

aux  $N$  points  $1, \omega_N, \dots, \omega_N^{N-1}$  (on a  $y_k = P(\omega_N^k)$ ). Mais si  $N$  est une puissance de 2, on peut calculer de manière plus astucieuse et réduire le nombre d'opérations à un ordre  $N \ln(N)$ . En effet  $N = 2M$ , on découpe  $P$  en 2 parties de même longueur :

$$P(x) = x^M Q(X) + R(X)$$

on a alors

$$P(\omega^{2k}) = (Q+R)((\omega^2)^k), \quad P(\omega^{2k+1}) = (-Q+R)_\omega((\omega^2)^k) \quad S_\omega(x) = \sum s_k \omega^k x^k$$

On est donc ramené à deux additions de 2 polynômes de degré  $M$ , une multiplication coefficient par puissances ( $4M$  opérations), et au calcul des deux DFT de  $Q + R$  et  $R - Q$ . Si  $N = 2^n$  on vérifie que cela nécessite  $O(n2^n)$  opérations, donc  $N \ln(N)$  opérations. On appelle alors FFT cette méthode de calcul (DFT=FFT si  $N2^n$ ). Elle se généralise à des  $N$  qui ne sont pas des puissances de 2.

### 18.3 Applications.

La DFT peut servir à trouver des périodes dans des données expérimentales datées. On peut par exemple le voir sur des enregistrements de son (par exemple avec le logiciel libre `audacity`), mais dans bien d'autres domaines, par exemple si on l'applique aux données issues des paléoclimats, on voit apparaître les périodicités des paramètres orbitaux de la Terre, en phase avec la théorie de Milankovitch.

En calcul exact, la FFT permet d'obtenir une complexité optimale pour calculer des produits de grands entiers ou de polynômes en une variable. Voir par exemple la session `multfft` du menu Aide, Exemples, arit de Xcas.

## 19 Le rayonnement solaire.

### 19.1 L'insolation au cours de l'année.

Pour connaître la quantité d'énergie recue à un moment donné, il faut calculer l'angle entre la verticale du lieu et la direction du Soleil. Plus généralement, on va calculer les composantes du vecteur Terre-Soleil et les composantes des vecteurs de la base locale (verticale locale, direction du Sud et direction du parallèle). On choisit d'abord comme référence le plan  $Txy$  de l'écliptique (plan de l'orbite de la Terre autour du Soleil), avec  $Ty$  orthogonal à l'axe de rotation de la Terre (donc  $Tx$  la projection de l'axe de rotation de la Terre sur ce plan). Soit  $\theta$  l'angle que fait la Terre avec la direction du passage au périhélie, et  $\theta_0$  l'angle de la position de la Terre au solstice d'hiver avec la direction du périhélie, l'angle entre la direction Terre-Soleil et  $Tx$  est donc  $\theta - \theta_0$

Dans  $Txyz$  le vecteur unitaire  $s$  de la direction Terre-Soleil a pour coordonnées :

$$s = -(\cos(\theta - \theta_0), \sin(\theta - \theta_0), 0)$$

On effectue ensuite une rotation autour de  $Ty$  d'angle  $i$  l'inclinaison de l'axe de rotation de la Terre. On obtient ainsi un repère  $TXyZ$  ( $TX$  et  $TZ$  se déduisent de  $Tx$  et  $Tz$  par rotation d'angle  $i$ ). Dans ce repère le vecteur unitaire  $s$  a pour coordonnées :

$$s = -(\cos(\theta - \theta_0) \cos(i), \sin(\theta - \theta_0), \cos(\theta - \theta_0) \sin(i))$$

Calculons maintenant dans ce repère  $TXyZ$  les coordonnées des vecteurs de la base locale. On se place en un point de latitude  $l$  et de longitude  $\phi$ , on note  $J$  la durée d'une période de révolution de la Terre sur elle-même (23 heures 56 minutes, c'est un peu moins d'un jour car il faut encore en moyenne 4 minutes pour compenser le déplacement de la Terre sur son orbite autour du Soleil). La verticale locale a pour coordonnées :

$$v = (\cos(l) \cos(\phi + 2\pi t/J), \cos(l) \sin(\phi + 2\pi t/J), \sin(l))$$

L'énergie solaire recue au lieu donné (sur une surface horizontale ; pour un panneau solaire, il faudrait calculer les coordonnées d'un vecteur perpendiculaire au panneau) est proportionnelle à

$$\frac{s \cdot v}{\rho^2}$$

où  $\rho(\theta) = a(1 - e^2)/(1 + e \cos(\theta))$  désigne la distance Terre-Soleil. Le calcul de  $s.v$  donne, en notant  $\varphi = \phi + 2\pi t/J$  :

$$-s.v = \cos(l) \cos(\varphi) \cos(\theta - \theta_0) \cos(i) + \cos(l) \sin(\varphi) \sin(\theta - \theta_0) + \sin(l) \cos(\theta - \theta_0) \sin(i)$$

On rassemble les deux premiers termes qui dépendent rapidement du temps par l'intermédiaire de  $\varphi$  (le 3ème terme n'en dépend que par  $\theta$  qui ne varie que d'environ 1 degré pendant une journée) et on applique la formule de trigonométrie :

$$A \cos \alpha + B \sin \alpha = \sqrt{A^2 + B^2} \cos(\alpha - \alpha_0), \quad \begin{cases} \cos(\alpha_0) = \frac{A}{\sqrt{A^2 + B^2}} \\ \sin(\alpha_0) = \frac{B}{\sqrt{A^2 + B^2}} \end{cases}$$

Ici, après avoir factorisé  $\cos(l)$ , on a :

$$\sqrt{A^2 + B^2} = \sqrt{\cos(\theta - \theta_0)^2 \cos(i)^2 + \sin(\theta - \theta_0)^2} = \sqrt{1 - \sin(i)^2 \cos(\theta - \theta_0)^2}$$

On peut aussi calculer

$$\tan(\alpha_0) = \frac{B}{A} = \frac{\tan(\theta - \theta_0)}{\cos(i)}$$

qui donne  $\alpha_0$  modulo  $\pi$  et compléter en regardant le quadrant où se trouve  $(A, B)$ , ici  $\alpha_0$  et  $\theta - \theta_0$  sont tous deux dans  $[0, \pi]$  ou tous deux dans  $[-\pi, 0]$ . Finalement, on obtient le

**Théorème 34** *L'énergie solaire recue au sol est proportionnelle à*

$$(1 + e \cos(\theta))^2 s.v$$

où  $s.v$  est donné par :

$$s.v = -\cos(l) \sqrt{1 - \sin(i)^2 \cos(\theta - \theta_0)^2} \cos(\varphi - \varphi_0) - \sin(l) \cos(\theta - \theta_0) \sin(i)$$

et

- $e$  est l'excentricité de l'orbite elliptique (environ 0.0167 actuellement)
- $i$  est l'obliquité (inclinaison de l'axe de rotation de la Terre, environ 23 degré 27 minutes actuellement)
- $\theta$  est l'angle fait par la direction Terre-Soleil avec la direction du demi grand axe (Soleil-périhélie),  $\theta_0$  le même angle au solstice d'hiver de l'hémisphère Nord (environ -13 degrés). En première approximation, on peut faire varier  $\theta$  proportionnellement au temps, voir la fin de la section 19.6 pour un calcul plus précis.
- $l$  est la latitude,  $\varphi$  la longitude tenant compte de la rotation de la Terre (somme de la longitude géographique  $\phi$  et du terme dépendant du temps  $2\pi t/J$ )
- $\varphi_0 \in [-\pi, \pi]$  est de même signe que  $\theta - \theta_0$  et est défini par :

$$\tan \varphi_0 = \frac{\tan(\theta - \theta_0)}{\cos(i)} \quad (56)$$

### Variations de $s.v$ au cours d'une journée dans l'approximation où $\theta$ ne varie pas :

On obtient une sinusoïde entre les deux valeurs extrêmes :

$$\pm \cos(l) \sqrt{1 - \sin(i)^2 \cos(\theta - \theta_0)^2} - \sin(l) \cos(\theta - \theta_0) \sin(i)$$

Le maximum est atteint pour

$$\varphi = \varphi_0 + \pi \Rightarrow 2\pi t/J = \varphi_0 - \phi + \pi, \quad J = 23h56m$$

le moment correspondant est appelé culmination (c'est le midi solaire si le maximum est positif) et ne dépend pas de la latitude (bien entendu la valeur du maximum en dépend). Si le maximum est négatif ou nul, la nuit dure 24h. Si le minimum est positif ou nul, le jour dure 24h. Par exemple au solstice d'hiver,  $\theta = \theta_0$ , selon la latitude on obtient un maximum négatif pour  $l = \pi/2$  (pôle Nord), positif pour  $l = -\pi/2$  (pôle Sud), le minimum et le maximum croissent entre ces 2 valeurs. Si le maximum est positif et le minimum est négatif, il y a 2 instants où  $s.v = 0$  (lever et coucher du soleil).

L'énergie solaire recue pendant une journée par une surface horizontale est proportionnelle à l'intégrale entre le lever et le coucher de  $s.v/\rho^2$ . S'il n'y a pas de lever/coucher, soit on ne reçoit rien (nuit polaire), soit on reçoit l'intégrale entre 0 et 24h de  $s.v$  (jour polaire).

L'intervalle entre 2 culminations n'est pas constant au cours de l'année, car  $\varphi_0$  n'est pas une fonction linéaire de  $\theta$  (qui lui même n'est pas linéaire en fonction du temps sauf en première approximation avec une orbite terrestre circulaire). On peut le calculer en dérivant (56). Par exemple dans l'approximation d'une excentricité nulle, au solstice d'hiver ( $\theta = \theta_0$ ), on obtient

$$\varphi_0 = 0, \quad (1 + 0^2)d\varphi_0 = (1 + 0^2)\frac{d\theta}{\cos(i)}$$

avec  $d\theta$  qui correspond à 4 minutes, on trouve  $d\varphi_0$  correspondant à 4.36 minutes. L'écart entre 2 culminations est donc d'environ 24h 20secondes. Au moment du solstice, le Soleil se lève et se couche donc environ 20 secondes plus tard entre un jour et son lendemain, dans l'hypothèse d'un mouvement circulaire de la Terre autour du Soleil. En réalité, l'orbite terrestre étant faiblement elliptique, l'écart est un peu moins de 30 secondes en hiver et de 15 secondes en été, le mouvement de la Terre autour du Soleil étant plus rapide d'environ 3% au solstice d'hiver et moins rapide d'environ 3% au solstice d'été. Comme 3% de l'écart moyen entre 2 culminations (4 minutes=240 secondes) correspond à 7 secondes cela explique la différence.

## 19.2 Les saisons

Les solstices sont définis par les 2 points de l'orbite où la projection de l'axe de rotation terrestre est parallèle à l'axe Terre-Soleil. Les équinoxes sont définis par les 2 points où il y a perpendicularité. Au solstice d'hiver, on voit que les parallèles situés aux hautes latitudes Nord ne sortent jamais de l'obscurité. Aux latitudes intermédiaires, le morceau de parallèle situé au jour est nettement plus petit que celui situé dans l'obscurité. À l'équinoxe de printemps, chaque parallèle est à moitié au jour et à moitié dans l'obscurité (derrière la grille). Au printemps, la situation est analogue. Au solstice d'été, on est dans la situation inverse de l'hiver.

### 19.3 L'orbite de la Terre.

En première approximation, l'orbite de la Terre est uniquement influencée par la force de gravitation entre la Terre et le Soleil, ce dernier pouvant être considéré comme fixe en raison de sa masse (on peut éviter cette approximation en remplaçant le Soleil par le centre de gravité du système Terre-Soleil). La force de gravitation qui dérive d'un potentiel inversement proportionnel à la distance Terre-Soleil est de la forme

$$\mathbf{F}' = \frac{\mathbf{F}}{m_T} = K \frac{\mathbf{r}}{r^3}, \quad K = -\mu < 0$$

où  $\mathbf{r}$  désigne le vecteur Terre-Soleil,  $m_T$  est la masse de la Terre,  $\mu = Gm_S$  est le produit de la constante de gravitation universelle par la masse du Soleil. Le moment cinétique de la rotation de la Terre autour du Soleil est défini par :

$$\mathbf{L} = \mathbf{r} \wedge \frac{d\mathbf{r}}{dt}$$

On vérifie que sa dérivée est nulle, donc  $\mathbf{L}$  garde une direction fixe  $\mathbf{k}$ , orthogonale à  $\mathbf{r}$ , l'orbite de la Terre reste donc dans le plan défini à un instant donné par l'axe Terre-Soleil et le vecteur vitesse de la Terre. De plus la conservation de  $\mathbf{L}$  entraîne la loi des aires, l'aire balayée par le rayon Soleil-Terre est proportionnelle au temps.

On utilise un repère en coordonnées polaires centré au Soleil,  $\rho$  désignant la distance Terre-Soleil et  $\theta$  l'angle fait par rapport à une direction fixe, on a alors

$$\mathbf{L} = \rho^2 \frac{d\theta}{dt} \mathbf{k}$$

car si on calcule en coordonnées polaires  $d\mathbf{r}/dt$ , la composante sur le vecteur radial  $\mathbf{e}_r$  est  $d\rho/dt$ , et la composante sur le vecteur perpendiculaire  $\mathbf{e}_\theta$  est  $\rho d\theta/dt$ .

#### 19.3.1 Calcul en utilisant le vecteur excentricité.

Montrons que le vecteur

$$\mathbf{E} = \frac{1}{\mu} \frac{d\mathbf{r}}{dt} \wedge \mathbf{L} - \frac{\mathbf{r}}{\rho}$$

est aussi conservé (où on rappelle que  $\mu$  provient de la force de gravitation  $\mathbf{F}' = \mathbf{F}/m_T = -\mu\mathbf{r}/r^3$ ). Le deuxième terme est proportionnel au vecteur radial  $-\mathbf{e}_r$ , dont la dérivée est le vecteur orthogonal  $-d\theta/dt \mathbf{e}_\theta$ . Comme  $\mathbf{L}$  est constant, la dérivée du premier terme est

$$\frac{1}{\mu} \mathbf{F}' \wedge \mathbf{L} = \frac{-\mathbf{e}_r}{\rho^2} \wedge L\mathbf{k} = \frac{L}{\rho^2} \mathbf{e}_\theta = -\frac{d\theta}{dt} \rho^2$$

Notons que  $\mathbf{E}$  est dans le plan de l'orbite, prenons comme origine des angles pour repérer la Terre par rapport au Soleil la direction de  $\mathbf{E}$ . En faisant le produit

scalaire de  $\mathbf{E}$  avec  $\mathbf{r}$ , on obtient en notant  $e$  la norme de  $E$

$$\begin{aligned}
 e\rho \cos(\theta) &= \mathbf{E} \cdot \mathbf{r} \\
 &= \left( \frac{1}{\mu} \frac{d\mathbf{r}}{dt} \wedge \mathbf{L} - \frac{\mathbf{r}}{\rho} \right) \cdot \mathbf{r} \\
 &= \left( \frac{1}{\mu} \frac{d\mathbf{r}}{dt} \wedge \mathbf{L} \right) \cdot \mathbf{r} - \rho \\
 &= \frac{1}{\mu} (\mathbf{r} \wedge \frac{d\mathbf{r}}{dt}) \cdot \mathbf{L} - \rho \\
 &= \frac{1}{\mu} \mathbf{L} \cdot \mathbf{L} - \rho \\
 &= \frac{L^2}{\mu} - \rho
 \end{aligned}$$

d'où :

$$\rho = \frac{L^2}{\mu(1 + e \cos(\theta))}$$

### 19.3.2 Calcul par l'équation différentielle.

On a les équations de conservation de l'énergie et du moment cinétique :

$$\frac{K}{\rho} + \frac{m}{2} \left( \left( \frac{d\rho}{dt} \right)^2 + \left( \rho \frac{d\theta}{dt} \right)^2 \right) = C_1, \quad \rho^2 \frac{d\theta}{dt} = L, \quad K < 0, m > 0$$

On change de variable dépendante pour  $\rho$ , en prenant  $\theta$  au lieu de  $t$ , comme  $\frac{d\rho}{dt} = \rho' \frac{d\theta}{dt}$  (où  $\rho' = \frac{d\rho}{d\theta}$ ), on a :

$$\frac{K}{\rho} + \frac{m}{2} \left( (\rho'^2 + \rho^2) \left( \frac{L}{\rho^2} \right)^2 \right) = C_1$$

On effectue ensuite le changement de variable  $\rho = 1/u$ ,  $\rho' = -u'/u^2$ , d'où :

$$Ku + \frac{m}{2} \left( \left( \frac{u'^2}{u^4} + \frac{1}{u^2} \right) L^2 u^4 \right) = C_1$$

soit :

$$Ku + \frac{mL^2}{2} (u'^2 + u^2) = C_1$$

donc :

$$K'u + u^2 + u'^2 = C_3, \quad K' = \frac{2K}{mL^2} < 0, C_3 = \frac{2C_1}{mL^2}$$

On pose maintenant  $v = u + K'/2$ , d'où :

$$v^2 + v'^2 = C_3 + \frac{K'^2}{4} = C_4$$

On montre (en exprimant  $v'$  en fonction de  $v$  puis en séparant les variables), que cette équation différentielle a pour solution générale

$$v = \sqrt{C_4} \cos(\theta - \theta_0)$$

D'où :

$$\rho = \frac{1}{u} = \frac{1}{v - \frac{K'}{2}} = \frac{1}{\sqrt{C_4} \cos(\theta - \theta_0) - \frac{K'}{2}}$$

Comme  $K' < 0$  et comme la trajectoire de la Terre autour du Soleil passe par tous les angles (donc  $\rho$  est défini pour tout  $\theta$ , le dénominateur ne peut pas s'annuler), on a :

$$\rho = \frac{\frac{2}{-K'}}{1 + e \cos(\theta - \theta_0)}, \quad e \in [0, 1[$$

On définit ensuite  $a$  par  $\frac{2}{-K'} = a(1 - e^2)$ , et on obtient finalement l'équation d'une ellipse dont l'origine (le Soleil) est un des foyers :

$$\rho = \frac{a(1 - e^2)}{1 + e \cos(\theta - \theta_0)}$$

On suppose maintenant quitte à faire pivoter l'axe des  $x$  que  $\theta_0 = 0$ .

### 19.3.3 Lois de Képler.

L'orbite de la Terre est donc une ellipse dont le Soleil occupe un des foyers (1ère loi de Képler). On a aussi vu que  $L = \rho^2 d\theta/dt$  est constant, ceci entraîne la loi des aires, infinitésimalement on a :

$$\frac{1}{2} \rho^2 d\theta = \frac{1}{2} L dt$$

ce qui se traduit par l'aire balayée par le rayon vecteur Soleil-Terre est proportionnelle au temps (2ème loi de Képler). Au cours d'une période  $T$ , l'aire parcourue est celle de l'ellipse, donc

$$\pi a^2 \sqrt{1 - e^2} = \frac{1}{2} L T$$

En prenant le carré, et en appliquant

$$\frac{L^2}{\mu} = a(1 - e^2)$$

on en déduit la troisième loi de Képler :

$$4\pi^2 a^3 = \mu T^2 \Leftrightarrow \frac{a^3}{T^2} = \frac{\mu}{4\pi^2}$$

où on rappelle que  $\mu$  est le produit de la constante de gravitation universelle par la masse du Soleil. (On peut évidemment faire le même calcul pour la Lune autour de la Terre).

## 19.4 Quelques propriétés de l'ellipse

### Définition

L'ellipse  $E$  de foyers  $F_1$  et  $F_2$  de demi-grand axe  $a$  est l'ensemble des points  $M$  du plan tels que

$$MF_1 + MF_2 = 2a$$

On note  $2c = F_1F_2$  la distance entre les deux foyers, qui doit être plus petite que  $2a$  pour que l'ellipse soit non vide. L'excentricité de l'ellipse est définie par  $e = c/a < 1$ . Si  $e = 0$ , on obtient un cercle de centre  $F_1 = F_2$  et de rayon  $a$ . Si  $e \neq 0$ , on va voir qu'il s'agit d'un cercle contracté selon l'axe perpendiculaire à  $F_1F_2$  dans un rapport de  $\sqrt{1 - e^2}$ . On va également calculer l'équation en coordonnées polaires de  $E$  pour montrer que l'équation obtenue ci-dessus est bien celle d'une ellipse dont le Soleil occupe un foyer.

Soit  $O$  le milieu de  $F_1$  et  $F_2$ , on se place dans le repère orthonormé dont le premier axe  $Ox$  contient  $F_1$  et  $F_2$  donc les coordonnées de  $F_1$  sont  $(c, 0)$  et celles de  $F_2$  sont  $(-c, 0)$ . Soit  $M(x, y)$  un point de l'ellipse, on a d'une part :

$$MF_1^2 - MF_2^2 = (x - c)^2 - (x + c)^2 = -4cx$$

et d'autre part :

$$MF_1^2 - MF_2^2 = (MF_1 + MF_2)(MF_1 - MF_2) = 2a(MF_1 - MF_2)$$

donc :

$$MF_1 - MF_2 = \frac{-2cx}{a}$$

en additionnant avec  $MF_1 + MF_2 = 2a$  et en appliquant  $c = ea$ , on en déduit :

$$MF_1 = a - \frac{cx}{a} = a - ex \quad (57)$$

En prenant le carré, on a :

$$(x - ea)^2 + y^2 = (a - ex)^2$$

d'où :

$$y^2 + x^2(1 - e^2) = a^2(1 - e^2)$$

finalement :

$$x^2 + \frac{y^2}{1 - e^2} = a^2$$

qui est bien la contraction selon  $Oy$  de rapport  $\sqrt{1 - e^2}$  du cercle de centre  $O$  et de rayon  $a$  (appelé grand cercle de l'ellipse).

En coordonnées polaires, on note  $\rho$  la distance de  $F_1$  à  $M$ , et  $\theta$  l'angle entre l'axe  $Ox$  et  $F_1M$ . L'abscisse de  $M$  est donc :

$$x = ea + \rho \cos(\theta)$$

que l'on combine avec (57) pour obtenir :

$$\rho = a - ex = a(1 - e^2) - e\rho \cos(\theta)$$

donc :

$$\rho = \frac{a(1 - e^2)}{1 + e \cos(\theta)}$$

ce qui nous permet d'affirmer que l'orbite de la Terre dans l'approximation du point matériel soumis uniquement au Soleil supposé fixe est une ellipse dont le Soleil occupe un foyer.



## 19.5 Influence de l'ellipse sur les saisons

Il faut prendre garde à ne pas confondre les solstices et équinoxes avec le moment où la Terre coupe le grand axe de son ellipse autour du Soleil. Il n'y a aucune raison que la projection de l'axe de rotation de la Terre sur le plan de l'ellipse soit parallèle ou perpendiculaire au grand axe de l'ellipse, et actuellement ce n'est pas le cas, le solstice d'hiver a lieu le 21 décembre alors que le passage au plus proche du Soleil a lieu vers le 3 janvier (donc pendant l'hiver de l'hémisphère Nord) et le passage au plus loin du Soleil a lieu début juillet (pendant l'été). C'est pour cette raison que les saisons sont moins marquées dans l'hémisphère Nord que dans l'hémisphère Sud. De plus la loi des aires oblige la Terre à se déplacer plus vite lorsqu'elle est proche du Soleil que lorsqu'elle en est éloignée ce qui diminue la durée de l'hiver boréal et augmente la durée de l'été boréal (c'est peut-être pour cette raison que février n'a que 28 jours alors que juillet et août ont 31 jours).

## 19.6 L'équation du temps, la durée des saisons.

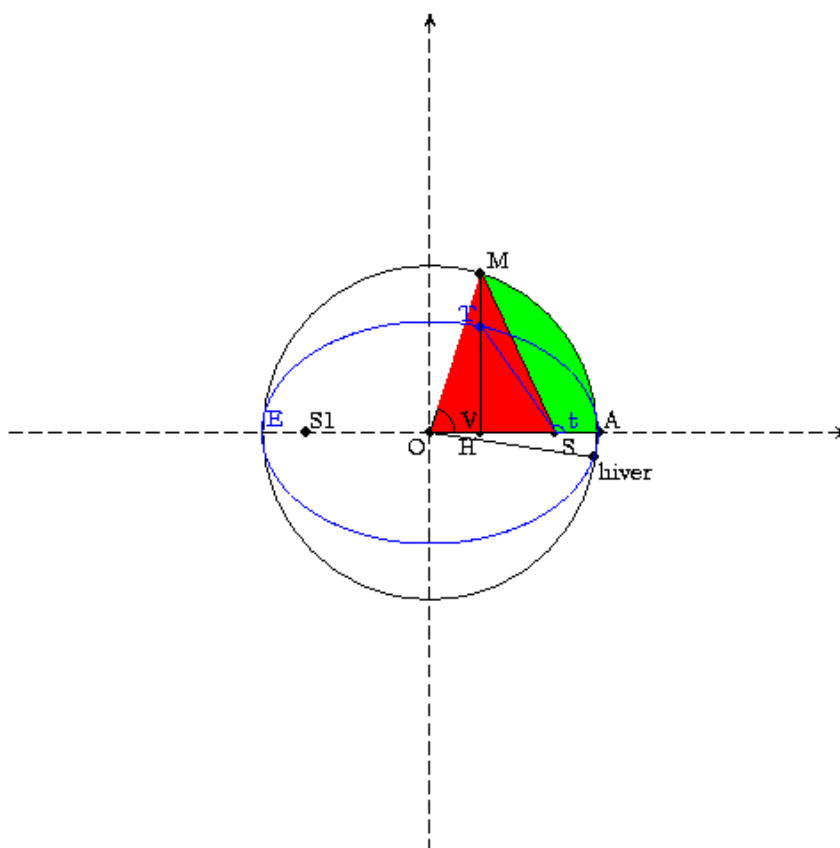


FIGURE 1 – Ellipse et équation du temps

La trajectoire elliptique  $E$  de la Terre autour du Soleil est représentée sur la figure 19.6 en bleu, l'excentricité de l'orbite a été énormément exagérée, il s'agit d'une ellipse de foyers  $S$  (le Soleil) et  $S'$ . Le point  $A$  désigne le périhélie de l'orbite (passage de la Terre au plus proche du Soleil), qui a lieu vers le 4 janvier. En noir,

on a dessiné le grand cercle de l'ellipse (l'ellipse s'obtient par contraction du grand cercle de rapport  $\sqrt{1-e^2}$  où  $e$  est l'excentricité de l'orbite). L'aire décrite par le rayon Soleil-Terre ( $ST$ ) est proportionnelle au temps (loi des aires qui découle de la conservation du moment cinétique), il en est donc de même de l'aire (en vert) décrite par le rayon  $SM$ . Si on ajoute à cette aire verte l'aire en rouge du triangle  $OSM$ , on obtient l'aire de l'arc de cercle  $OAM$ . Donc

$$\frac{1}{2}V \times OA^2 - \frac{1}{2}OS \times HM$$

est proportionnel au temps écoulé depuis le passage au périhélie. Comme  $HM = OM \sin(V)$  et  $OS = e \times OA$ , on en déduit que

$$V - e \sin(V) = Ct = 2\pi \frac{t}{T} \quad (58)$$

où la constante  $C$  s'obtient en faisant varier  $V$  de 0 à  $2\pi$  ce qui correspond à la durée  $T$  d'une révolution de la Terre autour du Soleil (1 an).

La relation entre  $\theta$  (noté  $t$  sur la figure) et  $V$  s'obtient par exemple en calculant l'abscisse de  $M$

$$\begin{aligned} x &= a \cos(V) \\ &= ea + \rho \cos(\theta) \\ &= ea + a \frac{1-e^2}{1+e \cos(\theta)} \cos(\theta) \end{aligned}$$

Les angles  $V$  et  $\theta$  sont de même signe et

$$\cos(V) = \frac{\cos(\theta) + e}{1 + e \cos(\theta)} \quad (59)$$

et réciproquement :

$$\cos(\theta) = \frac{\cos(V) - e}{1 - e \cos(V)} \quad (60)$$

#### **Durée des saisons :**

Il suffit de connaître l'angle  $\theta$  lors du solstice d'hiver et de lui ajouter  $k\pi/2$  pour  $k = 1, 2, 3$  pour connaître l'angle  $\theta$  au printemps, en été et à l'automne, on en déduit  $V$  par (59) puis le temps écoulé depuis le périhélie avec (58).

#### **Calcul de $\theta$ en fonction du temps écoulé depuis le passage au périhélie :**

Il faut calculer  $V$  par des méthodes numériques (point fixe ou méthode de Newton) en appliquant (58), on en déduit  $\theta$  avec (60). En résumé, on a le :

**Théorème 35** Soit  $\theta$  l'angle entre le demi grand axe de l'ellipse et la direction Soleil-Terre,  $t \in [-T/2, T/2]$  le temps écoulé depuis le passage au périhélie ( $t = 0$  lorsque  $\theta = 0$ ,  $T = 1$  an). Soit  $V \in [-\pi, \pi]$  la solution de

$$V - e \sin(V) = 2\pi \frac{t}{T}$$

où  $e$  est l'excentricité de l'ellipse. Alors  $\theta$  est donné par

$$\cos(\theta) = \frac{\cos(V) - e}{1 - e \cos(V)}$$

## 19.7 Les variations des paramètres orbitaux

La Terre n'est pas une sphère idéale, elle a un renflement au niveau de l'équateur, due à rotation de la Terre sur elle-même (la force centrifuge y est plus importante). Ce renflement est dans un plan qui fait un angle avec le plan de l'écliptique, le Soleil exerce donc un couple sur ce renflement. Ce phénomène est à l'origine de la précession des équinoxes, le passage au périhélie de la Terre se décale dans le temps. De plus, la Terre n'est pas seulement soumise à l'influence du Soleil, mais aussi des autres planètes, en particulier Jupiter. Cela modifie sur de très longues périodes tous les paramètres de l'orbite terrestre, en particulier l'excentricité, la précession des équinoxes, mais aussi l'obliquité (inclinaison de l'axe de rotation terrestre par rapport à la perpendiculaire au plan de l'écliptique). Le calcul de ces variations est bien au-delà des prétentions de ce texte, le lecteur intéressé pourra se référer par exemple aux publications de Laskar (chercher ce mot-clef ou des mots comme orbite, perturbation, symplectique, hamiltonien, ...). On se bornera ici à indiquer que le demi-grand axe ne varie pas, ce qui donne une relation entre les variations de la constante des aires et de l'excentricité

$$L \text{ est proportionnel à } \sqrt{1 - e^2}$$

Les variations des paramètres orbitaux modifient à long terme l'ensolaillement de la Terre (la valeur de l'énergie reçue en un lieu sur une surface horizontale  $s.v/\rho^2$  dépend de la latitude, de la position de la Terre sur son orbite mais aussi de l'excentricité de l'orbite, de l'obliquité et de la date du périhélie par rapport aux saisons) et sa répartition sur le globe par latitude, il est naturel de supposer qu'elles influent sur le climat de la Terre. Par exemple, l'énergie moyenne recue par la Terre au cours d'une période  $T$  de une année est donnée par

$$\frac{1}{T} \int_0^T \frac{dt}{\rho^2} = \frac{1}{T} \int_0^{2\pi} \frac{d\theta}{L} = \frac{2\pi}{TL}$$

est proportionnelle à  $\frac{1}{(TL)}$  donc à  $(1 - e^2)^{-1/2}$  (car  $T$  est aussi constant d'après la 3ème loi de Képler). Au premier ordre, la variation de  $e$  entraîne donc une variation de l'ensolaillement global de

$$\frac{1}{2}e^2$$

Pour la Terre, cela représente au plus 2.5 pour mille (la période la plus favorable aux glaciations étant celle où l'orbite est circulaire), soit, sans rétroactions, une variation globale de 0.2 degrés Kelvin.

## 20 La moyenne arithmético-géométrique.

La moyenne arithmético-géométrique est un processus itératif qui converge très rapidement et est très utile pour calculer les fonctions transcendantes réciproques en multi-précision. On peut alors trouver les fonctions transcendantes directes par application de la méthode de Newton.

## 20.1 Définition et convergence

Soient  $a$  et  $b$  deux réels positifs, on définit les 2 suites

$$u_0 = a, v_0 = b, \quad u_{n+1} = \frac{u_n + v_n}{2}, v_{n+1} = \sqrt{u_n v_n} \quad (61)$$

On va montrer que ces 2 suites sont adjacentes et convergent donc vers une limite commune notée  $M(a, b)$  et il se trouve que la convergence est très rapide, en raison de l'identité :

$$u_{n+1} - v_{n+1} = \frac{1}{2}(\sqrt{u_n} - \sqrt{v_n})^2 = \frac{1}{2(\sqrt{u_n} + \sqrt{v_n})^2}(u_n - v_n)^2 \quad (62)$$

la convergence est quadratique.

On suppose dans la suite que  $a \geq b$  sans changer la généralité puisque échanger  $a$  et  $b$  ne change pas la valeur de  $u_n$  et  $v_n$  pour  $n > 0$ . On a alors  $u_n \geq v_n$  (d'après (62) pour  $n > 0$ ) et  $u_{n+1} \leq u_n$  car

$$u_{n+1} - u_n = \frac{1}{2}(v_n - u_n) \leq 0$$

et  $v_{n+1} = \sqrt{u_n v_n} \geq \sqrt{v_n v_n} = v_n$ . Donc  $(u_n)$  est décroissante minorée (par  $v_0$ ),  $(v_n)$  est croissante majorée (par  $u_0$ ), ces 2 suites sont convergentes et comme  $u_{n+1} = \frac{u_n + v_n}{2}$ , elles convergent vers la même limite  $l$  qui dépend de  $a$  et  $b$  et que l'on note  $M(a, b)$ . On remarque aussi que  $M(a, b) = bM(a/b, 1) = aM(1, b/a)$ .

Précisons maintenant la vitesse de convergence lorsque  $a \geq b > 0$ . On va commencer par estimer le nombre d'itérations nécessaires pour que  $u_n$  et  $v_n$  soient du même ordre de grandeur. Pour cela, on utilise la majoration

$$\ln(u_{n+1}) - \ln(v_{n+1}) \leq \ln(u_n) - \ln(v_{n+1}) = \frac{1}{2}(\ln(u_n) - \ln(v_n))$$

donc

$$\ln \frac{u_n}{v_n} = \ln(u_n) - \ln(v_n) \leq \frac{1}{2^n}(\ln(a) - \ln(b)) = \frac{1}{2^n} \ln \frac{a}{b}$$

Donc si  $n \geq \frac{\ln(\ln(a/b)/m)}{\ln(2)}$  alors  $\ln \frac{u_n}{v_n} \leq m$  (par exemple, on peut prendre  $m = 0.1$  pour avoir  $u_n/v_n \in [1, e^{0.1}]$ ). Le nombre minimum d'itérations  $n_0$  est proportionnel au log du log du rapport  $a/b$ . Ensuite on est ramené à étudier la convergence de la suite arithmético-géométrique de premiers termes  $a = u_{n_0}$  et  $b = v_{n_0}$  et même en tenant compte de  $M(a, b) = aM(1, b/a)$  à  $a = 1$  et  $b = v_n/u_n$  donc  $0 \leq a - b \leq 1 - e^{-0.1}$ . Alors l'équation (62) entraîne

$$u_{n+1} - v_{n+1} \leq \frac{1}{8}(u_n - v_n)^2$$

puis (par récurrence)

$$0 \leq u_n - v_n \leq \frac{1}{8^{2^n-1}}(a - b)^{2^n}$$

Donc comme  $M(a, b)$  est compris entre  $v_n$  et  $u_n$ , l'erreur relative sur la limite commune est inférieure à une précision donnée  $\epsilon$  au bout d'un nombre d'itérations proportionnel au  $\ln(\ln(1/\epsilon))$ .

Typiquement dans la suite, on souhaitera calculer  $M(1, b)$  avec  $b$  de l'ordre de  $2^{-n}$  en déterminant  $n$  chiffres significatifs, il faudra alors  $O(\ln(n))$  itérations pour se ramener à  $M(1, b)$  avec  $b \in [e^{-0.1}, 1]$  puis  $O(\ln(n))$  itérations pour avoir la limite avec  $n$  chiffres significatifs.

### Le cas complexe

On suppose maintenant que  $a, b \in \mathbb{C}$  avec  $\Re(a) > 0, \Re(b) > 0$ . On va voir que la suite arithmético-géométrique converge encore.

### Étude de l'argument

On voit aisément (par récurrence) que  $\Re(u_n) > 0$ ; de plus  $\Re(v_n) > 0$  car par définition de la racine carrée  $\Re(v_n) \geq 0$  et est de plus non nul car le produit de deux complexes d'arguments dans  $] -\pi/2, \pi/2[$  ne peut pas être un réel négatif. On en déduit que  $\arg(u_{n+1}) = \arg(u_n + v_n)$  se trouve dans l'intervalle de bornes  $\arg(u_n)$  et  $\arg(v_n)$  et que  $\arg(v_{n+1}) = \frac{1}{2}(\arg(u_n) + \arg(v_n))$  donc

$$|\arg(u_{n+1}) - \arg(v_{n+1})| \leq \frac{1}{2} |\arg(u_n) - \arg(v_n)|$$

Après  $n$  itérations, on a

$$|\arg(u_n) - \arg(v_n)| \leq \frac{\pi}{2^n}$$

Après quelques itérations,  $u_n$  et  $v_n$  seront donc presque alignés. Faisons 4 itérations. On peut factoriser par exemple  $v_n$  et on est ramené à l'étude de la suite de termes initiaux  $a = u_n/v_n$  d'argument  $\arg(u_n) - \arg(v_n)$  petit (inférieur en valeur absolue à  $\pi/16$ ) et  $b = 1$ . On suppose donc dans la suite que

$$|\arg(\frac{u_n}{v_n})| \leq \frac{\pi/16}{2^n}$$

### Étude du module

On a :

$$\frac{u_{n+1}}{v_{n+1}} = \frac{1}{2} \left( \sqrt{\frac{u_n}{v_n}} + \frac{1}{\sqrt{\frac{u_n}{v_n}}} \right)$$

Posons  $\frac{u_n}{v_n} = \rho_n e^{i\theta_n}$ , on a :

$$\begin{aligned} \left| \frac{u_{n+1}}{v_{n+1}} \right| &= \frac{1}{2} \left| \sqrt{\rho_n} e^{i\theta_n/2} + \frac{1}{\sqrt{\rho_n}} e^{-i\theta_n/2} \right| \\ &= \frac{1}{2} \left| \left( \sqrt{\rho_n} + \frac{1}{\sqrt{\rho_n}} \right) \cos \frac{\theta_n}{2} + i \left( \sqrt{\rho_n} - \frac{1}{\sqrt{\rho_n}} \right) \sin \frac{\theta_n}{2} \right| \\ &= \frac{1}{2} \sqrt{\left( \sqrt{\rho_n} + \frac{1}{\sqrt{\rho_n}} \right)^2 \cos^2 \frac{\theta_n}{2} + \left( \sqrt{\rho_n} - \frac{1}{\sqrt{\rho_n}} \right)^2 \sin^2 \frac{\theta_n}{2}} \\ &= \frac{1}{2} \sqrt{\rho_n + \frac{1}{\rho_n} + 2 \cos \theta_n} \end{aligned}$$

Si  $\rho$  désigne le max de  $\rho_n$  et  $1/\rho_n$ , on a alors la majoration

$$\left| \frac{u_{n+1}}{v_{n+1}} \right| \leq \frac{1}{2} \sqrt{\rho + \rho + 2\rho} = \sqrt{\rho}$$

donc en prenant les logarithmes

$$\ln \rho_{n+1} \leq \frac{1}{2} \ln \rho = \frac{1}{2} |\ln \rho_n| \quad (63)$$

On rappelle qu'on a la majoration

$$|\arg(\frac{u_n}{v_n})| = |\theta_n| \leq \frac{\pi/16}{2^n} \leq \frac{1}{2^{n+1}}$$

qui va nous donner la minoration de  $\rho_{n+1}$

$$\begin{aligned} \rho_{n+1} = \left| \frac{u_{n+1}}{v_{n+1}} \right| &= \frac{1}{2} \sqrt{\rho_n + \frac{1}{\rho_n} + 2 - 2(1 - \cos \theta_n)} \\ &= \frac{1}{2} \sqrt{\rho_n + \frac{1}{\rho_n} + 2 - 4 \sin^2(\frac{\theta_n}{2})} \\ &\geq \frac{1}{2} \sqrt{\rho_n + \frac{1}{\rho_n} + 2 - \theta_n^2} \\ &\geq \frac{1}{2} \sqrt{\rho_n + \frac{1}{\rho_n} + 2} \times \sqrt{1 - \frac{\theta_n^2}{\rho_n + \frac{1}{\rho_n} + 2}} \\ &\geq \frac{1}{2} \sqrt{\frac{1}{\rho} + \frac{1}{\rho} + 2} \times \sqrt{1 - \frac{\theta_n^2}{4}} \\ &\geq \frac{1}{\sqrt{\rho}} \sqrt{1 - \frac{\theta_n^2}{4}} \\ &\geq \frac{1}{\sqrt{\rho}} \sqrt{1 - \frac{1}{4 \times 2^{2n+2}}} \end{aligned}$$

en prenant les log et en minorant  $\ln(1 - x)$  par  $-2x$

$$\ln \rho_{n+1} \geq \frac{1}{2} (-|\ln \rho_n| + \ln(1 - \frac{1}{4 \times 2^{2n+2}})) \geq -\frac{1}{2} (|\ln \rho_n| + \frac{1}{2^{2n+3}})$$

Finalement avec (63)

$$|\ln \rho_{n+1}| \leq \frac{1}{2} (|\ln \rho_n| + \frac{1}{2^{2n+3}})$$

On en déduit

$$|\ln \rho_n| \leq \frac{1}{2^n} \ln \rho_0 + \frac{1}{2^{n+3}} + \dots + \frac{1}{2^{2n+1}} + \frac{1}{2^{2n+2}} = \frac{1}{2^n} \ln \rho_0 + \frac{1}{2^{n+2}}$$

La convergence du  $\ln(u_n/v_n)$  vers 0 est donc géométrique, donc  $u_n$  et  $v_n$  convergent quadratiquement.

## 20.2 Lien avec les intégrales elliptiques

Le calcul de la limite commune des suites  $u_n$  et  $v_n$  en fonction de  $a$  et  $b$  n'est pas trivial au premier abord. Il est relié aux intégrales elliptiques, plus précisément

on peut construire une intégrale dépendant de deux paramètres  $a$  et  $b$  et qui est invariante par la transformation  $u_n, v_n \rightarrow u_{n+1}, v_{n+1}$  (61)

$$I(a, b) = \int_{-\infty}^{+\infty} \frac{dt}{\sqrt{(a^2 + t^2)(b^2 + t^2)}}$$

On a en effet

$$I\left(\frac{a+b}{2}, \sqrt{ab}\right) = \int_{-\infty}^{+\infty} \frac{du}{\sqrt{\left(\left(\frac{a+b}{2}\right)^2 + u^2\right)(ab + u^2)}}$$

On pose alors

$$u = \frac{1}{2}\left(t - \frac{ab}{t}\right), \quad t > 0$$

où  $t \rightarrow u$  est une bijection croissante de  $t \in ]0, +\infty[$  vers  $u \in ]-\infty, +\infty[$ , donc

$$\begin{aligned} I\left(\frac{a+b}{2}, \sqrt{ab}\right) &= \int_0^{+\infty} \frac{dt/2(1 + ab/t^2)}{\sqrt{\left(\left(\frac{a+b}{2}\right)^2 + 1/4(t - ab/t)^2\right)(ab + 1/4(t - ab/t)^2)}} \\ &= 2 \int_0^{+\infty} \frac{dt}{\sqrt{(a^2 + t^2)(b^2 + t^2)}} = I(a, b) \end{aligned}$$

On note au passage que  $I$  est définie si  $a, b \in \mathbb{C}$  vérifient  $\Re(a) > 0, \Re(b) > 0$ , on peut montrer que la relation ci-dessus s'étend (par holomorphie).

Lorsque  $a = b = l$  (par exemple lorsqu'on est à la limite), le calcul de  $I(l, l)$  est explicite

$$I(l, l) = \int_{-\infty}^{+\infty} \frac{dt}{(l^2 + t^2)} = \frac{\pi}{l}$$

donc

$$I(a, b) = I(M(a, b), M(a, b)) = \frac{\pi}{M(a, b)}$$

On peut transformer  $I(a, b)$  en posant  $t = bu$

$$I(a, b) = 2 \int_0^{+\infty} \frac{du}{\sqrt{(a^2 + b^2 u^2)(1 + u^2)}} = \frac{2}{a} \int_0^{+\infty} \frac{du}{\sqrt{(1 + (b/a)^2 u^2)(1 + u^2)}}$$

Puis en posant  $u = \tan(x)$  ( $du = (1 + u^2)dx$ )

$$I(a, b) = \frac{2}{a} \int_0^{\pi/2} \sqrt{\frac{1 + \tan(x)^2}{1 + (b/a)^2 \tan(x)^2}} dx$$

et enfin en posant  $\tan^2(x) = \frac{\sin(x)^2}{1 - \sin(x)^2}$

$$I(a, b) = \frac{2}{a} \int_0^{\pi/2} \sqrt{\frac{1}{1 - (1 - \frac{b^2}{a^2}) \sin(x)^2}} dx$$

Si on définit pour  $m < 1$

$$K(m) = \int_0^{\pi/2} \frac{dx}{\sqrt{1 - m \sin(x)^2}}$$

alors on peut calculer  $K$  en fonction de  $I$ , en posant  $m = 1 - b^2/a^2$  soit  $b^2/a^2 = 1 - m$

$$K(m) = \frac{a}{2} I(a, a\sqrt{1-m}) = \frac{a}{2} \frac{\pi}{M(a, a\sqrt{1-m})} = \frac{\pi}{2M(1, \sqrt{1-m})}$$

d'où l'on déduit la valeur de l'intégrale elliptique en fonction de la moyenne arithmético-géométrique :

$$K(m) = \int_0^{\frac{\pi}{2}} \frac{dx}{\sqrt{1-m \sin(x)^2}} = \frac{\pi}{2M(1, \sqrt{1-m})} \quad (64)$$

Dans l'autre sens, pour  $x$  et  $y$  positifs

$$K\left(\left(\frac{x-y}{x+y}\right)^2\right) = \frac{\pi}{2M(1, \sqrt{1-\left(\frac{x-y}{x+y}\right)^2})} = \frac{\pi}{2M(1, \frac{2}{x+y}\sqrt{xy})} = \frac{\pi}{2\frac{2}{x+y}M(\frac{x+y}{2}, \sqrt{xy})} = \frac{\pi}{4} \frac{x+y}{M(x, y)}$$

et finalement

$$M(x, y) = \frac{\pi}{4} \frac{x+y}{K\left(\left(\frac{x-y}{x+y}\right)^2\right)}$$

### 20.3 Application : calcul efficace du logarithme.

On peut utiliser la moyenne arithmético-géométrique pour calculer le logarithme efficacement, pour cela on cherche le développement asymptotique de  $K(m)$  lorsque  $m$  tend vers 1. Plus précisément, on va poser  $1 - m = k^2$  avec  $k \in ]0, 1]$ , donc

$$K(m) = \int_0^{\frac{\pi}{2}} \frac{dx}{\sqrt{1-(1-k^2)\sin(x)^2}} = \int_0^{\frac{\pi}{2}} \frac{dy}{\sqrt{1-(1-k^2)\cos(y)^2}}$$

en posant  $y = \pi/2 - x$ , et

$$K(m) = \int_0^{\frac{\pi}{2}} \frac{dy}{\sqrt{\sin(y)^2 + k^2 \cos(y)^2}}$$

la singularité de l'intégrale pour  $k$  proche de 0 apparaît lorsque  $y$  est proche de 0. Si on effectue un développement de Taylor en  $y = 0$ , on trouve

$$\sin(y)^2 + k^2 \cos(y)^2 = k^2 + (1 - k^2)y^2 + O(y^4)$$

Il est donc naturel de comparer  $K(m)$  à l'intégrale

$$J = \int_0^{\frac{\pi}{2}} \frac{dy}{\sqrt{k^2 + (1 - k^2)y^2}}$$

qui se calcule en faisant par exemple le changement de variables

$$y = \frac{k}{\sqrt{1 - k^2}} \sinh(t)$$

ou directement avec Xcas,



supposons  $(k>0 \ \&\& \ k<1)$  ;  
 $J:=\text{int}(1/\text{sqrt}(k^2+(1-k^2)*y^2), y, 0, \pi/2)$

qui donne après réécriture :

$$J = \frac{1}{\sqrt{1-k^2}} \left( \ln\left(\frac{\pi}{k}\right) + \ln\left(\frac{1}{2} \left( \sqrt{1-k^2 + 4\frac{k^2}{\pi^2}} + \sqrt{1-k^2} \right) \right) \right) \quad (65)$$

et on peut calculer le développement asymptotique de  $J$  en 0

$\text{series}(J, k=0, 5, 1)$

qui renvoie :

$$J = \ln\left(\frac{\pi}{k}\right) + O\left(\left(\frac{-1}{\ln(k)}\right)^5\right)$$

on peut alors préciser ce développement par

$\text{series}(J+\ln(k)-\ln(\pi), k=0, 5, 1)$

qui renvoie (après simplifications et où la notation  $\tilde{O}$  peut contenir des logarithmes)

$$\left(\frac{1}{\pi^2} + \frac{\ln(\pi) - \ln(k) - 1}{2}\right) k^2 + \tilde{O}(k^4)$$

donc

$$J = -\ln(k) + \ln(\pi) + \left(\frac{1}{\pi^2} + \frac{\ln(\pi) - \ln(k) - 1}{2}\right) k^2 + \tilde{O}(k^4) \quad (66)$$

Examinons maintenant  $K - J$ , il n'a plus de singularité en  $y = 0$ , et il admet une limite lorsque  $k \rightarrow 0$ , obtenue en remplaçant  $k$  par 0

$$(K - J)|_{k=0} = \int_0^{\frac{\pi}{2}} \left( \frac{1}{\sin(y)} - \frac{1}{y} \right) dy = \left[ \ln\left(\tan\left(\frac{y}{2}\right)\right) - \ln(y) \right]_0^{\frac{\pi}{2}} = \ln\left(\frac{4}{\pi}\right)$$

D'où pour  $K$

$$K_{k \rightarrow 0} = \ln\left(\frac{4}{k}\right) + O\left(\left(\frac{-1}{\ln(k)}\right)^5\right)$$

Pour préciser la partie du développement de  $K$  en puissances de  $k$ , nous allons majorer  $K - J - \ln(4/\pi)$ , puis  $J - \ln(\pi/k)$ . Posons

$$A = \sin(y)^2 + k^2 \cos(y)^2, \quad B = y^2 + (1 - y^2)k^2$$

**Majoration de  $K - J - \ln(4/\pi)$**

L'intégrand de la différence  $K - J - \ln(\frac{4}{\pi})$  est

$$\frac{1}{\sqrt{A}} - \frac{1}{\sqrt{B}} - \left( \frac{1}{\sin(y)} - \frac{1}{y} \right) = \frac{\sqrt{B} - \sqrt{A}}{\sqrt{A}\sqrt{B}} - \frac{y - \sin(y)}{y \sin(y)} \quad (67)$$

$$= \frac{B - A}{\sqrt{A}\sqrt{B}(\sqrt{A} + \sqrt{B})} - \frac{y - \sin(y)}{y \sin(y)} \quad (68)$$

$$= \frac{(y^2 - \sin(y)^2)(1 - k^2)}{\sqrt{A}\sqrt{B}(\sqrt{A} + \sqrt{B})} - \frac{y - \sin(y)}{y \sin(y)} \quad (69)$$

Soit

$$K - J - \ln\left(\frac{4}{\pi}\right) = \int_0^{\frac{\pi}{2}} \frac{(y - \sin(y))[(1 - k^2)y \sin(y)(y + \sin(y)) - \sqrt{AB}(\sqrt{A} + \sqrt{B})]}{\sqrt{A}\sqrt{B}(\sqrt{A} + \sqrt{B})y \sin(y)} dy \quad (70)$$

On décompose l'intégrale en 2 parties  $[0, k]$  et  $[k, \pi/2]$ . Sur  $[0, k]$  on utilise (68), on majore chaque terme séparément et on minore  $A$  et  $B$  par

$$A = k^2 + (1 - k^2) \sin(y)^2 \geq k^2, \quad B = k^2 + (1 - k^2)y^2 \geq k^2$$

Donc

$$\begin{aligned} \left| \int_0^k \right| &\leq \int_0^k \frac{|B - A|}{2k^3} dy + \int_0^k \left( \frac{1}{\sin(y)} - \frac{1}{y} \right) dy \\ &\leq \int_0^k \frac{y^2 - \sin(y)^2}{2k^3} dy + \ln\left(\tan\left(\frac{k}{2}\right)\right) - \ln\left(\frac{k}{2}\right) \\ &\leq \frac{\frac{1}{3}k^3 + \frac{-1}{2}k + \frac{1}{4}\sin(2k)}{2k^3} + \ln\left(\sin\left(\frac{k}{2}\right)\right) - \ln\left(\frac{k}{2}\right) - \ln\left(\cos\left(\frac{k}{2}\right)\right) \\ &\leq \frac{\frac{1}{3}k^3 + \frac{-1}{2}k + \frac{1}{4}(2k - \frac{8k^3}{6} + \frac{32k^5}{5!})}{2k^3} - \ln\left(\cos\left(\frac{k}{2}\right)\right) \\ &\leq \frac{k^2}{30} - \ln\left(1 - \frac{1}{2!} \left(\frac{k}{2}\right)^2\right) \\ &\leq \frac{k^2}{30} + \frac{k^2}{4} \end{aligned}$$

Sur  $[k, \pi/2]$ , on utilise (70) et on minore  $A$  et  $B$  par

$$A = \sin(y)^2 + k^2 \cos(y)^2 \geq \sin(y)^2, \quad B = y^2 + (1 - y^2)k^2 \geq y^2$$

on obtient

$$\left| \int_k^{\frac{\pi}{2}} \right| \leq \int_k^{\frac{\pi}{2}} \frac{(y - \sin(y))|C|}{y \sin(y)(y + \sin(y))} dy,$$

où :

$$\begin{aligned} C &= (1 - k^2)y \sin(y)(y + \sin(y)) - A\sqrt{B} + B\sqrt{A} \\ &= -A(\sqrt{B} - y) - B(\sqrt{A} - \sin(y)) - Ay - B \sin(y) + (1 - k^2)y \sin(y)(y + \sin(y)) \\ &= -A(\sqrt{B} - y) - B(\sqrt{A} - \sin(y)) - k^2(y + \sin(y)) \end{aligned}$$

Donc

$$\begin{aligned} |C| &\leq A(\sqrt{B} - y) + B(\sqrt{A} - \sin(y)) + k^2(y + \sin(y)) \\ &\leq A \frac{B - y^2}{\sqrt{B} + y} + B \frac{A - \sin(y)^2}{\sqrt{A} + \sin(y)} + k^2(y + \sin(y)) \\ &\leq A \frac{k^2}{2y} + B \frac{k^2}{2\sin(y)} + k^2(y + \sin(y)) \end{aligned}$$

et

$$\left| \int_k^{\frac{\pi}{2}} \right| \leq \int_k^{\frac{\pi}{2}} \frac{(y - \sin(y))k^2\left(\frac{A}{2y} + \frac{B}{2\sin(y)} + (y + \sin(y))\right)}{y \sin(y)(y + \sin(y))} dy$$

On peut majorer  $y - \sin(y) \leq y^3/6$ , donc

$$\left| \int_k^{\frac{\pi}{2}} \right| \leq \frac{k^2}{6} \int_k^{\frac{\pi}{2}} \frac{Ay}{2 \sin(y)(\sin(y) + y)} + \frac{By^2}{\sin(y)^2(\sin(y) + y)} + \frac{y^2}{\sin(y)}$$

On majore enfin  $A$  et  $B$  par 1,

$$\left| \int_k^{\frac{\pi}{2}} \right| \leq \frac{k^2}{6} \int_k^{\frac{\pi}{2}} \frac{y}{2 \sin(y)^2} + \frac{y^2}{\sin(y)}$$

Le premier morceau se calcule par intégration par parties

$$\begin{aligned} \frac{k^2}{6} \int_k^{\frac{\pi}{2}} \frac{y}{2 \sin(y)^2} &= \frac{k^2}{6} \left( \left[ -\frac{y}{\tan(y)} \right]_k^{\pi/2} + \int_k^{\frac{\pi}{2}} \frac{1}{\tan(y)} \right) \\ &= \frac{k^2}{6} \left( \frac{k}{\tan(k)} + [\ln(\sin(y))]_k^{\frac{\pi}{2}} \right) \\ &= \frac{k^2}{6} \left( \frac{k}{\tan(k)} - \ln(\sin(k)) \right) \\ &\leq \frac{k^2}{6} (1 - \ln(k)) \end{aligned}$$

Le deuxième morceau se majore en minorant  $\sin(y) \geq (2y)/\pi$

$$\frac{k^2}{6} \int_k^{\frac{\pi}{2}} \frac{y^2}{\sin(y)} \leq \frac{k^2}{6} \int_0^{\frac{\pi}{2}} \frac{\pi}{2} y = \frac{k^2 \pi^3}{96}$$

Finalement

$$|K - J - \ln(\frac{4}{\pi})| \leq k^2 \left( -\frac{1}{6} \ln(k) + \frac{\pi^3}{96} + \frac{1}{6} + \frac{1}{30} + \frac{1}{4} \right)$$

où  $J$  est donné en (65).

**Majoration de  $J - \ln(\pi/k)$**

On a

$$|J - \ln\left(\frac{\pi}{k}\right)| = \left| \left( \frac{1}{\sqrt{1-k^2}} - 1 \right) \ln\left(\frac{\pi}{k}\right) + \frac{1}{\sqrt{1-k^2}} \ln\left( \frac{1}{2} \left( \sqrt{1-k^2 + 4\frac{k^2}{\pi^2}} + \sqrt{1-k^2} \right) \right) \right|$$

et on va majorer la valeur absolue de chaque terme de la somme. Pour  $k \leq 1/2$ , on

a

$$\frac{1}{\sqrt{1-k^2}} - 1 = \frac{k^2}{\sqrt{1-k^2} + 1 - k^2} \leq \frac{k^2}{3/4 + \sqrt{3}/2}$$

Pour le second terme, on majore le facteur  $\frac{1}{\sqrt{1-k^2}}$  par  $\frac{2}{\sqrt{3}}$ , l'argument du logarithme est inférieur à 1 et supérieur à

$$\frac{1}{2} \left( 1 - \frac{k^2}{2} + 1 - \frac{k^2(1 - \frac{4}{\pi^2})}{2} \right) = 1 - k^2 \left( 1 - \frac{1}{\pi^2} \right) > 1 - k^2$$

donc le logarithme en valeur absolue est inférieur à

$$2k^2$$

donc, pour  $k \leq 1/2$ ,

$$|J - \ln\left(\frac{\pi}{k}\right)| \leq \frac{k^2}{3/4 + \sqrt{3}/2} \ln\left(\frac{\pi}{k}\right) + k^2 \frac{4}{\sqrt{3}}$$

Finalement, pour  $k < 1/2$

$$|K - \ln\left(\frac{4}{k}\right)| \leq k^2 \left( \frac{\ln \pi}{3/4 + \sqrt{3}/2} + \frac{4}{\sqrt{3}} + \frac{\pi^3}{96} + \frac{9}{20} - \left( \frac{1}{3/4 + \sqrt{3}/2} + \frac{1}{6} \right) \ln(k) \right) \quad (71)$$

que l'on peut réécrire

$$\left| \frac{\pi}{2M(1, k)} - \ln\left(\frac{4}{k}\right) \right| \leq k^2 (3.8 - 0.8 \ln(k)) \quad (72)$$

La formule (72) permet de calculer le logarithme d'un réel positif avec (presque)  $n$  bits lorsque  $k \leq 2^{-n/2}$  (ce à quoi on peut toujours se ramener en calculant le logarithme d'une puissance  $2^m$ -ième de  $x$  ou le logarithme de  $2^m x$ , en calculant au préalable  $\ln(2)$ ). Par exemple, prenons  $k = 2^{-27}$ , on trouve (en 8 itérations)  $M(1, 2^{-27}) = M_1 = 0.0781441403763$ . On a, avec une erreur inférieure à  $19 \times 2^{-54} = 1.1 \times 10^{-15}$

$$M(1, 2^{-27}) = M_1 = \frac{\pi}{2 \ln(2^{29})} = \frac{\pi}{58 \ln(2)},$$

On peut donc déduire une valeur approchée de  $\pi$  si on connaît la valeur approchée de  $\ln(2)$  et réciproquement. Si on veut calculer les deux simultanément, comme les relations entre  $\ln$  et  $\pi$  seront des équations homogènes, on est obligé d'introduire une autre relation. Par exemple pour calculer une valeur approchée de  $\pi$  on calcule la différence  $\ln(2^{29} + 1) - \ln(2^{29})$  dont on connaît le développement au premier ordre, et on applique la formule de la moyenne arithmético-géométrique. Il faut faire attention à la perte de précision lorsqu'on fait la différence des deux logarithmes qui sont très proches, ainsi on va perdre une trentaine de bits (de même pour les moyennes). On peut aussi calculer  $\pi$  directement avec  $M(1, \sqrt{(2)})$  en utilisant des propriétés des intégrales elliptiques

```
f(n) := {
  local x, y, z, p;
  x := evalf(1/sqrt(2), 2^n);
  y := (1+x)/2/sqrt(x);
  z := 1/sqrt(x);
  p := evalf(2+sqrt(2), 2^n);
  for k from 1 to n do
    p, y, z := p*(1+y)/(1+z), (1+y)/sqrt(y)/2, (1+y*z)/(1+z)/sqrt(y);
  od;
  retourne p;
};;
```

L'intérêt de cet algorithme apparaît lorsqu'on veut calculer le logarithme avec beaucoup de précision, en raison de la convergence quadratique de la moyenne arithmético-géométrique (qui est nettement meilleure que la convergence linéaire

pour les développements en série, ou logarithmiquement meilleure pour l'exponentielle), par contre elle n'est pas performante si on ne veut qu'une dizaine de chiffres significatifs. On peut alors calculer les autres fonctions transcendantes usuelles, telle l'exponentielle, à partir du logarithme, ou les fonctions trigonométriques inverses (en utilisant des complexes) et directes.

On trouvera dans Brent-Zimmermann quelques considérations permettant d'améliorer les constantes dans les temps de calcul par rapport à cette méthode (cela nécessite d'introduire des fonctions spéciales  $\theta$ ) et d'autres formules pour calculer  $\pi$ .

On peut ensuite à partir du logarithme, calculer l'exponentielle en utilisant la méthode de Newton.

## 21 Les générateurs de nombres pseudo-aléatoires.

### 21.1 Selon la loi uniforme

Les générateurs d'entiers dans une plage donnée selon la loi uniforme servent en général de base pour générer des nombres aléatoires entiers ou non selon des lois classiques. Ils doivent à la fois être rapides, avoir une période égale à la plage donnée et avoir de bonnes propriétés statistiques.

Xcas utilise un "tiny" Mersenne Twister (de période environ  $2^{127}$ ), certaines implantations de Giac utilisent un générateur congruentiel.

#### 21.1.1 Les générateurs congruentiels.

Etant donnés trois entiers  $a$ ,  $c$  et  $m$  on considère la suite

$$u_{n+1} = au_n + c \pmod{m}$$

où on choisit (par exemple) comme représentant de  $u_n$  le reste de la division euclidienne par  $m$ . La valeur de  $u_0$  est appelée seed en anglais, elle est initialisée usuellement soit à 0 (ce qui permet de reproduire des bugs dans un programme dépendant du hasard), soit avec l'horloge système ou tout autre entrée de l'ordinateur (par exemple périphériques).

On supposera que  $a \neq 1$ , le cas  $a = 1$  n'est pas très intéressant. On a alors :

$$u_n = a^n u_0 + \frac{a^n - 1}{a - 1} c \pmod{m}$$

On cherche à réaliser une période la plus grande possible idéalement  $m$ , mais  $m - 1$  peut fort bien convenir, et c'est possible si  $m$  est premier en choisissant  $a$  générateur du groupe cyclique, car on a alors  $a \neq 1$  et :

$$u_n = a^n \left( u_0 + \frac{c}{a - 1} \right) - \frac{c}{a - 1} \pmod{m}$$

donc la suite est stationnaire ou prend toutes les valeurs sauf  $-\frac{c}{a-1}$ .

Exemple : choisir pour  $m$  une puissance de 2 permet d'effectuer la division euclidienne très rapidement, mais cela a un inconvénient assez important : les bits de poids faible de  $u_n$  ont une périodicité très (trop) petite. Il est alors intéressant de

prendre  $m = 2^k \pm 1$ , parce que la division euclidienne par  $m$  peut se coder efficacement en base 2, on divise par  $2^k$  (décalage de  $k$  bits) et on ajuste  $x = (2^k \pm 1)q + r = 2^k q + (r \pm q)$ . Ainsi pour  $k = 4$  et  $m = 2^4 + 1 = 17$ ,  $m$  est premier. On peut construire une suite de période 16 en choisissant  $a$  générateur de  $(\mathbb{Z}/17\mathbb{Z})^*$ , par exemple  $a = 3$  et  $c = 2$  donne la suite 0, 2, 8, 9, 12, 4, 14, 10, 15, 13, 7, 6, 3, 11, 1, 5.

On a le :

**Théorème 36** *La suite  $(u_n)$  définie ci-dessus est de périodicité maximale  $m$  si et seulement si :*

1.  $c$  et  $m$  sont premiers entre eux
2.  $a - 1$  est divisible par tous les facteurs premiers de  $m$
3.  $a - 1$  est multiple de 4 si  $m$  l'est.

On observe d'abord que vouloir la périodicité maximale revient à pouvoir supposer que  $u_0 = 0$ . Il est donc nécessaire d'avoir  $c$  et  $m$  premiers entre eux, sinon tous les  $u_n$  sont multiples du pgcd de  $c$  et  $m$ . Ensuite, on pose  $m = \prod p_i^{r_i}$  la décomposition en facteurs premiers de  $m$  et on raisonne modulo chaque premier (par le lemme chinois, la périodicité est le PPCM des périodicités modulo chaque  $p_i^{r_i}$ ). Si  $a \not\equiv 1 \pmod{p_i}$  alors  $a - 1$  est inversible modulo  $p_i$  donc modulo  $p_i^{r_i}$  on a

$$u_n = a^n \left( u_0 + \frac{c}{a-1} \right) + \frac{-c}{a-1}$$

et la valeur  $-c/(a-1)$  ne peut pas être atteinte (ou alors la suite est stationnaire). Donc  $a - 1$  doit être divisible par tous les facteurs premiers de  $m$  pour avoir la périodicité maximale. Réciproquement, il faut trouver le premier ordre  $n$  tel que  $(a^n - 1)/(a - 1) \equiv 0 \pmod{p^r}$ . On pose  $a = b + 1$ , on a

$$\frac{a^n - 1}{a - 1} = \frac{(b + 1)^n - 1}{b} = \sum_{k=1}^n \binom{n}{k} b^{k-1} = n + \frac{n(n-1)}{2}b + \dots$$

On sait que  $b = a - 1$  est un multiple de  $p$ , disons  $b = qp$ , on en déduit que pour  $n = p^r$ , on a bien  $(a^n - 1)/(a - 1) \equiv 0 \pmod{p^r}$ , alors que pour  $n = p^{r-1}$  et  $p \neq 2$ ,  $(a^n - 1)/(a - 1) \equiv n \pmod{p^r} \neq 0$ . Le même calcul pour  $p = 2$  (prise en compte de la division par 2 de  $n(n-1)$ ) donne la condition  $b = a - 1$  est multiple de 4 si  $m$  l'est.

On trouvera dans Knuth une discussion détaillée du choix de  $a, b, m$ .

### 21.1.2 Mersenne twister.

Ce sont des générateurs plus performants, avec un état interne en général plus grand, dont l'état initial est généré par un générateur congruentiel. Ils utilisent une relation de récurrence qui ressemble aux générateurs congruentiels, mais au lieu de travailler sur de grands entiers, on découpe l'entier en mots de taille gérée par le CPU, et on fait des opérations de type matriciels avec des opérations bit à bit (ou exclusif par exemple) au lieu d'opérations arithmétiques.

## 21.2 Selon plusieurs lois classiques

La méthode générale consiste à calculer la distribution cumulée de la loi et à prendre la fonction réciproque d'un réel généré aléatoirement entre 0 et 1 selon la loi uniforme. Lorsqu'on a un nombre discret de valeurs possibles pas trop grand et que l'on veut générer plusieurs nombres selon la même loi, on peut pré-calculer la distribution cumulée en chaque valeur, et faire une dichotomie pour trouver la valeur de la fonction réciproque du nombre aléatoire généré. Les calculs peuvent être rendus difficiles par des dépassement de capacité des flottants si on utilise des méthodes naïves pour estimer les fonction de répartition. On trouvera dans Abramowitz-Stegun diverses formules pour initialiser les méthodes de Newton pour inverser les fonction de répartition courante.

Il existe aussi quelques cas particuliers où on peut obtenir plus facilement un réel selon la loi donnée :

- Pour la loi normale, on génère 2 réels  $u, d$  entre 0 et 1, on calcule

$$\sqrt{-2 \log(u)} \cos(2\pi d)$$

En effet si on considère un couple de variables qui suivent une loi normale centrée réduite, la densité de probabilité au point  $(x, y)$  (coordonnées cartésiennes) ou  $(r, \theta)$  est :

$$\frac{1}{\sqrt{2\pi}^2} e^{-\frac{x^2+y^2}{2}} dx dy = \left( e^{-\frac{r^2}{2}} r dr \right) \left( \frac{1}{2\pi} d\theta \right) = \left( \frac{1}{2} e^{-\frac{s}{2}} ds \right) \left( \frac{1}{2\pi} d\theta \right)$$

où  $r^2 = s$ . Donc  $s$  suit une loi exponentielle (générée par la réciproque de la distribution cumulée) et  $\theta$  uniforme, les deux sont indépendantes. On écrit alors  $x = r \cos(\theta)$ . On peut pour le même prix générer  $y = r \sin(\theta)$ .

Pour éviter de calculer des lignes trigonométriques, on peut aussi tirer  $x$  et  $y$  uniformément dans  $[-1, 1]$ , accepter le tirage si  $s = x^2 + y^2 \in ]0, 1]$  et renvoyer deux valeurs aléatoires selon la loi normale

$$x \sqrt{\frac{-2 \ln(s)}{s}}, \quad y \sqrt{\frac{-2 \ln(s)}{s}}$$

- Pour la loi du  $\chi^2$  à  $k$  degrés de liberté, on fait la somme des carrés de  $k$  réels aléatoires selon la loi normale
- Pour la loi de Student, on fait le quotient d'un réel selon la loi normale par la racine carrée d'un réel selon la loi du  $\chi^2$  divisé par le nombre de degré de liberté
- Pour la loi de Fisher, on fait le quotient d'un réel selon la loi du  $\chi^2$  en  $k_1$  degrés de liberté divisé par  $k_1$  et d'un réel selon la loi du  $\chi^2$  en  $k_2$  degrés de liberté divisé par  $k_2$